

T E Z A D E D O C T O R A T

SINTEZA SI STUDIUL UNOR NOI DERIVATI DE

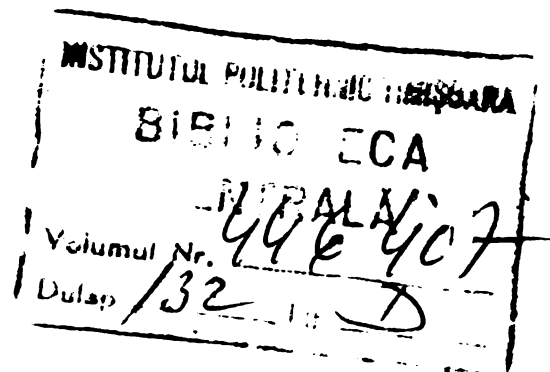
2-CLORETEL NIROZCUREE POTENTIAL ANTILEUCEMICI

Ing. Baracu Elena Georgeta  
Institutul Oncologic Bucuresti

Conducător științific

Prof.Dr.-Doc. George Ostrogovici

BIBLIOTECA CENTRALĂ  
UNIVERSITATEA "POLITEHNICA"  
TIMIȘOARA



**Tov.Prof.Dr.Doc.Ing. GEORGE OSTROGOVICI**  
**omagiul recunoștiinței și respectului -**

**Colegilor mei**

**chim.Eutanță Tărnăuceanu**

**chim.Georgeta Botez**

**dr.biol.Vasile Dobre**

**- mulțumiri pentru ajutor și colaborare -**

**Dr.ing. ION NICULESCU DUVAZ**

**căruiia îi datorez actuala mea orientare profesională**

**- asigurarea prieteniei și recunoștiinței mele -**

Pärnūlõr mee

## C U P R I N S

PARTEA INTII. STUDIU CRITIC DE LITERATURA	pag.
I. Introducere .....	1
II. Locul N-nitrozoderivaților de uree în chimioterapia cancerului	
II.1. Delimitarea domeniului .....	5
II.2. Scurt istoric al dezvoltării N-nitrozoderivaților de uree .....	8
III. Principalele tipuri de N-NU evaluate pentru proprietățile lor anticanceroase .....	10
IV. Relații calitative structură chimică - activitate biolo- gică în clasa N-nitrozoureeelor .....	14
V. Mecanismul de descompunere al 1-(2-cloretil)-1-nitrozo- ureelor	
V.1. Descompunerea derivaților de N-nitrozouree în soluții apoase .....	18
V.2. Descompunerea derivaților de 1-(2-cloretil)-1- nitrozouree în soluții apoase .....	19
V.2.1. Natura produșilor rezultați în urma descom- punerii în medii apoase (tamponate sau ne- tamponate) a 1-(2-cloretil)-1-nitrozoureeelor	19
V.2.2. Mecanismul descompunerii derivaților de 1-(2-cloretil)-1-nitrozouree .....	19
VI. Metabolizarea 1-(2-cloretil)-1-nitrozoureeelor .....	22
VII. Mecanismul de acțiune la nivel molecular al 1-(2-cloretil)- 1-nitrozoureeelor .....	26
VIII. Relații cantitative structură chimică - activitate bio- logică (QSAR) în clasa 1-(2-cloretil)-1-nitrozoureeelor.	27

VIII.1. Parametrii fizico-chimici și biologici utilizati în clasa N-NU pentru corelări QSAR.....	31
VIII.2. Corelarea activității biologice cu parametrii fizico-chimici .....	32
VIII.2.1. Importanța liposolubilității pentru proiectarea de noi compuși .....	33
VIII.2.2. Corelarea activității antitumorale cu timpul de înjumătățire, activitatea alchilantă și cea carbamoilantă .....	35
VIII.2.3. Corelarea toxicității cu parametrii fizico-chimici .....	35
VIII.3. Concluzii .....	37
Sinteză mono și 1,3-di(2-haloetil)ureelor .....	37
Sinteză derivaților de 1-(2-cloretيل)-1-nitrozoureelor....	43
Metode fizico-chimice de determinare a structurii derivaților de uree și nitrozouree .....	52
XI.1. Elemente structurale caracteristice derivaților de uree evidențiate spectrofotometric (uv,ir,rmn)....	52
XI.1.1. Date spectrale în uv caracteristice derivaților de uree .....	53
XI.1.2. Date spectrale în ir caracteristice derivaților de uree .....	53
XI.1.3. Analiza spectrelor rmn ale derivaților de uree .....	55
XI.2. Elemente structurale caracteristice derivaților de 1-(2-cloretيل)-1-nitrozouree, evidențiate spectrofotometric .....	56
XI.2.1. Elemente spectrale în ir caracteristice nitrozoureelor .....	56

XI.2.2. Elemente spectrale de rmn caracteristice derivaților de nitrozouree .....	57
XI.3. Determinarea cu ajutorul metodelor fizico-chimice de analiză a purității izomerice a N-nitrozo-ureelor .....	58
XI.3.1. Metoda descompunerii derivaților de N-nitrozouree în mediu apos cu amine.....	58
XI.3.2. Atribuirea structurii și purității izomerice a derivaților de N-nitrozouree prin spectrometrie rmn .....	60
<b>PARTEA A DOUA. CERCETARI PERSONALE.</b>	
XII. Ipoteza de lucru .....	61
XIII. Sinteza unor noi derivați de N-nitrozouree .....	65
XIII.1. Sinteza 1-(2-cloretil)-1-nitrozoureelor aromatice .....	66
XIII.2. Derivați homo și heterocicloalifatici de 1-(2-cloretil)-1-nitrozouree .	
XIII.2.1. Analogi de CCNU și MeCCNU substituiți la inelul ciclohexanic .....	70
XIII.2.2. 2,2,6,6-Tetrametil-4-piperidinil uree și nitrozouree .....	75
XIII.2.3. 1-(2-Cloretil)-1-nitrozouree polyclice .....	79
XIII.3. Derivați alifatici de bis/1-(2-cloretil)-1(3)-nitrozouree/ și bis/1-ciclohexil-3-nitrozouree/	
XIII.3.1. Derivați alifatici de bis/1-(2-cloretil) sau ciclohexil-3-nitrozouree/...	79
XIII.3.2. Derivați alifatici mono și bis/1-(2-cloretil)-1-nitrozouree/ .....	86
XIII.4. Derivați de 1-(2-hidroxietil)-1(3)-nitrozouree	89

XIII.5. Derivați de N-(2-cloretil)-N-nitrozouretani....	91
XIII.6. Procedeu de obținere a 2-cloretil izocianatului	92
XIII.7. Procedeu tehnologic de preparare a 1-(2-clor- etil)-3-ciclohexil-1-nitrozoureei (CCNU, NI- PALKIN) .....	96
<b>IV. Metode fizico-chimice de determinare a structurii noilor compusi.</b>	
XIV.1. Caracterizarea în ir a noilor derivați de uree și nitrozouree .....	98
XIV.2. Caracterizarea în raman a noilor derivați de uree și nitrozouree .....	102
XIV.2.1. Studiul izomeric 1-3 a N-nitrozo - ureelor .....	102
XIV.2.2. Structura resturilor și legate de funcțiunea N-nitrozouree .....	108
XIV.3. Elemente caracteristice ale spectrelor de masă ale nitrozoureelor .....	112
XIV.4. Caracterizarea rea a derivaților de uree și nitrozouree nitroxidici .....	115
V. Proprietăți fizico-chimice ale derivaților de nitrozouree	117
XV.1. Liposolubilitatea .....	117
XV.2. Viteza de descompunere .....	122
XV.3. Activitatea alchilană .....	123
VI. Proprietăți farmacologice ale noilor derivați de N- nitrozouree .....	124
VII. Relații cantitative structură chimică - activitate bio- logică determinate pentru o serie de noi N-nitrozouree.	130

XVIII. Partea experimentală .....	139
XVIII.1. Derivați de 1-(2-cloretil)uree și nitrozouree	141
XVIII.2. Derivați homo și hetero-cicloalifatici de 1-(2-cloretil)uree și nitrozouree .....	144
XVIII.2.1. Analogi de CCNU și MeCCNU substi- tuiți la nucleul ciclohexanic .....	144
XVIII.2.2. Derivați de 4-(2,2,6,6-tetrametil- piperidinil)-uree și nitrozouree ...	148
XVIII.2.3. Derivați de 1-(2-cloretil)-1-nitrozo- uree policiclici .....	151
XVIII.3. Derivați alifatici de bis 1-(2-cloretil)-1- (3)-nitrozouree și bis 1-ciclohexil-3-ni- trozouree .....	153
XVIII.3.1. Derivați alifatici de bis/1-(2-clor- etil) sau ciclohexil-3-uree și ni- trozouree/.....	153
XVIII.3.2. Derivați alifatici mono și bis/1- (2-cloretil)-1-nitrozouree/.....	157
XVIII.4. Derivați de 1-(2-hidroxietil)-1(3)-nitrozouree	161
XVIII.5. N-(2-cloretil)-uretani și nitrozouretani....	162
XVIII.6. Procedeu de obținere a 2-cloretil izociana- tului .....	165
XVIII.7. Procedeu tehnologic de obținere a 1-(2-clor- etil)-3-ciclohexil-1-nitrozoureei .....	165
CONCLUZII .....	166
ANEXA I . Lista abrevieri .....	172
ANEXA II. Lista compușilor noi sintetizați .....	174
BIBLIOGRAFIE .....	179

**PARTEA INTII**

**STUDIU CRITIC DE LITERATURA**

## I. INTRODUCERE

Cancerul poate fi definit ca un grup de boli (neoplazii maligne) cronice, degenerative care afectează diferite ţesuturi, organe sau sisteme ale organismului uman și animal. Etiologia sa desă încă neelucidată poate fi atribuită cu destulă certitudine unor mutații celulare de un anumit tip, generate de cauze multiple (ex. radiații, agenți chimici, virusuri, etc.). O statistică recentă consideră că peste 90% din totalul neoplaziilor umane se datoresc direct sau indirect agenților chimici din mediul înconjurător. /1/

Se pot defini astăzi cinci modalități, principal diferențiate, de tratament al cancerului și anume: chirurgia, radioterapia, chimioterapia, hormonoterapia și imunoterapia. Acestea pot fi utilizate singure sau mai eficient, în combinație, în funcție de tipul și stadiul neoplaziei respective precum și de anumite caracteristici ale pacientului.

Printre acestea chimioterapia deține o poziție deosebită în primul rînd datorită dezvoltării ei rapide. O enumerare succintă a principalelor etape ce marchează drumul său ascendent rezultă din tabelul 1.

Tabel 1

### Istoria chimioterapiei curative dură /2/

---

1941	Inceputul sintezei de produse anticanceroase
1956-1957	Vindecări în unele forme de cancer metastazat prin chimioterapie
1963	Vindecări ale metastazelor prin polichimioterapie
1967	Vindecări prin folosirea chimioterapiei ca metodă adjuvantă
1970	Vindecări cu ajutorul medicamentelor care prezintă toxicitate selectivă

---

In al doilea rînd această poziție se datorește rezultatelor remarcabile obținute prin utilizarea ei singură sau în asociere cu alte metode. Din datele prezentate în tabelul 2 rezultă posibilitatea obținerii, în procente semnificative, a unor vindecări sau remisiuni totale (peste 5-10 ani) chiar în cazul stadiilor avansate a unor forme de neoplazii.

Tabel 2

Vindecări și/sau remisiuni totale ale unor forme de cancer metastazate /2/

Tipul tumorii	% de vindecări și/sau remisiuni obținute prin :	
	Chimioterapie	Chimioterapie în combinație cu alte forme de tratament
Coriocarcinom	75	-
Rabdomiosarcom	50	60
Boala Hodgkin	58	-
Tumora Burkitt	45-55	-
Tumora Wilms	58	90
Tumora Ewing	31	65-80
Cancer testicular embrionar	32-70	78
Tumori sîn	-	9-22
Osteosarcom	-	60-80

In sfîrșit și acesta este poate lucrul cel mai important, chimioterapia oferă pentru viitor speranțe de găsire a unor substanțe specifice și eficiente.

Cauzele succeselor obținute de chimioterapia anticanceroasă modernă rezidă atât în sinteza unui mare număr de compuși și în studii

migăloase privind mecanismul lor de acțiune cît și, mai ales în cercetările intensive efectuate asupra biochimiei și biologiei bolii canceroase.

Majoritatea dificultăților survenite în dezvoltarea acestei metode provin din faptul că celula malignă reține într-o proporție variabilă funcțiunile biochimice ale celulei normale din care provine. Deși între tumorile solide cît și între neoplaziile inițial diseminate (leucemiile, etc.) există deosebiri profunde, totuși ele prezintă o serie de caracteristici comune, care le diferențiază de țesuturile normale și anume :

- a) diviziune celulară necontrolabilă, spre deosebire de proliferarea normală, ce se menține în limitele prestatibile genetic. De multe ori, dar nu întotdeauna, viteza de creștere a celulelor maligne este superioară celei a celulelor normale de origină;
- b) invadarea țesuturilor și organelor învecinate și modificarea sau distrugerea lor prin mecanisme nelucidate ;
- c) tendința de metastazare (formare a unor tumori secundare localizate la distanță față de tumorii inițiale).

Dat fiind că pînă recent dezvoltarea chimioterapiei s-a confundat cu încercările de a găsi substanțe active față de celulele cu ritm rapid de creștere, este evident că acestea odată găsite și utilizate în clinică vor afecta și țesuturile normale cu proprietăți asemănătoare (măduvă osoasă, epitelial intestinal, etc.). Această carență, alături de caracterul potențial cancerigen al unora dintre aceste substanțe, constituie deficiențele majore ale chimioterapicelor actuale.

În ultimul deceniu, ca urmare a progreselor înregistrate în domeniul biochimiei, s-au profilat noi căi de realizare a unor substanțe cu toxicitate selectivă față de celulele maligne (ex. descoperirea de molecule cu tropism accentuat pentru celulele canceroase; sintetizarea

unor inhibitori specifici ai enzimelor virale cum ar fi transcriptaza inversă, ARN-polimerază virală, etc., utilizarea proprietăților receptorilor hormonalni în vederea realizării unor substanțe specifice pentru neoplaziile normono-asociate, s.a.m.d.).

De asemenea s-a impus elaborarea unor principii rationale de proiectare a compușilor potențial anticanceroși, drept cale de dezvoltare a acestui domeniu. Dintre acestea utilizarea corelațiilor canticative, structură-activitate biologică (QSAR) merită o mențiune specială. Deși exploatață cu entuziasm, ea nu a condus încă la rezultatele așteptate, poate și pentru faptul că în numeroase cazuri aplicarea ei s-a făcut fără suficient discernămînt, neglijînd uneori aspecte importante, cum ar fi de pildă metabolizarea chiar și parțială a compușilor investigați. Considerăm totuși că adîncirea și rafinarea unor astfel de metode va duce finalmente la rezultate valoroase cu atît mai mult cu cît pe măsura elucidării mecanismului de acțiune al unei anumite categorii de produse anticanceroase se vor selecționa pentru corelări numai acei parametri fizico-chimici de care depinde în mod nemijlocit răspunsul biologic. De altfel, abaterile ce apar de la relațiile de tip QSAR stabilite pentru o clasă de substanțe reprezentă puncte nodule în dezvoltarea acesteia. În sfîrșit trebuie menționat avantajul, deloc neglijabil, ce rezultă prin stabilirea pe această cale a structurilor optime, evitîndu-se astfel sinteza și testarea unui număr foarte mare de compuși neinteresanți, care grevează consistent bugetul unei astfel de cercetări.

Conform considerentelor expuse în această introducere, lucrarea de față a căutat să abordeze - din unghiuri de vedere variate și pe cît posibil originale - domeniul extrem de interesant al N-nitrozourelor cu proprietăți anticanceroase.

## II. Locul N-nitrozoderivaților de uree în chimio- terapia cancerului

II.1. Delimitarea domeniului. Ritmul impetuos de sinteză al medicamentelor anticanceroase a impus o sistematizare a acestora, nu numai din motive formale, dar și ca o necesitate pentru dezvoltarea ulterioară a domeniului considerat. O clasificare riguroasă bazată pe un criteriu unic, funcțional de sistematizare, care să reflecte o proprietate intrinsecă a acestor substanțe (ex. mecanism de acțiune, etc.) nu a fost încă elaborată. Deși nu îndeplinește acest deziderat, cea mai uzitată împarte agenții anticanceroși în 4 grupe și anume :

- a) agenții alchilanți (sulfiperite, azotiperite, etilenimine, metansulfonați, N-nitrozouree, triazene, derivați de N-metilhidrazină, derivați dicarbonilici, etc.);
- b) antimetabolitori;
- c) produsi naturali (hormoni, antibiotice, alcaloizi, etc.);
- d) diverse

Atât în clasificarea de mai sus cât și în aceea mai riguroasă, dar încă insuficient elaborată, propusă de J.A. Montgomery /3/ N-nitrozo-derivați de uree (N-NU) sunt considerați drept agenții alchilanți.

O serie de observații de ordin chimic și biologic sprijină acest punct de vedere și anume: 1) N-NU alchilează 4-nitrobenzil piridina (NBP), capacitatea lor de alchilare măsurată pe această cale putând fi corelată, satisfăcător, cu activitatea lor biologică /4;5/; 2) N-NU dau rezistență încrucișată cu alți agenții alchilanți (de ex. ciclofosfamidă) în cazul plasmocitomului de hamster sau în cazul unor microorganisme /6-8/; 3) N-NU produc efecte biochimice asemănătoare celor induse de agenții alchilanți clasici (ex. azotiperite) cum ar fi: interferență cu metabolismul unității de un carbon și cu utilizarea histidinei /9/.

creșterea activității NAD-szei și descreșterea concentrației NAD<sup>+</sup> în celulele tumorale /10/, descreșterea activității nucleotidil-transferazei /11/, etc.

Totuși N-NU datorită unor caracteristici deosebite, ocupă un loc aparte printre agenții alchilanți. Astfel mecanismul chimic de descompunere al N-NU este diferit de cel al agenților alchilanți obișnuiți /12/ ei generând două tipuri diferite de intermediari reactivi: carbocationi monofuncționali și izocianati. Nu apar ioni ciclici (ca cel de etilenimoniu) /12/. În al doilea rînd 1,3-bis-(2-cloretil)-1-nitrozourea BCNU<sup>X</sup> nu induce rezistență încrucișată cu alți agenții alchilanți în boala Hodgkin /13/. În al treilea rînd N-NU spre deosebire de majoritatea agenților de acest tip sunt activi de-a lungul întregului ciclu celular, manifestând o eficacitate mai mare față de celulele care nu se divid /14-17/.

La aceste proprietăți trebuie adăugată și aceea, foarte importantă a unor dintre N-NU (ex.BCNU,CCNU), de a traversa bariera sângue-cerebel putind ucide celulele leucemice din sistemul nervos central (SNC) /18,19/. Din acest motiv se consideră că N-NU au deschis drumul chimioterapiei în tratamentul tumorilor cerebrale.

În sfîrșit merita de menționat faptul că deși evidențierea proprietăților lor antileucemice a fost un rezultat al sistemului random de testare /20/, sinteza de noi N-NU reprezintă o valorificare a studiilor privind relațiile structură-activitate biologică și al utilizării lor drept criteriu rațional de proiectare a unor compuși cu eficiență îmbunătățită. Așa se explică faptul că, deși descoperiți abia acum 20 ani, 8-9 derivați din acestu clasă au intrat sau se află deja în faze înaintate de testare clinică (tabel 3).

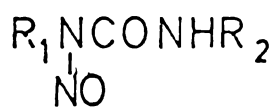
---

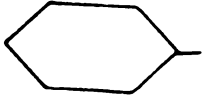
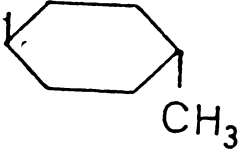
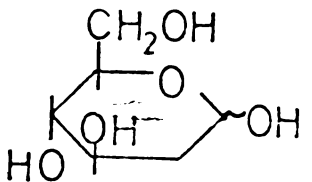
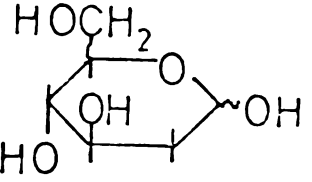
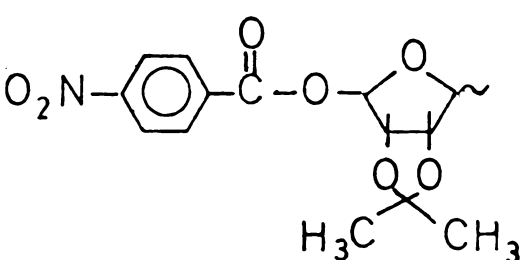
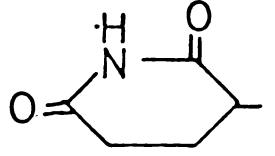
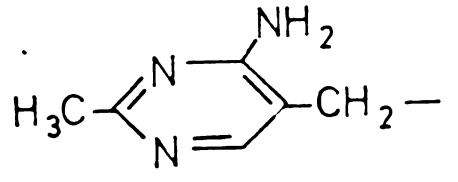
x

vezi lista abrevieri

Tabel 3

N-nitrozouree aflate în investigaare clinică /21/



Nr.	Produs	R <sub>1</sub>	R <sub>2</sub>	Tara
1.	BCNU	ClCH <sub>2</sub> CH <sub>2</sub>	ClCH <sub>2</sub> CH <sub>2</sub>	SUA
2.	CCNU	ClCH <sub>2</sub> CH <sub>2</sub>		SUA
3.	MeCCNU	ClCH <sub>2</sub> CH <sub>2</sub>		SUA
4.	Streptozoto- tocina	CH <sub>3</sub>		SUA
5.	Clorozo- tocina	ClCH <sub>2</sub> CH <sub>2</sub>		SUA
6.	MNU	CH <sub>3</sub>	H	URSS
7.	RFCNU	ClCH <sub>2</sub> CH <sub>2</sub>		Franta
8.	PCNU	ClCH <sub>2</sub> CH <sub>2</sub>		SUA
9.	ACNU	ClCH <sub>2</sub> CH <sub>2</sub>		Japonia

## II.2. Scurt istoric al dezvoltării N-NU

Un istoric oricăr de sumar al dezvoltării N-NU este obligat să menționeze următoarele etape :

1959 - evidențierea ca urmare a screening-ului random, a proprietăților antileucemice slăbe, dar reproductibile, ale l-metil-3-nitro-l-nitrozoguanidinei (lo, MNNG, sintetizată în 1947) /21,22/



1959-1961 sinteza și testarea de noi congeneri ai MNNG evidențiază superioritatea celor în care gruparea metil este înlocuită cu gruparea 2-haloetyl /23/. Testarea l-metil-l-nitrozouree (6, MNU, sintetizată încă din 1888) evidențiază proprietățile inhibitoare ale acesteia față de leucemia L 1210 implantată intracerebral (ic) /24,25/ iar dintre analogii săi structurali l-(2-cloroetyl)-l-nitrozourea (11) se dovedește să fi cel mai activ /23/.

1963 - sinteza 1,3-bis-(2-cloroetyl)-l-nitrozoureei (BCNU, 1), primul compus de acest tip care se dovedește să aibă aplicații clinice /26/ și este considerat capul de serie al acestei clase.

1966 - sinteza l-(2-cloroetyl)-3-ciclohexil-l-nitrozoureei (2, CCNU) /27/ superior în unele privințe față de BCNU.

1971 - sinteza l-(2-cloroetyl)-3-(4-trans-metil-ciclohexil)-l-nitrozoureei (3, MeCCNU) /28/, care se dovedește foarte activă pe tumorii experimentale cu ritm lent de creștere (tumori pulmonare Lewis), în general rezistente la chimioterapie /29/.

1972 - evidențierea proprietăților anticanceroase ale streptozotocinei (4), o N-NU extrasă din Streptomyces Achromogenus /30,31/. Produsul prezintă însă efecte secundare diabetogene /32,33/.

1972-1975 pe baza modelului furnizat de streptozotocină se sintetizează noi N-NU având ca molecule vectoare resturi de zahar /34,35/.

In 1975, se obține clorozotocina, 5, care reprezintă primul compus cu aplicații clinice din această serie și totodată prima N-NU cu o toxicitate scăzută față de măduva osoasă /36/.

1977 - sinteza 3-(2-cloroetyl)-1-(ribofuranozil-2-3-izopropiliden-5-paranitrobenzoat)-3-nitrozoureei (7, RCFNU) /37,38/.

Studiile clinice efectuate asupra BCNU, CCNU și MeCCNU (monochimioterapie) la National Cancer Institute (Bethesda) pe mai mult de 3000 pacienți, au condus la definirea unui spectru al activității lor anticanceroase (tabel 4) /39/.

Tabel 4

Activitatea BCNU, CCNU și MeCCNU pe diverse forme de  
tumori umane /39/

Localizările tumorale	Nr. răspunsuri obiective/nr. pacienți evaluați (%)		
	BCNU	CCNU	MeCCNU
Creier	47	41	27
Boala Hodgkin	44	48	28
Limfoame ne-Hodgkin-iene	28	25	18
Melanoame	18	13	12
Plămîni	11	16	10
Sîn	21	12	4
Colorectal	13	9	11
Cap și gât	16	8	11

N-NU dă rezultate remarcabile într-o serie de forme neoplazice, în care datorită lor atât procente de vindecări cît și timpul de supraviețuire au crescut semnificativ (boala Hodgkin, limfoame ne-Hodgkiniene,

etc.). În al doilea rînd ele au făcut accesibile chimioterapiei localizările cerebrale care practic nu beneficiau de această formă de tratament. În sfîrșit N-NU și-au dovedit pe deplin utilitatea în schemele de polichimioterapie ale unor forme extrem de deficitare, cum ar fi tumorile de plămîn, colorectale, etc: /40-43/.

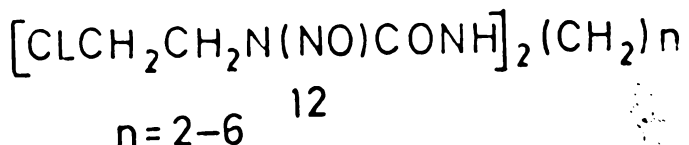
Nu trebuie să trecute cu vederea nici importanțele neajunsuri ce limitează de multe ori utilizarea acestui grup de substanțe. Acestea se referă atât la efectele toxice, uneori severe, ale N-NU ce se manifestă la nivelul tractului gastrointestinal (greturi, vomisme) și al măduvei osoase (trombocitopenii și leucopenii tardive) /44/ cît și la faptul că N-NU sunt mutagene și probabil cancerigene /45,46/ față de animalele de experiență. Înlăturarea măcar parțială a acestor neajunsuri constituie un obiectiv important al cercetării în acest domeniu.

### III. Principalele tipuri de N-NU evaluate pentru proprietățile lor anticanceroase

Majoritatea derivatilor de N-nitrozouree au fost sintetizați pe baza a două concepții, complet diferite, dar relativ frecvent utilizate în proiectarea agenților anticanceroși.

O parte dintre ei au fost preparați în vederea obținerii unor N-NU active ca atare față de tumorile maligne. Au urmat apoi încercuri laborioase de îmbunătățire a capilor de serie astfel obținuți (BCNU, CCNU, etc.). Din această primă categorie fac parte următoarele tipuri de N-NU :

1) Nitrozouree alifatice - BCNU (1) constituie capul de serie al acestei subgrupe de derivati. Din seria di-N-nitrozourelor alifatice (12), compusul cu  $n=6$  manifestă o activitate antileucemică interesantă /45/.



Deasemenea merită menționată și unii derivați hidrosolubili din această categorie /47/.

2) Nitrozoureele cicloalifatice. În general derivații de ciclohexan, reprezintă grupa ce conține pe cătreva dintre cei mai interesanți compuși, cunoscuți în această clasă (CCNU, MeCCNU, HOOC-CCNU, etc.) Se remarcă în special activitatea loră dintre acești compuși față de tumorile cu ritm lent de creștere, cum este carcinomul pulmonar Lewis, rezistent la chimioterapie. Studiile întreprinse pînă în prezent nu au putut lămuri diferențele de activitate, uneori importante, ce se constă între diversii conformeri (tabel 5) /28/.

Tabel 5

Activitățile față de carcinomul pulmonar Lewis a unor derivați de CCNU /28/



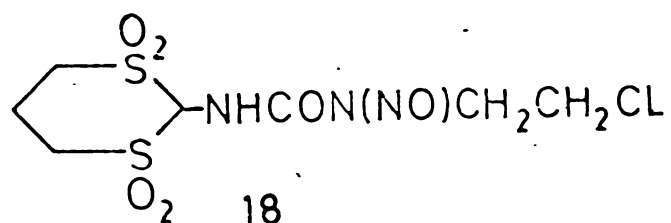
Nr	R	Cresterea timpului de supraviețuire % formă timpurie	formă avansată
2	H	15-31	-
6	trans-4-Me	46	44
13	cis-2-Cl	62	-
14	trans-2-Cl	18	38
15	cis-4-COOH	79	115
16	trans-4-OCH <sub>3</sub>	86	inactiv
17	cis-4-OCH <sub>3</sub>	100	-

Un interes teoretic deosebit îl prezintă mono și polihidroxil-ciclohexil-N-nitrozo-derivații. În general foarte active, unii dintre ele apar și ca intermediari în cursul metabolizării enzimatice a CCNU sau MeCCNU /48/. În sfîrșit trebuiesc menționată și derivații de ciclohexan complet sau parțial fluorurați, sintetizați în ideea elucidării modului

de metabolizare al acestui tip de compuși /49/.

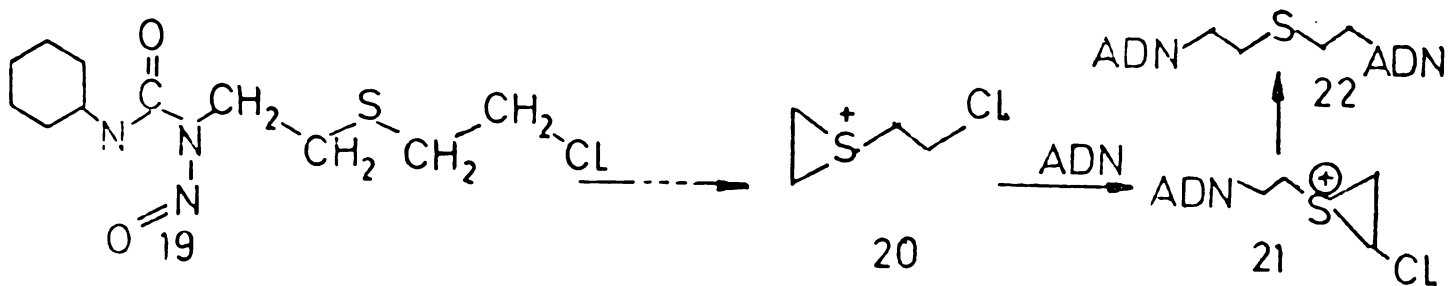
3) Nitrozoureele aromatice, sintetizate în vederea obținerii unor compuși mai liposolubili decât BCNU și în consecință mai eficienți în străbaterea barierii hemato-encefalice. Din păcate, N-NU aromatic s-au dovedit toxice și inactive (chiar și atunci cînd R este un amino acid aromatic /46/).

4) Nitrozoureele heterociclice. Deși numărul de compuși sintetizați este destul de redus, această subclasă a furnizat un reprezentant, intrat în testare clinică, și anume PCNU (8) /50/. Legarea funcțiunii NU la diversi heterociclii, a permis evidențierea unor efecte electronice interesante. Astfel, activitatea antileucemică neașteptată de scăzută a compusului 18 ar putea fi atribuită unor efecte de activare,



datorate celor două grupări  $\text{SO}_2$  adiacente grupării metilen, de care este legată funcționea ureidică, efectul steric neputind fi întriminat /27/.

Din a doua categorie fac parte unii compuși recent sintetizați în vederea exploatarii mecanismului de alchilare în două trepte a ADN de către N-NU. În acest scop s-au sintetizat compuși de tipul 19, care prin descompunere ar putea pune în libertate grupări alchilante ca, 20 (vezi cap.V.).

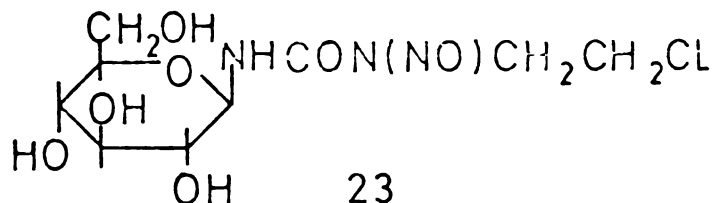


Activitatea acestor compuși este în curs de evaluare /51/.

Concepția actuală a evoluat către grefarea grupării N-nitrozoureidice pe molecule transportoare ce manifestă tropism față de anumite tipuri de celule tumorale. Din această categorie fac parte :

1) Glicozil nitrozoureele. Această subclasă bogată cuprinde :

- derivați de D-glucopiranoză (Clorozotocina, 5, GANU, 23) /30,35,52,53/;



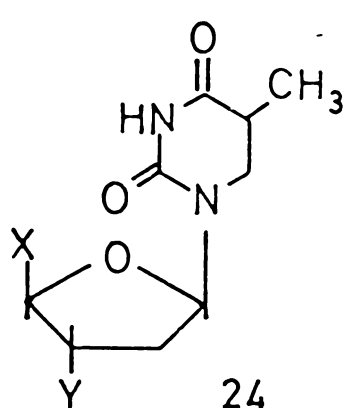
- derivați de D-galacto,  $\beta$  D-mano- și  $\beta$  D-xilo-piranozil amine /54/;

- derivați de D-riboză cu structuri piranozice și furanozice, având grupăriile HO libere sau blocate (din această serie face parte RFCNU, 7, în curs de testare clinică) /37/;

- derivați dizanaridici ( $\beta$  maltoză,  $\beta$  lactoză,  $\beta$  celobioză) /55/.

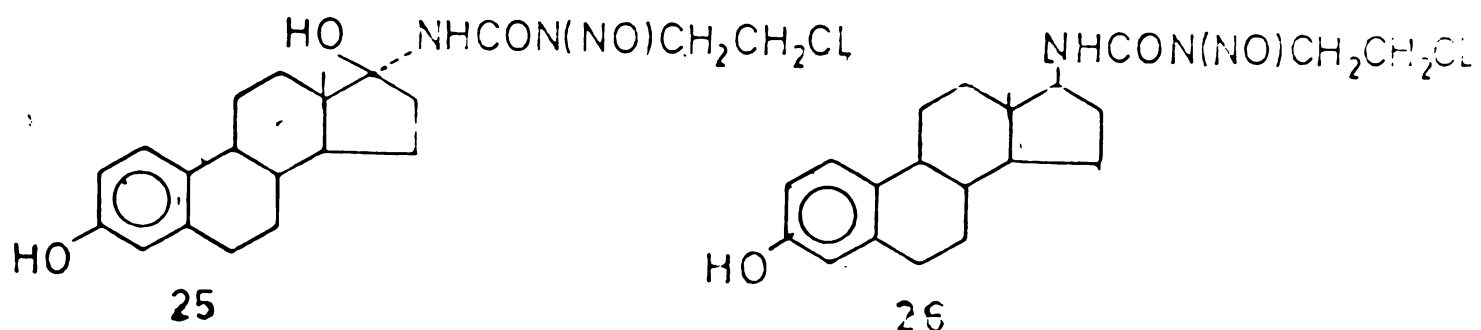
Este important faptul că toxicitatea hematopoietică a glicozil nitrozoureelor este mai redusă decât a altor subclase de nitrozouree /35/.

Studii preliminare indică că restul nucleozidic este un bun transportor al grupării N-NU. Este interesant de subliniat că activitatea antitumorală a unor derivați de timidină este dependentă de poziția funcțiunii NU, compusii 3'-NU fiind mai activi decât analogii 5', 24 /56/.

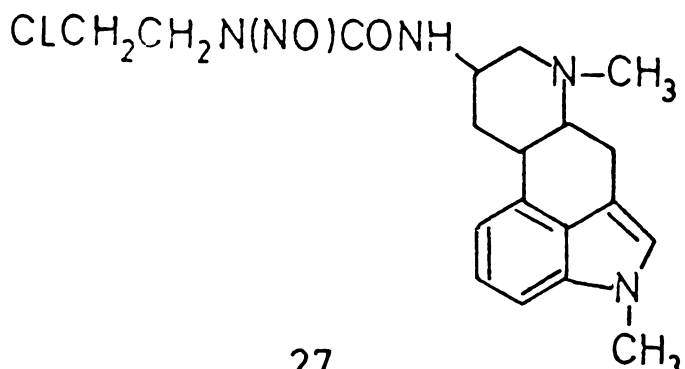


X	Y
$\text{CH}_2\text{NHCON}(\text{NO})\text{CH}_3$	OH
$\text{CH}_2\text{NHCON}(\text{NO})(\text{CH}_2)\text{Cl}$	OH
OH	$\text{NHCON}(\text{NO})\text{CH}_3$
OH	$\text{NHCON}(\text{NO})(\text{CH}_2)\text{Cl}$

2) Nitrozouree steroidice au fost sintetizate relativ recent în scopul obținerii unor compuși activi în cancerele hormonodependente, ale glandei mamare, 25,26, și capabile de interacțiune cu receptorii estrogenici /57/.



3) Derivați de ergolină de asemenea foarte recent apăruti s-au realizat în dorința de a îmbina proprietățile alchilante ale N-NU cu cele de inhibitori ai prolactinei ale transportorului. Compușii rezultați, 27, manifestă o activitate antileucemică (L 1210, P 338) remarcabilă dar sănt slabii inhibitori ai prolactinei /58/.



#### IV. Relații calitative structură chimică - activitate biologică în clasa N-nitrozoureelor

Relațiile structură-activitate reprezintă una dintre puținele metode utilizabile astăzi în încercările de abordare rațională a proiectării de noi compuși biologic activi. Acest procedeu și-a dovedit utilitatea în găsirea unor N-NU cu proprietăți farmacologice superioare și se bazează pe o evaluare pe cât posibil standardizată atât a proprietăților biologice cât și a unor parametrii fizico-chimici selecționați, ai compușilor investigați.

Derivații de N-NU manifestă o activitate cu totul ieșită din comun față de leucemiile experimentale (ex. L 1210, P 388, etc.). Evaluarea lor (la National Screening Center-NSC-SUA), într-o etapă inițială (1959-1962) față de leucemia L 1210 ( $10^5$  celule implantate intra-peritoneal - vezi tabel 6) a reliefat două elemente importante și anume: 1) superioritatea activității biologice a N-NU față de ceilalți derivați înrudiți; 2) creșterea remarcabilă a activității antitumorale produsă de atașarea unui rest 2-haloetyl la atomul de azot purtător de grupare nitrozo. Trebuie menționat că N-(2-haloetyl)-N-nitrozoureele

sînt superioare N-metil derivatilor corespunzători și din punct de vedere al unor efecte secundare (ex. streptozotocina, 4, este diabetogenă, pe cînd clorozotocina 5 nu prezintă acest inconvenient /59/).

Tabel 6

Activitatea N-nitrozo derivatilor față de leucemia L 12lo /59/

Clase de N-nitrozo derivati	Reprezentanți		CTS% <sup>(1)</sup>	Ref.
	R <sub>1</sub>	R <sub>2</sub>		
N-nitrozo guanidine	CH <sub>3</sub> CH <sub>2</sub> CH <sub>2</sub> Cl	C(NH)NHNO <sub>2</sub> C(NH)NHNO <sub>2</sub>	30 189	23, 60
N-nitrozouree	CH <sub>3</sub> CH <sub>3</sub> CH <sub>2</sub> CH <sub>2</sub> Cl	CONH <sub>2</sub> CONHCH <sub>3</sub> CONHR'	109 61 vindecări	25, 26, 27
N-nitrozo amide	CH <sub>3</sub> CH <sub>2</sub> CH <sub>2</sub> Cl	COR' COR'	inactiv inactiv	23
N-nitrozo uretani	CH <sub>2</sub> CH <sub>2</sub> Cl	COOR'	inactiv	61
N-nitrozotiouree si tioamide	CH <sub>3</sub> CH <sub>3</sub> CH <sub>2</sub> CH <sub>2</sub> Cl	CSNHCH <sub>3</sub> SOOR' SO <sub>2</sub> C <sub>6</sub> H <sub>4</sub> CH <sub>3</sub>	inactiv inactiv inactiv	62

<sup>1)</sup> CTS% - creșterea timpului de supraviețuire

CTS% =  $\frac{T}{C} - 1 \times 100$       T = durată supraviețuire animale purtătoare de tumorii

C = idem martori

Aceste constatări au stimulat sinteza unui număr mare de N-NI, 1-(2-haloetyl)-3-substituite, ceea ce a permis (pe un lot mare de congeneri) precizarea condițiilor structurale necesare unei activități anti-leucemice optime, și anume: a) natura halogenului grupării 2-haloetyl;

- b) natura izomerului N-nitrozo obținut în cursul reacțiilor de nitrozare;  
 c) natura radicalului legat la atomul de azot nenitrozat ( $N_3$ ).

a) natura halogenului grupării 2-haloetil. Sunt activi derivații în care nalogenul este F sau Cl, cei bromurați sau iodurați fiind inactivi. Activitatea remarcabilă a 2-fluoroetil nitrozourelor ridică probleme teoretice extrem de interesante și neașteptate dată fiind stabilitatea legăturii C-F și faptul că azotiperitele fluorurate sunt inactive /59/ (tabel 7)

Tabel 7

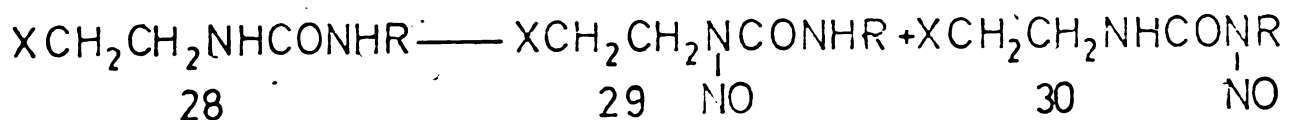
Activitatea unor derivați de 1-(2-haloetil)-1-nitrozouree  
 față de leucemia L 1210 /59/

X	R	$\frac{XCH_2CH_2NCONHR}{NO}$	L 1210 % <sup>(1)</sup>	
			$I_p (10^5 \text{ celule})^{(2)}$	$I_c (10^4 \text{ celule})^{(3)}$
F	$CH_2CH_2F$		(50-60) <sup>(4)</sup>	(60)
Cl	$CH_2CH_2Cl$ (BCNU)		0 - 100	0 - 100
Br	$CH_2CH_2Br$		(100)	0
I	$CH_2CH_2I$		inactiv	inactiv
F	ciclohexil		10-90	60-100
Cl	ciclohexil (CCNU)		80-100	20-100
Br	ciclohexil		(30)	0
F	2-norbornil		(90-100)	80-90
Cl	2-norbornil		(100)	80-90

<sup>1)</sup> rezultatele sunt exprimate în % vindecări; <sup>2)</sup>  $I_p$  = administrare intraperitoneală; <sup>3)</sup>  $I_c$  = administrare intracerebrală; <sup>4)</sup> parantezele indică o singură determinare.

Modificări de orice natură ale restului 2-cloroetil conduc la compuși considerabil mai puțin activi /61/.

b) natura izomerului N-NO obținut prin sinteză. Din reacția de nitrozare ce constituie, de obicei, etapa finală a sintezei acestor derivați, pot rezulta ambii izomeri (atât 1N-NO, 29, cât și 3N-NO, 30).



Datele biologice atestă în toate cazurile cunoscute, superioritatea netă a izomerilor 1N-NO față de cei 3N-NO în ceea ce privește activitatea antitumorală. Asupra importanței biologice relative a celor doi izomeri, vom reveni (vezi cap. XVI.)

c) natura radicalului legat de atomul de azot nenitrozat ( $\text{N}_3^-$ ), pare să condiționeze atât spectrul activității antitumorale al compușii respectiv cât și toxicitatea sa sistemică. Condițiile structurale împu radicalului R, necesare manifestării unei activități antileucemice sunt 1) cei mai activi sănt compușii pentru care R este un ciclu ciclohexan mai ales cei 4-trans substituiți. Activitatea biologică a acestor compuși depinde atât de stereochemia restului ciclohexil cât și de natura substituentului (ex. 4-trans-MeCCNU este mult mai activ decât izomerul cis, în timp ce în cazul 4-HOOC-CCNU, ambii izomeri sănt la fel de activi) /26, 27/; 2) înlocuirea ușuia sau mai multor atomi de carbon din inelul ciclohex prin heteroatomi (N,S,O) nu modifică semnificativ activitatea antileucemică, dar introducerea unei nesaturări, în restul ciclonexanic, conduce la compuși inactivi /26, 59/. În aceeași categorie de fapte trebuie menționat că, prezența unui rest R zahar asigură nu numai o activitate biologică interesantă dar și o diminuare a toxicității sistemicice; 3) compușii pe care R este un ciclu de 5-6 atomi sănt mult mai activi decât analogii cu catenă lineară; 4) pentru R aromatic se obțin în general compuși mult mai puțin activi decât cei aliciclici. Sunt descrisi, totuși, unii derivați aromatici heterociclici cu o activitate remarcabilă (de ex. PCNU, 8) /59/.

44645712

## V. Descompunerea 1-(2-cloretil)-1-nitrozoureelor

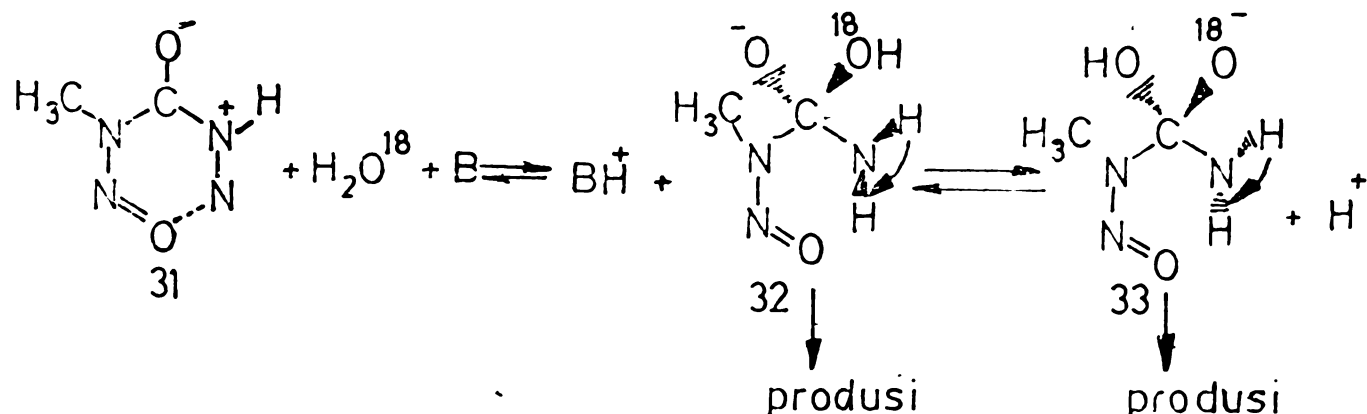
Se admite că 2-cloretil nitrozoureele sunt forme de transport eficiente ale unor intermediari activi, alchilanți și/sau carbamoi - lanții, responsabili de efectele lor biologice /12,61,62/. Din acest motiv cunoașterea mecanismului lor de descompunere în soluții apoase și identificarea intermediarilor și produsilor ce apar în cursul acestui proces prezintă un interes deosebit.

### V.1. Descompunerea derivatilor de N-nitrozouree în soluții apoase.

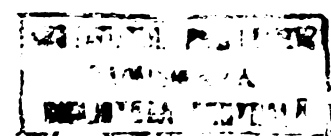
Studiul descompunerii derivatilor mono, 1,3-di și trisubstituiți de N-nitrozouree în soluții apoase a condus la următoarele concluzii:

a) în mediu acid, descompunerea se produce atât prin denitrozare cât și prin hidroliză. Etapa cheie a reacției de denitrozare constă într-un transfer lent de proton. În cazul N-metil-N-nitrozoureei produsii de hidroliză sunt metilamina,  $N_2$  și  $CO_2$  iar cei de denitrozare metiluree și acid azotos /63,64/;

b) reacția de descompunere catalizată de baze decurge, aparent, printr-un intermediar tetraedric (postulat pe baza schimbului izotopic dintre  $H_2O^{18}$  și oxigenul funcțiunii carbonil). Hidroliza N-metil-N-nitrozouree duce la: metanol și derivați ai acidului carbamic, uree, cianatii, carbamați și carbonați /65/;



c) reacții necatalitice. Există un domeniu de pH în care viteza de descompunere a ureelor substituite nu depinde de concentrația de



acid sau bază prezentă. Studiul acestei reacții în medii neapoase /12,66/ sau apoase a dus la presupunerea că în acest ultim caz etapa determinantă de viteză este reacția unei molecule de apă cu centrul carbonilic al N-nitrozoureei, cu formarea unui intermediu ciclic ce se descompune apoi cu eliberarea produsilor de reacție /65/.

V.2. Descompunerea derivatilor de 1-(2-cloretil)-1-nitrozouree  
în soluții apoase, decurge rapid, viteza de reacție (exprimată ca  $T_{0,5}$ ) fiind foarte dependentă de pH și de natura agentului nucleofil existent în mediul de reacție /12/.

V.2.1. Natura produșilor rezultati în urma dăscompunerii în medii apoase (tamponate sau netamponate) a 1-(2-cloretil)-1-nitrozoureelor.

In acord cu datele cunoscute privind descompunerea derivatilor de N-nitrozouree, era de așteptat că descompunerea 2-cloretil nitrozoureelor în medii apoase să conducă la 2-cloroetanol, uree 1,3 disubstituită simetrică, azot și bioxid de carbon. Identificarea în mod surprinzător, în cazul BCNU, CCNU, etc. și în funcție de condițiile de lucru a acetaldehide printre produși de descompunere, a făcut ca modul lor de degradare să fie considerat drept "anormal" /12,61/. Astfel descompunerea în soluții apoase pH 7,0 a BCNU-C<sup>14</sup> marcat la resturile etilenice (studiată prin GLC-SM), a furnizat că produși volatili: clorură de vinil, dicloretan, acetaldehidă și 2-cloroetanolul, reprezentând circa 0,5 moli/mol BCNU descompus /67/.

Studiul GLC-SM al produșilor volatili obținuți prin descompunerea CCNU în tampon fosfat (pH 7,3; 3 ore), evidențiază formarea preferențială a 2-cloroetanolului (20-25%) /68/.

V.2.2. Mecanismul descompunerii derivatilor de 1-(2-cloretil)-nitrozouree. Diversitatea produșilor rezultați în urma descompunerii N-NU, cît și faptul că nu întotdeauna bilanțul acestora este cantitativ, face ca interpretarea datelor obținute, sub forma unui mecanism concret de reacție, să fie dificilă. Prezența grupării 2-cloretil complică și mai

mult mecanismul acestei reacții. Fără a se considera rezolvată problema în mod definitiv au fost propuse trei căi, plauzibile, privind descompunerea acestor compuși, și anume :

- calea A - cu eliberare de carbocationi vinilici /12,67-69/
- calea B - cu eliberare de carbocationi 2-cloretilici /12,61,68/
- calea C - cu formarea unei 1,2,3-oxadiazolidine intermediare/69/.

Calea A. Descompunerea via carbocation vinilic, constă în extragerea protonului de la atomul de azot nenitrozat, urmată de stacul anionului astfel format, la atomul de carbon (electropozitivizat prin vecinătatea atomului de clor) /12/. Se formează astfel, prin eliminarea ionului de Cl, o oxazolidină, 36, instabilă, care se descompune spontan în etilendiazohidroxid, 40, și izocianat, 38. Primul, prin eliminare de azot, conduce la carbocationul vinilic, 46, din care poate rezulta acetaldehida, 42 (schema 2) /61,62,68/.

- schema 2 -

In favoarea acestui mecanism de descompunere (cronologic primul propus) s-au adus cel puțin trei argumente :

- 1) identificarea constantă a acetaldehidei printre produsii de descompunere ai 2-cloretil nitrozoureelor, rezultate prin transpoziția enolului, 49 /68/;
- 2) cinetica de descompunere corespunzătoare acestei scheme, coincide cu cea obținută prin titrarea ionului clor /12,61/ ;
- 3) identificarea, prin GC-SM a brometenei, 50, atunci cînd descompunerea are loc în mediu saturat cu bromură de sodiu. Aceasta, 50, provine, evident, din carbocationul vinilic, 46 /68,69/.

Calea B. Descompunerea via carbocationul 2-cloretil, are loc consecutiv extragerii unui proton de la atomul de azot nenitrozat (de către o bază), cu formarea directă a 2-cloretil diazohidroxidului, 37 și izocianatului 38. Primul prin pierderea unei molecule de azot, conduce

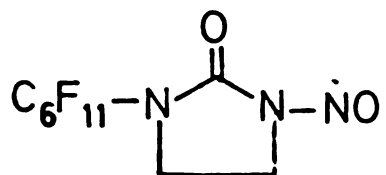
spontan la carbocationul 2-cloroetil, 45. Acesta reacționează mai departe fie ca atare, fie sub forma unui ion neclasic de cloroniu, 47, astfel putîndu-se explica proveniența tuturor produșilor de descompunere evidențiați (schema 2) /68,70/.

Argumente în favoarea acestui mecanism :

- 1) toți produșii de reacție identificați pînă în prezent sunt compatibili cu această schemă /68/ ;
- 2) trăparea carbocationului 2-cloroetil cu agenți nucleofili (ioni halogenură) și identificarea (GC-SM) a 1,2-dihalogenoetanilor corespunzători, 53 /68/;
- 3) studiul (GC-SM) comparativ al produșilor de descompunere ( $37^{\circ}$  tampon fosfat, pH 7,4) ai BCNU-deuterat fie la restul 2-cloretil legat de atomul de azot nenitrozat, fie la restul 2-cloretil legat la atomul de azot nitrozat. Repartizarea deuteriului în produșii de descompunere este consistentă cu formarea intermediară a carbocationului 2-cloroetil, care reacționează în continuare conform schemei 2 /70/.

Calea C, care decurge prin intermediul 1,2,3-oxadiazolidinei, 39, a fost postulată de curînd spre a explica dependența de pH a formării acetaldehydei (schema 2) /69/.

Totuși, deoarece datele comparative privind descompunerea acestor derivați lipsesc aproape cu desăvîrsire, doar BCNU și CCNU fiind studiați sub acest aspect, mecanismele discutate pot avea un caracter limitat. Pare probabil că mecanismul de descompunere adoptat să fie dependent atât de natura radicalului R cît și de condițiile de reacție. Acest lucru este demonstrat de descompunerea analogului decafluorociclohexil (FCCNU) al CCNU care în tampon fosfat (pH 7) formează printr-o eliminare intramoleculară a clorului 1-(decafluorociclohexil)-3-nitroimidazolidin-2-onă 54 /71/.



În ceea ce privește soarta izocianatului, 38, acesta poate suferi o hidroxidecarboxilare cu formare de amine, 56, care cu izocianatul neutrat transformă conduce la derivați de uree 1,3-disubstituiți simetриci, 57. În prezența unei amine exogene, 58, izocianatul reacționează cu aceasta înainte de a suferi hidroxidecarboxilare, conducând la derivați de uree 1,3-disubstituiți asimetrici 59 (schema 3). Aceste reacții sunt susținute de rezultate experimentale /12/.

- schema 3 -

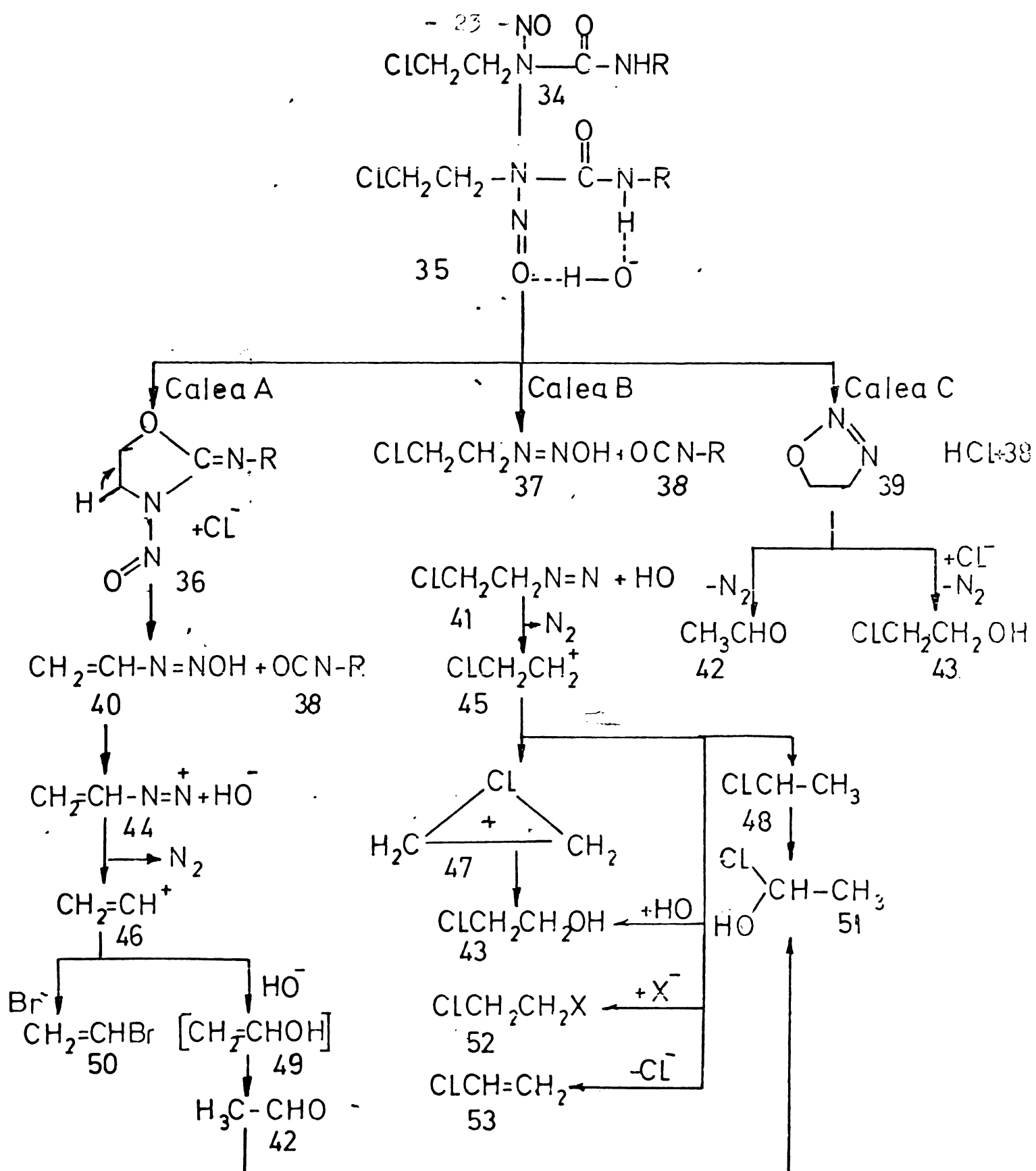
VI. Metabolizarea 1-(2-cloretil)-1-nitrozoureeelor

Studiile efectuate în vederea elucidării mecanismului de acțiune al N-NU au relevat încă de la început o serie de caracteristici puțin obișnuite, și anume :

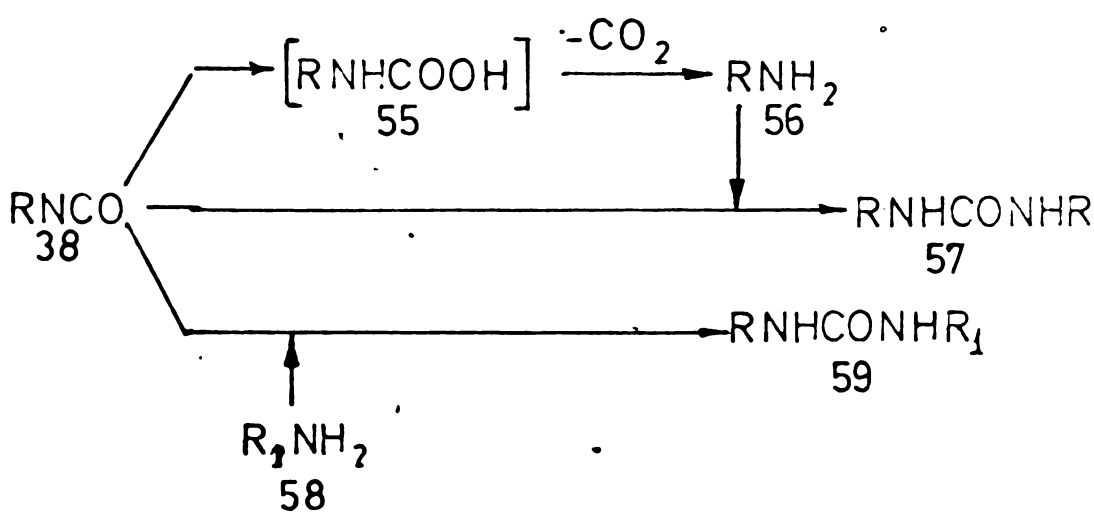
- a) faptul că N-NU constituie, probabil, forme de transport eficiente ale unor intermediari reactivi (vezi cap.V) ;
- b) aceștia sunt capabili să interacționeze cu macromoleculele celulare (proteine, acizi nucleici) producând, în funcție de doză, fie efecte letale, fie întîrzierea mitozei celulelor;
- c) N-NU manifestă activitate ridicată față de leucemia L 1210 ip și ic ;
- d) N-NU posedă capacitatea de a străbate bariera sânge-cereier.

Un prim element important al farmacocineticii acestor derivați îl constituie timpurile de înjumătățire chimice și biologice (tabel 8) /72-75/.

Folosirea N-NU marcate atât în restul 2-cloretil cât și în radicalul R, a arătat că răspindirea produsilor de descompunere în plasmă și lichidul cerebrospinal (LCS) este promptă și decurge după cinetici asemănătoare /72/. Astfel, în cazul CCNU, radioactivitatea restului cicloexil se acumulează preferențial în plasmă (plasmă:LCS/2;1), iar cea da-



Schema 2



Schema 3

torată restului 2-cloretil în LCS (plasmă: LCS/1:3). În ambele fluide, concentrația maximă se atinge, indiferent de modul de administrare, după circa 0,5 ore și se menține timp îndelungat (36-48 ore) /72/.

Tabel 8

Timpurile de îngrijorâtire ( $T_{0,5}$ ) chimice și biologice ale unor nitrozouree folosite în clinică /72/

$T_{0,5}$ compus	Durată (min)		
	BCNU	CCNU	MeCCNU
biologic <sup>(1)</sup>	15-30	94	-
chimic <sup>(2)</sup>			
soareci	5	6	5
câini	5	15	-
maimute	5	15	-
om	ND <sup>(3)</sup>	ND	ND

<sup>1)</sup> estimat prin numărul de celule omorîte în vivo; <sup>2)</sup> estimat prin determinarea concentrației moleculelor intacte în plasmă; <sup>3)</sup> nu s-a detectat moleculă intactă în plasmă.

Excreția se face în special prin rinichi, cea biliară și reabsorbția intestinală avînd totuși un rol important /72,76,77/. Produsii de degradare identificate în cazul CCNU-ciclohexil C<sup>14</sup> sunt: ciclohexil amina, 1,3-diciclohexil ureea și CO<sub>2</sub>; pentru CCNU-etilen C<sup>14</sup> mai mult de 60% din radioactivitatea totală se detectează în urină (circa 50% sub formă de tioli alchiilați, rezultați prin reacția directă dintre tioli și carbocationul 2-cloretil sau produsii săi de reacție 2-cloroetanolul, acetaldehida, etc.) /75,76/. Rezultate asemănătoare se obțin și în cazul MeCCNU /78/.

In afara descompunerii neenzimaticice a N-NU, acestea suferă și multă și o degradare sub influența enzimelor microzomale. Aceste bio-

transformări sănt puțin cunoscute și depind de natura radicalului atașat la atomul de azot nenitrozat. S-a stabilit că atât CCNU cât și MeCCNU suferă o hidroxilare rapidă la inelul ciclohexanic (citocrom P-450 dependentă, sub acțiunea microzomilor hepatici, înainte de hidroliza restului nitrozouree /79/. Cinci din cei șase izomeri hidroxilați și CCNU, teoretic posibili, au fost identificați la șobolani și numai doi la om (4-cis și trans HO-CCNU) /48,80,81/. Acest aspect a fost studiat printr-o metodă extrem de elegantă (metabolic switching). Folosindu-se CCNU complet deuterat la inelul ciclohexanic (CCNU-d11) s-a arătat posibilitatea influențării hidroxilării microzomiale prin înlocuirea H cu D /49/. Nu este sigur dacă hidroxilarea CCNU este însă determinantă pentru activitatea sa antileucemică /49,82/. BCNU poate de asemenea constitui un suhstrat pentru enzimele microzomale (mai ales cele hepatice), care produc denitrozarea sa, cu formarea 1,3-bis(2-cloretil)uree, printr-un mecanism încă nelămurit /72,83/. Rezultă deci, că sub acțiunea enzimelor microzomiale unele nitrozouree sănt dezactivate (de ex. BCNU), în timp ce altele pot fi transformate în compusi aparent mai activi (de ex. CCNU).

- Datele rezultate din studiile de metabolizare ale 2-cloretil nitrozourelor (efectuate în special cu BCNU, CCNU și MeCCNU marcate) au arătat
  - o rapidă absorbție, distribuție și metabolizare a acestora, imediată parțial prin enzimele microzomiale;
  - reținerea preferențială de către proteinele plasmatice a radioactivității legate de radicalul R (ciclohexil, Me-ciclohexil, etc.), și de către ADN a celei legate de restul 2-cloretil;
  - capacitatea restului 2-cloretil sau a produsilor săi de degradare de a străbate bariera sânge-creier;
  - persistența îndelungată în fluidele circulațante (plasmă, ICS) și produsilor de descompunere ai N-NU, ceea ce ar putea constitui o explicație și pentru fenomenele de toxicitate tardivă constatare (trombopenii tardive, etc.) /72-76,78/.

## VII. Mecanismul de acțiune la nivel molecular al 1-(2-clor- etil)-1-nitrozoureelor

Așa cum s-a arătat, intermediarii rezultați în urma descompunerii, neenzimatic sau enzimatice, a derivaților de N-NU, pot reacționa ulterior atât prin carbamoilarea cît și prin alchilarea macromoleculelor celulare. Nu s-a reușit încă precizarea structurii intermediarului responsabil de efectul antitumoral, care de altfel poate sau nu să fie diferit de cel care produce efectele toxice.

O primă categorie de fapte pentru lămurirea acestei probleme, este furnizată de studiile, efectuate in vitro și in vivo, privind interacția N-NU cu macromoleculele celulare. Se constată o legare preferențială de proteine (în special de polilizină) a radicalului grefat la atomul de azot nenitrozat. Radicalul 2-cloretil reacționează în proporții egale, dar în cantitate semnificativ mai scăzută, atât cu acizii nucleici (AN) cît și cu proteinele /84/.

Coroborate cu proprietățile biologice ale N-NU (vezi cap.II și cap.III) datele de mai sus sugerează ipoteza că alchilarea, aproape unanim acceptată, a ADN-ului ar putea fi responsabilă de acțiunea lor antitumorală /85/. Primele argumente în sprijinul unui astfel de mecanism au fost aduse de studiul interacției BCNU și BFNU cu poliribonucleotidele și ribonucleotidele sintetice, studiu care a pus în evidență siturile probabile și posibile de alchilare a ADN (tabel 9) /86-89/.

Conform ipotezei recent formulate de Korn /90-95/, reacția N-NU cu ADN are loc cu formarea de legături încrucișate (cross-linking) responsabile pentru efectul letal astfel indus. Acest efect a fost demonstrat în cazul culturilor celulare, o caracteristică a inducerii de legături încrucișate fiind faptul că acest proces are loc relativ lent și continuă chiar după îndepărțarea drogului din mediu. Se consideră că acest fenomen are loc în două etape. Prima constă în reacția rapidă a carbocationului 2-cloretil cu centrul O<sub>6</sub> din guanină. Cea de a două

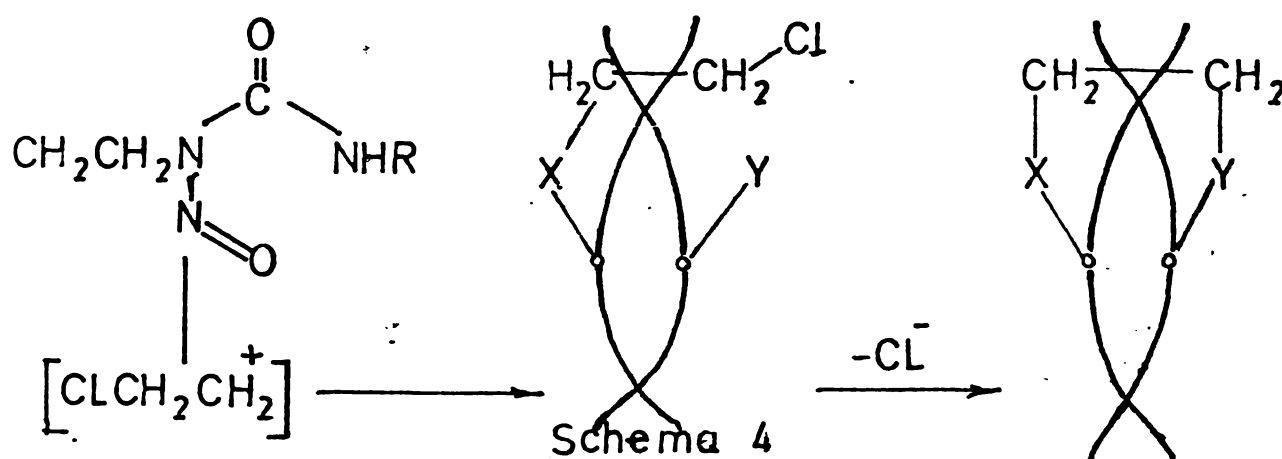
Tabel 9

Produsii de alchilare obținuti "in vitro"  
cu N-(2-haloetil)-N-nitrozouree /89/

N-NU	Material tratat	Produse de alchilare
	poli C	
BCNU	poli G	
	poli A și poli U	reacție foarte slabă
	guanină	
	guanină + citidina	produsi de cross-linking
BFNU	citidină	
	guanină	
		X=F, OH
BCNU, BFNU	adenină	
		X=Cl, F, HO

etapă, lentă, implică alchilarea (printr-un mecanism  $S_N2$ ) a unei baze de pe lanțul vecin, probabil a citozinei la  $N_4$ , cu eliminarea simultană

a  $\text{Cl}^-$ . Alchilarea citozinei nu are loc în prima etapă din cauza implicării acestei poziții în edificiul legăturilor de H al ADN-ului /90/. Este foarte probabil că prin 2-cloroethylarea guaninei la  $O_6$  să se producă o distorsiune a moleculei de ADN ceea ce ar permite scoaterea din acest edificiu a funcțiunii N-4 a moleculelor de citozină adiacente făcîndu-le astfel accesibile din punct de vedere steric /90, 96/. Viteza redusă cu care are loc alchilarea grupării N-4 poate fi explicată prin nucleofilitatea scăzută a acestei funcțiuni /90/ (schema 4).



Au fost puse în evidență în urma interacțiunii ADN+N-NU și alte tipuri de leziuni și anume: legături încrucișate ADN-proteine (sensibile la proteinaza K), ruperi monocatenare, etc. /91/.

Deși capacitatea N-NU de a produce legături încrucișate la nivelul ADN, reprezintă o posibilitate atractivă de explicare a activității lor antitumorale, nu este însă imposibil ca interacțiunile lor cu ARN și/sau cu proteinele (nucleare sau citoplasmatice), să fie responsabile, cel puțin parțial, de această proprietate /97/.

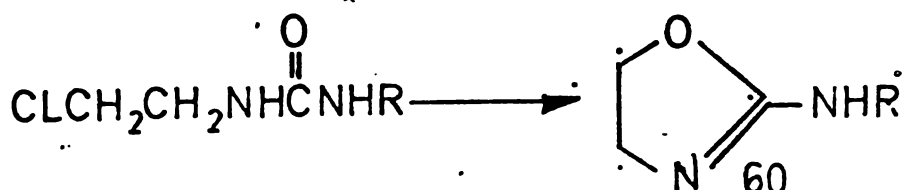
Izocianătii reprezintă cel de al doilea produs major de descompunere al N-NU, structura lor depinzînd de natura radicalului de la atomul de azot nenitrozat. În funcție de reactivitatea izocienatului rezultat N-nitrozoureele corespunzătoare pot fi puternic sau slab carbamoilante /97/. Acțiunea lor se manifestă de preferință la nivelul aminoacicilor, peptidelor și proteinelor (tabel 10).

Tabel 10

Locurile unde se poate produce carbamoilarea amino-  
acizilor, peptidelor si proteinelor /97/

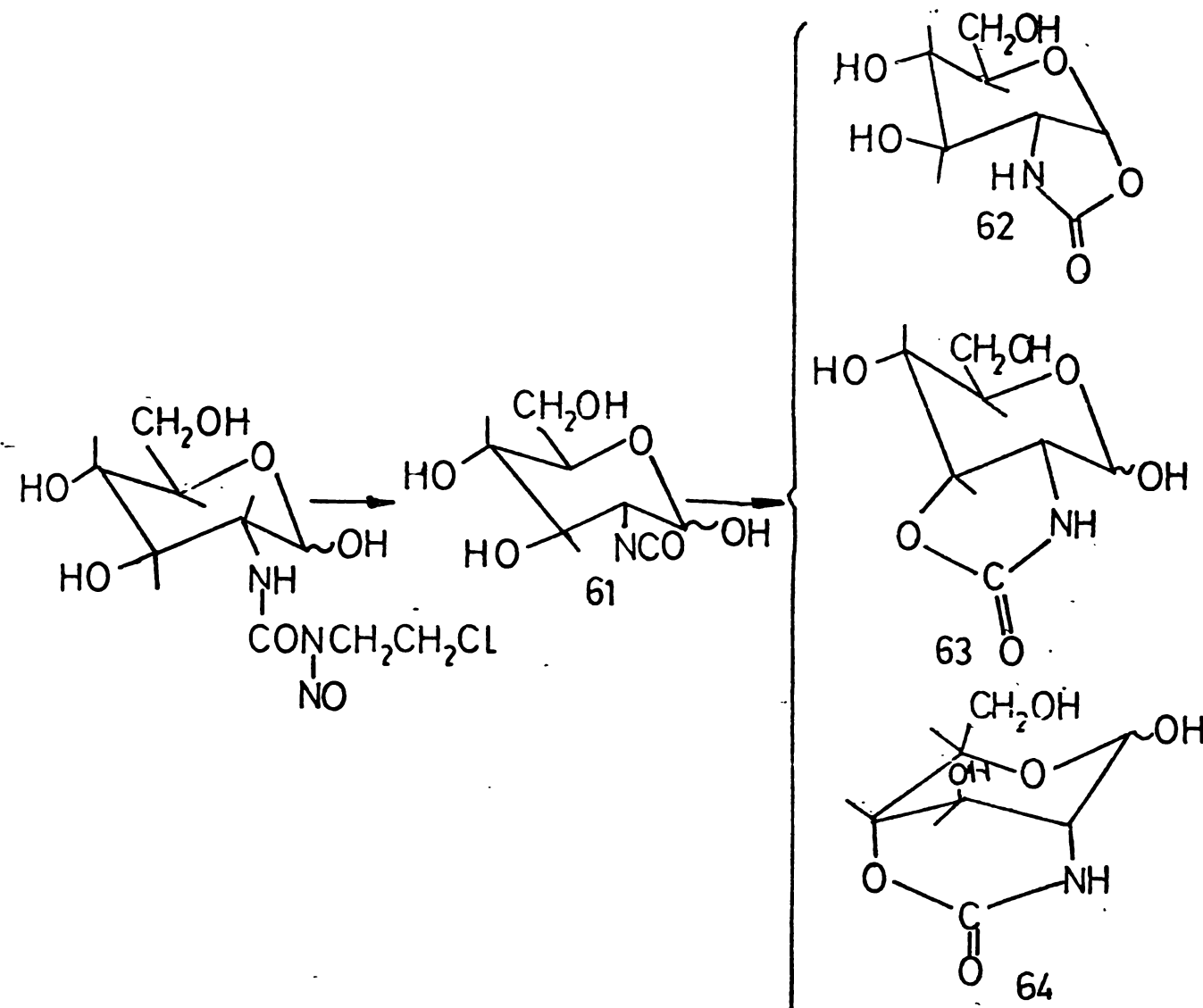
- grupările  $\alpha$  amino din  $\alpha$  amino acizi
- grupările  $\alpha$  și  $\epsilon$  amino din lisina
- grupările aminoterminale din peptide și proteine
- grupările  $\epsilon$  amino din resturile lisină ale peptidelor și proteinelor
- grupările tiolice, grupările OH

BCNU și CCNU manifestă o acțiune puternic carbamoilantă /98/. Izocianatii rezultați din descompunerea lor produc: inactivarea ADN-polimerazei II /99/; inhibiția specifică a ADN-ligazei /6,100/ modificarea proteinelor nucleare (în special a histonelor H<sub>1</sub> bogate în lisină și accesibile steric) /95/; inhibiția progresiei celulare de-a lungul întregului ciclu celular /85/; inhibiția biosintizei de ARN /101,102/ etc. Natura efectelor biochimice induse depind în mare măsură de structura chimică a izocianatilor. Un exemplu semnificativ îl constituie cazul BCNU, cînd carbamoilarea grupărilor amino, conduce la derivați de 2-cloretil uree, care în condiții fiziologice se ciclizează cu formarea unor oxazoline (60) /103/. Formarea unor astfel de oxazoline este imposibilă în cazul altor derivați de N-NU /103/.



Dat fiind că nu toate N-NU active sunt puternic carbamoilante se poate considera că aceasta nu este direct legată de activitatea lcr antitumorală. Majoritatea autorilor consideră procesul de carbamoilare responsabil de efectele toxice (sistemice) ale acestor derivați /19,98,104/.

Un argument în favoarea acestei teze ar fi toxicitatea mult mai scăzută a clórozotocinei în raport cu cea a CCNU (la doze comparabile), explicabilă prin posibilitatea carbamoilării intramoleculară a izocianatului 61, rezultat din descompunerea ei (schema 5).



Schema 5

Totuși acest argument nu are valoare absolută, cu atât mai mult cu cît s-a arătat în trialuri clinice recente că clorozotocina posedă totuși proprietăți mielosupresive /41/. Astfel semnificația biologică și activității carbamoilate rămîne controversată.

## VIII. Relații cantitative structură chimică - activitate

### biologică (QSAR) în clasa 1-(2-cloretil)-1-nitrozoureelor

Stabilirea unor relații cantitative structură - activitate, în clasa N-NU, constituie o etapă importantă în dezvoltarea acestui domeniu. Pentru cazul particular al N-NU, o dificultate suplimentară provine din faptul că mecanismul lor de acțiune nefiind încă elucidat, parametrii folosiți pentru calcularea unor astfel de relații s-ar putea să nu fie cei mai semnificativi.

#### VIII.1. Parametrii fizico-chimici și biologici utilizati în clasa N-NU pentru corelați QSAR sunt următorii :

##### a) parametrii fizico-chimici :

- timpul de înjumătățire ( $T_{0,5}$  min.) exprimă viteza de descompunere, în condiții fiziologice (tampon fosfat, pH 7,4 și  $37^{\circ}\text{C}$ ). Acest parametru este invers proporțional cu constanța vitezei de descompunere a N-NU măsurată în aceleasi condiții /5,105/.

- liposolubilitatea ( $\log P$ ), sau logaritmul coeficientului de partiție ( $P$ ) în sistemul octanol-apă, este o măsură relativă a caracterului hidrofil sau hidrofob al substanței considerate /31,106/.

- activitatea alchilanță ( $A$ ) determinată față de p-nitro-benzilpiridina (NBP) în condiții aproximativ fiziologice, exprimă electrofilia carbocationilor puși în libertate în cursul hidrolizei acestor compuși /4,5,105,106/.

- activitatea carbamoilantă ( $C_a$ ), măsoară capacitatea restului izocianat eliberat în cursul hidrolizei de a carbamoila lizina /5,107/.

##### b) parametrii biologici :

- activitatea anticanceroasă, față de tumori experimentale cu creștere rapidă (leucemie L 1210, P 388) sau lentă (melanom Bl6, tumoră pulmonară Lewis, etc.) se exprimă prin logaritmul inversului concentrației ce produce un efect antitumoral standard (definit sub forma cresterii

timpului de supraviețuire - CTS% - sau prin indici terapeutici ED 99, ED 50, ED 99/ED 50, etc.).

- toxicitate acută exprimată prin  $\log 1/C$  ( $C$  - concentrația echivalentă dozei letale 10% - DL<sub>lo</sub>).

Corelarea matematică a parametrilor fizico-chimici cu cei biologici s-a făcut cu ajutorul unor ecuații liniare sau multiliniare de regresie sau prin ecuații parabolice.

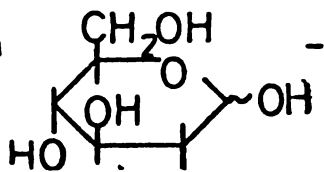
**VIII.2. Corelarea activității biologice cu parametrii fizico-chimici.** Clasa N-nitrozoureelor reprezintă un exemplu tipic de domeniu în care considerații de acest gen, la prima vedere destul de abstracte, au dus la rezultate concrete. Concluziile studiilor întreprinse /46, 105, 108/ pot fi rezumate astfel :

a) Modificarea substituentului atașat la atomul de azot nenitrozat, conduce la compuși cu proprietăți fizico-chimice și biologice care variază în limite foarte largi (tabel 10).

Tabel 10

Proprietățile fizico-chimice ale unor derivați de N-NU utilizati clinic sau aflati în faze înaintate de testare /97/



Compus	R	$\log P$	%CCNU			DL <sub>lo</sub> mmoli/kg	CTS% L 12lo
			T <sub>0,5</sub>	A	C <sub>a</sub>		
CNU	H		2	577	20	31	205
CCNU		2,83	100	100	100	121	364
BCNU	$\text{CH}_2\text{CH}_2\text{Cl}$	1,53	82	267	68	116	260
clorozotocina		-0,22	40	452	4	64	332

De exemplu, deși lipofilitatea variază cu aproape 4 ordine de mărime între MeCCNU (puternic lipofil  $\log P = 3,30$ ) și clorozotocină (hidrofilă cu  $\log P = -0,22$ ), din punct de vedere al activității lor anticanceroase ele rămân comparabile. Deci acest parametru pare să influențeze mai curind spectrul antitumoral al compușilor discutați, decât activitatea lor ca atare.

b) între timpul de înjumătățire ( $T_{0,5}$ ) și activitatea alchilantă există o proporționalitate inversă, fapt concordant cu mecanismul de descompunere postulat pentru N-NU /5/. Considerînd mecanismul de hidroliză al tuturor N-NU studiate ca fiind analog, este de așteptat ca să existe o proporționalitate directă între viteza de descompunere a acestora și cea de alchilare a NBP, dacă prima constituie etapa cinetic limitativă /31/.

c)  $T_{0,5}$  este într-o relație de proporționalitate directă cu activitatea carbamoilantă, radicalii care contribuie la mărirea stabilității N-NU fiind și cei care generează izocianatii cu cea mai mare afinitate față de lizină /5/.

d) nu s-au putut stabili corelații între  $T_{0,5}$  și liposolubilitate, între activitatea alchilantă și cea carbamoilantă și între activitatea alchilantă și liposolubilitate /5/.

Dintre parametrii fizico-chimici, activitatea alchilantă și cea carbamoilantă par să influențeze în mod hotărîtor activitatea biologică /5/.

**VIII.2.1. Importanța liposolubilității pentru proiectarea de noi compuși** Abilitatea N-NU de a străbate bariera sânge-creier, constituie poate cea mai importantă proprietate a acestor compuși, care pot astfel distruge celulele leucemice cantonate intracerebral. În ciuda complexității fenomenelor de transport, ea poate fi legată de liposolubilitate, putîndu-se stabili în ultimă instanță relații canticative (QSAR) între activitatea antileucemică și  $\log P$  /31,46,107/. Valorile optime

ale liposolubilității calculate pe bază datelor obținute pe tumori experimentale (fie  $\log P_o$ ), deși diferite de la autor la autor (tabel 11) sunt mult mai mici decât cele obținute pentru alte tipuri de compuși, farmacologic activi, capabili să străbată bariera hematoencefalică (de exp.  $\log P_o$  pentru barbiturice este  $\approx 2$ ) /109/.

Tabel 11

Limite optime de valori pentru  $\log P$  în clasa N-NU

• Log $P_o$	sistem testare	număr compuși	lit.
- 0,6	L 12lo, șoareci	23	31
0,8	carcinom Lewis, șoareci	14	46
0,4	sarcom 9L ic., sobolani	6	108

Această discrepanță s-ar putea explica prin aceea că leucemia L 12lo ic nu constituie un model potrivit pentru un neoplasm cerebral, implicînd și procese infiltrative /108/. Faptul că clorozotocina este mult mai puțin activă decât CCNU, față de neoplaziile cerebrale, confirmă importanța acestui parametru /97/.

In orice caz trebuie menționat că liposolubilitățile optime calculate cu ajutorul relațiilor de tip QSAR pentru leucemii și tumori solide sunt destul de diferite /28,46/.

Sumarizînd rezultatele obținute, se pot preciza următoarele :

- a) străbaterea barierelor singe-creier de către N-NU admite o liposolubilitate optimă între  $3.0 \geq \log P_o \geq 0.0$ ;
- b) compușii cu  $\log P \geq 3.0$  sunt activi mai curînd față de tumorele solide de tipul carcinomului Lewis /28/;
- c) compușii cu  $\log P \leq 0.0$  sunt foarte activi față de leucemiile experimentale, dar străbat greu bariera hematoencefalică.

VIII.2.2. Corelarea activității antitumorale cu timpul de înjunătărire, activitatea alchilantă și cea carbamoilantă.

Excluzând liposolubilitatea, care nu este considerată un parametru independent, analiza de regresie pentru o serie de șase N-NU, arată că activitatea antileucemică a acestora nu se corelează semnificativ cu nici unul dintre parametrii fizico-chimici considerați (ec. 1-3) /108/ :

$$\text{CTS\%} = 2,0248 T_{0,5} + 176,4315 \quad \frac{r}{0,62352} \quad (1)$$

$$\text{CTS\%} = 2,03299A + 388,7646 \quad 0,52981 \quad (2)$$

$$\text{CTS\%} = 0,01327Ca + 280,9177 \quad 0,00381 \quad (3)$$

Se obțin îmbunătățiri ale indicelui de corelare dacă activitatea antileucemică se exprimă prin indici terapeutici, și dacă se iau în considerare simultan mai mulți parametri fizico-chimici, în cadrul unor ecuații multilinéare (ec. 4-5, 6 derivați de N-NU) /5/ :

$$\frac{r}{ED50 = -0,00188Ca - 0,00288A + 0,331} \quad 0,782 \quad (4)$$

$$ED50 = -0,00211Ca - 0,00326A + 0,000407P + 0,365 \quad 0,788 \quad (5)$$

$$ED50/DLlo = 0,00173Ca - 0,00537A - 0,0337P + 0,6880 \quad 0,712 \quad (6)$$

In general rezultă că activitatea alchilantă are o pondere mai mare decât cea carbamoilantă în ecuațiile de regresie de mai sus. Deși A contribuie atât la toxicitatea față de gazdă cât și față de celulele leucemice, creșterea activității alchilante măreste efectul terapeutic /5/.

Desigur, datele de mai sus nu sunt complet semnificative sub aspect statistic, dar literatura de care dispunem nu prezintă analiza unor loturi numeroase și omogene de compuși din această clasă.

VIII.2.3. Corelarea toxicității cu parametrii fizico-chimici

Toxicitatea nematopoetică reprezintă manifestarea majoră a toxicității N-NU la mamifere și principalul factor ce limitează utilizarea lor clinică /97/. Din acest motiv, constatărea că derivații din această

clasă, care la atomul de azot nenitrozat au săsat un rest zahăr, sănt mai puțin toxici față de măduvă, este foarte importantă, sub aspect practic /10/.

Deși inițial s-a postulat că, în cazul N-NU, activitatea alchilanță este responsabilă de efectul antitumoral iar cea carbamoilanță de cel toxic, se pare, totuși, că mărimea toxicității față de neutrofile nu este determinată exclusiv de activitatea carbamoilanță a compusilor respectivi. De exemplu, nici GANU nici clorozotocina nu micșorează numărul de neutrofile, deși primul este de 16 ori mai carbamoilanț decât al doilea /104,105/.

Reprezentarea grafică a dependenței toxicității ( $DL_{10}$ ) de A și Ca, evidențiază că derivații foarte alchilanți sau foarte carbamoilanți sănt la fel de toxici. Pe de altă parte există derivați cu valori A și Ca mici, care sănt de asemenea toxici, toxicitatea compusilor mai hidrofili fiind mai accentuată /5/.

Analiza matematică a proprietăților acestor compusi conduce așa cum reiese din ecuațiile de mai sus (ec. 7-13) /5/ la următoarele concluzii :

$DL_{10} = -0,00192Ca + 0,3569$	$\frac{r}{0,246}$	(7)
$DL_{10} = -0,00304A + 0,3529$	0,369	(8)
$DL_{10} = -0,00457P + 0,1615$	0,629	(9)
$DL_{10} = -0,0048Ca - 0,00574A + 0,7075$	0,639	(10)
$DL_{10} = -0,00148Ca + 0,00444P + 0,2452$	0,656	(11)
$DL_{10} = -0,00045A + 0,00436P + 0,180$	0,630	(12)
$DL_{10} = -0,00324Ca - 0,00319A + 0,0028P + 0,480$	0,700	(13)

- lipofilicitatea pare factorul dominant în determinarea toxicităților relative ale compusilor analizați ;

- corelarea  $DL_{10}$  cu A este mai bună decât cu Ca și se obține o îmbunătățire semnificativă a coeficientului de corelare dacă se ține

săama de ambii parametrii /5,105/.

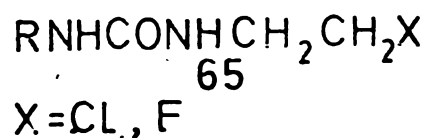
### VIII.3. Concluzii

Deși formularea relațiilor structură chimică - activitate biologică, în clasa N-NU, abordată inițial cu mare entuziasm nu a condus la rezultate spectaculoase, totuși din aceste studii a reiesit că pentru ca un derivat de 1-(2-haloetil)-1-nitrozouree-3- substituită să prezinte proprietăți terapeutice optime, el trebuie să aibe: activitate alchilană ridicată, activitate carbamoilană scăzută, reactivitate chimică relativ scăzută și o valoare a lipofilicității situată la limita superioară a intervalului propus de Hansch.

### IX. Sinteză mono și 1,3-di(2-haloetil)ureelor

Aceste tipuri de uree constituie intermediarii cheie în sinteza 1-(2-haloetil)l-nitrozo sau 1,3-di(2-haloetil)-l-nitrozourelor, produsi anticanceroși cu mare eficiență. Din acest motiv prepararea lor face obiectul unei discuții mai detaliate.

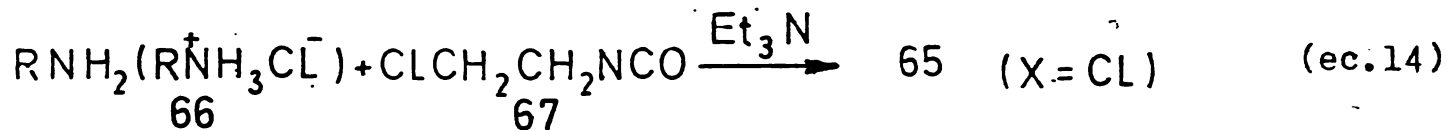
Deoarece datele farmacologice analizate au arătat că în cazul N-nitrozoderivaților de uree prezența resturilor 2-clor sau 2-fluoretil (și, deocamdată numai a acestora) conferă derivaților respectivi proprietăți antileucemice cu totul remarcabile (vezi cap. III ) ne vom referi în continuare în special la metodele particulare de obținere a ureelor precursoroare corespunzătoare (65).



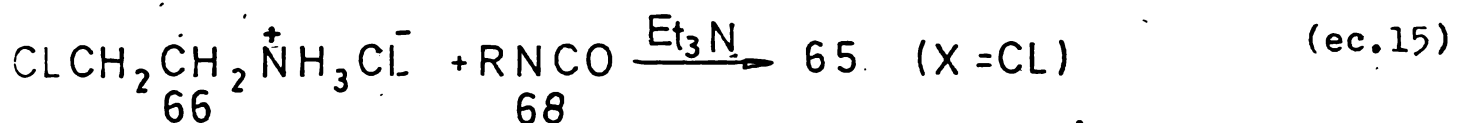
In sfîrșit, dat fiind că spectrul antitumoral al N-nitrozourelor este determinat în mare măsură de natura radicalului R din 65, un număr mare de 2-fluoro sau 2-cloretiluree au fost sintetizate, având R dintre cei mai diferenți (resturi alifatice, cicloalifatice, heterociclice, carbohidrați, etc.).

Din sistematizarea bogatului material existent, rezultă că 2-cloretilureele se pot obține prin una din următoarele metode :

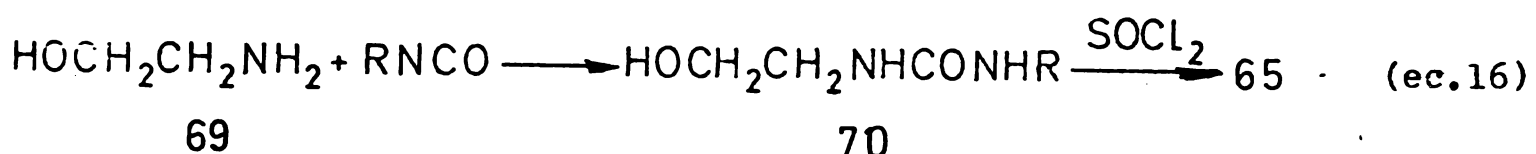
a) cuplarea 2-cloretil izocianatului 67 cu amina dorită, 66, (sau clorhidratul acesteia) în prezența sau absența unor acceptori de HCl suplimentari ( $\text{Et}_3\text{N}$ , Py) în solvenți convenabili (ec.14) /25-27,35, 36,49,54-56,60,81,111-126/.



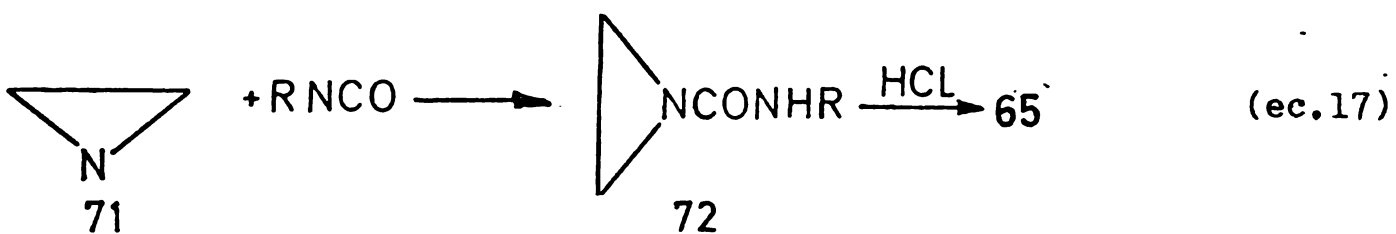
b) cuplarea 2-cloretil aminei clorhidrat cu izocianatul corespunzător restului R, 68, în prezența de amine terțiare (ec.15) /27,47, 127,128/.



O variantă a acestei metode constă în înlocuirea 2-cloretil aminei cu 2-hidroxietil amină, 69, ureele astfel obținute, 70, fiind transformate în 2-cloretil derivați, 65, cu ajutorul unui agent de clorurare, de obicei  $\text{SOCl}_2$  (ec.16) /25,26,129/.



c) din etilenimină, 71, și RNCO, aziridinilureele intermediare, 72, fiind transformate la tratare cu HCl conc. în 2-cloretil derivații doriti (ec.17) /25,130/.

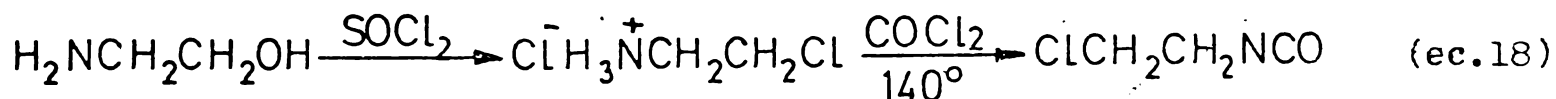


Alegerea uneia sau alteia din variantele de mai sus, depind de accesibilitatea relativă a reactanților sau de obiectivul sintezei. Metoda cea mai utilizată constă în cuplarea 2-cloretil izocianatului cu aminele dorite (metoda a), importanța ei fiind justificată de posibilitatea obținerii unor serii largi de derivați (sinteza aminelor fiind mai ușoară decât a izocianatilor corespunzător). Un al doilea motiv

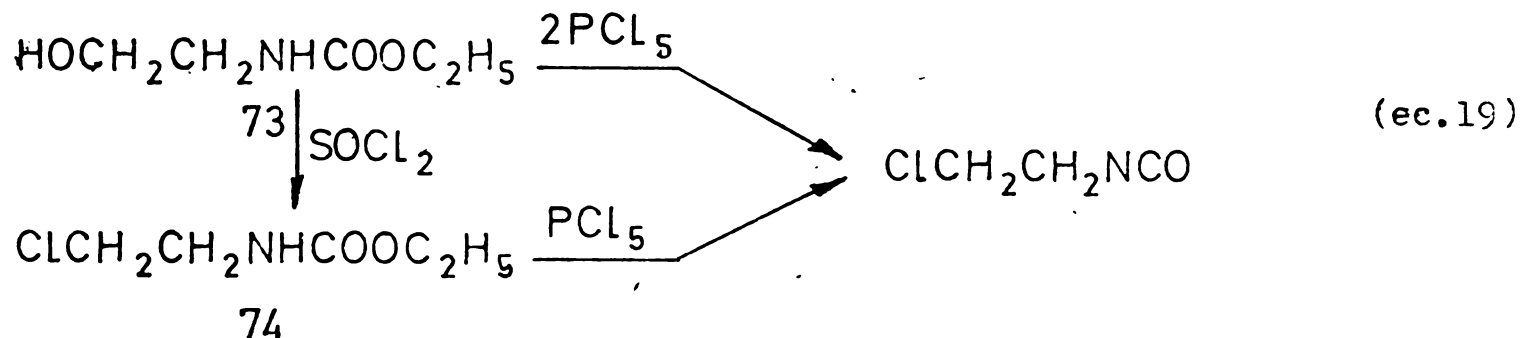
rezidă în reactivitatea crescută a 2-cloretil izocianatului, 67, ceea ce permite realizarea cuplării în condiții comode și cu rândamente ridicate. Datorită avantajelor acestui procedeu sinteza 2-cloretil izocianatului prezintă o importanță deosebită. Trebuie menționat că reactivitatea să ridică o serie de probleme tehnologice deloc neglijabile.

Dintre metodele de sinteză ale 2-cloretil izocianatului, 67, cele mai cunoscute sunt următoarele :

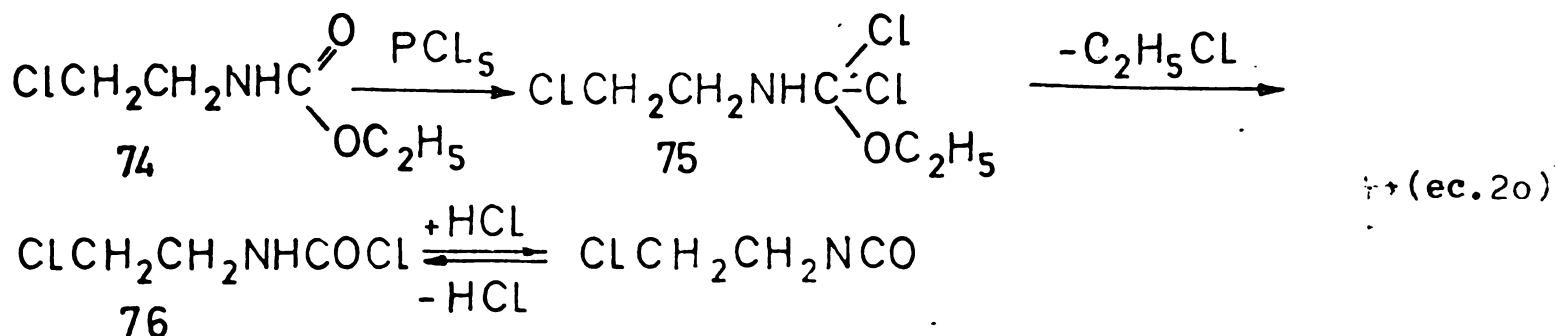
- din monoetanol-amină prin clorurare și fosgenare, fără separarea 2-cloretil aminei.HCl (ec.18) /131,132/.



- din acțiunea pentaclorurii de fosfor asupra hidroxietiluretanului, 73, sau cloretil uretanului, 74 (ec.19) /133,134/.

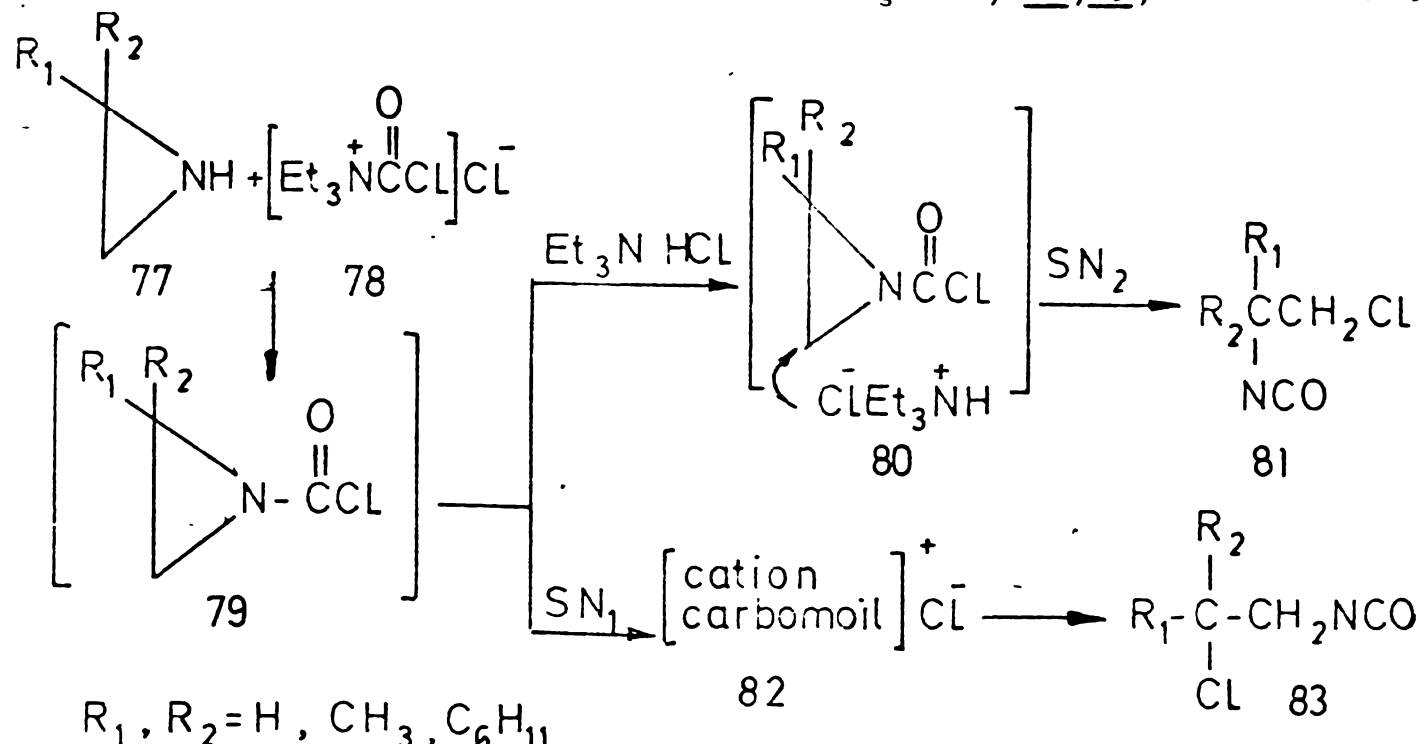


Se pare că, inițial, sub acțiunea  $\text{PCl}_5$  oxigenul grupării carbonil este înlocuit cu dori, conform următoarei secvențe de reacții (ec.20) /133/



- reacția complexului trietilamină (piridină) : fosgen/1:1, 78, cu aziridină (sau aziridine substituite), 77, metodă care prezintă avantaje nete față de cele raportate anterior, constituind și un procedeu

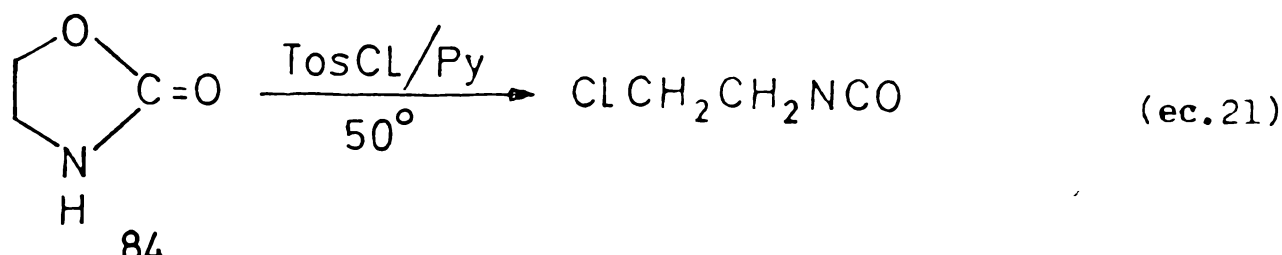
general de sinteză a 2-cloroalchil izocianatilor, 81,83, schema 6 /135/.



Schema 6

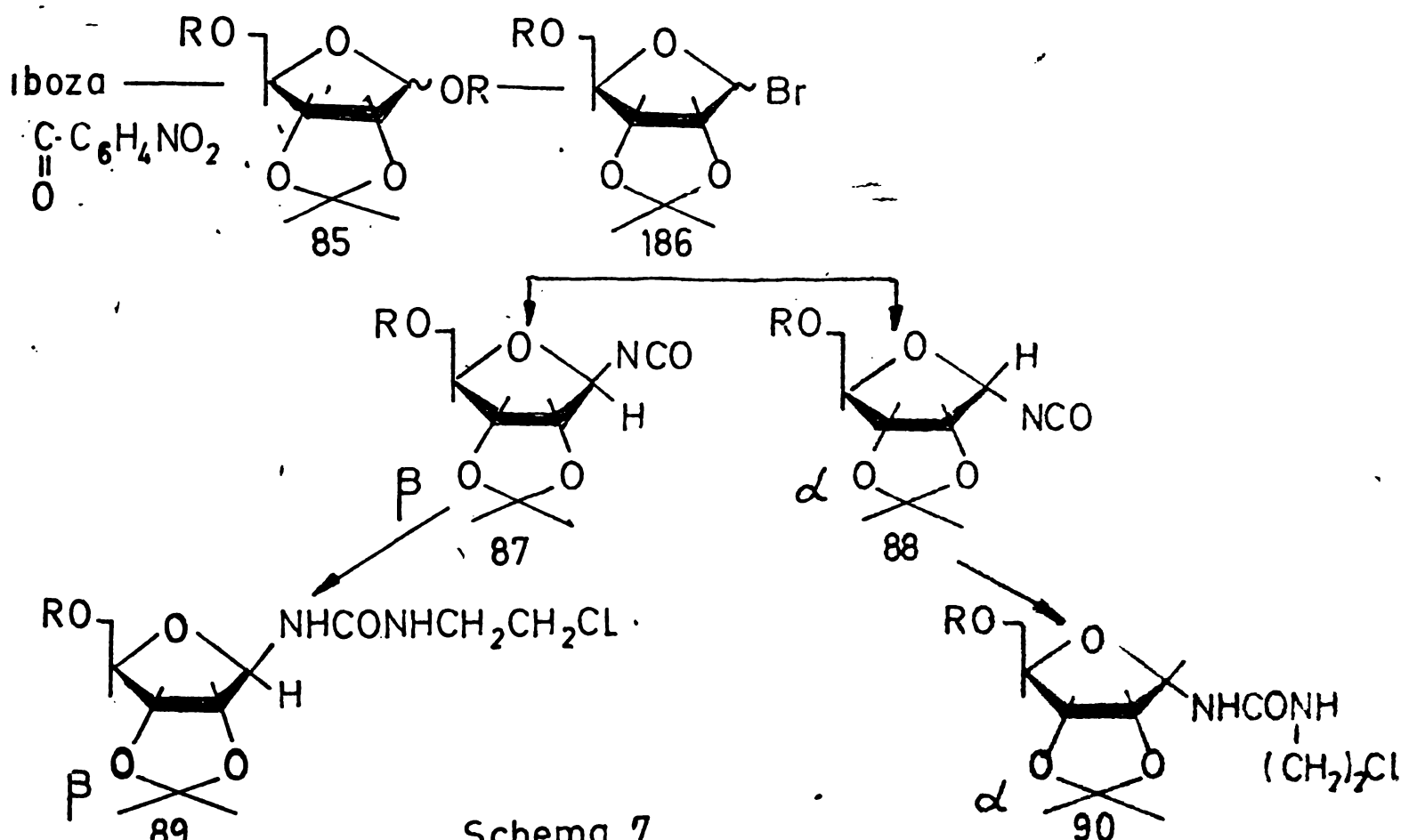
Se admite formarea intermediară a unei 1-(aziridinil)-carbamoil cloruri, 79, care printr-un mecanism  $\text{SN}_1$  sau  $\text{SN}_2$  (ori o combinație a acestora, în funcție de gradul de substituire al inelului aziridinic), se disociază în N-cloroformil carbocationi, 80, și  $\text{Cl}^-$  ( $\text{SN}_2$ ) sau carbamoil cationul, 82, cu structură neelucidată ( $\text{SN}_1$ ), din care rezultă izocianatii, 81, și respectiv 83 /135/. Evident în cazul aziridinei nesubstituite rezultă exclusiv 2-cloretil izocianatul ( $81=83$ ). În absența bazelor se obțin  $\beta,\beta'$ -dicloroalchiluree /136/.

- o metodă recentă obține 2-cloretil izocianatul în condiții blînde ( $t=50^\circ$ ) și cu rândamente ridicate prin descompunerea uretanului ciclic, 84, sub acțiunea clorurii de tosil și în prezență de piridină (ec.21) /137/.



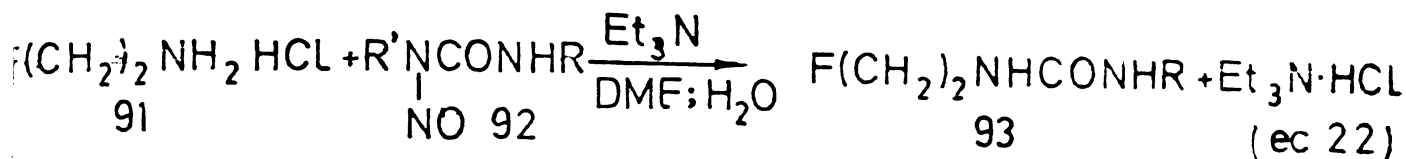
Un exemplu interesant de sinteză a 2-cloretilureelor printr-o cuplare a 2-cloretil aminei cu izocianatul RNCO (metoda b), este ilus-

trat printr-o serie de sinteze stereospecifice, efectuate în seria glicozil nitrozoureelor. Se sintetizează izocianătii corespunzători restului zahar, care se pot separa în cei doi anomeri  $\alpha$  și  $\beta$ , 87, 88 prin cristalizare din solvenți adecvați, și a căror structură poate fi confirmată neechivoc prin metode spectrofotométrice. Cum izocianătii reacționează cu un agent nucleofil, de exemplu 2-cloretil amina, cu păstrarea configurației, se pot obține ureele, 89 respectiv 90, anomic pure (schema 7) /127/. Este de subliniat că separarea amestecului a două uree anomere se poate face și cromatografic, dar atribuirea configurației reale este mult mai dificilă /36/.

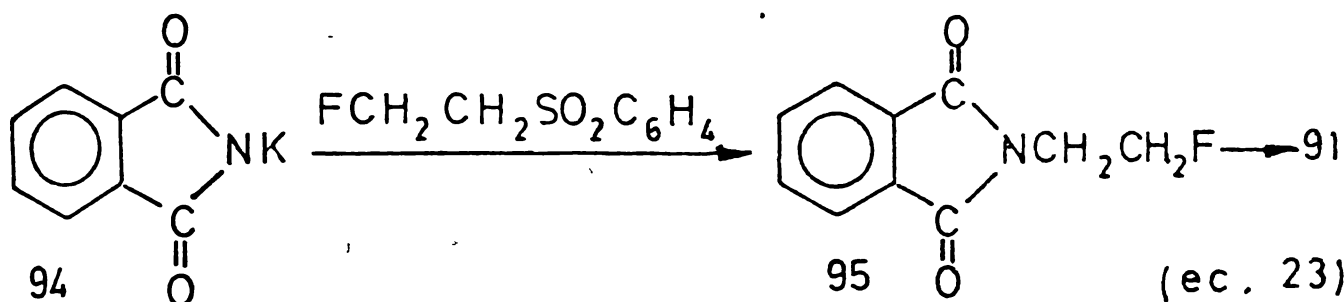


In ceea ce privește sinteza 2-fluoretil ureelor sunt descrise în literatură trei procedee, dintre care primele două sunt aplicate curent și anume :

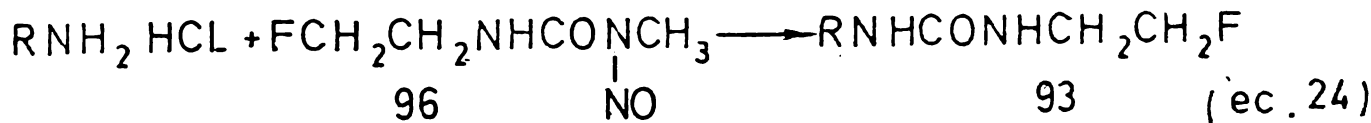
- a) cuplarea clorhidratului 2-fluoretil aminei, 91, cu o nitrozo-uree, 92, având restul R (dorit) atașat la atomul de azot nenitrozat (sc.22) /26,27,111/.



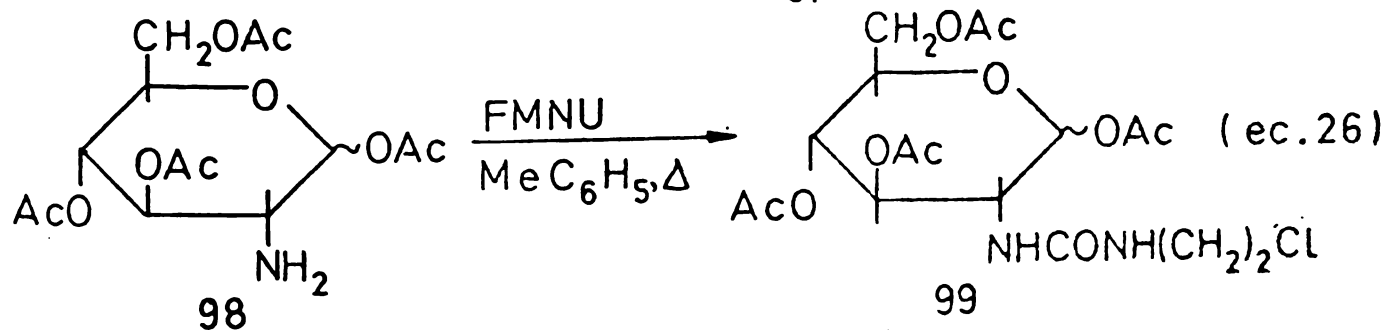
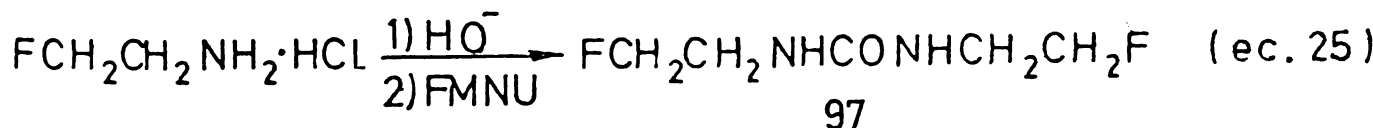
$\beta$ -Fluoretil amina HCl, 91, se poate obține prin metoda Gabriel /128/ sau printr-o variantă îmbunătățită, care constă în cuplarea ftalimidei potasice cu 2-fluoretil-p-toluensulfonat /26/. N-(2-fluoretil)ftalimida formată, 95, se supune hidrazinolizei (ec.23) /26/.



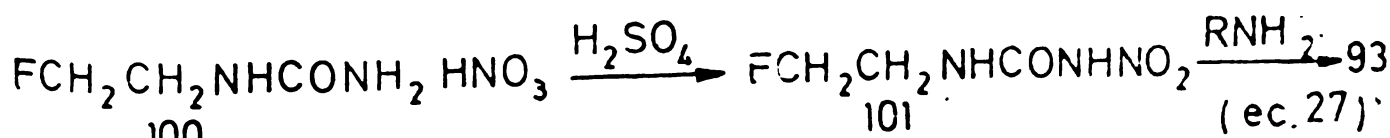
b) din clorhidratul aminei corespunzătoare restului R cu 1-metil-3-(2-fluoretil)-1-nitrozouree, 96 (ec.24) /26/.



Descompunerea apoișă a 96 presupune formarea intermediară a 2-fluoretil izocianatului, compus neizolat încă, dar a cărei apariție în cursul reacției este evidentă (ec.25,26) /111/.

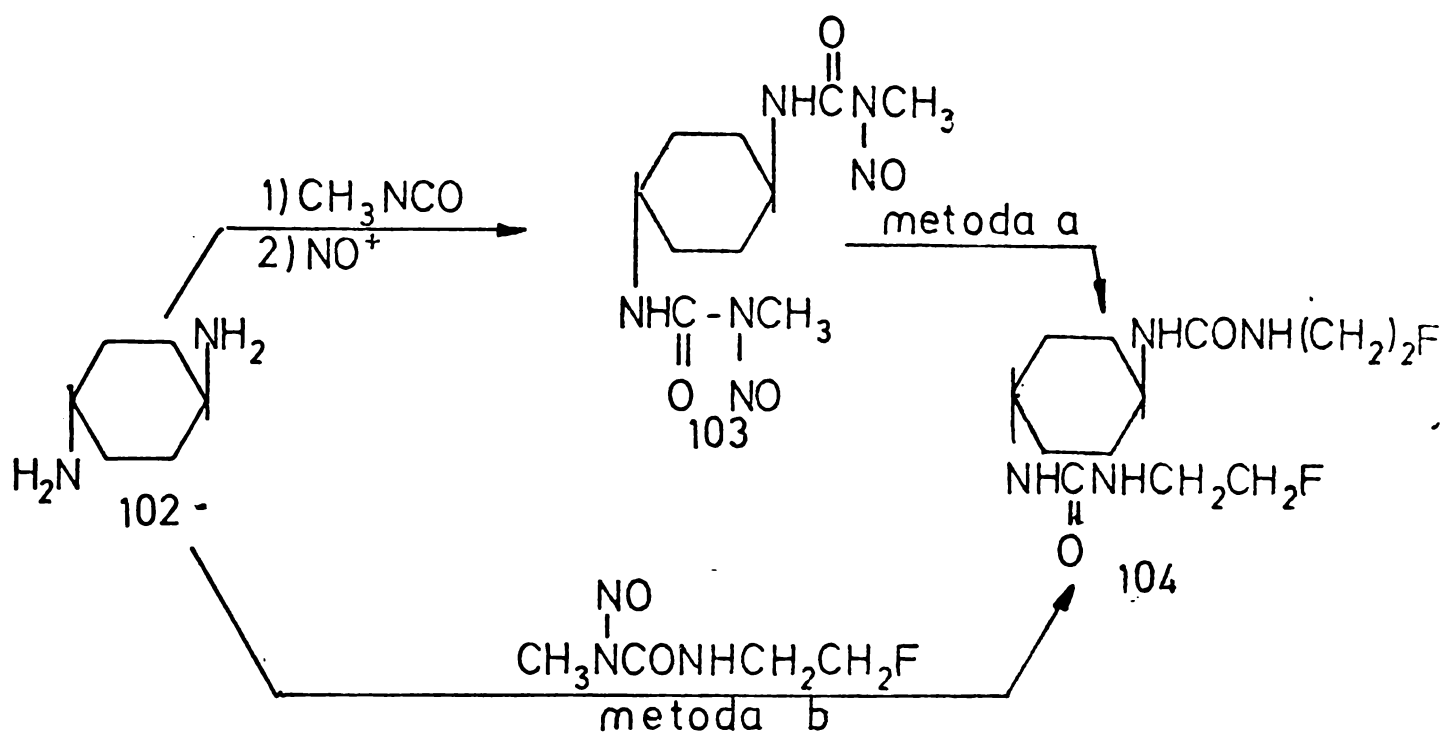


c) din 1-(2-fluoretil)-3-nitrouree, 101, obținută la rândul ei din nitrat de 2-fluoretiluree cu  $\text{H}_2\text{SO}_4$ , (ec.27) /27,111/.



Negarea uneia sau alteia din caiile de sinteza depinde în primul

rînd de accesibilitatea materiilor prime. Astfel, dacă dorim să economisim o amină scumpă (cum este de ex. 1,4-tranciclohexan-diamina, 102), se folosește de obicei metoda b (schema 8) /26/.



#### X. Sintea derivărilor de 1-(2-cloretil)-nitrozo-uree

Interesul, inițial limitat, pentru sinteza N-nitrozoureelor s-a datorat utilizării lor ca intermediari stabili în obținerea diazoalcanilor. Ulterior, evidențierea proprietăților lor biologice de excepție, a stimulat intens studiul acestui domeniu.

Principalele metode de obținere a N-nitrozoureelor constau fie în procedee de nitrozare directă a ureelor corespunzătoare (în general adaptări după procedeele folosite în sinteza N-nitrozoamidelor), fie în sinteza ca atare a funcțiunii N-nitrozoureidice, folosind sintoni ce conțin gruparea nitrozo.

Considerînd prima categorie de procedee, de departe cea mai răspîndită, agenții de nitrozare sunt cei utilizati pentru obținerea N-nitrozoamidelor, și anume :

- a) azotit de sodiu (solid sau soluție) în acizi minerali /138,139/,

sau acid acetic și anhidridă acetică /138/;

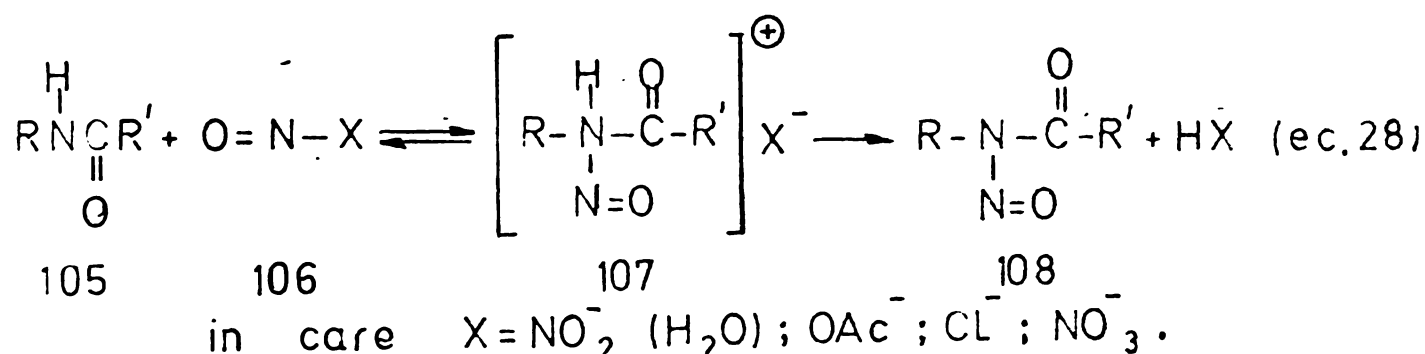
b) trioxid de azot în eter sau acid acetic și anhidridă acetică /140,141/ ;

c) clorură de nitrozil în acid acetic și anhidridă acetică în prezență de acetat de sodiu și pentaoxid de fosfor /142-145/;

d) tetroxid de azot în prezență de acceptori de acid azotic (acetat de sodiu sau piridină) /138,146/.

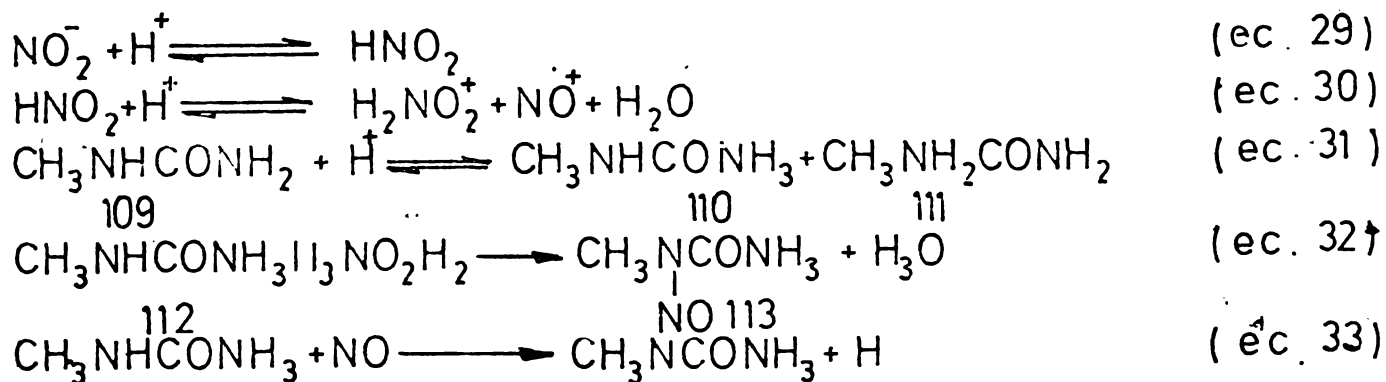
Dintre aceștia tetroxidul de azot constituie reactivul de electricitate, având un spectru larg de utilitate, proceful fiind rapid și conducind la produși finali puri cu rândamente excelente.

Ecuatăia generală de nitrozare a amidelor se poate reprezenta astfel (ec.28) /138/ :

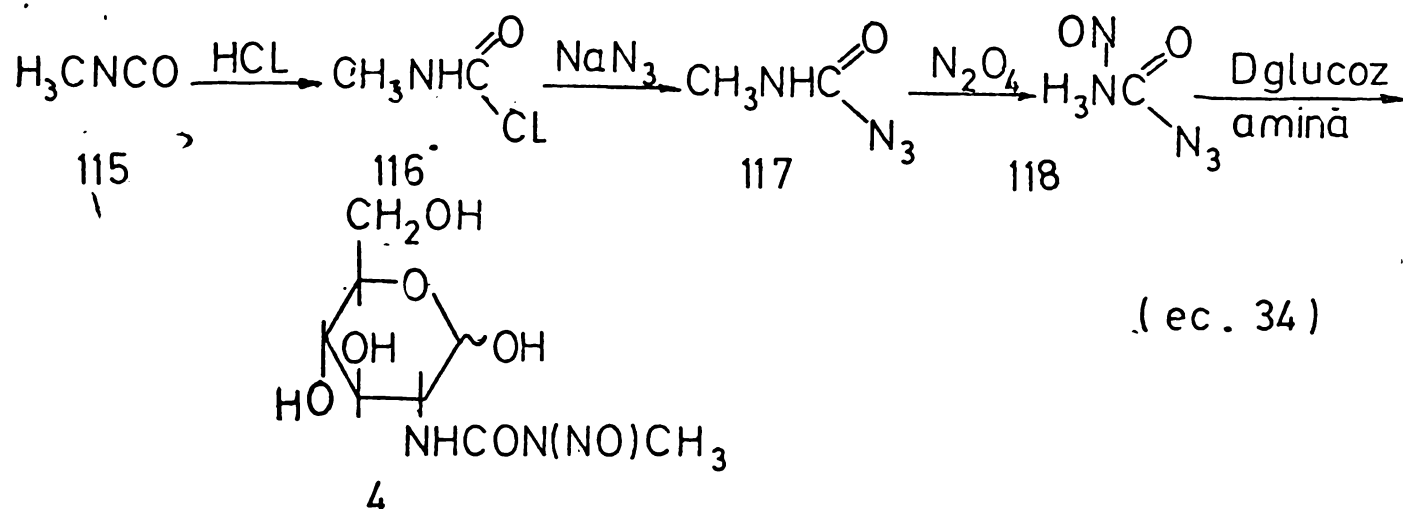


Se cunosc relativ puține date în literatură privind mecanismul și cinetica reacției de nitrozare a derivațiilor de uree. Se admite că nitrozarea se produce prin atacul electrofil al ionilor de nitrozoniu ( $\text{NO}^+$ ) și/sau ionilor de nitracidiu ( $\text{H}_2\text{NO}_2^+$ ) asupra unor centre bogate în electroni din molecula de uree, cum ar fi unul din cei doi atomi de azot. În funcție de influențele (sterice sau electronice) exercitate de substitu-enții acestor centre bazice se pot obține doi izomeri, singuri sau în amestec. Iată, spre exemplificare, mecanismul propus pentru nitrozarea metilureei cu azotit de sodiu în acid percloric (ec.29-33) /146/;

In cea de a două categorie de procedee, intră cele ce folosesc cuplarea unor amine cu reactivi speciali, de exemplu de tipul N-nitrozoazidelor substituite, reacție din care se obține direct numai izomerul



dorit. Un bun exemplu în acest sens îl constituie sinteza streptozotocinei, 4, substanță cu bune proprietăți antitumorale (ec.34) /147,148/.



Conform schemei generale descrise anterior, derivații de 1-(2-cloretil)-1-nitrozouree se pot obține prin :

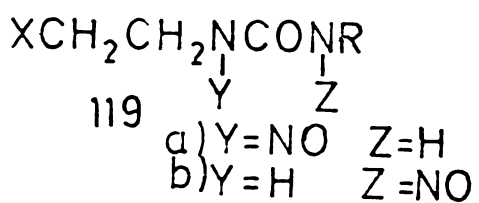
- a) nitrozarea directă a derivaților de uree ;
- b) prin reacția aminelor cu N-(2-cloretil)-N-nitrozocarbazida sau cu p(o)-nitro(cian)-benzil-N-(2-cloretil)-N-nitrozocarbamat.

Pentru nitrozarea directă a 2-cloretil nitrozourelor se utilizează următorii agenți de nitrozare ;

- azotit de sodiu în mediu acid /23,25-27,35,36,49,55,58,112,117,118,122,123,125,149-157/;
- trioxid de azot /33,35,54,60,81,150,158,159/;
- tetroxid de azot /111,112,121,160-162/ și
- clorură de nitrozil /36,123,127/.

Alăgerea lor și a condițiilor de nitrozare se face astfel încât să se obțină produsul dorit, pe cît posibil pur și cu răndament cât mai ridicat.

Una din problemele cheie în sinteza acestui tip de derivați constă în obținerea în stare pură a izomerului 1-(2-haloetil)-1-nitrozouree, 119a, considerabil mai activ din punct de vedere biologic decât izomerul

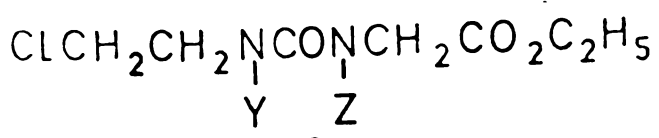


1-(2-haloetil)-3-nitrozouree, 119b.

Este evident că problemele cele mai dificile privind obținerea compușilor din această clasă rezidă în elaborarea unor căi de sinteză care să conducă selectiv sau unechivoc la izomerul dorit precum și confirmarea structurii și purității lui izomerice.

Regulile care guvernează poziția de nitrozare în cazul 1-(2-haloetil)-ureelor țin seama de următorii factori :

- nucleofilia atomului de azot. Este evident, conform mecanismului de nitrozare, că nitrozarea va avea loc la atomul de azot cel mai bazic și că sub o anumită valoare a bazicității reacția nu mai are loc. Astfel, în timp ce 1,3-bis-(2-cloretil)-ureea se nitrozează ușor în HCOOH cu NaNO<sub>2</sub>, la rece, 1,3-carbonil diglicinatul nu poate fi transformat în nitrozoderivatul corespunzător /25/. Totuși, atribuirea structurii N-nitrozourelor pe baza diferențelor de nucleofilie a celor doi atomi de azot, este riscantă. Astfel, produsului obținut prin nitrozarea 5-(2-cloretil)-nidantoatului de etil, i s-a atribuit, pe baza acestui considerent, structura 120a /25/. Ulterior (folosind metoda descompuneri cu amine) s-a dovedit a fi



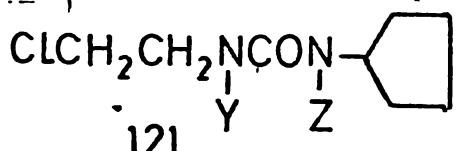
incorectă, structura reală fiind 120b /26/.

- a) Y=NO Z=H  
b) Y=H Z=NO

- efectele sterice și electronice exercitate de substituentul R,

contribuie de asemenea în mod semnificativ la stabilirea rației izome-

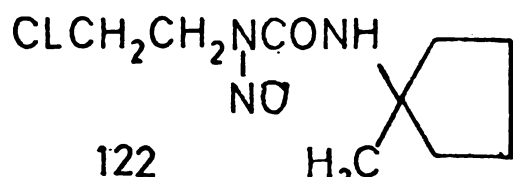
rice. Prezența unor substituenți voluminosi (ca de ex. alchil ramificați, ciclohexil) orientează substituția în poziția 1. Spre deosebire de restul ciclohexil, alți cicloalcani (ciclopentil sau cicloheptil) nu prezintă efecte sterice marcante /26,27/. Astfel nitrozarea 1-(2-cloretil)-3-ciclopentil ureei, conduce la un amestec de nitrozo izomeri, 121, în proporția



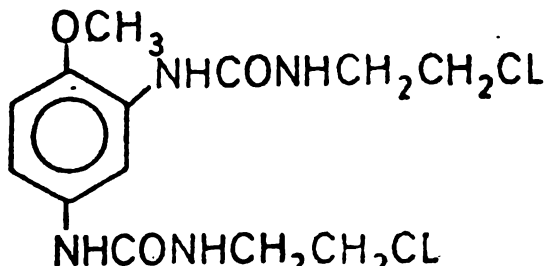
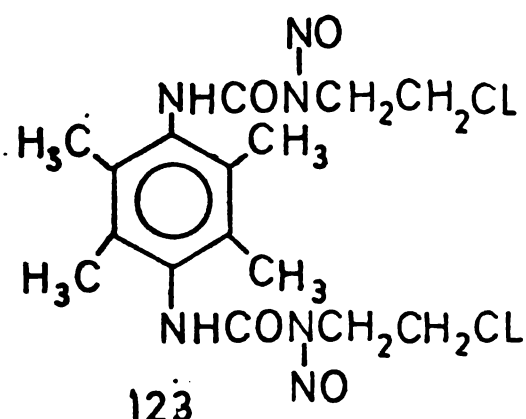
- a) Y=NO Z=H  
b) Y=H Z=NO

1:3. Substituirea hidrogenului de la atomul de carbon al inelului ciclopentanic de care se leagă funcția ureidică, cu o grupare metil mărește considerabil efectele sterice, obținându-se exclusiv 1-(2-cloretil)-3-(1-metilciclopentil)-1-nitrozouree,

122 /26/. Factorii electronic contribuie, de asemenea, semnificativ la orientarea nitrozării. Exemplul 1-(2-cloretil)-3-fenil ureei este semnificativ /26/.

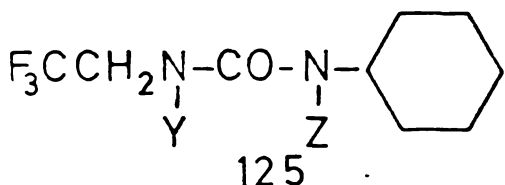


S-au notat efecte sterice și în cazul preparării unor nitrozouree de la fenilendiamine orto-substituite. Astfel nitrozarea în poziția 3 este apreciabil împiedicată în cazul preparării 3,3'-(tetrametil-p-fenilen)-bis-[1-(2-cloretil)-1-nitrozoureei], 123, în timp ce nitrozarea în aceleasi condiții a 3,3'-(4-metoxi-m-fenilen)-bis-[1-(2-cloretil)-ureei], 124, generează, practic, toți izomerii posibili /26/.



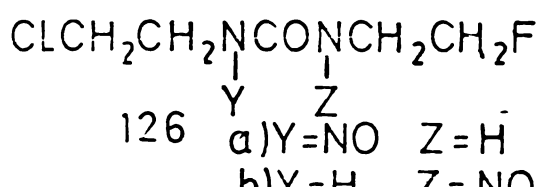
Factorii sterici pot fi parțial contracarați de efectele electro-nice puternice ale unor substituenți. Se poate aminti cazul 1-(2,2,2-trifluoroetyl)-3-cyclohexil-ureei, la nitrozarea căreia se obține prefe-

rențial izomerul 3-nitrozo, 125b /2/.



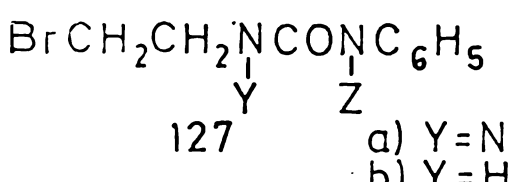
- a) Y=NO ; Z=H  
b) Y=H ; Z=NO

Nu este exclus însă ca rația izomerică să depindă și de alți factori decât cei sterici și electronici. Nitrozarea 1-(2-cloretil)-3-(2-fluoretil)ureei conduce la amestecuri conținând cele două izomeri, 126a, și 126b, în proporții variabile între 1:1 și 2:5. Purificarea izomerică



a unui amestec 2:5 produce o mică modificare a rației izomericice, ceea ce nu se poate atribui unei migrări a grupării NO /27/.

- un alt factor important, în ceea ce privește determinarea rației izomericice îl constituie condițiile de lucru. Efectul apei asupra rației izomericice a fost observat pentru prima oară în cazul 1-(2-brometyl)-3-fenilureei, care la tratare cu  $\text{NaNO}_2$  solid în HCOOH 85% conduce la un amestec de izomeri 127a:127b/1:1, în timp ce în mediu de HCOOH

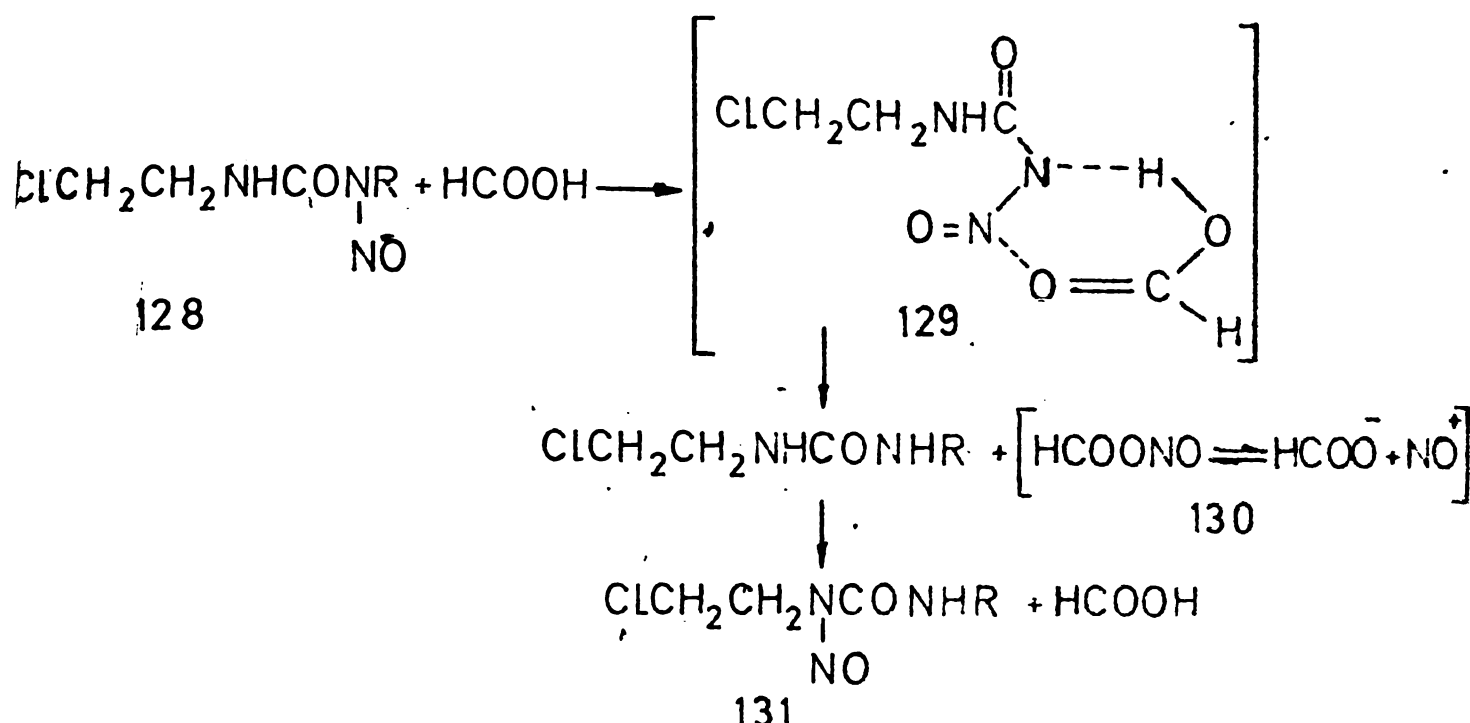


98-100% rezultă exclusiv izomerul 1-nitrozo, 127a /2/. Prezența apei are efecte similare și în cazul nitrozării 1-(2-cloretil)-3-fenil sau ciclohexilureei /26/.

În vederea realizării unor nitrozări selective, literatura recomandă ca mediu de reacție HCOOH 98-100% sau HCl conc. cu azotit de sodiu solid, sau trioxid de azot.

a) Procedeele care folosesc HCOOH 98-100%, sunt de departe cele mai utilizate în această clasă. Mai mult s-a reusit purificarea cantitativă a amestecurilor de izomeri prin dizolvarea lor în HCOOH 98-100% rece și reprecipitare lentă, după un timp, cu spălare. Are loc, probabil, un transfer al grupei NO în HCOOH, ceea ce implică formarea formil nitritului, 130 (schema 9) /26/. Procesul invers nu este afectat în

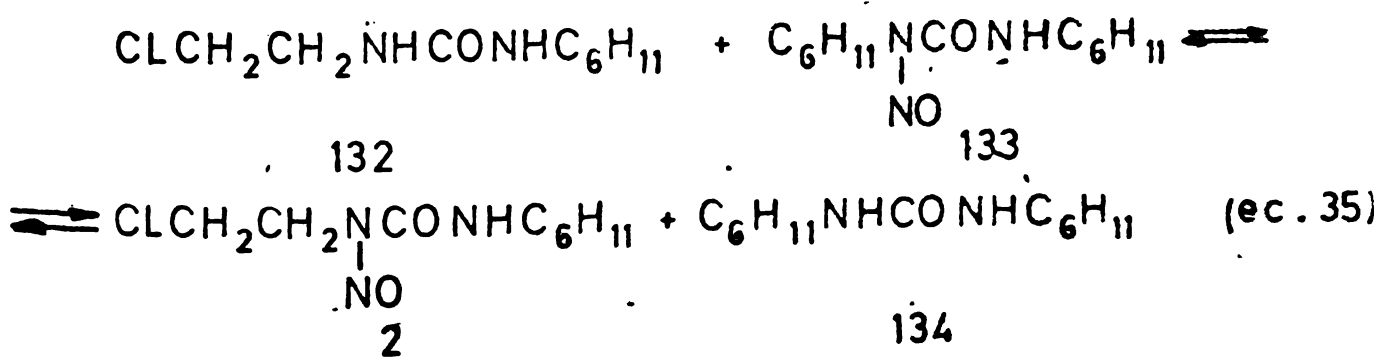
diu apos.



Schema 9

Compoziția izomerică poate depinde de un echilibru guvernat de relativă stabilitate a izomerilor față de extractia grupării NO și, aparent, cu creșterea concentrației apei, există o valoare peste care numai are loc extracti. Din acest motiv în sistemele apoase unde formă izomerilor poate să nu fie reversibilă, rația izomerică depinde, în primul rînd, de vitezele lor relative de formare /26/.

Transferul grupei nitrozo poate avea loc: a) intramolecular (acest cum este formulat în schema 9) sau b) intermolecular. Astfel, la diluirea în HCOOH 98-100%, urmată apoi de diluare cu apă, a unui amestec echimolecular de 1-(2-cloretil)-3-ciclohexiluree, 132, și 1,3-diciclonexil-nitrozouree, 133, compozitia amestecului rezultat este consistentă cu un echilibru, care favorizează formarea compusului cel mai stabil, 2 (ec.35) /26/.



Utilizarea HCOOH 98-100%, ca mediu de nitrozare, este limitată de structura și reactivitatea substituenților R. Astfel, în cazul cînd R conține una sau mai multe grupări HO (alcool mono sau poli hidroxilic, rest zahar) se produc esterificări ale acestora (se formează nitriți respectivi) /35,60,112,163/ și nu întotdeauna stabilitatea nitrozoderivaților permite eliberarea lor /60/. În cazul zaharurilor, nitrozarea în HCOOH mai prezintă un inconvenient suplimentar, și anume produce anomerezări /36,127/.

b) Procedee de nitrozare în HCl conc. cu  $\text{NaNO}_2$  sau  $\text{N}_2\text{O}_3$ .

Viteză crescută cu care au loc reacțiile de nitrozare în aceste condiții se datorește, probabil, formării *in situ* a clorurii de nitrozil. S-a demonstrat, în acest caz, posibilitatea purificării unui amestec de nitrozoizomeri în soluție etanolică de HCl conc., deci posibilitatea mică a grupării NO și în sisteme apoase. Transpoziția are loc, probabil, prin extractie de grupă nitrozo ca clorură de nitrozil /35,113/.

c) Alte medii de nitrozare, care cel puțin în cazul anumitor structuri, permit o nitrozare selectivă:  $\text{N}_2\text{O}_3$  în acetonă (în cazul glicozil ureelor) /54/ sau apă (în cazul ureidonucleozidelor) /150/; clorura de nitrozil, mai ales pentru nitrozarea ureelor cu resturi zahar, ea evitînd producerea de anomerezări /36/.

Obținerea N-nitrozoureelor direct din amine, prin cuplare cu reacții potrivite, este o metodă nouă și relativ puțin studiată. Avantajele acestei metode constau în:

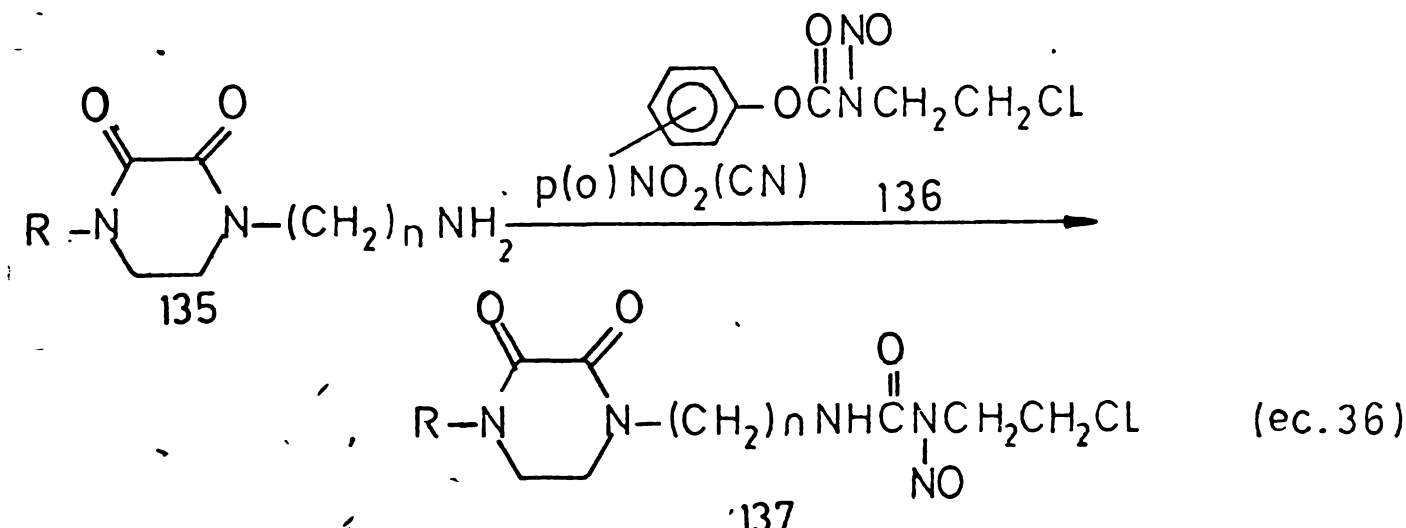
- obținerea unor produsi izomeric puri cu structură bine precizată;
- posibilitatea sintezei unor nitrozouree și căror substituent R nu rezistă la agenții obișnuiți de nitrozare;
- obținerea nitrozoureelor într-o singură fază (aspect important mai ales în vederea conservării unor amine scumpe).

Aplicarea, deocamdată, relativ redusă a acestei metode, în domeniul studiat de noi, se poate pune pe seama reactivității, de obicei, ridicate a reactivilor de cuplare (de ex. N-nitrozocarbamoilazidelor, care face mani-

pularea și conservarea lor dificilă. Pe de altă parte purificarea amestecului de reacție este uneori laborioasă.

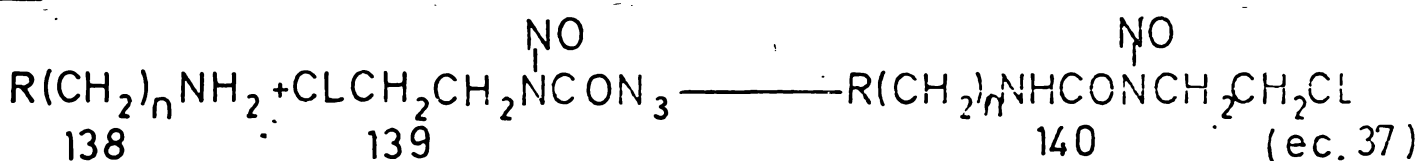
Sintiza 1-(2-cloretil)-1-nitrozocureelor-3-substituite se poate face, conform acestui procedeu, prin :

- cuplarea aminelor cu p(0)-nitro(cian)-fenil-N-(2-cloretil)-N-nitrozocarbamat, 136 (ec. 36) /164-167/.

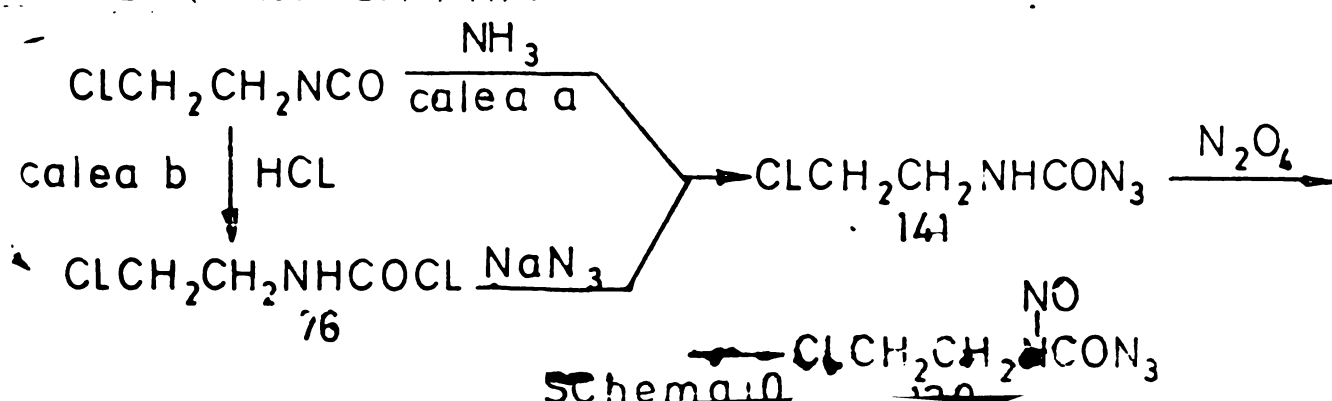


Folosirea acestui reactiv de cuplare, 136, este avantajoasă (manipulare mai ușoară, randamente foarte bune ~80%), dar, din păcate, literatura privind obținerea și reacțiile sale nu este accesibilă /164-167/;

- cuplarea aminelor cu N-(2-cloretil)-N-nitrozocarbamoil azidă, 139 (ec. 37) /47, 168/.



Pentru sinteza N-(2-cloretil)-N-nitrozocarbamoil azidei, 139, se propun două variante și anume: a) prin adiție de acid azothidric la 2-cloretil izocianat /47/ și b) prin reacția 2-cloretil carbamoil clorurii, 76, cu  $NaN_3$ , urmată de nitrozare cu  $NOCl$  /57/. Nitrozarea cu  $N_2O_4$  se dovedește a fi superioară, permitând obținerea unui reactiv, 139, pur, cu randament cantitativ, care poate fi folosit ca atare (fără izolare) în cuplare cu aminele (schema 10) /47/.

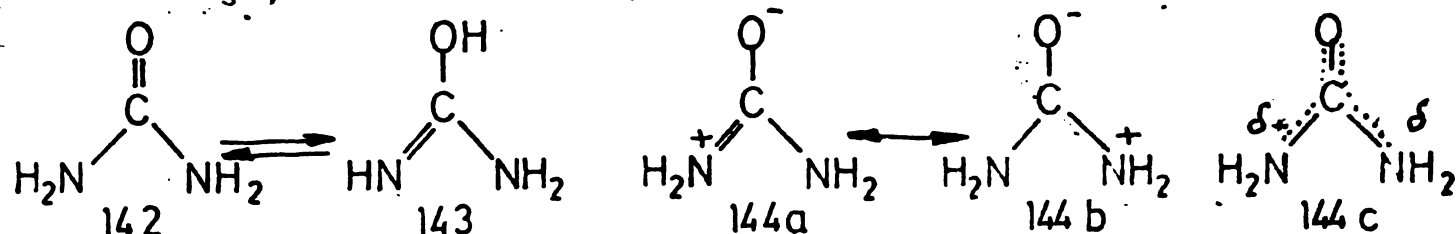


## XI. Metode fizico-chimice de determinare a structurii derivatilor de uree și nitrozouree.

Utilizarea metodelor fizico-chimice în analiza derivatilor de uree și N-nitrozouree discutați în prezența lucrare, permite atât stabilirea neechivocă a structurii și conformației lor, cît și caracterizarea analitică a acestor derivați în raport cu produșii secundari rezultați din reacțiile lor de sinteză. Din acest punct de vedere, deși valoarea informațiilor furnizate de spectroscopia optică (uv și ir) este incontestabilă, totuși multe probleme structurale nu ar putea fi elucidate fără datele puse la dispoziție de rmn. Recent noi metode fizice au fost aplicate pentru studiul acestor derivați, și anume: spectrometria de masă, cromatografia de gaze și chromatografia de lichide de finală presiune. Toate acestea s-au dovedit utile în stabilirea cu acuratețe a structurii și puritatei compușilor studiați.

### XI.1. Elemente structurale caracteristice derivatilor de uree, evidențiate spectrofotometric (uv, ir, rmn)

Structura și geometria moleculei de uree au fost determinate prin difracție de raze X, obținându-se o imagine concludentă asupra aranjării spațiale a atomilor ce o compun /161-171/. Planaritatea moleculei de uree, stabilită de altfel și prin spectrometrie Raman, ir și rmn /172/, permite admiterea unei tautomerii uree-zizouree 142 = 143. Pentru forma cetonă, 144, se poate presupune existența unui hibrid de rezonanță, rezultat din suprapunerea unor structuri de tipul 144c.



Din datele obținute prin difracție de raze X /175,173/, rezultă că :

- legăturile C-N sunt echivalente (ceea ce exclude, cel puțin

în stare solidă, posibilitatea existenței structurii 143);

b) legăturile C-N și C-O posedă un caracter parțial de dublă legătură (lungimile legăturilor C-N = 1,37 Å și C-O = 1,25 Å, având valori intermediare între cele caracteristice unor legături simple sau duble), ceea ce concordă cu existența unui hibrid de rezonanță;

c) derivațiile de uree există sub forma unor structuri dipolare, ca și amidele secundare, 144c /170,174/.

#### XI.1.1. Date spectrale în uv caratteristice derivațiilor de uree.

Spectrele uv ale derivațiilor de uree sunt puțin studiate, date ceva mai detaliate fiind accesibile numai în cazul ureelor aromatică /175-182/. Dacă în cazul alchilureelor cromoforul  $\text{C}=\text{O}$  prezintă o bandă intensă într-un domeniu greu accesibil < 186 nm (tranzitie  $\pi-\pi^*$ ) /183,184/, în cazul aril ureelor atribuirea maximelor de absorbție este îngreunată datorită intervenției benzilor caracteristice sistemului aromatic. Spectrul uv al acestor derivați este sensibil la orice substituire a nucleului aromatic, ce tinde să perturbe sistemul conjugat (prin efecte electronice, inductive sau electromeră, și/sau efecte sterice, mai ales orto efecte, inhibiție sterică a rezonanței, etc.). Modificarea poziției și intensității benzilor de absorbție ale aril ureelor sunt funcție și de natura solventului, ceea ce se explică prin proprietățile amfotere ale funcției ureidice și permite admiterea unei tautomerii uree-izouree /175-182/.

#### XI.1.2. Date spectrale în ir caratteristice derivațiilor de uree.

Spectrometria ir este incontestabil mai utilă în studiul derivațiilor de uree, putîndu-se deosebi cîteva benzi caracteristice pentru compușii aparținînd acestei clase.

Informațiile obținute pe această cale permit discutarea și clarificarea următoarelor aspecte :

a) structura derivațiilor studiați (gradul de substituire, poziția și natura substituenților, etc.);

- b) existența tautomeriei uree izouree ;  
 c) geometria moleculei de uree, și anume proporția de rotameri realmente existentă în soluție și în stare solidă.

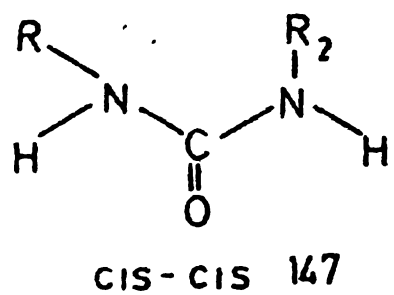
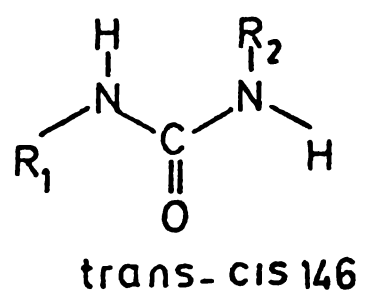
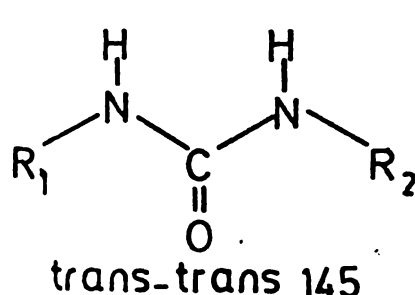
Principalele elemente din spectrul ir, caracteristice ureei și derivaților săi, ce pot răspunde dezideratelor de mai sus sunt :

a) benzile de absorbție ale legăturilor N-H ( $\gamma_{N-H}$  simetrice și nesimetrice, din domeniul  $3200-3500 \text{ cm}^{-1}$  și  $\delta_{N-H}$  de deformare, cunoscute și ca benzi amidă III, III, V, din regiunea  $1550-1600 \text{ cm}^{-1}$ ) /185-190/;

b) benzile de absorbție ale legăturii C=O ( $\gamma_{C=O}$ -amidă I- în regiunea  $1550-1650 \text{ cm}^{-1}$  și cele de deformare din domeniul  $1250-1300 \text{ cm}^{-1}$  /186,188-190/;

c) benzile caracteristice vibrațiilor de schelet (amidă IV și VI, din regiunea  $800-600 \text{ cm}^{-1}$ ), vibrații de mai mică utilitate în diagnosticul de structură uzual.

Pentru derivații de uree 1,3-disubstituiți există, teoretic cel puțin posibilitatea apariției unor restricții de rotație în jurul legăturii C-N, ceea ce ar duce, în anumite cazuri, la evidențierea unei izomerii de rotație, putîndu-se desemna trei rotameri: trans-trans, cis-trans și cis-cis (prin conformație trans-trans se înțelege o relație trans între o grupă NH și C=O în jurul legăturii C-N).



Datele experimentale pledează pentru admiterea drept conformație preferențială pentru derivații de uree 1,3-disubstituiți cea trans-trans /185/. Dintre argumentele ce sprijină această ipoteză putem cita diferențele constatate între spectrul ir al derivaților menționați și cel al etilen ureei, care posedă în mod obligatoriu o conformație cis. Astfel  $\nu_{NH}$  și  $\nu_{CO}$  din etilen uree apar la frecvențe mai mari decât cele din de-

rivații neciclici, banda amidă II nu variază cu modificarea stării fizice și este situată la valori mai mici decât cea din ureele neciclice /185, 190/.

XI.1.3. Analiza spectrelor de rezonanță magnetică nucleară ale derivatilor de uree. Utilizarea spectrometriei rmn în studiul derivatilor de uree furnizează informații asupra :

a) echilibrului tautomer uree izouree, în soluții;

b) vitezei de schimb, inter sau intramolecular, a protonilor amidici;

c) ionizării și protolizei acestor derivați în soluții apăase, la diferite valori ale pH-ului;

d) conformației și gradului de restricție al rotației libere în jurul legăturii C-N.

Caracteristic pentru spectrele rmn ale derivatilor de uree sunt absorbțiile largi ale protonilor legați direct de atomii de azot. Studiul lor este îngreunat de dependența lor de temperatură solvent și pH precum și de influența momentului de quadrupol al atomului N<sup>14</sup> /191-193/. În solventi capabili să întinăască ritmul schimburilor intermoleculare de protoni (cum ar fi de ex. hexametil fosfor triamida), care induc formarea unor legături de hidrogen cu ureele, înregistrarea spectrelor se face în condiții mult îmbunătățite. În aceste condiții deplasările chimice ale protonilor NH pot fi utilizate în stabilirea tipului de uree analizat /192/.

De asemenea studiul cuplajelor protonilor NH cu cei aparținând radicalilor legați la același atom de azot furnizează o serie de informații privind :

a) rotația liberă în jurul legăturii C-N /193/. Din acest punct de vedere derivatii de uree se deosebesc net de amide, la care legătura C-N are un caracter mai pronunțat de dublă legătură. Cele două grupuri metil din dimetil formamidă sunt asimetrice în timp ce cele patru grupuri din tetrametil uree apar în spectrul rmn ca un singlet, ceea ce denotă

echivalență lor /191/.

b) viteza de schimb prototropic a protonilor NH cu mediu. Se poate aprecia că, în condiții normale cu excepția anumitor structuri, schimbul de protoni este suficient de lent pentru a nu anula cuplarea.

#### XI.2. Elemente structurale caracteristice derivațiilor de 1-(2-clor-etil)-1-nitrozouree, evidențiate spectrofotometric.

Ca și în cazul ureelor, difracția de raze X furnizează o imagine tangibilă a structurii sterice a derivațiilor de N-nitrozouree, ce ne permite o interpretare corectă a datelor spectrale furnizate de celelalte metode fizice. Un aport deosebit din acest punct de vedere îl aduce studiul MeCCNU prin difracție de raze X /194/.

Din diagrama stereoscopică astfel obținută (fig.1) și în urma determinării lungimilor legăturilor chimice și unghiurilor de valență rezultă că :

a) atomii grupării nitrozouree și atomii de carbon C<sub>2</sub> și C<sub>4</sub>, de care aceasta este legată, sunt aproape coplanari;

b) cele două legături C-N sunt inegale; C - N = 1,431 Å, C - N = 1,323 Å, această ultimă valoare indicând un caracter parțial de dublă legătură /194/. Lungimea legăturii C - N = 1,482 Å, este tipică pentru o legătură simplă C-N /194/;

c) compararea valorilor obținute pentru lungimile legăturilor N<sub>1</sub>-N<sub>2</sub> = 1,33 Å și N<sub>2</sub>-O<sub>1</sub> = 1,218 Å, sugerează preponderența formelor ne-associate, deși între moleculele de nitrozouree se constată legături de hidrogen (slabe) între oxigenul cетonic (O<sub>2</sub>) al unei molecule și atomul de hidrogen de la N<sub>3</sub> al alteia (HN<sub>3</sub> ... O<sub>2</sub> = 2,29 Å) /184/.

- fig.1 -

##### XI.2.1. Elemente spectrale în IR caratteristice nitrozourelor.

Nitrozarea funcției ureidice determină următoarele schimbări caracteristice ale spectrelor IR :

a) nitrozarea funcției ureidice determină o creștere a frecvenței de absorbție a grupării carbonil ( $\gamma_{C=O}$  1710 - 1740  $\text{cm}^{-1}$ ), ceea ce s-ar putea datora creșterii caracterului său de dublă legătură. Substituirea totală a N-nitrozoureeelor produce o scădere a frecvenței  $\gamma_{CO}$  /195/.

b) existența în soluție a unui singur izomer conformational, trans-trans, 145. Ca argument în acest sens se aduce faptul că în soluții diluate, N-alchil-N-nitrozoureele prezintă  $\gamma_{NH_2}$  asim 3540  $\text{cm}^{-1}$  și  $\gamma_{NH_2}$  sim 3420  $\text{cm}^{-1}$ . La creșterea concentrației apar benzi noi, largi, la frecvențe mai joase, care se datorează, probabil, unor legături de hidrogen intramolecular. În spectrul 1,3-dialchil nitrozoureeelor nu se constă un efect asemănător, această diferență în comportare datorindu-se diferenței în accesibilitatea la protonii amidici (în 1,3-dialchil derivați NH este implicat în legături de hidrogen intramolecular, în timp ce în cazul monoalchilureelor mai rămâne un proton disponibil pentru legături intermolecular). Aceste atribuiri sunt susținute și de determinările efectuate în solvenți conținând adaosuri de dioxan. Se stie că dioxanul este un excelent acceptor de H și deci poate forma ușor legături de hidrogen. Prezența lui în soluții diluate de mono și dialchil nitrozouree alterează spectrele, dar pentru ultimile este nevoie de concentrații considerabil mai mari de dioxan, pentru a rupe legăturile de hidrogen intramolecular /195/.

c) analiza spectrelor ir ale derivaților de nitrozouree permite, în anumite cazuri, determinări conformationale. Astfel, pentru 1-(2-clorociclohexil)-3-nitrozoureele, conformerii ecuatoriali au  $\gamma_{NH}$  în domeniul 3290-3340  $\text{cm}^{-1}$ , la frecvențe ceva mai mici decât cei axiali, diferențe care nu se constată în cazul derivaților de uree precursori /28/.

#### XI.2.2. Elemente spectrale de rmn caracteristice derivaților de nitrozouree sunt :

deplasările chimice ale protonilor NH apar la frecvențe mai joase decât în amide și sunt mai net separate (cu 1,3 ppm, față de 0,7

ppm în amide) /195/ ;

- sănt, în anumite limite ( $233\text{-}340^{\circ}\text{K}$ ), independente de temperatură /195/.

. Aceste date experimentale sănt în concordanță cu existența unor legături de hidrogen intramolecular puternice, care determină o creștere a restricției rotației libere în jurul legăturii  $(\text{O})\text{C} - \text{N}(\text{NO})$  și de aici existența preferențială a unui singur conformer.

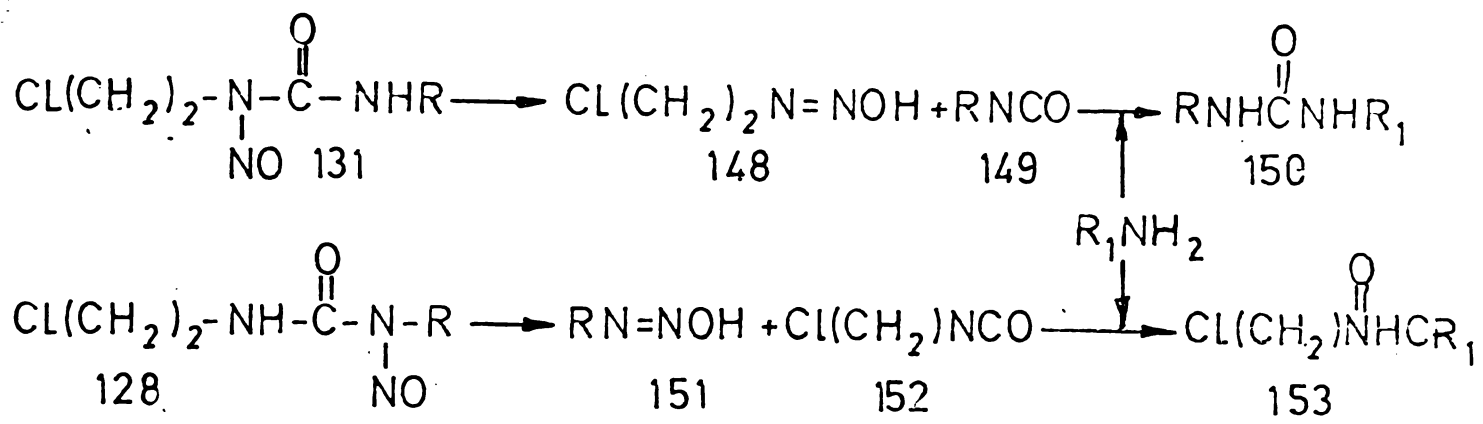
Spectrele rmn ale derivatilor de nitrozouree 1,3-disubstituți evidențiază absorbții bine rezolvate ale protonilor substituenților atașați la atomul de azot și o singură absorbție pentru NH.

### XI.3. Determinarea cu ajutorul metodelor fizico-chimice de analiză, a purității izomerice a N-nitrozourelor.

Este evident că în cazul nitrozării derivatilor de uree problema cheie, care se pune, este determinarea structurii și purității izomerice a produsului astfel obținut. În cazul particular al 1-(2-haloetyl)-ureelor se urmăreste, de obicei, obținerea exclusivă a izomerului 1-(2-haloetyl)-1-nitrozo, care pare a fi un inhibitor mult mai eficient al cresterii tumorale decât izomerul 3-nitrozo.

Pentru derivatii de 2-cloretil nitrozouree, determinarea structurii și purității izomerice se face preferențial cu ajutorul a două metode: a) descompunere cu amine și b) spectrometrie rmn.

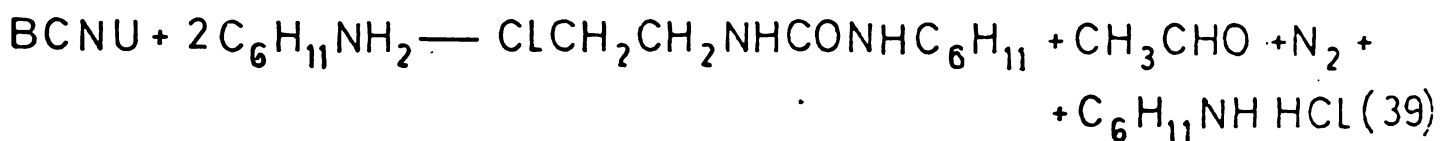
#### XI.3.1. Metoda descompunerii derivatilor de N-nitrozouree în mediu bazic apos cu amine, utilizată în scopuri structurale se bazează pe următoarele fapte : 1) fiecare dintre cei doi izomeri, 128, 131, duce prin reacție cu amine la uree diferite; 2) această reacție are loc cantitativ; 3) ureele obținute, 150, 153, sănt compuși stabili ușor de caracterizat. Sirul de reacții pe care se bazează această metodă se poate reprezenta schematic astfel (schema 11) :



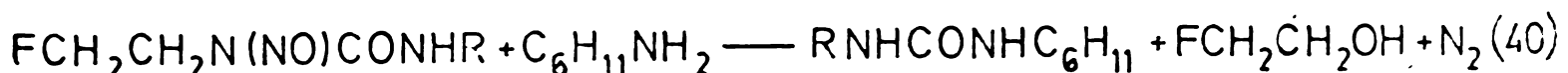
Schema 11

Obținerea cantitativă a unei singure uree este o dovedă aproape sigură a existenței unui singur izomer, pe cind detectarea a doi produsi indică, evident, un amestec de N-nitrozo izomeri. Izolarea unui singur produs, dar în cantitate mică, nu exclude posibilitatea unei nitrozări random /26,27/.

Inconvenientele acestei metode, în cazul 2-cloretil nitrozoureelor, se datoresc reacțiilor secundare ce se pot produce datorită labilității legăturii C-Cl. Astfel în cursul reacției poate să se formeze HCl, care neutralizează amina, aceasta din urmă trebuind să se găsească în exces (ec.38,39) /26,27/.



De subliniat că, descompunerea apoișă a 2-fluoretil nitrozoureelor, în prezența de amine, nu este complicată de eliminare de HF (ec.40) /26/.



Un alt inconvenient al acestei metode constă (pe lîngă caracterul său laborios), în faptul că rezultatele pot fi interpretabile. Din acest motiv, actualmente, utilizarea ei în scopuri analitice este sporadică. Totuși, sunt cazuri în care ea rămîne metoda de elecție, ca de exemplu în stabilirea structurii unor N-nitrozouree cu substituenți alchil ramificați.

ficați, unde datorită suprapunerii semnalelor r<sub>MN</sub>, această tehnică devine inoperantă /26/.

**XI.3.2. Atribuirea structurii și puritatei izomerice derivatilor de nitrozouree prin spectrometrie r<sub>MN</sub>.** Pentru cazul 2-cloretil nitrozourelor, deosebirea spectrului r<sub>MN</sub> al grupării N(NO)CONH-CH<sub>2</sub>CH<sub>2</sub>Cl (spectru A<sub>2</sub>B<sub>2</sub><sup>X</sup>) datorită cuplării protonilor NH cu protonii grupărilor metilen adiacente față de cel al grupării NHCON(NO)-CH<sub>2</sub>CH<sub>2</sub>Cl (A<sub>2</sub>B<sub>2</sub>) este evidentă și caracteristică /26,27/. În primul caz se obține un multiplet nerezolvat (pseudo-singlet), pe cînd în cel de al doilea apar două triplete distincte și bine rezolvate /26,27/.

Un foarte frumos exemplu de rezolvare cu ajutorul spectrometriei r<sub>MN</sub> a structurii derivatilor de nitrozouree, îl reprezintă studiile de r<sub>MN</sub> efectuate în clasa glicozil nitrozourelor, care au permis atît stabilirea puritatii izomerice cît și anomerice /36,127/. Astfel, apariție unui triplet în zona protonilor amidici (datorită cuplării NH cu CH<sub>2</sub>CH<sub>2</sub>Cl) este o dovadă a unei nitrozări random și din reportul intensităților semnalelor se poate stabili rația izomerică. Pe de altă parte, dat fiind că constantele de cuplare ale protonilor anomerici cu protonul vecin din carbonidrat, au valori diferite pentru fiecare anomer (de ex. în cazul structurilor piranozice sunt mai mari pentru conformerul  $\beta$ ), se poate deduce raportul conformerilor din amestec /36, 127/.

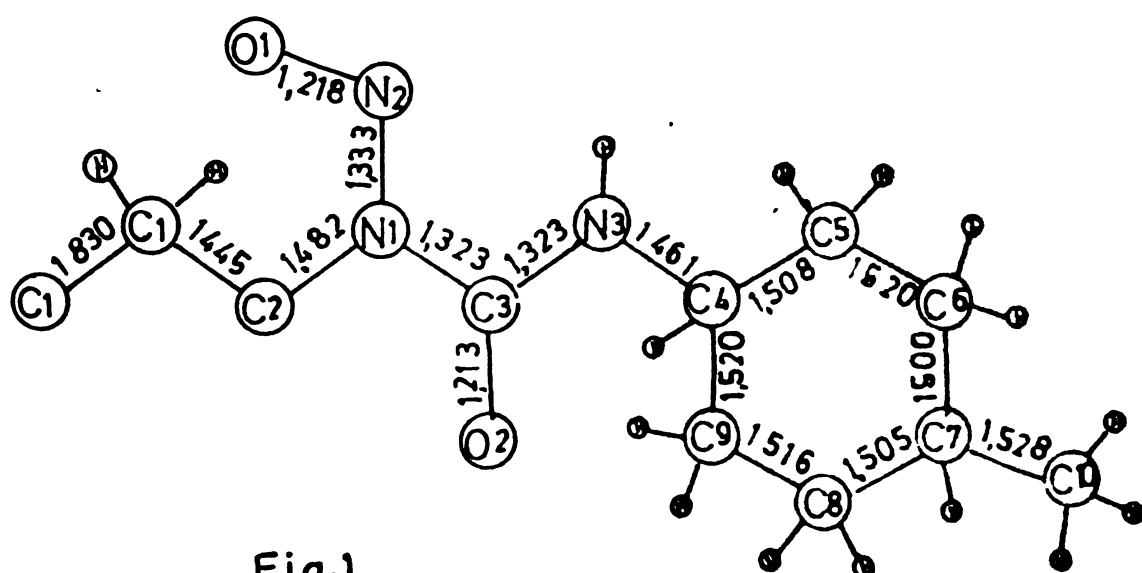


Fig.1

**PARTEA A DOUA**

**CERCETARI PERSONALE**

## Partea a II-a

### Cap.XII. Ipoteza de lucru

. Sinteza și studiul derivatilor de 1-(2-cloretil)-1-nitrozourea, tema prezentei lucrări, s-a impus atât prin actualitatea și ponderea pe care acest tip de compuși o au în chimioterapia cancerului, cât și prin aspectele deosebit de interesante și încă neelucidate pe care le ridică mecanismul lor de acțiune, ceea ce conferă speranță, justificată, de găsire a unor compuși mai activi.

Așa cum s-a arătat, intermediarii rezultați prin descompunerea enzimatică sau neenzimatică a N-NU, posedă fie capacitate alchilană (prin eliberare de: carbocationi ca  $\text{ClCH}_2\text{CH}_2^+$ , etc.), fie carbamoilană (prin eliberare de izocianați, RNCO), fiind capabili să interacționeze cu macromoleculele celulare (acizi nucleici sau proteine).

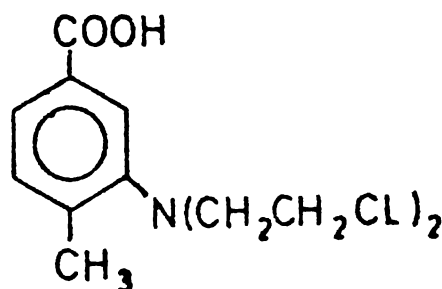
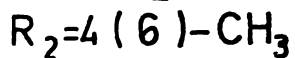
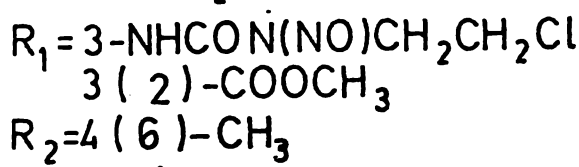
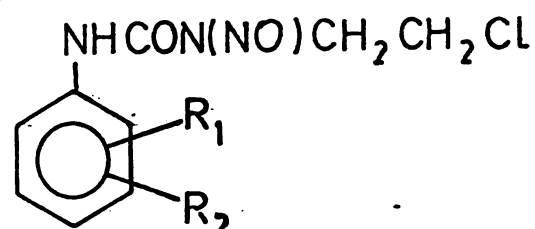
Corelările calitative sau cantitative structură chimică - activitate biologică, efectuate în această clasă, deși nu au condus la rezultate spectaculoase, au precizat totuși o serie de condiții structurale, care condiționează manifestarea unei activități antileucemice optime, și anume: a) activitate alchilană ridicată; b) activitate carbamoilană scăzută și c) o valoare a liposolubilității situată la limita superioară a intervalului propus de Hansch adică între - 1.0 < log P < 2.0 /106/.

Aceste date coroborate cu cele privind mecanismul de descompunere al N-NU, sugerează (fără să dovedească în mod direct acest lucru) că intermediul alchilan este responsabil pentru activitățile antitumorale și acestor compuși iar cel carbamoilan pentru toxicitatea lor.

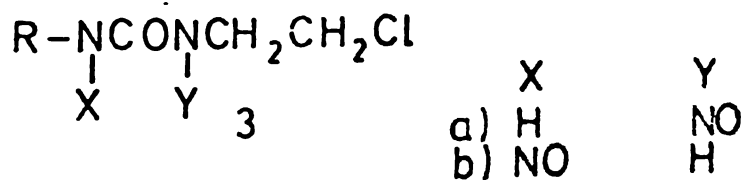
In dezvoltarea tezei am încercat o abordare rațională a domeniului N-NU atât pe baza unor considerente de această natură cât și a unor corelații cantitative (QSAR) care să ne conducă la confirmarea, infirmarea sau evidențierea unor noi condiții structurale necesare unei activități antileucemice superioare.

In acest scop proiectarea de noi compusi în această clasă a urmă-

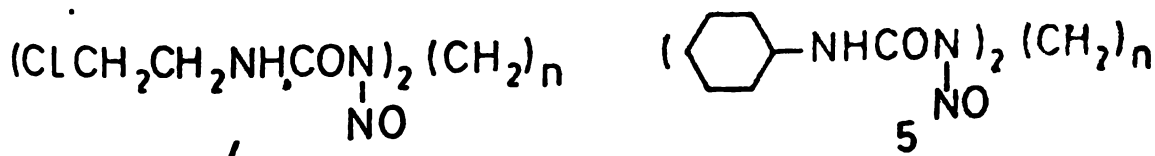
1.- Grefarea grupării 2-cloretil-nitrozouree pe structuri chimice cu proprietăți certe de transportor pentru alte funcții citotoxice.. Astfel sinteza derivațiilor aromatici de 1-(2-cloretil)-1-nitrozouree 1, s-a bazat pe datele acumulate în laboratorul nostru în cursul studiului întreprins asupra azotiperitelor, cind acidul 3-amino-4-metilbenzoic s-a dovedit un transportor eficient al acestor funcții ceea ce a permis obținerea unor derivați cu proprietăți antitumorale bune (dintre care acidul 3-bis-(2-cloretil)-amino-4-metil-benzoic, I03-82, a intrat în uz clinic, fiind primul citostatic original românesc, 2) /196/.



2.- Verificarea diferenței de activitate biologică între izomerii 1-NO, 3a și 3-NO, 3b în cazul unor serii de bis nitrozouree alifatice și cicloalifatice omologe. După cum se știe, datele de literatură sunt unele în a admite că din punct de vedere al activității biologice este in-

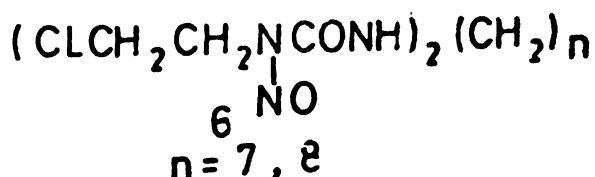


teresant numai izomerul 1-NO, 3a. Prin urmare, studiile noastre s-au îndreptat către sinteza de dinitrozo derivați de tipul 4, 5 și 6 din următoarele motive :



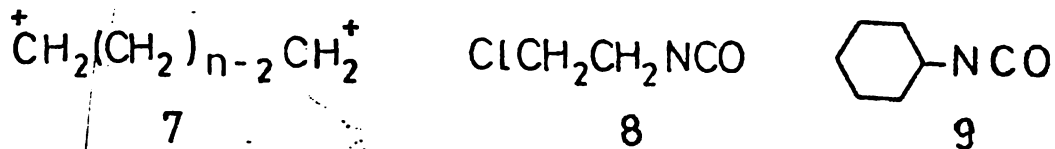
$n = 2-8$

$n = 2-8$



$n = 7, 8$

a) compusii 4 și 5 ( $n=2-8$ ) prin analogie cu schema de descompunere stabilită pentru BCNU ar trebui să conducă in vivo la dicarbocationi omologi, 7, și la izocianatați diferenți (8 și respectiv 9). Dacă interacțiunea dintre dicarbocationii 7 și macromoleculele celulare este preponderentă,

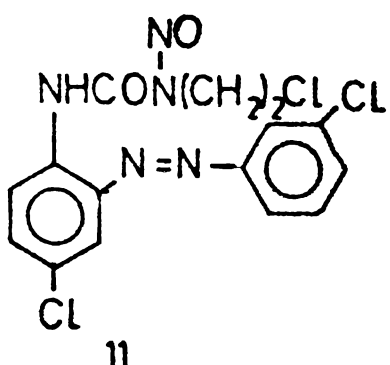
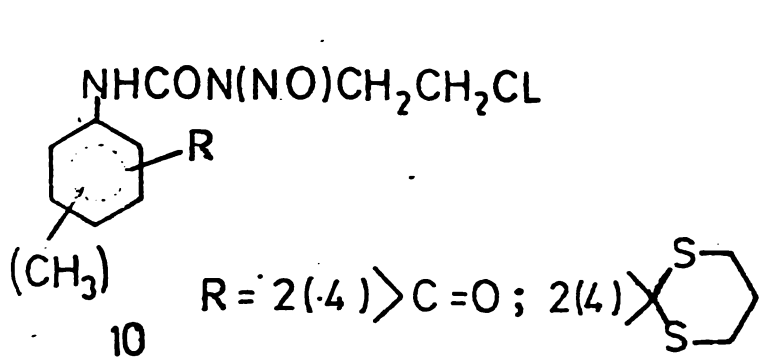


atunci este de așteptat ca ambele tipuri de compusi să exhibe acțiuni biologice similare. Dacă în schimb izocianatații sunt intermediari esențiali atunci efectul lor biologic ar trebui să fie diferit.

b) Prin compararea activității compusilor 4 (izomeri 3-NO), cu cea a compusilor 6 (izomeri 1-NO) s-ar putea obține, în conjuncție cu studiul schemei lor de descompunere, indicații suplimentare privind mecanismul de acțiune al N-NU.

c) În lumina celor discutate anterior derivații de tipul 4 și 5 ar trebui să prezinte o activitate superioară N-nitrozoureelor cunoscute (CCNU, BCNU, etc.) deoarece există posibilitatea formării unor dicarbocationi care ar putea fi agenți de cross-linking mai puternici decât carbocationul 2-cloretil generat de derivații menționate anterior.

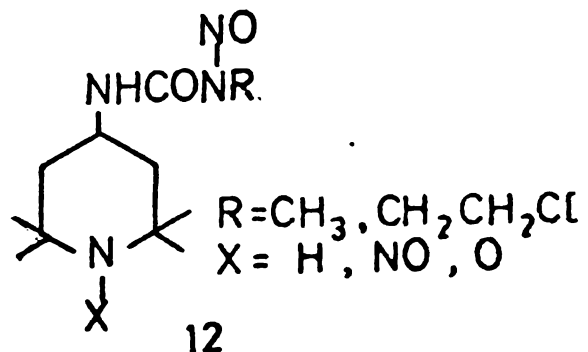
3.- Proiectarea unor compusi capabili de activare metabolică (10, 11). Studiile privind metabolizarea N-nitrozoureelor au evidențiat că CCNU suferă anterior descompunerii sale neenzimatic, o rapidă activare metabolică in vivo, și anume o hidroxilare a nucleului ciclohexanic. Hidroxi-intermediarii rezultați au o activitate biologică importantă, deși rolul lor farmacologic nu este încă lămurit. Se poate admite totuși că existența unor condiții structurale care să usureze sau să orienteze această hidroxilare ar putea avea o influență pozitivă asupra activității biologice. În acest scop ne-am propus sinteza unor analoga de CCNU care să conțină în nucleul ciclohexanic grupări cetonice libere sau protejate (10).



O altă cale de îmbunătățire a proprietăților farmacologice ale capilor de serie (de ex. CCNU, BCNU) o constituie și încercarea de a reduce toxicitatea lor sistemică menținind activitatea anticanceroasă la un nivel acceptabil. În acest sens s-a arătat că oferirea posibilității unei carbamoilări intramoleculară (prin grefare pe moleculă a unor grupări nucleofile ușor accesibile), conduce în unele cazuri, la compusi cu activitate antileucemică remarcabilă și ceea ce este important asociată unei toxicități scăzute (de ex. clorozotocina) /35/. Proiectarea unor 1-(2-cloretil)-1-nitrozouree aromatice cu grupări diazo-capabile de a fi reduse enzimatic, 11, la aminele corespunzătoare constituie o tentativă de confirmare a acestei ipoteze.

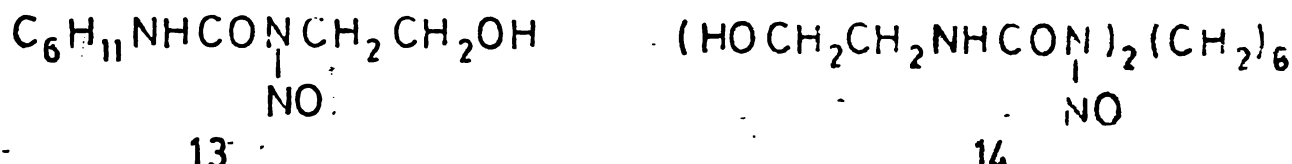
4.- Grefarea funcțiunii N-nitrozouree pe structuri noi, cu proprietăți farmacologice cunoscute, în vederea găsirii unor noi capi de serie exploatabili. Din acest punct de vedere ni s-au părut interesant de sintetizat derivații de triaceton-amină, 12, deoarece :

a) se respectă o condiție structurală, ce pare esențială pentru

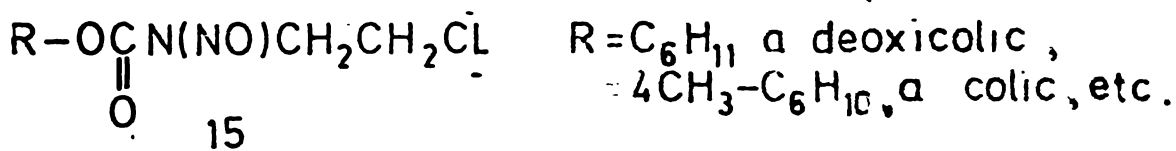


activitate, aceea de legare a funcțiunii NU de un ciclu asemănător steric ciclohexanului /59/, și b) există posibilitatea obținerii pe această cale a unor N-nitrozouree cu markeri de spin, care se pretează excelent unor studii de metabolizare și distribuție în organism (farmacocinetici). Mai trebuie menționat că printre derivații de triaceton amindă se numără și compuși cu proprietăți de radiosensibilizatori hipoxici, evident foarte interesanți în chimioterapia cancerului.

5.- În sfîrșit modificările inedite aduse structurii 1-(2-cloretil)-nitrozouree prin sinteza unor 1-(2-hidroxietil)-nitrozouree, izomeri 1-NO,



13, sau 3-NO, 14, sau prin sinteza de N-(2-cloretil)-N-nitrozouréti, 15, vor permite lărgirea ariei studiilor cantitative și calitative de



tip structură-activitate ce constituie ultima parte a acestei lucrări.

Sinteza și proprietățile noilor compusi, proiectați pe bazele acestor considerente teoretice, sunt prezентate în continuare după o clasicare ce ține seama, în primul rînd, de înrudirile structurale și de metodologia lor de sinteză, și doar în subsidiar de considerentele expuse în acest capitol. S-a căutat totuși ca gruparea compușilor noi obținuți să respecte, pe cît posibil, ambele criterii.

### XIII . Sinteza unor noi derivați de N-nitrozouree

Proiectarea de noi compusi din această clasă a urmărit, așa cum am arătat în capitolul precedent, atât obținerea de noi structuri potențial antileucemice cît și introducerea unor modificări structurale, care să permită obținerea unor indicații suplimentare asupra mecanismului lor de acțiune.

S-au sintetizat și caracterizat următoarele tipuri de N-nitrozouree (precum și intermediarii corespunzători) :

1. 1-(2-cloretil)-1-nitrozo-3-aryluree ;

2. Derivați homo și hetero-cicloalifatici de 1-(2-cloretil)-1-nitrozouree :

2.1. Analogi de CCNU și MeCCNU substituiți la inelul ciclohexanic

2.2. 2,2,6,6,-tetrametil-4-piperidinil nitrozouree

2.3. 1-(2-cloretil)-1-nitrozouree policiclice.

3. Derivați alifatici de bis/1-(2-cloretil)-1(3)-nitrozouree/ și bis/1-(ciclohexil)-3-nitrozouree/.

4. Derivați alifatici și cicloalifatici de 1-(2-hidroxietil)-1(3)-nitrozouree.

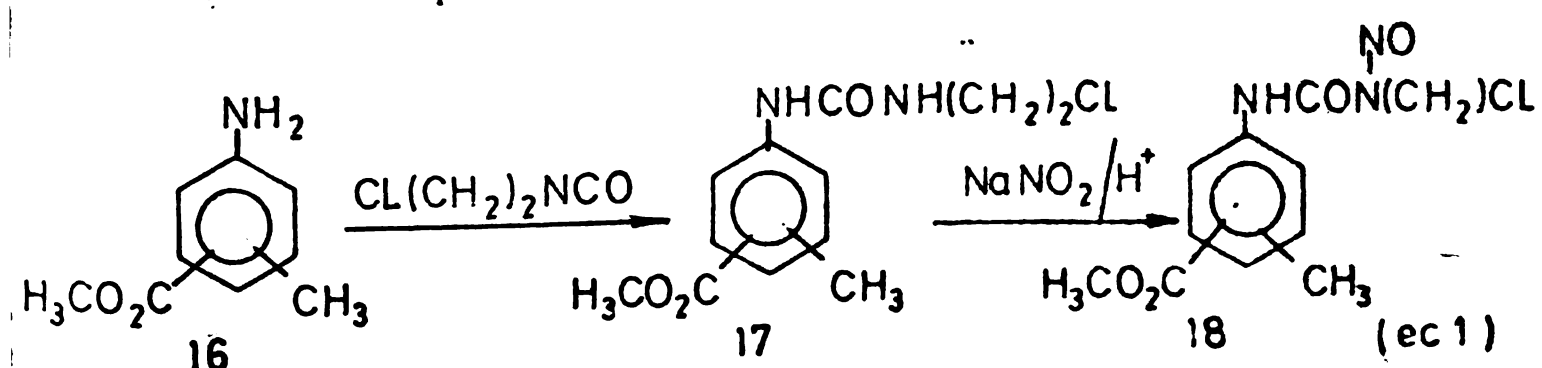
5. Derivați de N-(2-cloretil)-N-nitrozouretani.

6. Procedeu de obținere a 2-cloretil izocianatului.

7. Procedeu tehnologic de preparare a CCNU.

### XIII.1. Sinteza 1-(2-cloretil)-1-nitrozo-3-aryl ureelor

S-au sintetizat atât derivații corespunzători acidului 4-metil-3-amino-benzoic (molecule transportoare a grupării azotiperitic în cazul derivatului IOB-82, 2) cât și ai altor acizi toluici înrudităi. 1-(2-cloretil)-1-nitrozoureelor acizilor toluici, 18 (a-c) s-au obținut prin tratarea aminelor corespunzătoare, 16 (a-c), cu 2-cloretil izocianat și nitrozarea 2-cloretil ureelor astfel obținute, 17 (a-c), cu  $\text{NaNO}_2$  în mediu acid, conform schemei de mai jos (ec.1).



Aminele aromaticice precursoare, 16 (a-c), s-au obținut prin nitrarea esterilor acizilor toluici, separarea izomerilor și reducerea lor catalitică (Pd/C), conform procedeelor cunoscute /197/.

Derivațiile de aril uree, 17, au fost preparați prin două procedee și anume :

a) prin cuplarea aminelor aromaticice cu 2-cloretul izocianat; 17 (a-c), (metoda A); cap.XVIII.1.

b) prin cuplarea izocianatilor aromatici (ex.tolil-diizocianat) cu 2-cloretul amină; 17d (metoda B); cap.XVIII.1.

Reacțiile de cuplare se efectuează în solvenți aprotici, la rece, după care se lasă să se definitiveze la temperatura camerei. În general produșii precipită din mediul de reacție fie direct, fie la adăugare de solvenți potriviti. Ei se purifică prin triturare cu apă, alcool sau pr recristalizare din amestecuri alcool-apă.

Caracteristicile analitice ale noilor compusi 17, sunt sumarizate în tabelul 1. Spectrele ir efectuate în vederea confirmării structurilor propuse sunt date în tabelul 28 și discutate în cap.XIV.1.

- tabel 1 -

Nitrozarea derivațiilor de uree 17(a-e) s-a făcut utilizând două variante și anume :A) HCOOH 98-100% și NaNO<sub>2</sub> solid; B) H<sub>2</sub>SO<sub>4</sub> diluat și NaNO<sub>2</sub> solid. Este interesant de observat că se obțin, cu randamente acceptabile, compusii doriti, 18, izomeric puri (verificați cu ajutorul spectrelor de rmn) și prin folosirea acidului sulfuric diluat ca mediu de reacție (metoda B). Totuși mediul de elecție pentru obținerea 1-(2-cloretil)-1-nitrozoureeelor rămâne HCOOH 98-100% (metoda A); cap.XVII.1.

Caracteristicile analitice ale derivațiilor de N-nitrozourée obținuți sunt sumarizate în tabelul 2, iar datele spectrale sunt discutate în cap.XIV. Pe baza acestora (în special a celor de rezonanță magnetică nucleară - rmn - cap.XIV.2. tabel 17,18), rezultă că s-au obținut în toate cazurile izomerii 1-(2-cloretil)-1-nitrozo.

- tabel 2 -

Tabel 1

Caracteristicile analitice ale derivatilor aromatici

d<sub>e</sub> 1-(2-cloretil)-uree, L7(a-e)



Nr. comp.	R <sub>1</sub>	R <sub>2</sub>	Procedeu (a)	Mediu reactie	Solvent recristaliza-	n <small>%</small>	pt °C	analiza elementara și gasit			
								C	H	N	Cl
L7a	3-COOCH <sub>3</sub> (b)	4-CH <sub>3</sub>	A	CH <sub>2</sub> Cl <sub>2</sub>	EtOH	97	154	52,90	5,75	10,45	13,52
L7b	2-COOCH <sub>3</sub> (b)	6-CH <sub>3</sub>	A	CH <sub>2</sub> Cl <sub>2</sub>	EtOH	52	144-6	53,49	5,82	10,56	13,52
L7c	2-COOCH <sub>3</sub> (b)	4-CH <sub>3</sub>	A	C <sub>6</sub> H <sub>6</sub> , DMF	-	70	166-8	52,99	5,66	10,50	13,75
L7d	3-NHCONHCH <sub>2</sub> CH <sub>2</sub> Cl (c)	4-CH <sub>3</sub>	B	C <sub>6</sub> H <sub>6</sub>	-	72	204-6	47,10	5,25	17,05	21,31
L7e		Cl (d)	A	C <sub>6</sub> H <sub>6</sub>	C <sub>6</sub> H <sub>6</sub>	63	125	48,92	3,91	15,15	29,16

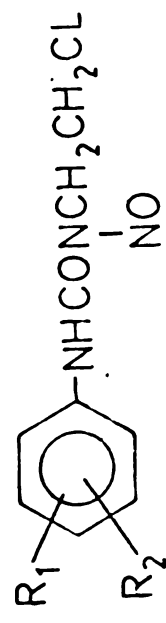
a) Procedee cuplare: A, R<sub>1</sub>R<sub>2</sub>C<sub>6</sub>H<sub>3</sub>NH<sub>2</sub> + ClCH<sub>2</sub>CH<sub>2</sub>NCO; B, R<sub>1</sub>R<sub>2</sub>C<sub>6</sub>H<sub>3</sub>NCO + H<sub>2</sub>NCH<sub>2</sub>CH<sub>2</sub>Cl; b) Formula C<sub>12</sub>H<sub>15</sub>N<sub>2</sub>O<sub>3</sub>Cl, calc.%: C=53,23; H=5,59; N=10,35; Cl=13,09; c) Formula C<sub>13</sub>H<sub>18</sub>N<sub>4</sub>O<sub>2</sub>Cl<sub>2</sub>, calc.%: C=46,85; H=5,45; N=16,81; Cl=21,27.

d) Formula C<sub>15</sub>H<sub>13</sub>N<sub>4</sub>OCl<sub>3</sub>, calc.%: C=48,46; H=3,50; N=15,08; Cl=28,66.

Table 2

Caracteristice analitice ale derivatilor aromatici de

1-(2-cloretil)-1-nitrozouree, 18(a-e)



Nr. comp.	R <sub>1</sub>	R <sub>2</sub>	Procedeu (a)	n%	pt°C	Analiza elementara (%)		
						C	H	N
18a	3-COOCH <sub>3</sub> (b)	4-CH <sub>3</sub>	A	50	98	48,10	4,85	13,97
18b	2-COOCH <sub>3</sub> (b)	6-CH <sub>3</sub>	A	53	71-2	48,20	5,10	14,15
18c	2-COOCH <sub>3</sub> (b)	4-CH <sub>3</sub>	B	89	96-8	47,61	5,18	13,90
18d	3-NHCON(HO)CH <sub>2</sub> CH <sub>2</sub> Cl (c)	4-CH <sub>3</sub>	B	77	100	40,00	4,51	20,88
18e	N=N Cl	Cl	B	85	86	-	-	16,73

a) Procedeu nitrozare: A, H<sub>2</sub>SO<sub>4</sub>; H<sub>2</sub>O/NaNO<sub>2</sub>; B, HCOOH 98-100%; calc%: C = 39,90; H = 4,12; N = 21,48; Cl = 18,12; c) Formula C<sub>12</sub>H<sub>14</sub>N<sub>3</sub>O<sub>4</sub>Cl, calc %: C = 48,08; H = 4,72; N = 14,02; Cl = 11,83;

d) Formula: C<sub>15</sub>H<sub>12</sub>N<sub>5</sub>O<sub>2</sub>Cl<sub>3</sub> calc %: N = 17,22.

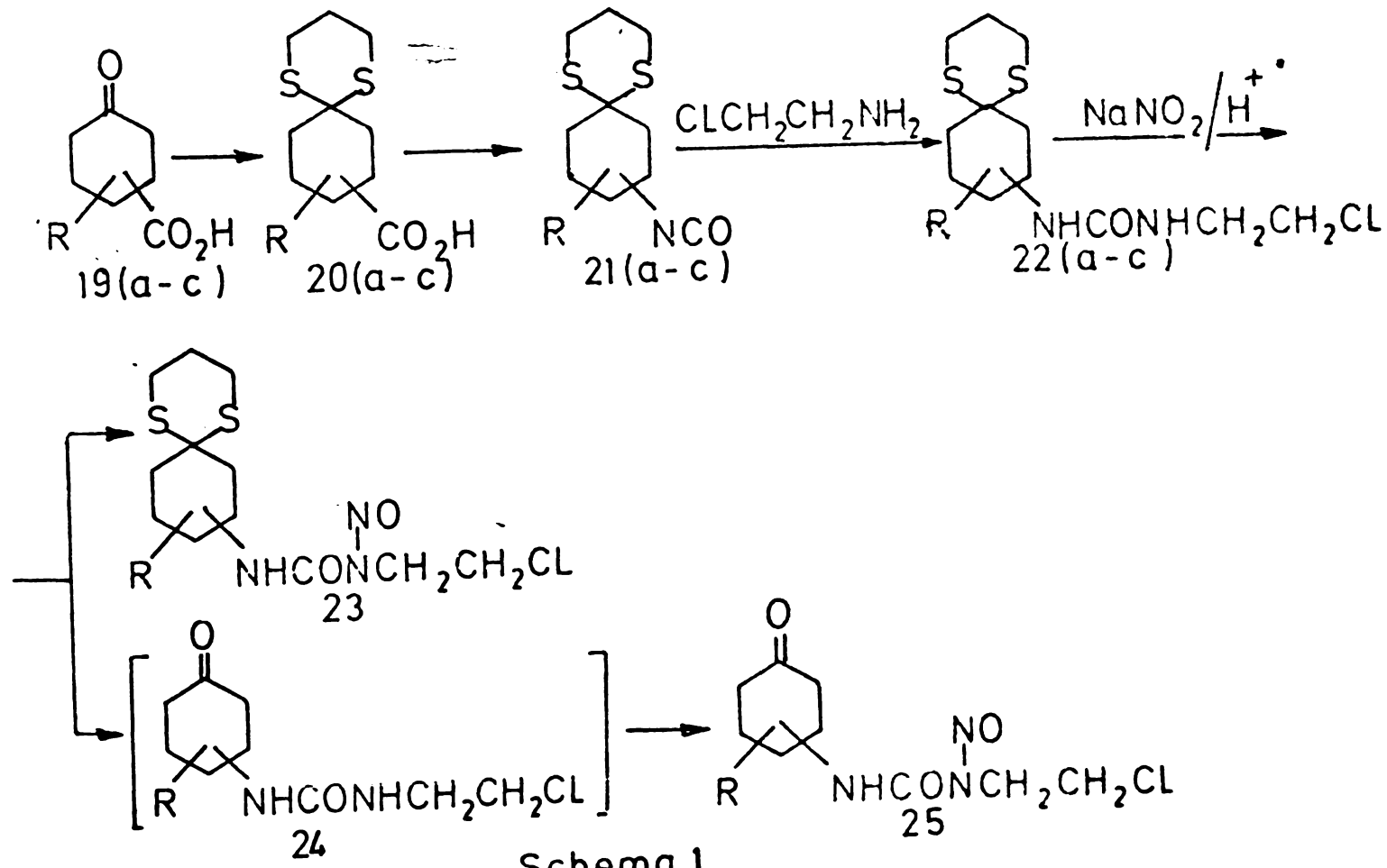
XIII.2. Derivați homo și hetero cicloalifatici de 1-(2-cloretil)-l-nitrozouree.

XIII.2.1. Analogi de CCNU și MeCCNU substituiți la înelul ciclohexanic.

S-a urmărit obținerea 1-(2-cloretil)-l-nitrozoureeelor derivate de la 2- și 4-ciclohexanonele corespunzătoare, în vederea clarificării rolului pe care l-ar putea juca unii produsi de oxidare enzimatică, de acest tip, ai CCNU sau MeCCNU, în determinarea activității lor anticaneroase.

In cadrul schemei de sinteză propusă, pentru protejarea grupării cetonice, s-au preparat 1,3-ditianil compușii corespunzători. In vederea explorării proprietăților biologice a acestor structuri, s-au sintetizat și nitrozoureele corespunzătoare. Compușii noi din această serie pot fi reprezentăți prin formula generală lo.

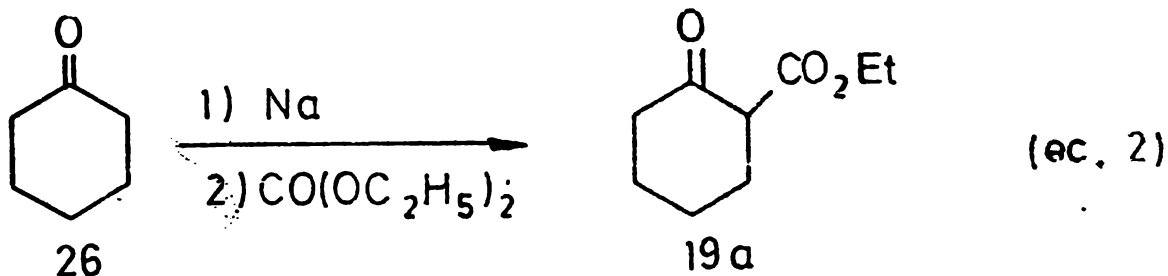
Schema de sinteză parcurge următoarele etape (schema 1) :



Schema 1

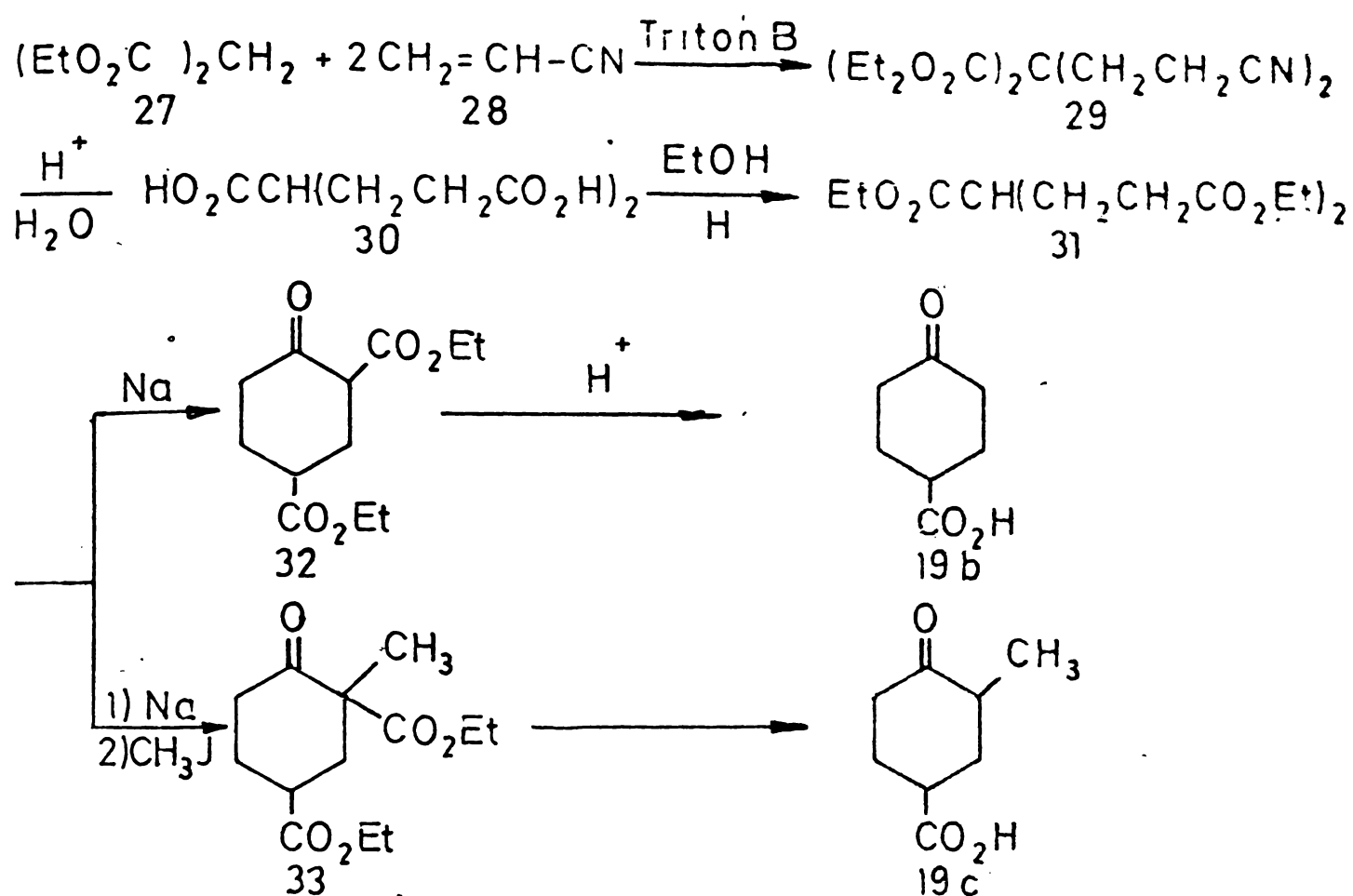
Acizii ciclonexanon carboxilici, 19(a-c), s-au obținut conform unor procedee cunoscute din literatură și anume :

- esterul acidului 2-ciclohexanon carboxilic, 19a, prin carbetoziarea ciclohexanonei (ec.2) ;



- acizii 4-ciclohexanon carboxilici, 19b,c, prin sinteză de ciclu /198/. Sinteza acidului 19b se realizează printr-un procedeu în cinci etape și care constă în condensarea acrilonitrilului cu ester malonic sodat, urmată de hidroliza dinitrilului 29, cu formarea acidului penten-tricarboxilic, 30. Aceasta se esterifică și printr-o condensare Dieckmann conduce la diesterul acidului ciclohexanon 2,4-dicarboxilic, 32. Prin hidroliză acidă și decarboxilare 32 produce într-o singură fază acidul 4-ciclohexanon carboxilic, 19b. Metilarea esterului acidului penten-tricarboxilic, 31, cu iodură de metil, conduce, urmând aceeași secvență de reacții la acidul 3-metil-4-ciclohexanon carboxilic, 19c (schema 2) /198,199/.

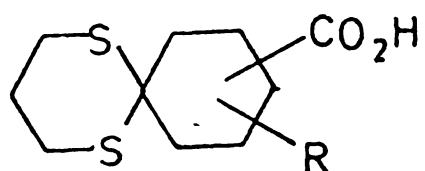
Protejarea grupării cetomice a acizilor 19 s-a făcut cu 1,3-propanditiol, reactiv ce permite obținerea în condiții blindă a compușilor ditianăți corespunzători /200/. Ditianarea a fost preferată catalizării datorită stabilității mai mari a 1,3-ditianil derivatilor, mai ales în mediu banic /200/. S-au obținut astfel următorii trei acizi nedescrisi în literatura de specialitate, și anume : acidul 1,5-ditiaspiro[5,5]-undecan-6-carboxilic, 20a ; acidul 1,5-ditiaspiro[5,5]-undecan-8-carboxilic, 20b și acidul 1,5-ditiaspiro[5,5]-undecan-6-metil-8-carboxilic 20c a căror structură a fost confirmată prin analiză elementară și spectroscopie IR (tabel 3); cap.XVII.2.1. Acesteia servesc ca punct de plecare, conform schemei 1, la obținerea N-nitrozo derivatilor doriti.



Schema 2

Tabel 3

Caracteristicile analitice ale acizilor 1,5-dithiaspiro[5,5]undecan-carboxilici, 20 (a-c)



Nr.	R	pt °C	n $\lambda$	analiză elementară %		
				C	H	S
<u>20a</u> , 6-CO <sub>2</sub> H <sup>(1)</sup>	H	192-3	80,4	51,74	7,36	27,17
<u>20b</u> , 8-CO <sub>2</sub> H <sup>(1)</sup>	H	140-2	87	51,86	7,46	27,35
<u>20c</u> , 8-CO <sub>2</sub> H <sup>(2)</sup>	6-CH <sub>3</sub>	156-8	87	54,00	7,57	25,64

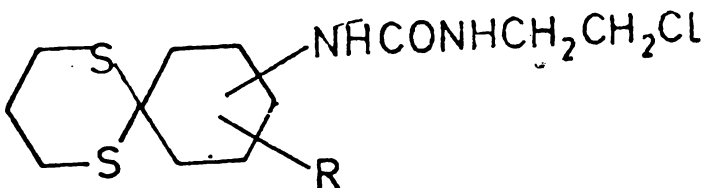
<sup>(1)</sup> Formula C<sub>10</sub>H<sub>17</sub>O<sub>2</sub>S<sub>2</sub>, calc.%: C=51,72; H=6,9; S=27,58

<sup>(2)</sup> Formula C<sub>11</sub>H<sub>19</sub>O<sub>2</sub>S<sub>2</sub>, calc.%: C=53,60; H=7,32; S=26,02.

Acizii 1,5-ditiaspiro[5,5]-undecan carboxilici, 20(a-c), sunt transformați prin metoda Curtius modificată (Geinstock) /201/ în anhidriidele mixte corespunzătoare, care fără să fi izolate sunt trecute în carbocazidele respective folosind azidă de sodiu. Acestea imediat după izolare, sunt dizolvate în solventi organici aprotici ( $\text{CHCl}_3$ ,  $\text{C}_6\text{H}_6$ ), uscate și apoi degradate termic la izocianat. Reacția este controlată spectrofotometric în ir (urmărind dispariția absorbției caracteristice azidei  $\gamma_{\text{N}_3} \sim 2150 \text{ cm}^{-1}$  și apariția maximului intens de la  $\sim 2270 \text{ cm}^{-1}$  datorat vibrației de grup  $\gamma_{\text{NCO}}$ ). Izocianatii rezultați, 21(a-c), sunt cuplați, fără izolare cu 2-cloretil amina; cap.XVII 2.1. Caracteristicile analitice ale ureelor astfel obținute, 22 (a-c), au fost tabelate (tabel 4), iar cele spectrale sunt discutate în cap.XIV.1, cap.XIV.2. și cap.XVII 2.1. tabel 29. Conform acestor date structurile obținute corespund celor propuse.

Tabel 4

Caracteristicile analitice ale derivaților de 1-(2-cloretil)-3-1,5-ditiaspiro[5,5]-undecanil -uree, 22 (a-c)



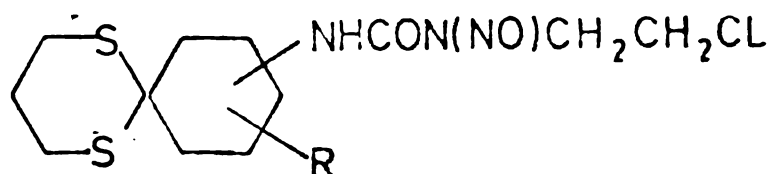
Nr.	R	pt°C	nº	Analize elementare % găsit			
				C	H	N	Cl
<u>22a</u> , 6-NHCONHCH <sub>2</sub> CH <sub>2</sub> Cl <sup>(1)</sup>	H	131-2	35	47,01	6,77	8,86	11,61
<u>22b</u> 8-NHCONHCH <sub>2</sub> CH <sub>2</sub> Cl <sup>(1)</sup>	H	144-6	40	46,78	7,03	8,86	11,91
<u>22c</u> , 8-NHCONHCH <sub>2</sub> CH <sub>2</sub> Cl	6-CH <sub>3</sub>	133-6	38	47,92	7,11	8,72	11,38

<sup>1)</sup> Formula  $\text{C}_{12}\text{H}_{21}\text{N}_2\text{OS}_2\text{Cl}$ , calc.%: C = 47,69; H = 6,81; N = 9,08; Cl = 11,7  
<sup>2)</sup> Formula  $\text{C}_{13}\text{H}_{23}\text{N}_2\text{OS}_2\text{Cl}$ , calc.%: C = 48,38; H = 7,13; N = 8,68; Cl = 10,5

Nitrozarea derivărilor de uree, 22(a-c), se efectuează în acid acetic glaciel cu  $\text{NaNO}_2$  solid. N-nitrozo derivării se extrag cu eter etilic, după diluarea amestecului de reacție cu apă. Extractele eterice după spălare, uscare și concentrare conduc la uleiuri care se purifică prin cromatografie pe coloane de Kisselgur, folosind ca eluent  $\text{CHCl}_3$ . Datele analitice ale acestor compuși, 23(a-c), sunt prezentate în tabelul 5, iar cele spectrale în cap.XIV.1, cap.XIV.2 tabel 17,18 și cap.XVIII.2.1. tabel 30 și ele corespund structurilor propuse.

Tabel 5

Caracteristicile analitice ale derivărilor de 1-(2-cloretil)-3-1,5-ditiaspiro[5,5]-undecanil -1-nitrozouree, 23(a-c)



Nr.	R	$\text{pt}^{\circ}\text{C}$	$\eta_{\text{D}}^{\text{25}}$	Analize elementare %			
				C	H	N	Cl
<u>23a</u> , 6-NHCON(NO)CH <sub>2</sub> CH <sub>2</sub> Cl <sup>(1)</sup>	H	ulei	96	43,05	6,39	12,63	10,11
<u>23b</u> , 8-NHCON(NO)CH <sub>2</sub> CH <sub>2</sub> Cl <sup>(1)</sup>	H	93-95	90	43,21	6,30	12,05	10,15
<u>23c</u> , 8-NHCON(NO)CH <sub>2</sub> CH <sub>2</sub> Cl <sup>(2)</sup>	6-CH <sub>3</sub>	ulei	95	44,53	6,10	11,62	10,54

<sup>1)</sup> Formula  $\text{C}_{12}\text{H}_{20}\text{N}_3\text{O}_2\text{S}_2\text{Cl}$ , calc.%: C=42,67; H=5,93; N=12,45; Cl=10,51.

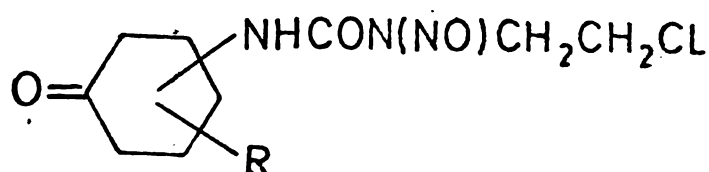
<sup>2)</sup> Formula  $\text{C}_{13}\text{H}_{22}\text{N}_3\text{O}_2\text{S}_2\text{Cl}$ , calc.%: C=44,39; H=6,26; N=11,95; Cl=10,09.

In mod neasteptat, nitrozarea derivărilor de uree, 22(a-c), cu  $\text{NaNO}_2$  solid în  $\text{HCOOH}$  98-100%, are loc concomitent cu clivarea restului ditianic. Reacția permite obținerea, cu răndamente destul de mici, a ciclohexanon-N-nitrozourelor corespunzătoare, 25(a-c), dovedindu-se a fi totodată și o metodă elegantă de deprotejare a grupării cetonice. Compușii sunt izolați după diluarea și filtrarea mediului de reacție, prin extrac-

ie cu  $\text{CHCl}_3$ . Extractele cloroformice, spălate și uscate, sunt concentrate la 1/4 din volum și precipitate cu eter de petrol; cap.XVIII.2.1. Caracteristicile analitice ale noilor compuși (tabel 6) cît și cele spectrale (cap.XIV.1, cap.XIV.2 tabel 18 și cap.XVIII.2.1. tabel 31) corespondă cu structurile propuse.

Tabel 6

Caracteristicile analitice ale derivaților de 1-(2-cloretil)-3(ciclohexan-2,4-onă)-1-nitrozouree, 25(a-c)



Nr.	R	p.t <sup>0</sup> C	$\eta^{\circ}$	analize elementare %			
				zăsit			
				C	H	N	Cl
<u>25a</u> , 2-NHCON(NO)CH <sub>2</sub> CH <sub>2</sub> Cl <sup>(1)</sup>	H	ulei	59	43,30	5,98	16,65	14,30
<u>25b</u> , 4-NHCON(NO)CH <sub>2</sub> CH <sub>2</sub> Cl <sup>(1)</sup>	H	50	70	43,78	6,09	16,54	14,75
<u>25c</u> , 4-NHCON(NO)CH <sub>2</sub> CH <sub>2</sub> Cl <sup>(2)</sup>	2-CH <sub>3</sub>	56	73	46,24	6,51	15,81	13,49

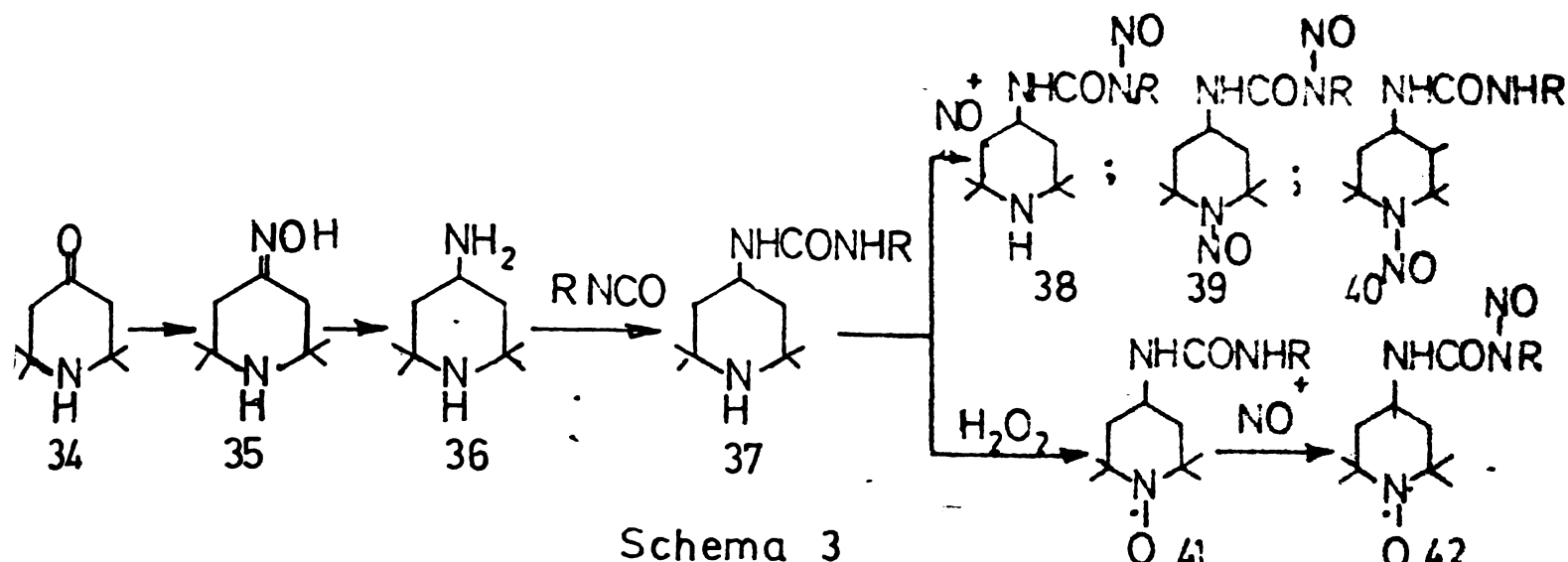
<sup>1)</sup> Formulă  $\text{C}_9\text{H}_{14}\text{N}_3\text{O}_3\text{Cl}$  calc % : C=43,64; H=5,66; N=16,99; Cl=14,34

<sup>2)</sup> Formulă  $\text{C}_{10}\text{H}_{16}\text{N}_3\text{O}_3\text{Cl}$  calc% : C=45,89; H=6,12; N=16,06; Cl=13,58

### XIII.2.2,2,6,6-Tetrametil-4-piperidiniluree și nitrozouree

In vederea obținerii unor N-nitrozouree noi cu markeri de spin, căror comportare atât in vitro cît și in vivo ar putea fi studiată mai fidel folosind metode rezonanței electronice de spin, s-au sintetizat cîteva 2-cloretil și metiluree deriveate de la triaceton-amină, care ulterior au fost nitrozate. Drept marker de spin s-a folosit gruparea implicată în ciclul de 6 atomi, al triaceton-aminei.

Schema de sinteză a fost următoarea (schema 3) :



Sinteza triaceton-aminei, 34, și a oximei corespunzătoare, 35,

s-a făcut după metodele cunoscute /202,203/. Conform datelor de literatură reducerea oximei cu Nă metalic în alcool izoamilic, conduce printr-o metodă laborioasă și cu randamente mici la amina 36 /204,205/. Această metodă a fost îmbunătățită în cadrul lucrării de față, prin efectuarea reacției în n-propanol și extractia aminei cu eter etilic, fără prelucrări suplimentare, elaborându-se un procedeu comod, reproductibil și cu randamente de 60-70% de obținere a acestui intermedier (cap.XVII 2.2.1).

Derivații de uree 37, care nu sunt descrisi în literatura de specialitate, se obțin prin cuplarea aminei 36 cu metil respectiv 2-clor-etil izocianat, în eter de petrol la 10-15°; cap.XVII 2.2. Datele analitice privind noii compusi 37(a-d) sunt summarizate în tabelul 7. Datele spectrale (ir și rmn) sunt comentate în cap.XIV, tabel 17,18, cap.XVII 2.2. tabel 32.

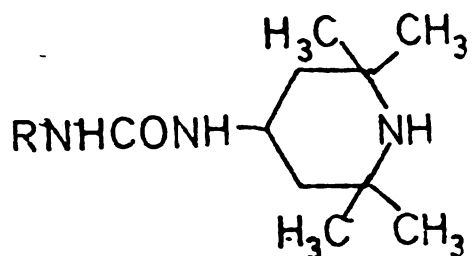
- tabel 7 -

Derivații de uree 37 au fost fie nitrozați direct, fie întâi oxidați la atomul de azot al heterocicului și apoi nitrozați.

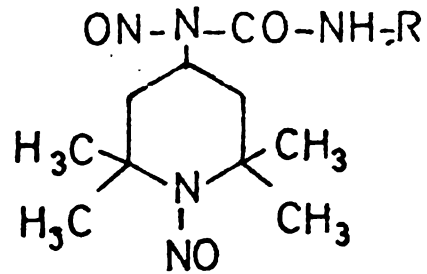
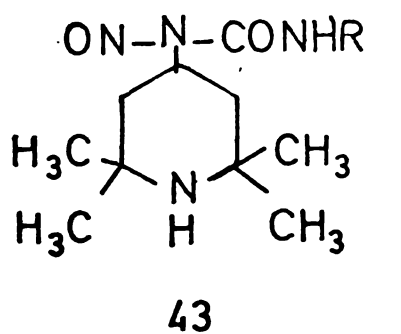
Teoretic, prin nitrozarea acestor compusi (37) se pot forma 5 nitrozoderivați izomeri și anume : trei mono-N-nitrozo derivați 38, 39 și 43 și doi dinitrozo derivați (40 și 44). Practic nu s-a constatat formarea izomerilor 3-N-nitrozo (43 și 44); (cap.XVII 2.2.), ceilalți însă putând fi obținuți în funcție de condițiile de lucru.

Tabel 7

Caracteristicile analitice ale 3-(2,2,6,6-tetrametil-4-piperidinil)-ureelor, 37 (a-d)



Nr.	R	pt°C	η%	analiză elementară							
				calculat				găsit			
				C	H	N	Cl	C	H	N	Cl
<u>37a</u>	CH <sub>3</sub>	194-7	85,50	61,97	10,80	19,72	-	61,80	10,68	19,81	-
<u>37b</u>	CH <sub>2</sub> CH <sub>2</sub> Cl	108-9	87,00	55,08	9,18	16,06	13,56	54,69	9,38	16,17	13,35
<u>37c</u>	C <sub>6</sub> H <sub>11</sub>	90	84,00	68,33	11,03	14,95	-	-	-	14,70	-
<u>37d</u>		212-15	89,00	59,22	9,09	10,90	-	59,00	8,95	10,08	-



S-a evidențiat că mediul optim de nitrozare este acidul acetic 50% din care prin varierea condițiilor de reacție (raport reacțanți, durată de reacție, mod de prelucrare) se pot obține izomerii de tip 38, 39 și 40, a căror structură a fost elucidată cu ajutorul spectrometriei de rezonanță magnetică nucleară (cap.XIV, tabel 17,18).

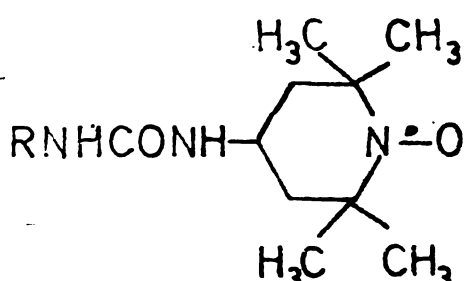
N-oxidarea derivatilor de uree, 37, se face cu H<sub>2</sub>O<sub>2</sub> 30%, wolframat de Na și EDTA /206-209/, conducind la nitroxizii 41, ce prezintă un spectru RES caracteristic. Probleme deosebite le ridică obținerea în stare pură

șă compusului 4lb.

Caracteristicile analitice ale nitroxizilor de acest tip sunt prezентate în tabelul 8, iar cele spectrale în ir și res în cap.XIV, tabelele 20 și respectiv 33.

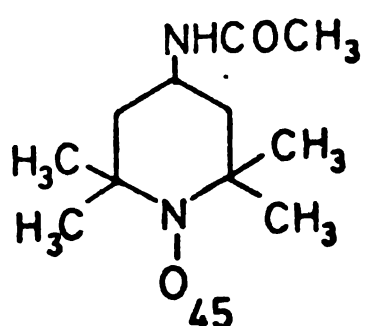
Tabel 8

Caracteristicile analitice ale 3-(2,2,6,6-tetrametil-4-piperidinil-1-oxi)-ureelor 4l (a-d)



Nr.	R	pt°C	η%	analiză elementară							
				calculat				găsit			
				C	H	N	Cl	C	H	N	Cl
<u>4la</u>	CH <sub>3</sub>	133	75	57,89	9,65	18,42	-	57,50	9,45	18,10	-
<u>4lb</u>	ClCH <sub>2</sub> CH <sub>2</sub>	108	45	52,08	8,32	15,19	12,84	-	-	15,15	12,5
<u>4lc</u>	C <sub>6</sub> H <sub>11</sub>	60	35	64,86	10,13	14,19	-	64,70	10,20	14,00	-
<u>4ld</u>		275	30	49,14	7,33	9,05	-	48,64	7,57	9,08	-

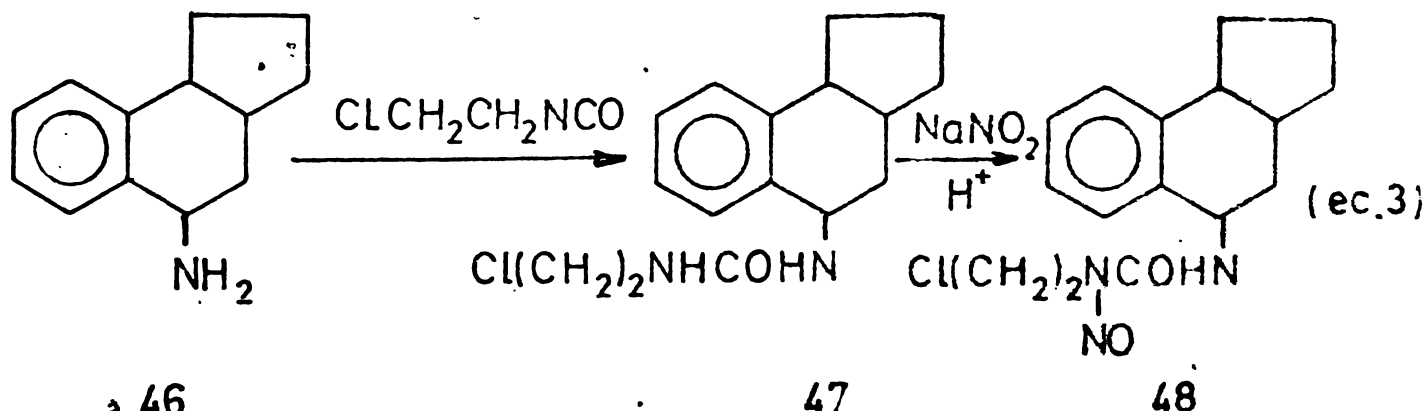
Nitrozarea derivatilor de uree nitroxidici, 4l, se realizează în acid acetic 50%, la rece, cu azotit de sodiu. Derivații finali se izolează din mediul de reacție prin extracție cu eter, sănătarea atentă, uscare, și evaporarea sub vacuum a acestor extracte; cap.XVII 2.2. Încercările



noastre de a nitroza, în aceste condiții, amida 45, să fie scăpată. Această faptă a fost folosită ca argument împotriva posibilității de formare a izomerilor  $\beta$ -NO, în cazul N-oxizilor, unde determinările de RMN nu sunt posibile. Caracteristicile analitice ale N-nitrozoureelor de tip 38, 39, 40 și 42 sunt prezentate în tabelul 9, iar cele structurale în cap.XIV, tabel 20 și 34.

- tabel 9 -

XIII.2.3.1-(2-Cloretil)-1-nitrozoureele policiclice sunt reprezentate prin sinteza 1-(2-cloretil)-3-[8-(5',6'-benzo)-hexahidroindanil]-1-nitrozoureei, 48, (ec.3), obținută prin cuplarea aminei 46 (sintetizată de Dr.A.Glatz, Centrul de Chimie Organică) cu 2-cloretil-izocianat și nitrozarea ureei rezultată 47. Nitrozarea se realizează pe calea obisnuită, obținându-se, ca în general în cazul derivatilor ciclosulfatici cu cicluri de 6 atomi exclusiv izomerul 1-nitrozo.



Structura compusului 48 a fost confirmată de datele analitice și spectrale obținute (cap.XVII 2.3.).

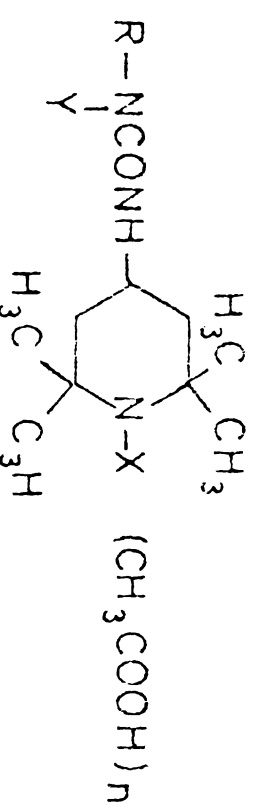
### XIII.3. Derivați alifatici de bis/1-(2-cloretil)-1(3)-nitrozouree/ și bis/1-ciclonexil-3-nitrozouree/.

#### XIII.3.1. Derivați alifatici de bis /1-(2-cloretil) sau ciclonexil-3-nitrozouree/.

In vederea realizării unor derivați cu proprietăți farmacologice superioare cît și pentru obținerea de informații suplimentare privind

Tabel 9

Characteristic analitice ale derivatilor de 3-(2,2,6,6-tetrametil-4-piperidinil)-nitronourea

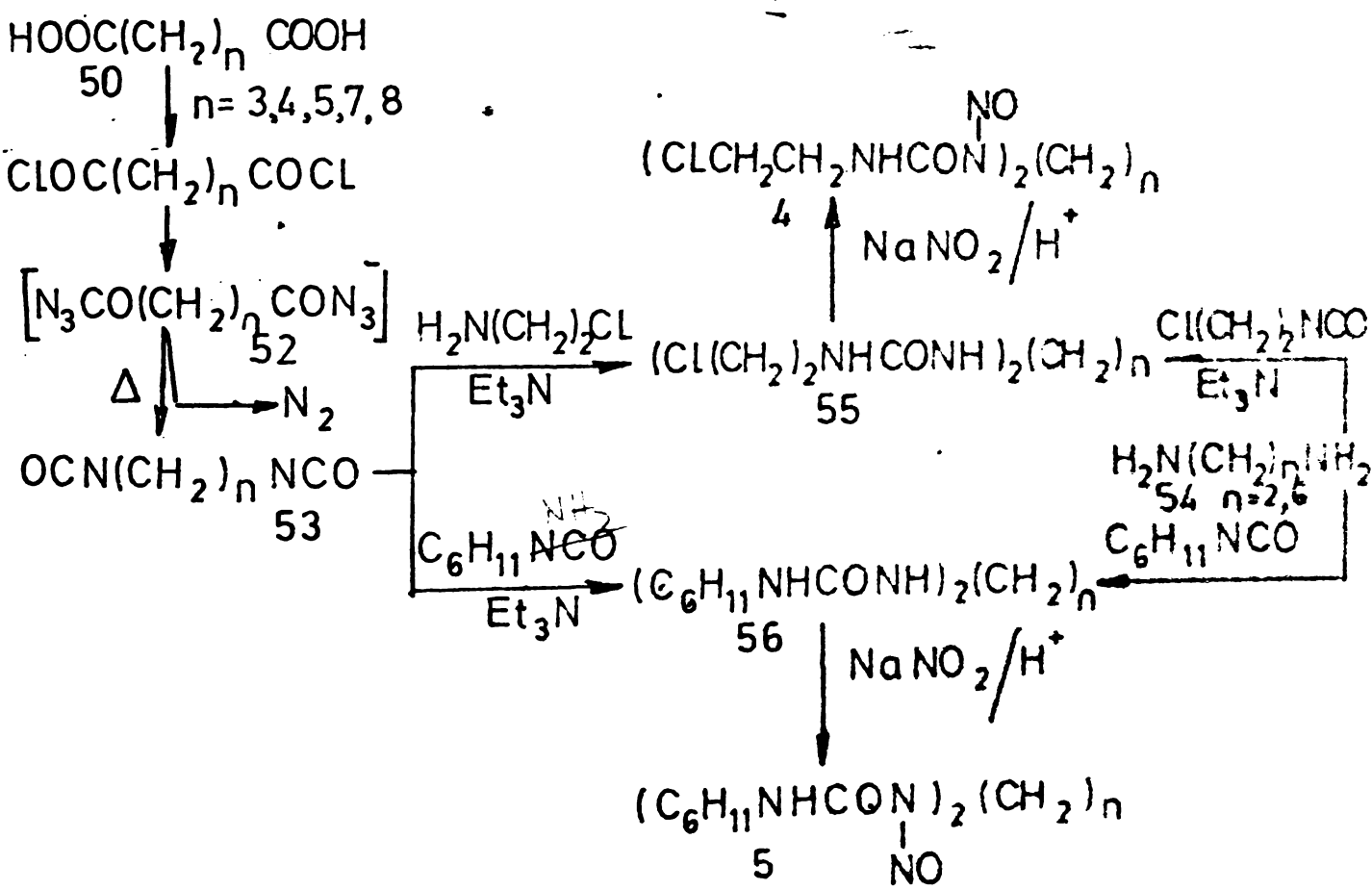


Nr.	R	X	Y	n	pt°C	$\eta^{\circ}$	analyze elementare						
							C	H	N	Cl	C	H	N
28a	CH <sub>3</sub>	H	NO	2	119-121	60	48,13	8,02	14,97	-	48,00	7,99	14,85
28b	CH <sub>2</sub> CH <sub>2</sub> Cl	H	NO	1	91-98	75	46,78	7,55	13,64	-	47,09	7,71	13,64
40a.	CH <sub>3</sub>	NO	NO	0	108, <sup>5</sup> <sub>110</sub>	85	48,71	7,75	25,83	-	49,18	8,15	25,93
39a	CH <sub>2</sub> CH <sub>2</sub> Cl	NO	H	0	ulei	70	49, <sup>23</sup>	7,92	19,28	-	49,88	7,78	19,20
42a	CH <sub>3</sub>	O	NO	0	122-3	89	51, <sup>36</sup>	8,17	21,79	-	51,80	8,44	21,73
42b	CH <sub>2</sub> CH <sub>2</sub> Cl	O	NO	0	110	45	47, <sup>14</sup>	8,20	18, <sup>33</sup>	11,61	46,62	7,32	18,27
													11,96

mecanismul de acțiune al unor noi N-NU s-au sintetizat o serie de derivați de di-N-nitrozourée, 4 și 5 (vezi cap.VII. ).

Alegerea procedeelor de preparare a acestor compusi a urmat mai ales utilizarea disponibilităților materiale existente, în cadrul unei scheme de sinteză care să permită, pe cât posibil, realizarea compusilor doriti din intermediari comuni.

Schema 4 reprezintă etapele parcuse în sinteza derivațiilor 4 și 5 ( $n = 2-8$ ). Materiile prime folosite au fost, în general, acizii dicarboxilici corespunzători, 50, și anume : acidul gluteric, adipic, pimelic, azelaic și sebacic, acizi care au fost procurati sau sintetizați prin metodele cunoscute. Prin tratarea acestora cu clorură de tioniil sau oxalil se obțin, cu randamente bune, clorurile acide corespunzătoare, 51, care se

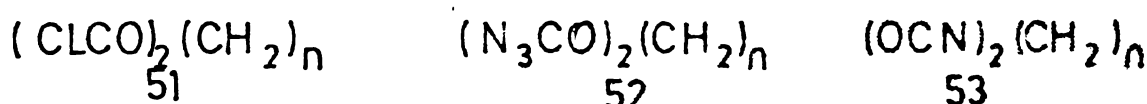


Schema 4

purifică prin distilare și se caracterizează prin punctul de fierbere și spectru IR (tabel lo /2lo-216/).

Tabel lo

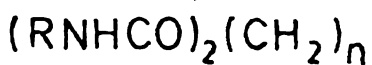
Caracteristici fizice ale clorurilor acide (51), carbamoil azidelor (52) și izocianatilor (53) acizilor dicerboxilici alifatici (50)



n	pf <sup>0</sup> C/mmHg cloruri acide	$\nu_{CO}$ (cm <sup>-1</sup> ) cloruri acide	$\nu_{CON_3}$ (cm <sup>-1</sup> ) azide	$\nu_{NCO}$ izocianat
3	80/10	1805	2135	2285
4	111/12	1805	2140	2280
5	122/4	1800	2142	2280
7	151/10	1725	2140	2285
8	170/14	1730	2138	2280

Reacția clorurilor acide cu azidă de sodiu (activată în prealabil), în solvenți neapoși, conduce la diazidele 52. Cursul acestei reacții este condiționat atât de puritatea clorurii acide cît și de reactivitatea azidei de sodiu. Deoarece reactivitatea NaN<sub>3</sub> scade în timp și între diferitele loturi există mari diferențe din acest punct de vedere, este recomandabil să, înainte de a fi folosită, NaN<sub>3</sub> să fie reactivată (prin triturare cu hidrat de hidrazină 85%, dizolvare în apă și reprecipitare din acetona) /217/. Transformarea azidelor, 52, în izocianati, 53, prin degradare Curtius /217/, este controlată atât prin degajarea de N<sub>2</sub> cît și spectrofotometric prin dispariția benzilor  $\nu_{CO}$  (cloruri acide ~1800 cm<sup>-1</sup>) și  $\nu_{N_3}$  (azide 2150 cm<sup>-1</sup>) și apariția absorbției caracteristice vibrării de grup  $\nu_{NCO}$  (izocianati ~2270 cm<sup>-1</sup>). Deoarece izocianati, 52, nu se izolează din mediul de reacție și

soluțiile lor, astfel obținute, se folosesc ca stare pentru cuplarea cu aminele, este foarte important să se determine corect stăriștul reacției. Prezența, în amestec, a clorurilor acide nereacționate, conduce la impurificarea ulterioară a derivaților de uree cu compusi de tip amidic, 57,



<sup>57</sup>

a căror formare micșorează randamentul și îngreunează considerabil purificarea și caracterizarea derivaților de uree. Derivații de uree 55 și 56 ( $n = 3, 4, 5, 7, 8$ ) se obțin prin cuplarea soluțiilor diizocianatilor corespunzători, 53 ( $n=3-5, 7, 8$ ), cu 2-cloretul sau ciclohexil-amina /218, 219/; cap.XVIII.3.1.

Sinteza compusilor 55 și 56 ( $n=2, 6$ ) s-a realizat prin cuplarea diaminelor  $(H_2N)_2(CH_2)_n$  ( $n=2, 6$ ) cu 2-cloretul sau ciclohexil izocianat /218/; cap.XVIII.3.1.

Cuplarea aminelor cu izocianatii se realizează la rece, în solvenți inertii (benzen,  $CHCl_3$ , toluen, etc.), în prezență de cantități catalitice de trietil-amină. Derivații de uree, 55, 56, precipită, de obicei din mediul de reacție. Purificarea lor se face prin triturare cu apă acidulată, apă, alcool, eter de petrol și, acolo unde este posibil, prin recristalizare din alcool. Prin acest procedeu derivații de uree, 55 și 56, se obțin, în general, cu randamente satisfăcătoare.

Datele analitice ale noilor compusi de uree sunt tabelate (tabel 11). Caracteristicile lor spectrale vor fi discutate ulterior (cap.XIV.1., tabel 35,37).

- tabel 11 -

Nitrozoureele 4 și 5 s-au obținut prin nitrozarea ureelor precurate cu  $NaNO_2$  în mediu acid,  $HCOOH$  98-100% sau  $HCl$  6N. În general compusii doriti precipită din mediu de reacție la diluare cu apă. Atunci cînd se formează uleiuri (de ex.4,  $n=3, 5, 7$ ), separarea se face prin extracție cu solvenți (eter etilic, cloroform, benzen). Probleme deosebite s-au ridicat la obținerea compusului 5 ( $n=7$ ). Nitrozarea ureii precursoră 26 ( $n=7$ ) cu  $NaNO_2$  studiată în următoarele medii:  $HCOOH$  98-100%;  $CH_3COOH$  glacial și

**Caracteristici analitice ale derivatilor de polimetilen bisuree**

$(RNHCONH)_2(CH_2)_n$  55 R = CH<sub>2</sub>CH<sub>2</sub>Cl    56 R = C<sub>6</sub>H<sub>11</sub>

**Tabel 11**

No.	n	Formula	pt °C	Procedeu <sup>a</sup>	Analize elementare						nº		
					calculat			realizat					
C	H	N	Cl	C	H	N	Cl	C	H	N	Cl		
55a	2	C <sub>8</sub> H <sub>16</sub> N <sub>4</sub> O <sub>2</sub> Cl <sub>2</sub>	180-3	A <sub>1</sub>	35,43	5,96	20,66	26,14	35,55	5,92	20,70	26,60	25
55b	3	C <sub>9</sub> H <sub>18</sub> N <sub>4</sub> O <sub>2</sub> Cl <sub>2</sub>	141-3	B <sub>1</sub>	37,90	6,37	19,64	24,86	38,25	6,59	19,64	24,63	30
55c	4	C <sub>10</sub> H <sub>20</sub> N <sub>4</sub> O <sub>2</sub> Cl <sub>2</sub>	165	B <sub>1</sub>	40,13	6,75	18,73	23,69	40,00	6,83	18,87	23,54	72
55d	5	C <sub>11</sub> H <sub>22</sub> N <sub>4</sub> O <sub>2</sub> Cl <sub>2</sub>	131-2	B <sub>1</sub>	42,17	7,09	17,89	22,63	42,48	7,40	17,63	22,37	49
55e	6	C <sub>12</sub> H <sub>24</sub> N <sub>4</sub> O <sub>2</sub> Cl <sub>2</sub>	150-3	A <sub>1</sub>	44,03	7,41	17,12	21,66	43,85	7,50	16,90	21,43	91
55f	7	C <sub>13</sub> H <sub>26</sub> N <sub>4</sub> O <sub>2</sub> Cl <sub>2</sub>	120	B <sub>1</sub>	45,75	7,62	16,42	20,82	45,40	7,70	16,15	20,90	70
55g	8	C <sub>14</sub> H <sub>28</sub> N <sub>4</sub> O <sub>2</sub> Cl <sub>2</sub>	157	B <sub>1</sub>	47,32	7,96	15,77	19,95	47,81	7,98	15,27	-	80
56a	2	C <sub>16</sub> H <sub>30</sub> N <sub>4</sub> O <sub>2</sub>	242-3	A <sub>2</sub>	61,88	9,76	18,05	-	61,53	10,05	18,20	-	83
56b	3	C <sub>17</sub> H <sub>32</sub> N <sub>4</sub> O <sub>2</sub>	220	B <sub>2</sub>	62,91	9,96	17,27	-	62,53	10,00	14,47	-	95
56c	4	C <sub>18</sub> H <sub>34</sub> N <sub>4</sub> O <sub>2</sub>	300	B <sub>2</sub>	63,85	10,14	16,55	-	43,44	9,68	16,46	-	89
56d	5	C <sub>19</sub> H <sub>36</sub> N <sub>4</sub> O <sub>2</sub>	235-7	B <sub>2</sub>	64,72	10,31	15,89	-	64,96	10,63	16,23	-	98
56e	6	C <sub>20</sub> H <sub>38</sub> N <sub>4</sub> O <sub>2</sub>	225	A <sub>2</sub>	65,52	10,47	15,28	-	66,09	10,56	15,39	-	75
56f	7	C <sub>21</sub> H <sub>40</sub> N <sub>4</sub> O <sub>2</sub>	221-3	B <sub>2</sub>	66,25	10,61	14,72	-	66,70	10,10	14,57	-	78
56f	8	C <sub>22</sub> H <sub>42</sub> N <sub>4</sub> O <sub>2</sub>	208	B <sub>2</sub>	66,94	10,74	14,20	-	67,42	10,60	14,43	-	67

- a) Procedeu de sinteză: A<sub>1</sub>, H<sub>2</sub>N(CH<sub>2</sub>)<sub>n</sub>NH<sub>2</sub> + ClCH<sub>2</sub>CH<sub>2</sub>NCO; A<sub>2</sub>, H<sub>2</sub>N(CH<sub>2</sub>)<sub>n</sub>NH<sub>2</sub> + C<sub>6</sub>H<sub>11</sub>NCO; B<sub>1</sub>, OCN(CH<sub>2</sub>)<sub>n</sub>NCO + ClCH<sub>2</sub>CH<sub>2</sub>NH<sub>2</sub>; B<sub>2</sub>, OCN(CH<sub>2</sub>)<sub>n</sub>NCO + C<sub>6</sub>H<sub>11</sub>NH<sub>2</sub>.

$(CH_3CO)_2O$ ; HCOOH 98-100% și HCl 6N, a condus în toate cazurile la separarea unor uleiuri în care, spectrofotometric, se evidențiază uree nenitrozată (fig.1). Produsul dorit,  $\Sigma(n=7)$ , se obține doar dacă se folosește pentru nitrozare un amestec HCOOH 98-100%: HCl/1:1; cap.XVIII 3.1.

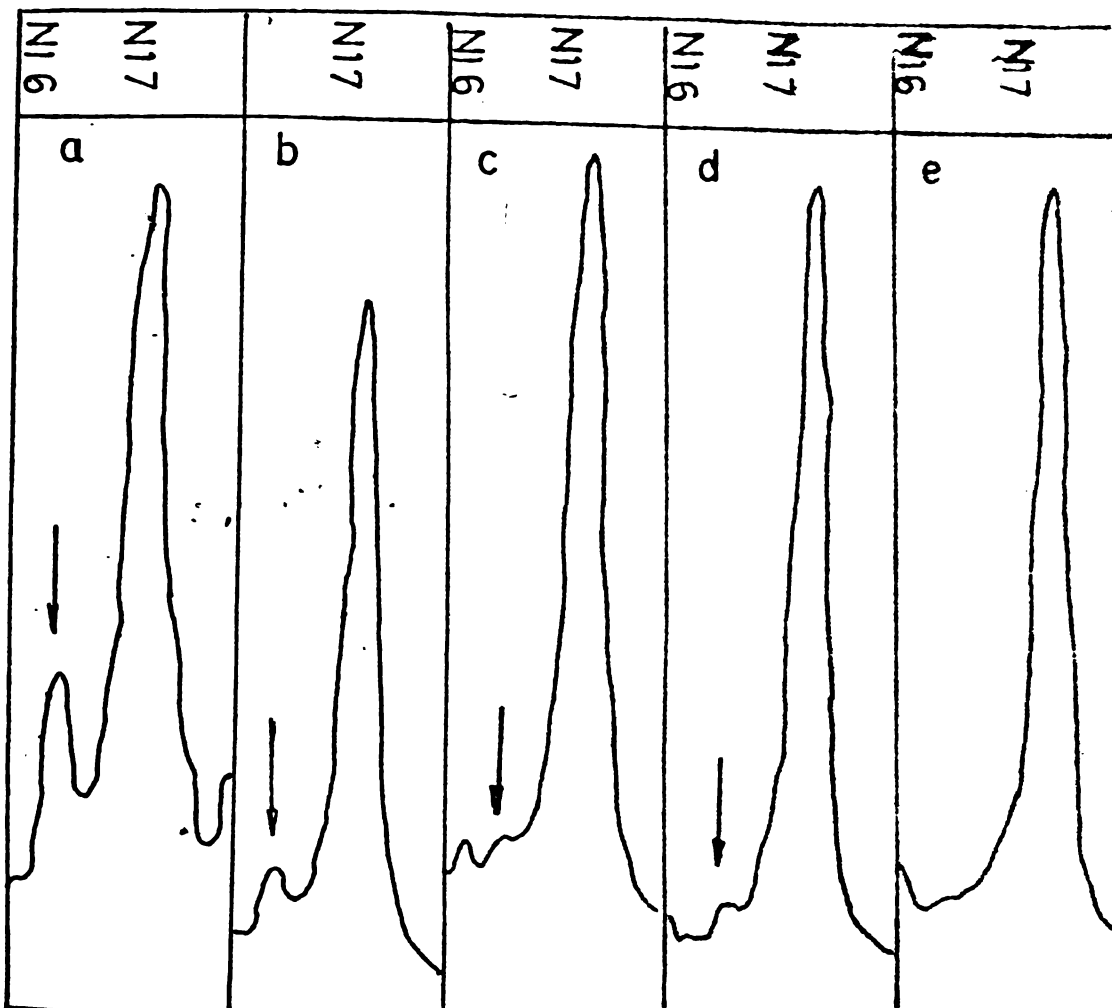
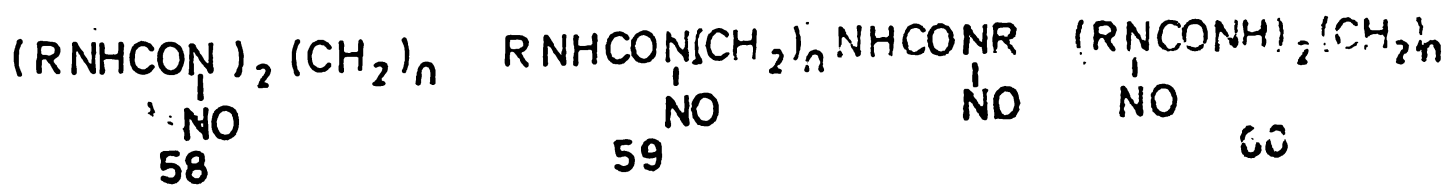


Fig. I Spectre ir  $\Sigma$  f) a)  $AcOH:Ac_2O/3:1$ ; b) HCOOH 98-100%;  
c) HCl 10N ; d) HCl 10N - HCOOH 98-100%: 2-1; e) HCl 10N -  
HCOOH 98-100%:1-1;  $\rightarrow$   $CO$  uree nenitrozată.

In toate cazurile purificarea izomerică s-a făcut prin reprecipitare cu spă din HCOOH 98-100% /26/. Teoretic, prin nitrozarea acestui tip de derivați de uree pot rezulta cel puțin trei N-nitrozoizomeri diferenți (58, 59 și 60) sau amestecuri ale acestora. Studiul spectrelor rmn



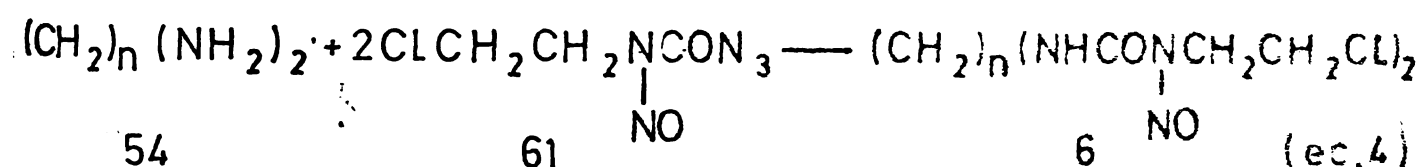
ale compușilor purificați (4 și 5) indică existența, în exclusivitate, a izomerilor 3-nitrozo de tip 58.

Datele analitice ale noilor compuși sunt prezentate în tabelul 12, structura și puritatea izomerică au fost determinate prin spectroscopie IR, și, în special, RMN și sunt discutate în cap.XIV, tabel 18,19 și cap.XVIII, b.l. tabel 36,38.

- tabel 12 -

XIII.3.2. Derivați alifatici mono și bis /1-(2-cloretil)-1-nitrozouree/

Sinteza nitrozourelor 6 ( $n=7,8$ ), izomeri 1-nitrozo (de tip 58), se realizează în mod neechivoc, prin cuplarea diaminelor corespunzătoare, 4, cu 2-cloretil-nitrozo-carbamoil azida, 61 (cap.XVII 3.2.). Sinteza acestor compuși ni s-a părut interesantă atât datorită faptului că ei ar trebui



să fie - conform teoriei - considerabil mai activi decât omologii lor, 3-nitrozo 4 ( $n=7,8$ ), cît și ca un mijloc, suplimentar, de control al atribuirii corecte a structurii izomerilor 3-nitrozo.

Compoundul 66 se obține, conform schemei 5, astăt prin cuplarea aminei 64 cu reactivul de nitrozare 61, cît și prin nitrozarea directă a ureii precursoră 65 (cap.XVIII 3.2.3.4.).

Sinteza reactivului de nitrozare utilizat, 61, a fost descrisă foarte recent /47,168/. Obținerea 2-cloretil-carbamoil-azidei precursoră, 68, a pus probleme deoarece încercările noastre de a reproduce metoda propusă de Eisenbrand și colab. (care constă în obținerea acestui compus din 2-cloretil-izocianat și acid azothidric,  $\text{HN}_3$ -produs in situ - din  $\text{HCl}$  și  $\text{NaN}_3$ ), au eşuat. Studiile efectuate de noi au evidențiat că acen-

Tabel 12

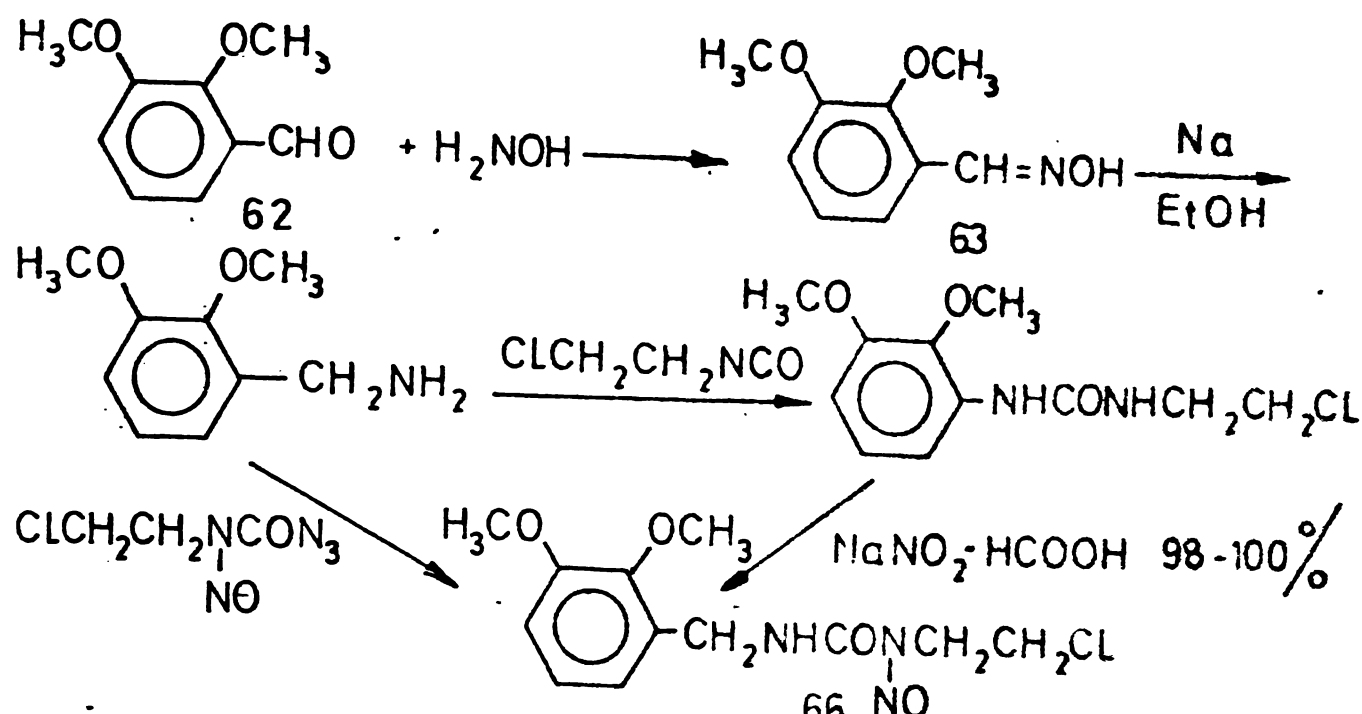
Caracteristici analitice ale derivatilor de polimetilan bila nitrozoaree



NO

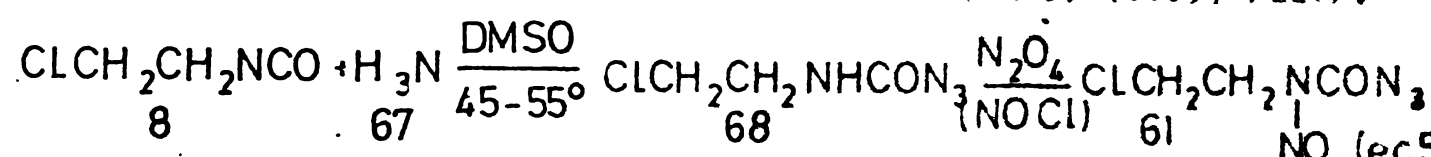
Nr.	n	Formula	pt°C	Procedeu <sup>(a)</sup>	Analiza elementara %						n%	
					C calculat	H calculat	N calculat	Cl calculat	C efect	H efect	N efect	
4a	2	C <sub>8</sub> H <sub>14</sub> N <sub>6</sub> O <sub>4</sub> Cl <sub>2</sub>	145-6	A	29,19	4,30	25,54	21,54	29,65	3,96	25,42	21,67 85
4b	3	C <sub>9</sub> H <sub>16</sub> N <sub>6</sub> O <sub>4</sub> Cl <sub>2</sub>	68-70	B	31,49	4,71	24,49	20,66	31,73	4,88	24,19	20,50 70
4c	4	C <sub>10</sub> H <sub>18</sub> N <sub>6</sub> O <sub>4</sub> Cl <sub>2</sub>	137	A	33,64	5,09	23,53	19,86	34,00	5,50	23,64	20,33 95
4d	5	C <sub>11</sub> H <sub>20</sub> N <sub>6</sub> O <sub>4</sub> Cl <sub>2</sub>	55-7	B	35,59	5,41	22,64	19,10	35,59	5,30	22,82	19,31 75
4e	6	C <sub>12</sub> H <sub>22</sub> N <sub>6</sub> O <sub>4</sub> Cl <sub>2</sub>	92	A	37,41	5,77	21,82	18,40	36,95	5,90	21,78	18,26 90
4f	7	C <sub>13</sub> H <sub>24</sub> N <sub>6</sub> O <sub>4</sub> Cl <sub>2</sub>	48	B	39,09	6,01	21,05	17,79	39,15	6,20	20,99	17,60 85
4g	8	C <sub>14</sub> H <sub>26</sub> N <sub>6</sub> O <sub>4</sub> Cl <sub>2</sub>	82	B	40,68	6,35	20,34	17,15	41,11	6,62	20,70	17,01 92
5a	2	C <sub>16</sub> H <sub>28</sub> N <sub>6</sub> O <sub>4</sub>	135	A	52,15	7,81	22,81	-	52,54	7,68	23,22	- 58
5b	3	C <sub>17</sub> H <sub>30</sub> N <sub>6</sub> O <sub>4</sub>	137	A	53,33	7,92	21,98	-	52,96	7,93	21,95	- 74
5c	4	C <sub>18</sub> H <sub>32</sub> N <sub>6</sub> O <sub>4</sub>	112	A	54,52	8,15	21,20	-	54,56	8,05	21,24	- 96
5d	5	C <sub>19</sub> H <sub>34</sub> N <sub>6</sub> O <sub>4</sub>	100-102	A	55,58	8,36	20,47	-	55,73	8,64	20,80	- 97
5e	6	C <sub>20</sub> H <sub>36</sub> N <sub>6</sub> O <sub>4</sub>	103-105	A	56,57	8,56	19,79	-	57,00	8,90	20,11	- 90
5f	7	C <sub>21</sub> H <sub>38</sub> N <sub>6</sub> O <sub>4</sub>	57-60	C	57,50	8,85	19,19	-	57,25	8,90	19,40	- 87
5g	8	C <sub>22</sub> H <sub>40</sub> N <sub>6</sub> O <sub>4</sub>	93-94,5	B	58,37	8,93	18,57	-	58,78	9,35	18,24	- 80

a). Procedee de nitrozare: A) HCOOH 98-100%/NaNO<sub>2</sub>; B) HCl a 1,19/NaNO<sub>2</sub>; C) HCOOH 98-100%:HCl a 1,19/NaNO<sub>2</sub>



Scheme 5

reactie este catalizată de dimetil-sulfoxid (DMSO) (ec.5) /22c/.



Astfel, dacă la o soluție cloroformică de 2-cloretil-izocianat se adaugă o soluție de HN<sub>3</sub> în CHCl<sub>3</sub> (preparată din NaN<sub>3</sub> și H<sub>2</sub>SO<sub>4</sub> /221/) în absența DMSO nu are loc nici o reacție. Adăugarea DMSO la mediul de reacție, conduce printr-un proces energetic exoterm la produsul dorit. Reacția poate fi ușor urmărită spectrofotometric în IR prin dispariția absorbției de la 2270 cm<sup>-1</sup> ( $\nu_{\text{NCO}}$ ) și apariția vibrăției  $\nu_{\text{N}_3} \sim 2150 \text{ cm}^{-1}$ . După îndepărțarea solventului, uleiul rămas se triturează cu eter de petrol, din care acidă 68 cristalizează în timp și la rece. S-a obținut astfel un procedeu eficient și reproductibil de obținere a 2-cloretil-carbamoil azidei, superior celor descrise în literatură; cap.XVII.3.2.1.

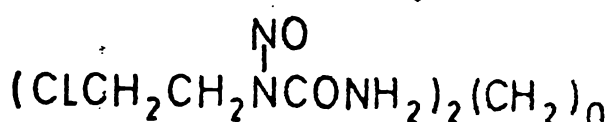
Nitrozarea carbamoil azidei s-a făcut prin proceeedele cunoscute cu NOCl sau N<sub>2</sub>O<sub>4</sub> /47,168/, ultimul fiind preferat deoarece, în acord cu datele de literatură, decurge cantitativ. Indeșertarea acidului acetic și anhidridicei acetice, proveniți din mediul de reacție și care impurifică produsul final, se face utilizând schimbători de ioni. 2-Cloretil-nitro-

zo-carbamoil azida, 61, este un compus instabil, care nu se izolează, și se folosește imediat în reacția de cuplare cu aminele. Reacție este controlată prin TLC, ir și rmn.

Datele analitice ale nitrozoureelor astfel obținute, 6 (nr<sup>7,8</sup>), și 66 sunt prezentate în tabelul 13. Structura lor este confirmată de datele spectrale în ir și rmn (cap.XIV, tabel 17,39).

Tabel 13

Caracteristici analitice ale derivaților de bis 1-(2-cloretil)-1-nitrozouree 6



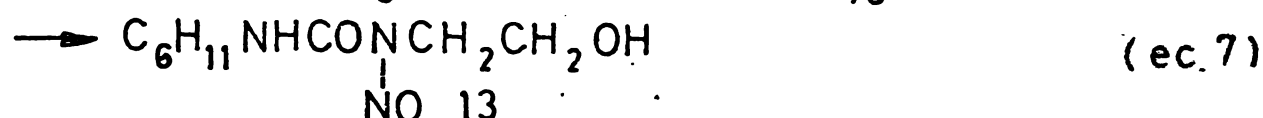
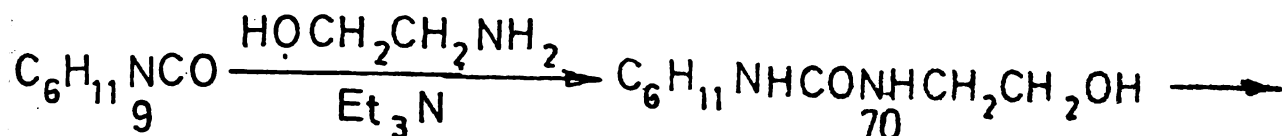
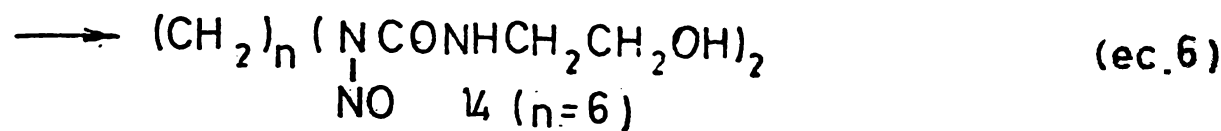
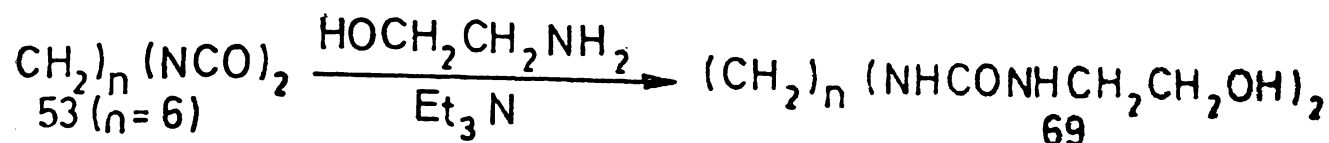
Nr.	n	pt <sup>0</sup> C	$\eta^{\circ}$	analiză elementară						
				calculat		N	Cl	C	H	N
<u>6a</u>	7	77-77,5	43	39,10	6,02	21,05	17,79	35,79	6,38	21,23 18,7
<u>6b</u>	8	71-71,5	60	40,68	6,30	20,34	17,15	40,57	6,66	20,11 17,

#### XIII.4. Derivați de 1-(2-hidroxietil)-1(3)-nitrozouree

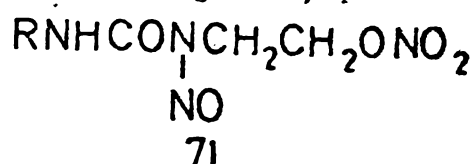
Proiectarea derivaților de acest tip, 13 și 14, s-a făcut în vede-rea completării seriei de derivați meniți să clarifice unele aspecte ale mecanismului de acțiune al N-nitrozoureelor.

Sinteza noilor compuși s-a realizat prin cuplarea izocianurilor 53,9, cu 2-hidroxietil amină și nitrozarea derivaților de uree astfel ob-ținuți, 69,70, cu  $\text{NaNO}_2$  în  $\text{HCOOH}$  98-locș (ec.6,7); cap.XIII.4.

In cursul reacției de nitrozare a 2-hidroxietil ureelor se produce și esterificarea simultană a grupărilor OH, cu formare de nitrili de tipul 71. Descompunerea acestora se face prin metodele cunoscute, adică încălzire în metanol (metanoliză). După această etapă, urmărează purificarea



Izomerică a N-nitrozo derivaților, prin dizolvarea acestora în HCOOH



88-100%, la rece 0-5° și precipitarea, după un timp cu apă /26/

Datele analitice privind compusii sintetizați sunt prezentate în tabelele 14 și 15. Atribuirile structurale sunt discutate în cap. XIV, cap.XVIII 4., tabel 4o.

Tabel 14

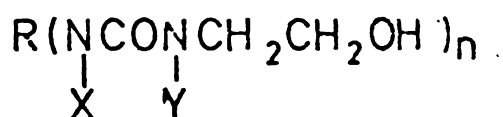
Caracteristici analitice ale derivaților de 1-(2-hidroxi-  
etil)-uree



Nr.	R	n	pt°C	η%	analiză elementară					
					calculat			găsit		
					C	H	N	C	H	N
69	C <sub>6</sub> H <sub>11</sub>	1	98-101	65	58,06	9,68	15,05	58,00	9,22	14,99
70	(CH <sub>2</sub> ) <sub>6</sub>	2	180	95	49,69	8,96	19,31	49,66	9,36	19,21

Tabel 15

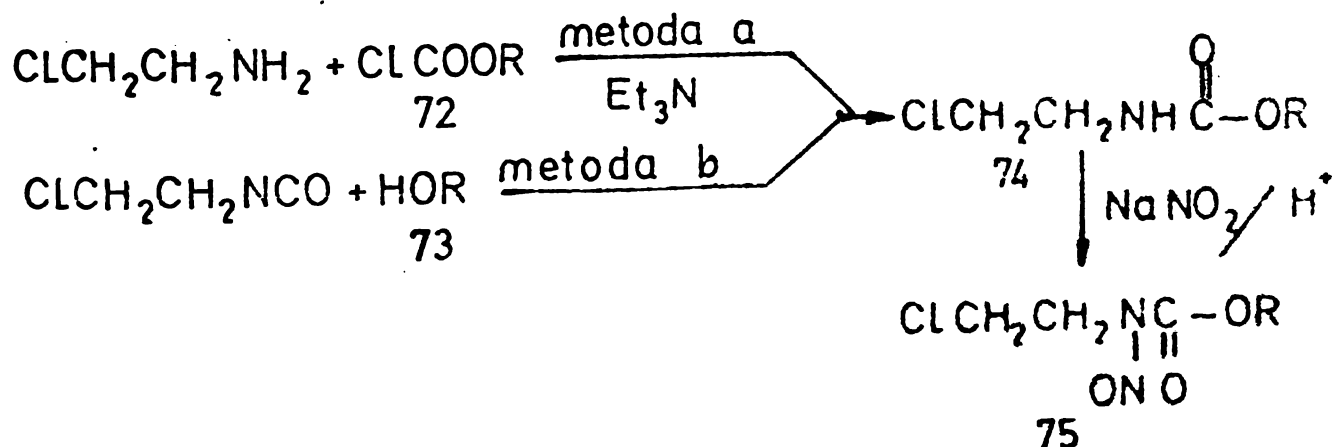
Caracteristici analitice ale 2-hidroxietil-nitrozoureelor



Nr.	R	n	X	Y	p.t.	$\eta$ % calculat	analiz elementară				visit	N
							C	H	N	C		
13	C <sub>6</sub> H <sub>11</sub>	1	H	NO	57-8	60	50,23	7,91	19,53	50,03	7,99	19,03
14	(CH <sub>2</sub> ) <sub>6</sub>	2	NO	H	74-6	80	41,30	6,90	24,14	41,20	7,04	23,85

### XIII.5. Derivați de N-(2-cloretil)-N-nitrozouretanii

N-(2-cloretil)-N-nitrozouretanii, 75, se obțin conform schemei 6 prin cuplarea 2-cloretil aminei cu cloroformiatii, 72, sau din 2-cloretil-izocianat și alcoolii, 73, și nitrozarea cu NaNO<sub>2</sub> în mediu acid a uretanilor rezultați, 74 (schema 6).



Schēma 6..

Uretanii, 75, în care R este un hormon (derivați de acid colic, deoxicolic, etc.) se obțin prin metoda a (80,81,82,84). Cloroformiații respectivi, 72, se obțin prin fosgenare directă și au fost descrisi anterior /222/. Derivațul de estradiol, 81 (tabel 15), se poate obține și direct din 2-cloretil izocianat și estradiol (metoda b), condiții în care, aşa cum s-a arătat, grupările OH din poziția 17 nu reacționează /223/; cap.XVII 5.

Nitrezarea uretanilor 75 a ridicat probleme deosebite, datorită instabilității foarte pronunțate și unor dintr-e N-nitrozo derivații din această serie, care se descompun în cursul manipulațiilor și nu se pot obține în stare pură.

Datele analitice ale noilor compusi au fost sumarizate în tabelul 16.

- tabel 16 -

XIII.6. Procedeu de obținere a 2-cloretil izocianatului.

2-Cloretil izocianatul, 8, reprezintă un intermediu cheie în sintezele care fac obiectul prezentei lucrări. Din acest motiv s-a acordat o atenție specială elaborării unor metode eficiente și reproductibile de obținere a sa, cu atât mai mult cu cît procedeele descrise în literatură s-au dovedit nesatisfăcătoare.

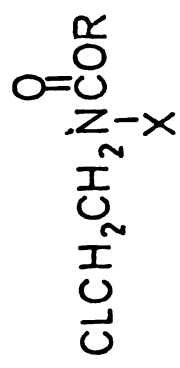
2-Cloretil izocianatul este dificil de obținut și manipulat atât din cauza marii sale reactivități cît și a faptului că este foarte toxic și lacrimogen. Evident, într-o fază inițială, s-a urmărit evaluarea eficienței și accesibilității metodelor descrise în literatură, care, aşa cum s-a mai arătat, constau în: a) fosgenarea 2-cloretil-aminei (metoda Siefken) /131,132/; b) tratarea 2-hidroxietil uretanului cu  $\text{PCl}_5$ , (metoda Wenker) /133,134/; c) fosgenarea aziridinei (metoda Johnston) /135/ și d) descompunerea 2-oxazolidonei cu clorură de tosil /137/. Aceste metode au fost comentate anterior (vezi cap. IX).

Încercările noastre de obținere a 2-cloretil izocianatului prin metoda Wenker (cu  $\text{PCl}_5$ ), s-au materializat printr-o îmbunătățire a acesteia, mai ales în ceea ce privește sinteza 2-hidroxietil uretanului, 87, care s-a obținut cu randamente de 90-95% din etanol-amine și carbonat de etil (în loc de cloroformiat de etil și cum este descris în procedeul original). Metoda este simplă, comodă, reacția descurzind conform ecuației 8 (cap.XVII 6.1.).



Tabel 16

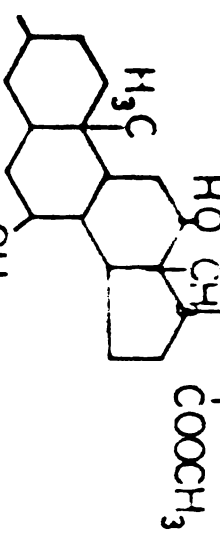
Caracteristici analitice ale 2-clorettil uretanilor și nitrozouretanilor



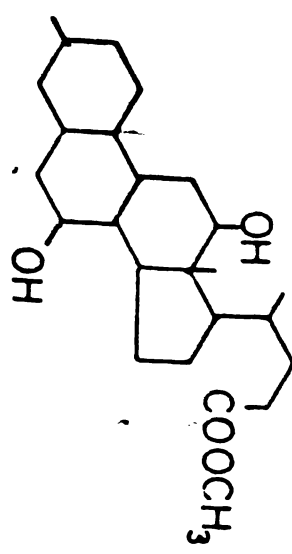
Nr.	R	X	pt °C	η%	Analiza elementară %						Cl	
					C	H	N	Cl	C	C		
16	C <sub>6</sub> H <sub>11</sub>	H	36-40	99,2	52,55	7,78	6,81	17,27	52,96	8,17	6,54	17,54
17	C <sub>6</sub> H <sub>11</sub>	NO ulei	62,30	46,05	6,40	11,94	15,14	46,54	6,84	11,86	15,46	
18	4-CH <sub>3</sub> C <sub>6</sub> H <sub>10</sub>	H	61-4	91,10	54,92	7,78	6,40	16,24	54,68	7,28	6,04	16,11
19	4-CII <sub>3</sub> C <sub>6</sub> H <sub>10</sub>	NO	49-50	77,00	48,48	6,46	11,31	14,34	48,62	6,80	11,08	13,92
20	$\text{H}_3\text{C} \begin{array}{c}   \\ (\text{CH}_2)_3\text{CH}(\text{CH}_3)_2 \end{array}$		H	126-9	86,00	73,25	10,17	2,85	7,22	73,28	10,49	2,86
21												10,01

CONTINUE TABLE 16

	1	2	3	4	5	6	7	8	9	10	11	12	13
<b>82</b>			H 132-4	60,20	62,85	8,54	2,72	6,89	62,81	8,45	2,83	7,30	



**83**



**83**

NO 180-2

53,60

60,38

8,09

5,03

6,38

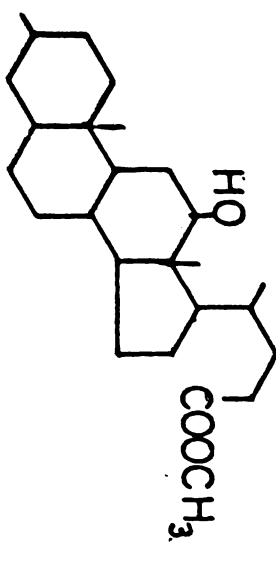
59,93

8,39

4,86

6,65

**84**



**84**

H 75-77

55,00

65,69

8,99

2,75

6,94

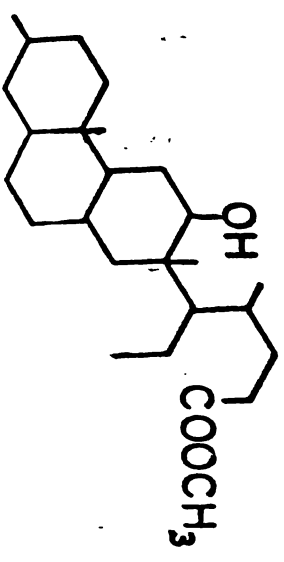
65,49

9,36

2,75

7,36

**85**



**85**

NO 145-9

51,00

62,16

8,33

5,18

6,57

61,80

8,32

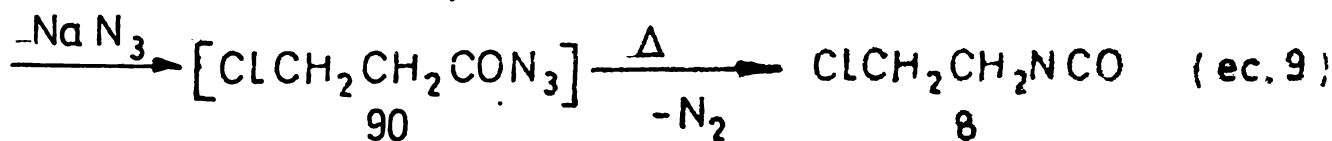
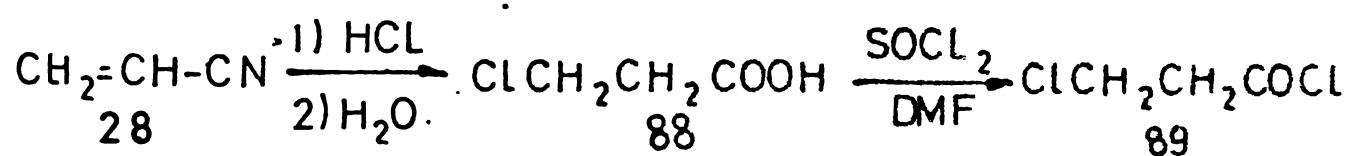
4,85

6,72

Din păcate, metoda Wenker nu este convenabilă, deoarece izocianatul rezultă impurificat cu clorură de carbamoil. Pentru purificare sunt necesare operații suplimentare de distilare, care îngreunează foarte mult procedeul și micșorează randamentul și astă destul de scăzut.

Procedeul Johnston a fost reprodus conform condițiilor revendicate de autori /135/, dar materia primă, etilen-imina, este un produs toxic, scump și relativ greu accesibil.

Rezultatele cele mai bune, în sinteza 2-cloretil izocianatului, le-am obținut prin utilizarea în acest scop a metodei Curtius de degradare uscată a azidelor /217/. Este curios că, cel puțin în literatura consultată de noi, nu se găseste nici o indicație de sinteză a 2-cloretil izocianatului, prin această metodă, care conform rezultatelor noastre este simplă, sigură, folosește materii prime accesibile și ceea ce este mai important permite obținerea unui produs pur, cu randamente mari (70%). Sinteza se realizează conform schemei de mai jos (ec.9).



Materia primă folosită este acrilonitrilul, 28, din care prin adiție de HCl, în mediu șpos, se obține acidul 3-cloropropionic, 88. Aceasta în prezență clorurii de tionil, într-o reacție catalizată de DMF, conduce, la temperatura camerei, la clorura acidă corespunzătoare, 89, care se izolează prin distilare. La soluția în tetraalină a clorurii acide, 89, proaspăt distilate, se adaugă încet, cu încălzire ușoară (30-40°), NaN<sub>3</sub> (activată) /217/ și apoi se ridică temperatura la 60-80°. Reacția este, practic, terminată cind degajarea de N<sub>2</sub> încetează. Sfîrșitul ei este determinat spectrofotometric (în ir) prin dispariția absorbției caracteristice clorurii acide ( $\gamma_{\text{CO}} \sim 1800 \text{ cm}^{-1}$ ) și azidei ( $\gamma_{\text{N}_3} \sim 2150 \text{ cm}^{-1}$ ).

Izocianatul format este separat prin distilare la vid ( $41^{\circ}/16\text{mmHg}$ ); cap.XVII.6.2.

Conform datelor noastre, rezultatele cele mai bune (atât din punct de vedere al randamentului cît și al purității compusului), se obțin cînd se folosesc solvenți aprotici cu punct de fierbere ridicat (de ex. tetralina sau decalina), care permit separarea la distilare întîi a izocianatului, evitîndu-se astfel încălzirile de lungă durată, care produc degradări ale acestuia.

Etapa cea mai dificil de controlat și care necesită o tehnică îngrijită, constă în degradarea termică a azidei, unde există pericolul producerii unor reacții violente. Din acest motiv s-a încercat o îmbunătățire, prin varianta Weinstock a metodei Curtius /201/, care separînd azida intermediară, ar permite o degradare controlată a acesteia. Rezultatele obținute nu au fost satisfăcătoare deoarece, se obține un amestec de cel puțin două azide, din care la degradare termică rezultă 2-cloretil izocianat impur și cu randamente mici.

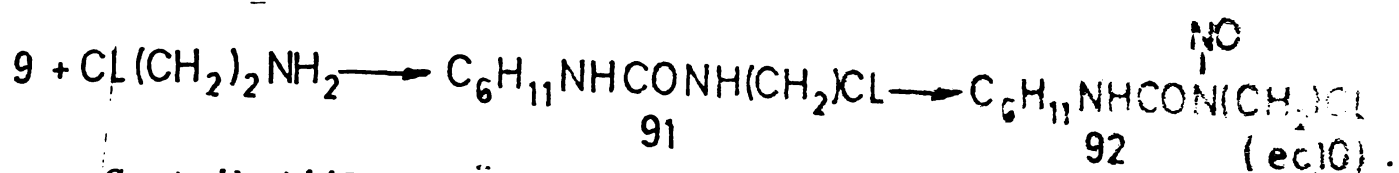
### XIII.7. Procedeu tehnologic de preparare a 1-(2-cloretil)-3-ciclohexil-1-nitrozoureii (CCNU, NIPAIKIN).

Obiectivele studiului întreprins în clasa 1-(2-cloretil)-nitrozo-ureelor au fost atât sinteza de noi compusi potențiali antileucemici, cît și valorificarea experienței obținute, în asimilarea unor compusi cu utilizare clinică. Ca urmare, s-a realizat, pe baza unui brevet original, un proces tehnologic de fabricație a CCNU și este în curs de asimilare un alt produs din această clasă și anume: MeCCNU /224,225/.

Procedeul de sinteză pentru obținerea CCNU, §2, a urmărit utilizarea unor materii prime accesibile, pe cît posibil indigene, în cadrul unor scheme care să permită realizarea, în condiții de laborator, a unor randamente bune.

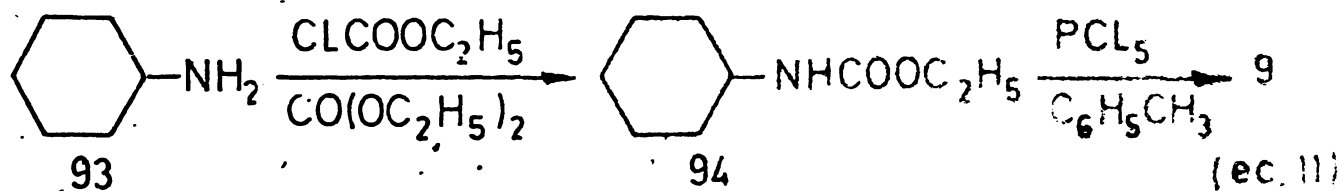
Schema generală de sinteză este, în general, aceeași cu cea cunoscută și constă în cuplarea ciclohexil izocianatului § cu 2-cloretil

amina și nitrozarea derivatului de uree rezultat, 91 (cu  $\text{NO}_2$  în număr 98-100%) (ec.10).



Contribuțiile originale aduse de noi la această sinteză se referă la: a) sinteza ciclohexil izocianatului; b) modificări ale reacției de cuplare; c) metodă nouă de purificare a produsului final.

a) ciclohexil izocianatul se obține conform procedeului brevetat de noi, în două etape: 1) sinteza ciclohexil uretanului, 94, din ciclohexil amină și cloroformiat (sau carbonat) de etil și 2) transformarea acestuia, 94, în produsul dorit, 9, prin tratare cu  $\text{PCl}_5$  (ec.11) /224/.

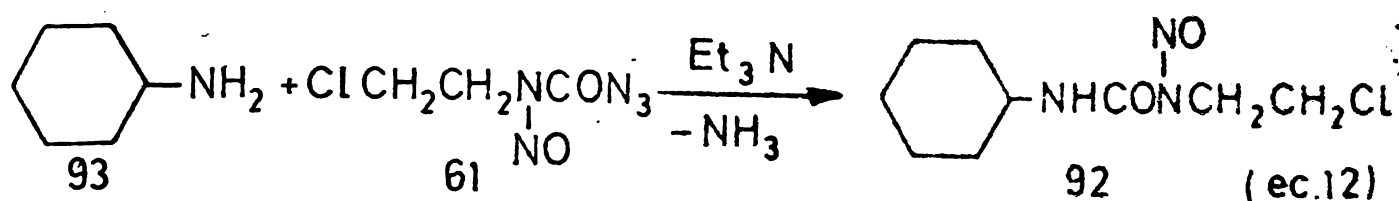


b) 1-(2-cloretil)-3-ciclohexil ureea, 91 se obține intr-o singură fază din ciclohexil izocianat, 2-cloretil amină și trietil amind. Izocianatul se adaugă în porțiuni, la rece ( $0-5^\circ$ ). Amestecul de reacție se lasă apoi la temperatura camerei pentru perfectare. Stadiul reacției se verifică spectrofotometric în ir urmărind dispariția benzii  $\nu_{\text{CO}} = 2270 \text{ cm}^{-1}$  (cap.XVIII.7.1.).

c) conform datelor de literatură purificarea produsului final se face prin reprecipitare din acid formic 98-100% /25/. Reușește, cu 98% o parte  $\text{HCOOH}$  98-100% este un produs de import, în acasă și chiar conținând se cantități mari fără posibilitate de recuperare, iar pe de altă parte urmele de acid înglobate în produsul final îl fac necorespunzător din punct de vedere biologic, fiind necesare prelucrări suplimentare pentru îndepărtarea acestuia, am căutat alte posibilități de purificare izomerici.

Rezultatele obținute fac obiectul unei recente cereri de brevet.

Tot cu privire la sinteza CCNU s-a brevetat și un al doilea procedeu, care constă în cuplarea 2-cloretil-nitrozo-carbamoil-azidei,61, cu ciclohexil amina, în prezență de trietil amindă, procedeu ce elimină etapa de purificare izomerică, din reacție rezultând exclusiv izomerul 1-nitrozo (ec.12) /225/. Așa cum am mai arătat (cap.XIII.3.2.) sinteza reactivului de nitrozare se realizează prin modificări ale procedeelor



din literatură, mai ales în ceea ce privește sinteza 2-cloretil-carbamoil-azidei.

Folosind aceste tehnologii îmbunătățite, produsul CCNU a fost asimilat la noi în țară, fiind realizat în cadrul laboratorului de Sinteze și Microproducție de Medicamente anticanceroase al Institutului Oncologic București.

#### XIV. Determinări de structură și proprietăți fizico-chimice

##### XIV.1. Caracterizarea în infra-roșu a noilor derivati de uree și nitrozouree.

Utilitatea informațiilor obținute din spectrele IR este de primă importanță pentru sinteza și studiul compusilor de N-nitrozouree, servind atât la urmărirea mersului unor reacții cât și la caracterizarea compusilor obținuți.

Deoarece, așa cum am văzut, literatura este destul de bogată în ceea ce privește interpretarea spectrelor IR ale ureelor și nitrozourelor (cap.XI.1.2. și XI.2.2), în capitolul de față nu s-a prezentat decât aspectele specifice compusilor abordăți, utilizate atât în monitorizarea reacțiilor de sinteză cât și în stabilirea structurii și purificării.

tății compușilor rezultați.

XIV.1.1. Utilizarea spectrometriei IR în monitorizarea reacțiilor.

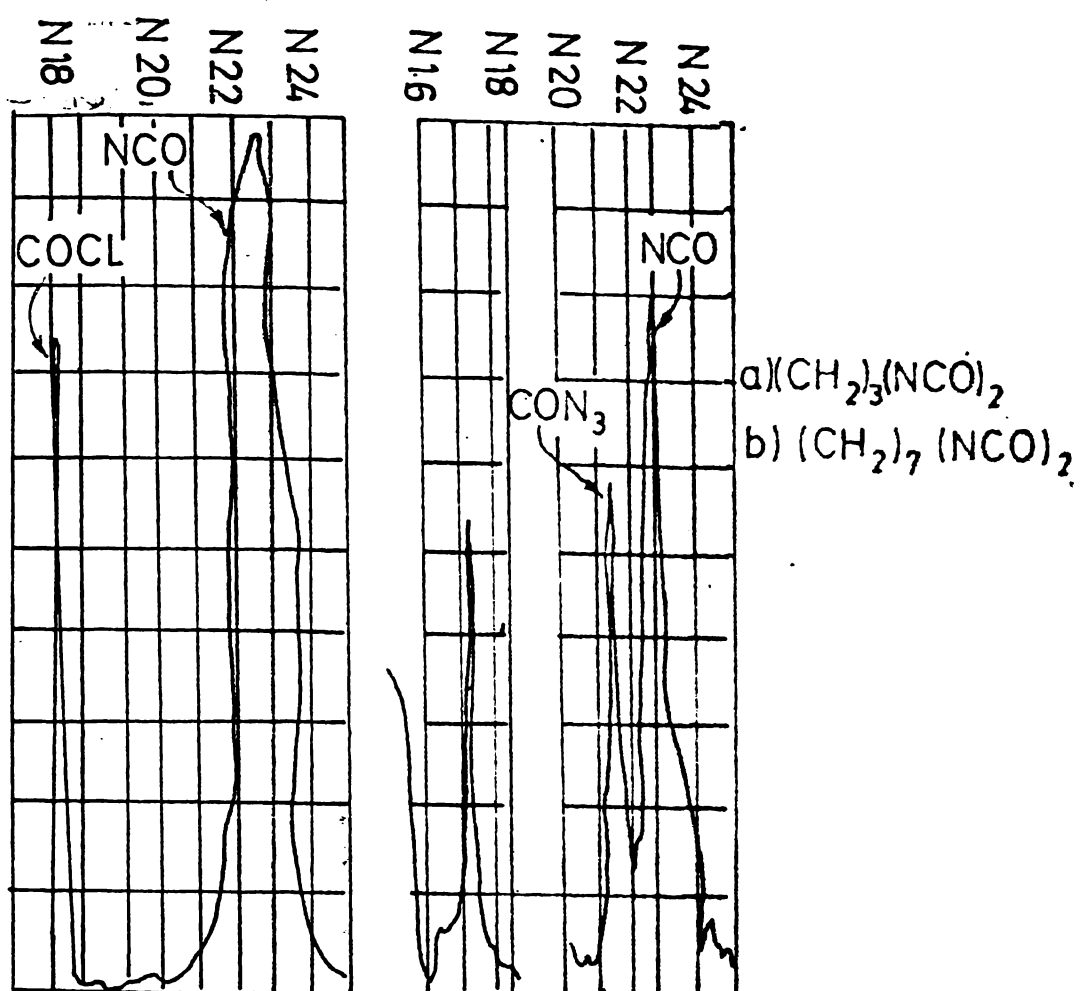
Spectrofotometria de infra-roșu a fost utilizată ca mijloc curent și comod în urmărirea mersului reacțiilor de obținere a izocianatilor, ureelor și nitrozoureelor și la sinteza 2-cloretil-nitroso-carbamoil azidei.

- Sinteza izocianatilor prin metoda Curtius, a fost urmărită prin dispariția benzilor  $\gamma_{COCl}$ ,  $\gamma_{N_3}$  de la  $1800$  și respectiv  $2150\text{ cm}^{-1}$  și apariția unei absorbții puternice, caracteristice vibrației de grup  $NCO$  de la  $2270\text{ cm}^{-1}$ . Despre importanța deosebită a aprecierii exacte a sfîrșitului acestei reacții s-a discutat anterior (cap.XIII.3.1.). Etapa cheie a acestei sinteze este, evident, formarea azidei, care se descompune relativ ușor în izocianatul corespunzător. Totuși, odată cu creșterea masei moleculare a azidelor, crește și stabilitatea lor termică, ceea ce necesită atât prelungirea timpului de reacție cât și ridicarea temperaturii. Astfel, în cazul clorurii acidului glutaric, 51 ( $n=3$ ), azida formată, 52 ( $n=3$ ) se descompune, în condițiile de reacție utilizate, practic instantaneu în izocianat, 53 ( $n=3$ ). De aceea, în diversele probe luate din mediul de reacție, înainte de definitivarea acesteia, se identifică numai clorură acidă și izocianat. Dimpotrivă, în cazul clorurilor acizilor pimelic, 51 ( $n=5$ ), azelaic, 51 ( $n=7$ ) și sebacic, 51 ( $n=8$ ), probele luate la diverse intervale de timp evidențiază, un timp, un amestec din cei trei compoziți (clorură acidă, azidă și izocianat) sau către sfîrșitul reacției un amestec de azidă și izocianat (fig.2).

Sinteza 1,5-ditiaspiro 5,5 -undecanil izocianatilor, 21(a-c), folosind varianta Weinstock a reacției Curtius, este urmărită în mod similar în IR. Se evidențiază astfel existența unei impurități la  $1700\text{cm}^{-1}$  (probabil acid nereacționat), care îngreunează mult purificarea derivatilor de uree.

- Sinteza 2-cloretil carbamoil azidei, 68 și nitroso azidei, 61.

Deoarece concentrația de acid azotnidric nu poate fi exact determinată,



minată, o parte pierzindu-se în timpul manipulărilor, controlul spectrofotometric al reacției de sinteză a 2-cloretil carbamoil azidei, 68, se poate realiza ușor urmărind dispariția benzii  $\text{NCO}$  din spectru. Dacă după timpul prestabilit de reacție se mai constată spectrofotometric existența izocianatului în mediul de reacție, se mai adaugă o cantitate de soluție de acid azothidric (eliminarea excesului final de  $\text{HN}_3$ , făcindu-se la vid fără încălzire).

In cazul reacției de nitrozare a 2-cloretil-carbamoil-azidei, 68, controlul spectrofotometric ir urmărește: a) definitivarea nitrozării, detectabilă datorită deplasării benzii  $\text{NCO}$  de la  $1650 \text{ cm}^{-1}$  la  $1710 \text{ cm}^{-1}$  și dispariția  $\text{NH}$  de la  $3400 \text{ cm}^{-1}$  și b) purificarea produsului, 61, de acid urmele de acetic și anhidridă acetică ( $\text{C}_2\text{O}_4$  acid  $1720$ ,  $\text{C}_2\text{O}_3$  anhidridă  $1825 \text{ cm}^{-1}$ ). Indepărtarea acestor impurități cu ajutorul schimbătorilor de ioni poate fi, de asemenea, ușor urmărită pe această cale.

- Sintiza derivatilor de uree. Deoarece de cele mai multe ori derivatii de uree sunt insolubili în mediul de reacție, reacția se con-

sideră terminată cînd, din spectrul ir al supernetantului, dispare absorbția caracteristică grupării NCO;

- sinteză nitrozourelor. Reacția de nitrozare este controlată spectrofotometric în ir prin deplasarea caracteristică, cu un  $\Delta\lambda = 100 \text{ cm}^{-1}$  a benzii amidă I, către frecvențe mai înalte.

Pozitia diferită a benzii amidă I din uree față de nitrozouree servește la determinarea definitivării reacției de nitrozare. Prezența unei absorbții (sub formă de umăr sau maxim slab) în regiunea  $1610-1630 \text{ cm}^{-1}$  este un indiciu al unei nitrozări incomplete (fig.1). Puritatea și structura izomerică, așa cum era de așteptat, nu poate fi determinată pe această cale.

#### 1.2. Absorbții în ir caracteristice compusilor noi sintetizați.

Spectrele ir obținute pentru noii derivați de uree și nitrozouree sintetizați în cadrul acestei lucrări, precum și atribuirile de benzi sunt concordante cu datele de literatură pentru acest tip de compuși.

Grupările funcționale din uree respectiv nitrozouree sunt evidențiate în ir prin următoarele absorbții :

- banda amidă I,  $\gamma_{\text{CO}}$ , se situează în derivațiile de uree în domeniul  $1600-1640 \text{ cm}^{-1}$ . Nitrozarea acestora produce o puternică denisare a acestei benzi la frecvențele  $1700-1735 \text{ cm}^{-1}$ . Așa cum era de așteptat la derivațiile aromatici de uree,  $\gamma_{\text{CO}}$  apare la frecvențe mai mari decît în derivațiile alifatici, dar mai scăzute decît în aril amide. În soluții banda amidă I atât din uree cât și din nitrozouree este usor deplasată la frecvențe mai mari.

- banda amidă II, apare în spectrul derivațiilor studiați în domeniul  $1535-1595 \text{ cm}^{-1}$ . Este mai puțin intensă decît banda amidă I și nu-și modifică semnificativ poziția după nitrozarea derivațiilor de uree. În soluții suferă o deplasare slabă spre frecvențe mai mici.

- banda  $\gamma_{\text{NH}}$ . În spectrul derivațiilor de uree apar de obicei două absorbții în regiunea vibrățiilor de valență NH  $3300-3400 \text{ cm}^{-1}$ .

In N-nitrozouree apare, de obicei, o singură absorbție în această regiune.

~~bandă~~  $\nu_{N-NO}$ , este o bandă de intensitate medie care apare în spectrul nitrozoureelor în regiunea  $1460-1505 \text{ cm}^{-1}$ .

In cap.XVII sunt caracterizați, din acest punct de vedere, principaliii compuși noi sintetizați (derivați de uree și nitrozouree).

#### XIV.2. Caracterizarea în RMN a noilor derivati de uree și nitrozouree.

Datele obținute din spectrele RMN ale ureelor și nitrozoureelor, permit elucidarea a două categorii importante de probleme privind structura compușilor sintetizați și studiați în această lucrare, și anume :

a) natura izomerului rezultat în cursul nitrozării ureelor precursori. Rezonanța magnetică nucleară permite o discriminare clară între cele două tipuri de izomeri (1 sau 3), chiar și în cazul în care situația este complicată de posibilități suplimentare de nitrozare, cum este de pildă, cazul derivatilor de triacetonamină (12);

b) structura și eventual conformația restului R de care este legată gruparea N-nitrozouree, obținându-se de fapt, confirmări ale structurilor propuse pentru acești radicali.

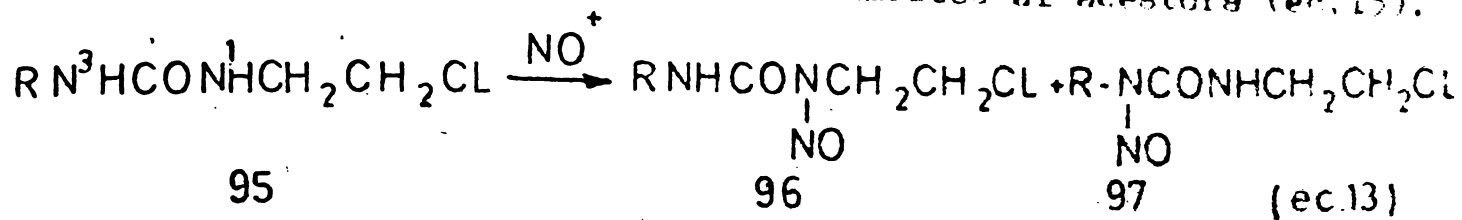
##### XIV.2.1. Studiul izomeriei 1-3 a N-nitrozoureelor.

In general semnalele RMN ale 2-cloretil-ureelor ar trebui să se prezinte sub forma unor spectre  $A_2B_2X$ . /26/ Practic însă datorită caracteristicilor protonilor grupării 2-cloretil, ele se prezintă ca pseudo-singlete centrate în jurul valorii  $\delta = 3,54 \pm 0,05 \text{ ppm}$ . Această valoare poate fi dedusă din deplasarea chimică obținută pentru protonii ureelor cuprinse în tabelul 17.

- tabel 17 -

La nitrozarea 2-cloretilureelor, 95, stacul electrofil al grupării  $NO^+$  se produce, în funcție de caracteristicile sterice sau electropozitive ale atomilor de azot din moleculă, fie la N1 fie la N3, obținându-se

nitrozo izomerii corespunzători sau un amestec al acestora (ec. 13).



Tabel 17

Deplasările chimice ale protonilor grupării  $\text{ClCH}_2\text{CH}_2$

în 2-cloretiluree



R	$\delta$ (ppm)
$\text{C}_6\text{H}_5$	3,68 - 3,75
$\text{C}_6\text{H}_{11}$	3,56
$\text{N}_3\text{CO}-$	3,40 - 3,55
	3,58 - 3,60
	3,54

Teoretic, spectrele RMN ale celor două tipuri de izomeri sunt ușor de deosebit, deoarece în cazul compusilor 96 (izomeri 1-NO) ar trebui să se obțină spectre de tip  $A_2B_2$  caracteristice, constituite din două triplete ( $\Delta\gamma/J > 10$ ), pe cind în cazul derivatilor 97 (izomeri 3-NO) ar trebui să se obțină pseudosinglete de tipul celor care se obțin în cazul ureelor precursoroare, eventual ușor deplasate. Totuși, acest argument teoretic nu este concluziv deoarece, pe de o parte trebuie menționat că și în cazul azotiperitelor aromatică sau de tip uretanic, 98, unde de asemenea ar trebui să rezulte spectre  $A_2B_2$ , se obțin practic spectre reprezentate prin pseudosinglete (centrate în cazul steroizilor purtători de azotiperite de tip uretanic, în jurul valorii  $\delta = 3,74 - 3,98 \text{ ppm}/\text{BH},$  deci la cimpuri ceva mai joase) /226/, iar pe de altă parte în unele

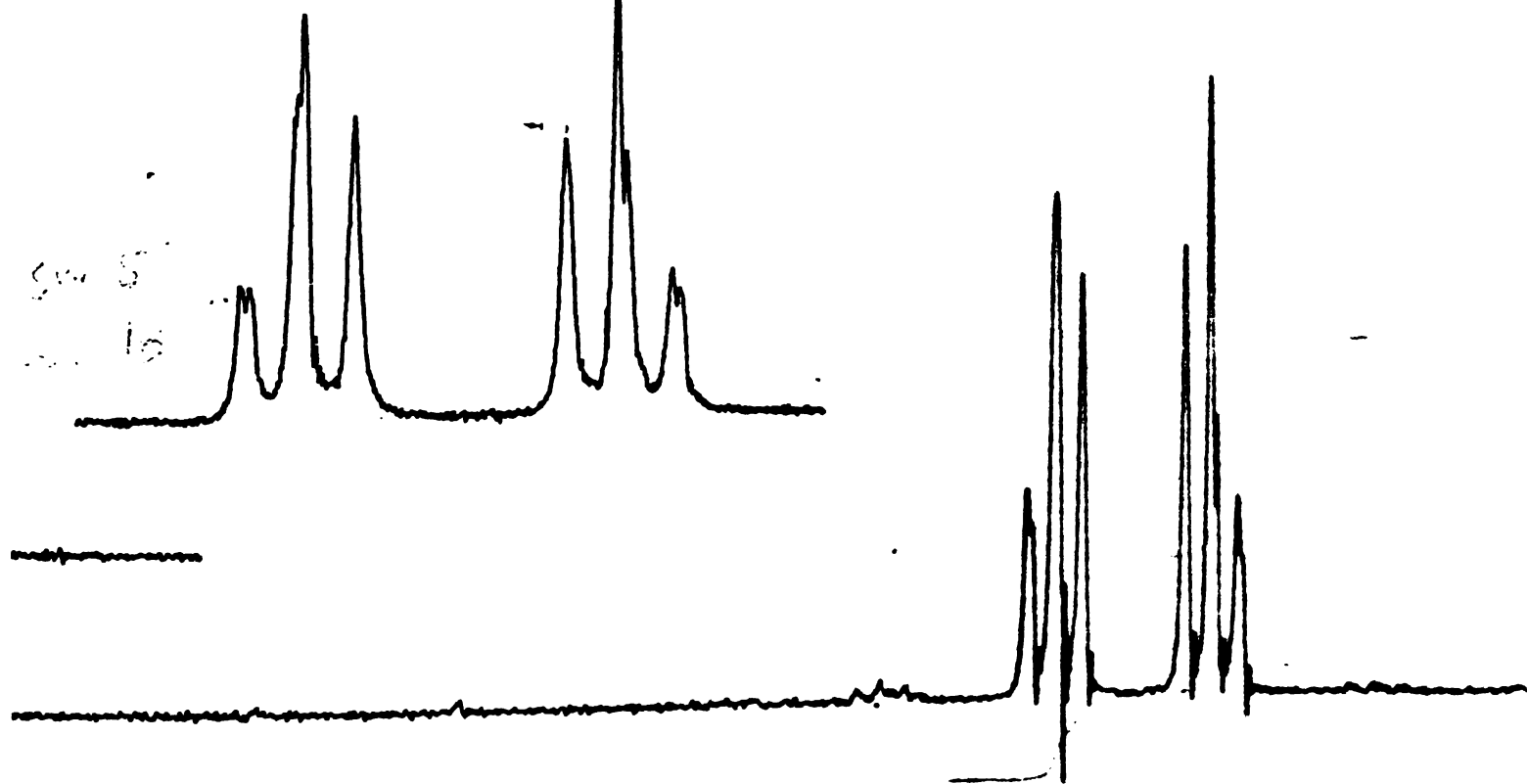
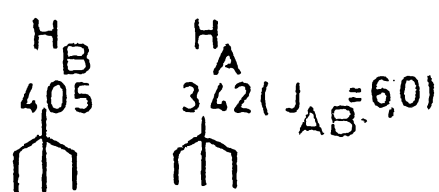
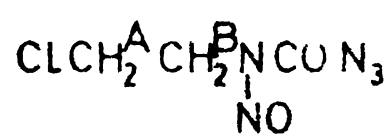
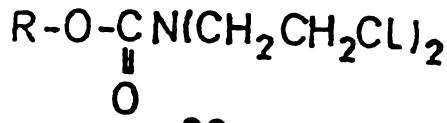
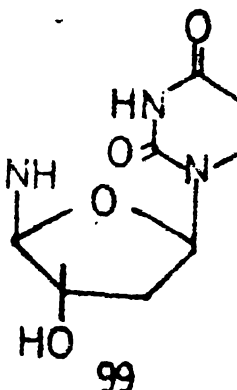
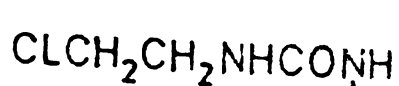


Fig 3:

cazuri, de ex. 2-cloretil ureele, derivați de timidină, 99, prezintă doi multipleti  $\delta = 3,57$  (m, 2H,  $\text{CH}_2\text{N}$ ) și  $3,26$  (m, 2H,  $\text{CH}_2\text{Cl}$ ) /56/.



98



99

Din analiza datelor obținute de noi în cazul derivaților noi sintetizați - date summarizate în tabelul 18, coroborate și comparate cu cele din literatură, rezultă că :

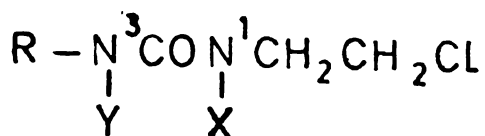
- tabel 18 -

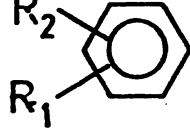
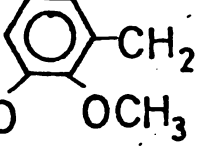
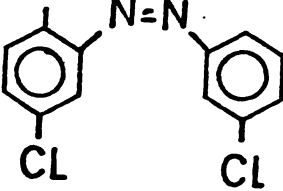
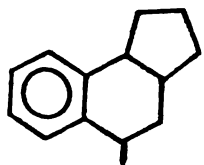
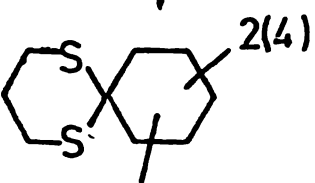
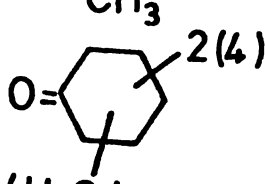
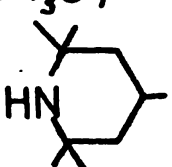
a) În cazul izomerilor 1-NO, 96, se obțin într-adevăr două triplete caracteisticice unui spectru  $A_2B_2$  /26/. Acest fapt apare clar atât în spectrul 2-cloretil-nitrozo carbamoil azidei, 61 (fig.3), unde nu există posibilitate de izomerie 1-3 ( $\text{ClCH}_2$ , 3,42, t, 2H;  $\text{CH}_2\text{N}(\text{NO})$ , 4,05, t, 2H,  $J=6.0$  Hz) cît și în cazul derivaților 6(a,b) care sunt în mod neechivoc izomeri 1-NO, fiind obținuți prin tratarea diaminelor respective cu reactivul 61.

In ceea ce privește atribuirea celor două triplete protonilor aparținând celor două grupări metilen din restul 2-cloretil, datele de literatură sunt contradictorii. Astfel, Imbach /36/ atribuie tripletul de la cimpuri mai joase protonilor grupării metilen adiacență halogenului, pe cind Johnston îl atribuie grupării metilenice legată la N(NO) /195/. Logic, tripletul situat la cimpuri mai joase (4,05-4,27 ppm) trebuie atribuit protonilor adiacenți grupării N(NO), deoarece scindarea pseudosingletului din ureidă ( $\delta = 3,54$  ppm) în două triplete, apare consecutiv nitrozării la atomul de azot N1 al acesteia. Precizăm că în derivații de 2-cloretil uree, conform datelor noastre cît și a celor din literatură, deplasările chimice ale protonilor celor două grupări metilenice din restul 2-cloretil amino se suprapun. Această rea-

Tabel 13

Deplasările chimice ale protonilor grupării  $\text{ClCH}_2\text{CH}_2$  în noi derivati de 2-cloretil nitrozouree sintetizate.



R	X	Y	$\text{ClCH}_2$	$\text{CH}_2-\text{N}^{\text{1}}$	J (Hz)
$(\text{CH}_2)_n$ n=2 - 8	H	NO		3,74 - 3,78	-
$(\text{CH}_2)_n$ n=7,8	NO	H	3,43	4,12	-
					
$\text{R}_1 = \text{NHCON}(\text{NO})\text{CH}_2\text{CH}_2\text{Cl}, \text{ NO}$ $\text{COOCH}_3$	H		3,56-3,60	4,15-4,20	6,0
$\text{R}_2 = 4(6)\text{CH}_3$					
	NO	H	3,50-3,56	4,20-4,27	6,0
	NO	H	3,50	3,42	10,0
	NO	H	3,53	4,20	6,0
	NO	H	3,50	4,20	-
	NO	H	3,48	4,22	6,0
	NO	H	3,42	4,12	6,0

nament nă constituie însă un argument absolut, deoarece pot avea loc inversări. Totuși se pot aduce argumente suplimentare în acest sens, și anume :

- poziția benzii corespunzătoare protonilor de la C<sub>1</sub> (fig. 4) se

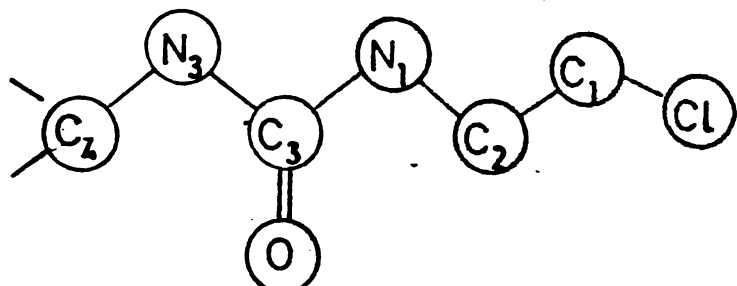
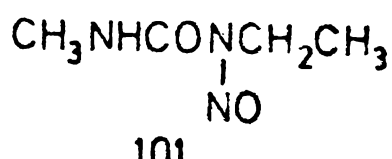
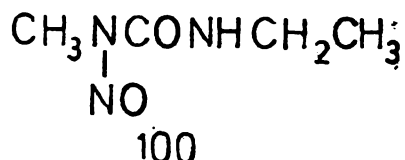


Fig. 4

situază, conform calculelor de deplasare chimică la  $\delta = 3,47$  în  $\text{ClCH}_2\text{CH}_3$ . În cazul protonilor de la C<sub>2</sub>, adiacenți atomului de azot N<sub>1</sub>, această bandă



se situează la  $\delta = 3,53$  în compusul 100 /65/. Rezultă deci că practic în cazul derivaților de uree discutați, aceste benzi se suprapun în mod întâmplător, ducând la efectul descris. La nitrozouree banda corespunzătoare protonilor de la C<sub>2</sub> suferă o deplasare, datorită efectului inductiv al grupării NO asupra atomului N<sub>1</sub>. Astfel în compusul 101 această bandă poate fi identificată fără echivoc la  $\delta = 3,89$  spărind sub forma unui quartet caracteristic, pe cind cea corespunzătoare protonilor grupării metil suferă o deplasare către cimpuri mai finale ( $\delta = 1,29$  ppm în ureidă,  $\delta = 1,03$  în nitrozouree) /65/.

Rezultă deci că prin nitrozare, banda protonilor de la C<sub>1</sub> se deplasează către cimpuri mai finale, pe cind cea corespunzătoare protonilor de la C<sub>2</sub> suferă o deplasare contrară. Aceasta corespunde interpretării lui Johnston /195/.

- în cazul compusului 13, banda atribuibilă protonilor de la C<sub>1</sub> poate fi de asemenea recunoscută fără echivoc, deoarece datorită protonului grupării OH adiacente, aceasta se prezintă ca un quartet situat la  $\delta = 3,60$  ppm,  $J = 6,0$  Hz quartet ce se transformă în triplet în cazul

tratării cu  $D_2O$  (fig.5,a,b).

b) în cazul izomerilor 3-NO, 97, care ar trebui să dea un spectru  $A_2B_2X$ , se obține un pseudosinglet, centrat în jurul valorii  $\delta = 3,74 - 3,78$  ppm. Această atribuire se poate face analizând spectrul SCN<sub>J</sub> care ne dă o imagine fidelă a ambelor situații. Față de ureidă absorbția protonelor grupării 2-cloretil suferă o deplasare către cimpuri mai joase ca 0,22-0,24 ppm.

O complicație suplimentară intervine în cazul compusilor 5, în care atribuirea poziției grupării nitroză este mai dificilă. Totuși există argumente ce permit atribuirea cu destulă certitudine a poziției 3-NO în acest caz și anume :

- împiedicarea sterică a nitrozării în poziția adiacentă ciclului ciclohexanic ;
- obținerea unui dublet pentru semnalul N-H ( $\delta = 6,74 - 6,80, s, 1H, J = 7,0$  Hz). Acest fapt nu concordă cu poziția grupării NO la  $N_1$ , deoarece în acest caz ar trebui să rezulte un triplet, ce apare de obicei ca o bandă largă. În cazul izomerilor 1-NO ai derivatilor alifatici, 6, semnalul corespunzător apare la  $\delta = 6,74-6,80$  pe cind în izomerii 3-NO, 4, acesta este larg și situat la  $\delta = 7,30 - 7,60$  ppm.

Trebuie menționat faptul că prin nitrozarea randomă a derivatilor de uree 55 și 56 se pot forma, teoretic, atât izomeri 1 și 3-NO cât și amestecuri complexe ale acestora. Practic din analiza compusilor sintetizați în cadrul acestei lucrări reiese că, în raport cu procedeul de lucru, rezultă doar unul dintre izomerii posibili, fapt confirmat de datele de RMN discutate în capitolul de față.

În cazul în care halogenul grupării 2-cloretil este substituit cu o funcțiune hidroxi, ca în compusul 13, desi elura generală a spectrului nu se modifică considerabil, apar cîteva aspecte caracteristice și anume:  $CH_2-N$ ,  $\delta = 4,09, t$  și  $CH_2-O$ ,  $\delta = 3,50, q, J_{DP} = 6$  Hz, precum și un

triplet suplimentar ( $\delta = 2,91$ ,  $J_{FG} = 6\text{Hz}$ , atribuibil protonului legat de oxigen, deoarece la deuterare acesta dispare, împreună cu semnalul atribuibil protonului legat de atomul de azot adiacent ciclului ( $\delta = 7,0$ ,  $J_{AB} = 6,0 \text{ Hz}$ ) (fig.5a,b).)

În sfîrșit, în cazul compusului 38a nitrozarea în poziția 1 se poate pune în evidență ușor deoarece în acest caz semnalul dat de protonul grupei metil, care în ureidă se prezintă ca un dublet ( $\delta = 2,83, d$ ,  $J = 4,2 \text{ Hz}$ , lit.  $\delta = 2,62 - 3,78, d, J = 5,0 \text{ Hz}$  /65/) se transformă într-un singlet bine definit situat la cîmpuri mai joase ( $\delta = 3,13, s$ , lit.3,20 /65/).

Trebuie semnalat faptul că, spre deosebire de mono sau bis ureele discutate anterior, nitrozarea derivaților de triaceton-amină (12) poate duce, datorită existenței unui al treilea centru bazic, la amestecuri de mono și dinitrozo derivați (schema 3). Dacă nitrozarea la  $N_3$  este împiedicată steric (similar derivaților de diclohexan) totuși atomul de azot din ciclu poate suferi atacul electrofil al cationului  $\text{NO}^+$ . Această posibilitate complică atribuirile structurale din această serie, deoarece spectrele RMN nu mai sunt concludente pentru deosebirea compusului 38 de 40 (schema 3).

În ceea ce privește poziția, axială sau ecuatorială, a grupării ureidice pe inelul ciclohexanic sau respectiv N-nitrozoureidice, din datele de literatură, privind studiul configurației acestui tip de molecule prin difracție de raze X, rezultă că în "CCNU" ea ocupă o poziție ecatorială. Aceasta concordă cu deplasarea chimică a protonului H găsit la  $\delta = 4,00 - 4,35 \text{ ppm}$ .

#### XIV.2.2. Structura resturilor legate de funcțiunea N-nitrozo-uree.

1. În cazul derivaților aromatici, aceştia apar în limitele normale, avînd, în funcție de gradul de substituire al nucleului, aspecte-

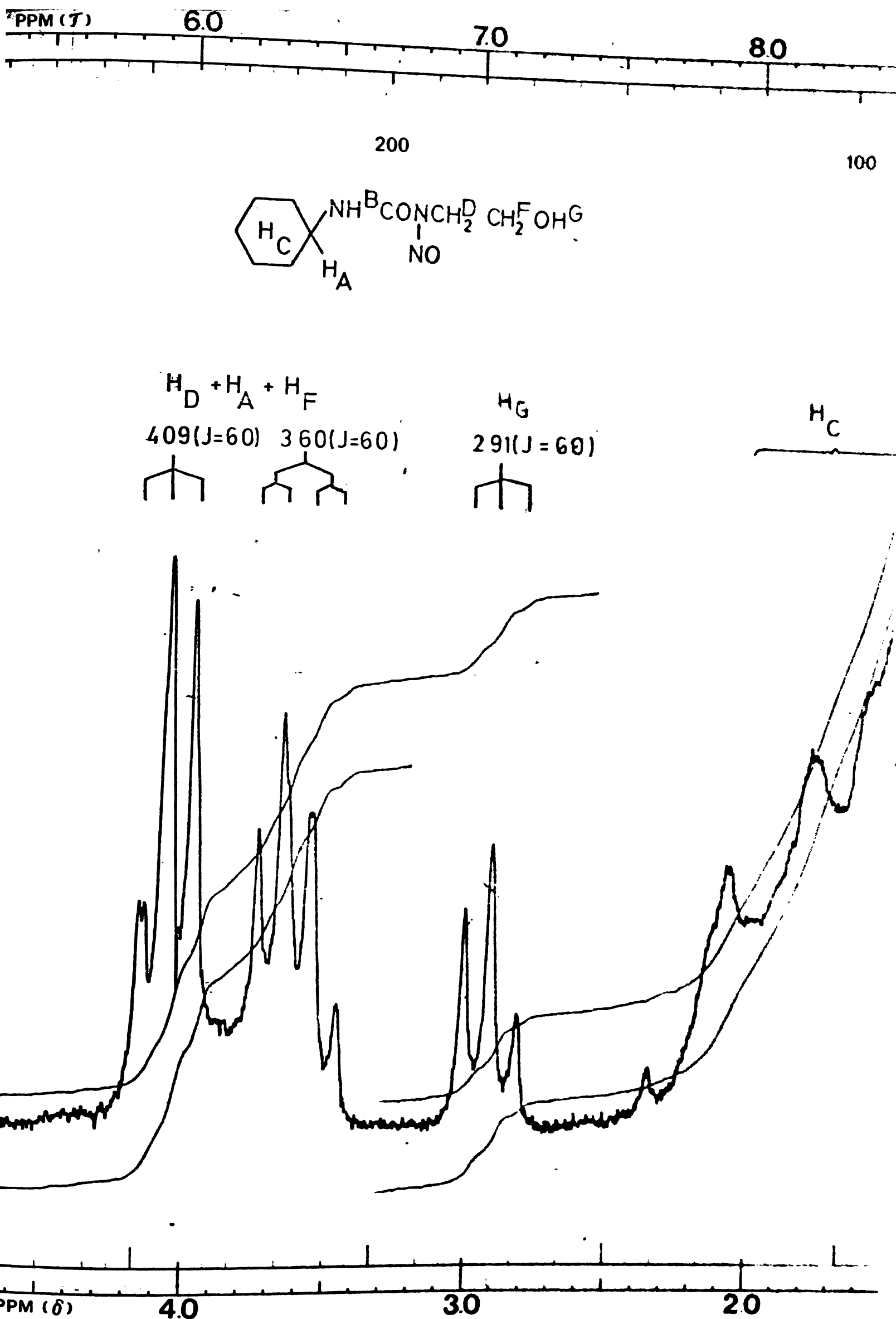


Fig 5a

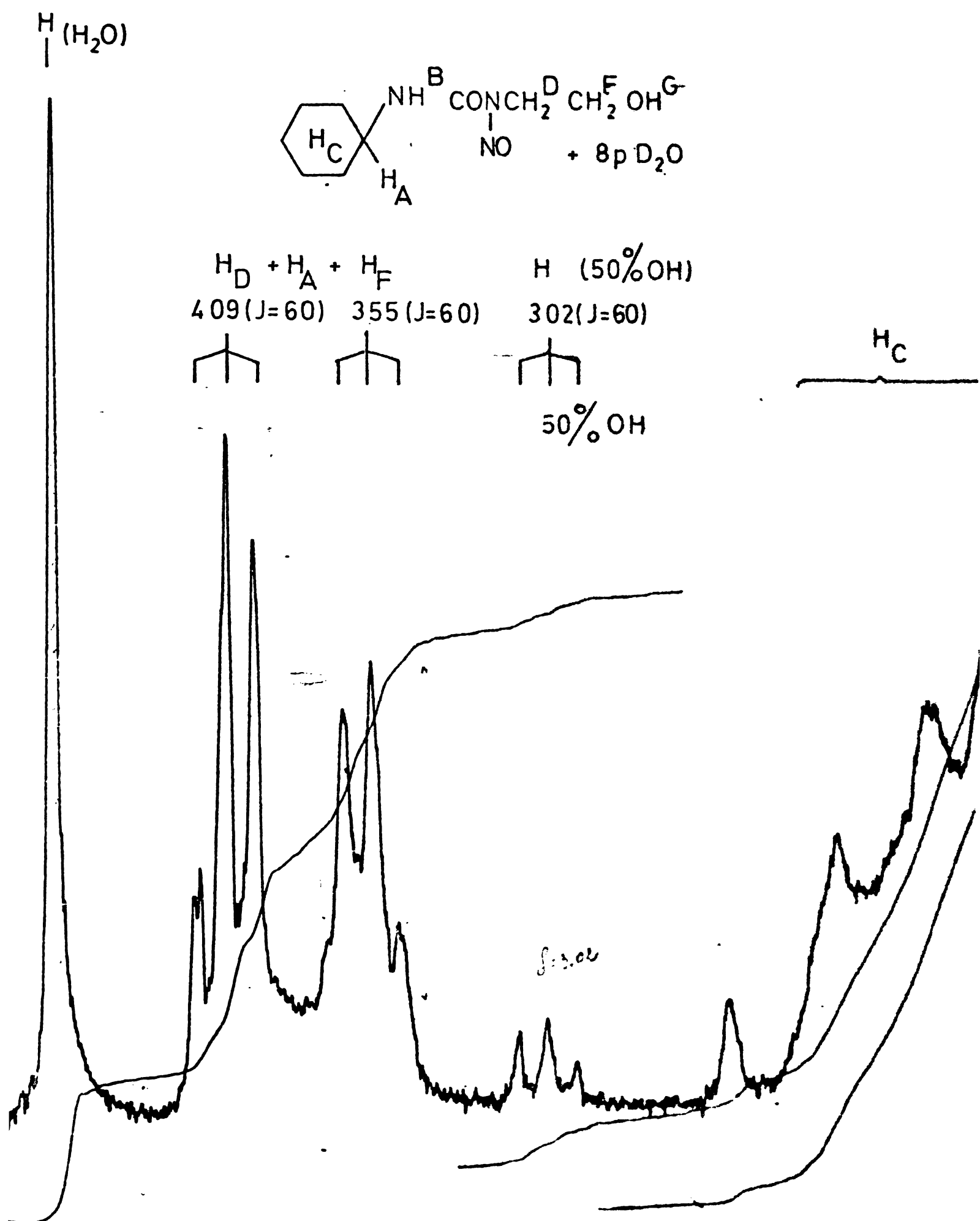


Fig 5b

le caracteristice în concordanță cu datele de literatură.

2. În cazul derivatilor alifatici, 4 și 5 se remarcă apariția a două grupuri de benzi și anume: (tabel 19)

- benzile protonilor de tip A, adiacenți funcției N-NO, situație la  $\delta = 3,92$  în compușii 4 și respectiv  $\delta = 3,73 - 3,90$  ppm în compușii 5, sub formă unor multiple nerezolvate;

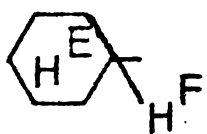
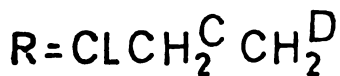
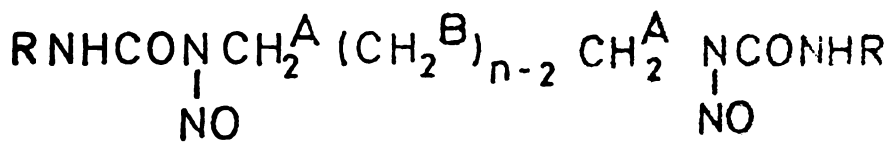
- benzile protonilor de tip B, la  $\delta = 1,25 - 1,55$  în compușii 4 și  $\delta = 1,27 - 2,11$  în compușii 5, ce apar de asemenea ca multiple nerezolvate.

Benzile caracteristice protonilor ciclohexanici, în compușii 5 apar în regiunea 1,27-2,11. Protonul  $H_F$  apare ca un multiplet în regiunea 3,84, ceea ce sugerează un proton de tip axial (tabel 19).

Tabel 19

Analiza spectrelor RMN ale derivatelor de bis-nitroxozuree

alifatici și cicloalifatici (4 și 5)



Deplasare chimică $\delta$ (ppm) <sup>a</sup>	Compușii	
	4	5
$H^{\text{A}}$	3,92 <sup>b</sup> (4H)	3,73 - 3,90 <sup>c</sup> (4H)
$H^{\text{B}}$	1,25-1,55 (4-12H)	suprapusî peste semnalele protonilor $H^{\text{E}}$ și $H^{\text{F}}$ <sup>d</sup>
$H^{\text{C}}, H^{\text{D}}$	3,74 - 3,78 (8H)	-
$H^{\text{E}}$	-	1,27 - 2,11 (22H) <sup>e</sup>
$H^{\text{F}}$	-	3,84 (2H)
$N-\text{H}$	7,30 - 7,60 (2H)	6,74-6,80(2H, J <sub>HF</sub> = 7,0 Hz)

a) semnal intern TMS; solvent  $\text{CDCl}_3$ ; b) determinat în compusul 5b; c) determinat în compusul 4; d) în ceilalți derivati de acest tip ( $n=3-3$ ) absorbiile apar în domeniul protonilor  $H^{\text{C}}$  și  $H^{\text{D}}$ ; e) în compusul 5b ( $n=2$ ) banda apare ca un singlet, în 5b ( $n=3$ ) ca un triplet ( $J_{\text{AB}} = 7,0$  Hz) și în compusii cu  $n > 3$  ca un multiplet; f) absorbiția este în domeniul protonilor  $H^{\text{E}}$  probabil 1,27-1,30(m, 2-12H); g) picul corespunzător protonului  $H^{\text{F}}$  se suprapune peste cele două de protonii  $H^{\text{A}}$ .

3. În cazul derivaților de triaceton-amină există relativ puține date în literatură privind spectrele de RMN /209,227,228/. Se pot deosebi două situații :

a) atunci când în poziția 4 avem o dublă legătură (ex. 102-105 fig. 6). În această situație toate cele patru grupări metil sunt practic echivalente, apărând la  $\delta = 1,20$  ppm, cu excepția compusului 105, unde acilarea la atomul de azot din ciclu determină o depresare a acestora către cimpuri mai joase ( $\delta = 1,40$  ppm).

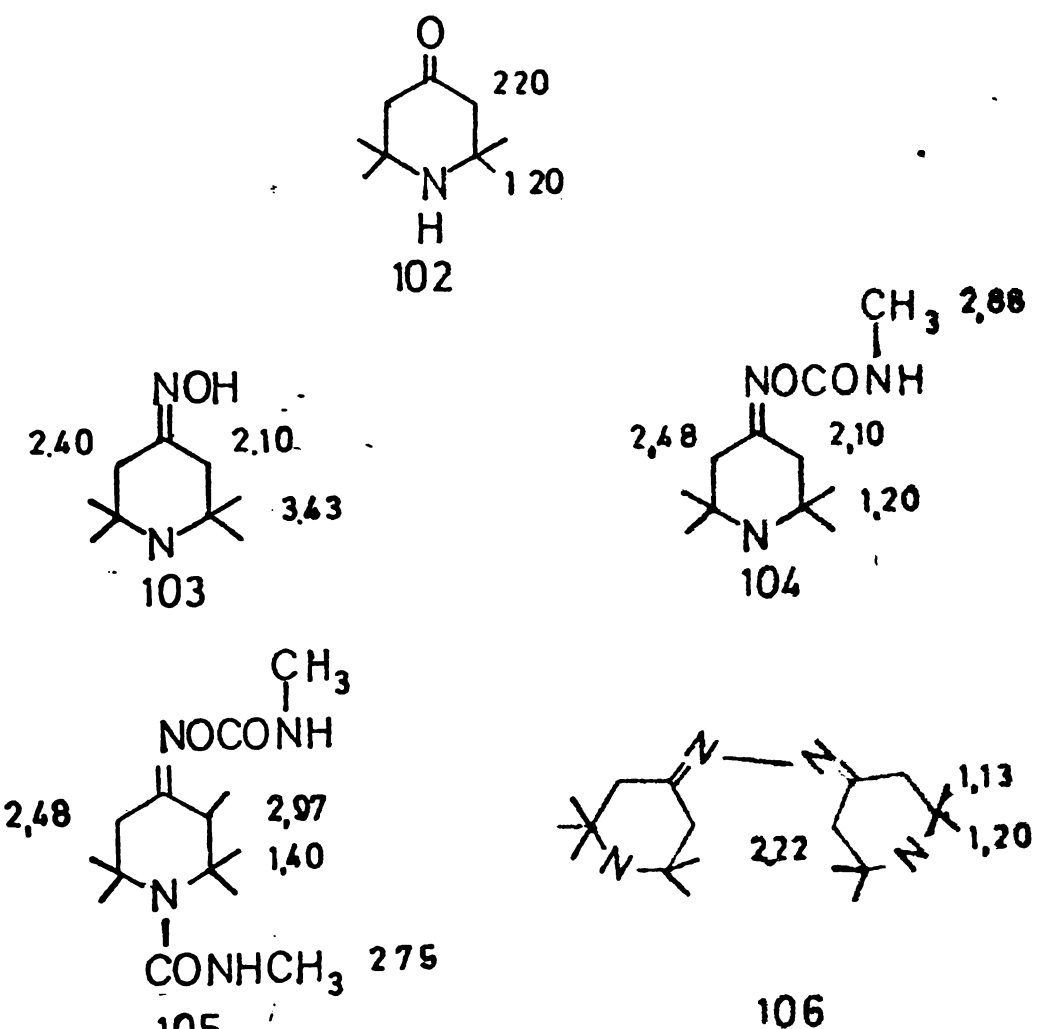


Fig 6 Deplasari chimice ( $\delta$ , ppm) în 2,2,6,6-tetrametilpiperidin-4-onă și derivați cu dublă legătură în poziția 4.

Cele două grupări metilenice din pozițiile 3 și 5, care în cetonă, 102, apar sub formă unui singlet la  $\delta = 2,20$  ppm, sunt scindate în două singlete distincte în moleculele în care apar neîmetrii de substituire a dublei legături ca de ex. în oxima 105 (vezi fig.6). Aceste atribuiri concordă cu datele de literatură găsite de exemplu pentru structura 106 (fig.6), cu mențiunea că aici grupările metil apar nenechivalente, pro-

babil din cauza interacțiunii între cele două cicluri hexanice.

b) În cazul derivatilor 4-substituiți, fără dublă legătură în această poziție, situația devine mai complicată. Este probabil că, cum rezultă din studiul spectrelor RMN de C<sup>13</sup>, ciclul de 6 atomi are forma unui scaun deformat. Această interpretare este menționată în literatură pentru 1-2,2,6,6-piperidinil-4-oxidului 106, fig.7 /209/. Existența unei astfel de conformații (construită cu ajutorul modelelor dreidling pentru compușii noștri) face spectrele RMN mai greu de interpretat, în special datorită neechivalenței protonilor metilenici din 3 și 5, ce apar ca doi dubleti. Literatura atribuie acestor protoni, în cazul 1-2,2,6,6-tetrametil piperidinil-4-oxidului, benzile ce apar la  $\delta = 1,83$  ( $J = 3,6$  Hz) și  $\delta = 2,03$  ( $J = 3,6$  Hz). De asemenea nici cele patru grupări metil nu sunt echivalente ( $\delta 1,13$  și  $1,20$ ). În 2,2,6,6-tetrametil piperidinil-4-amina (104, fig.7) structura spectrului este asemănătoare apărind două dublete la  $\delta 1,74$  și  $1,86$  ( $J = 4,2$  Hz) iar deplasările chimice ale grupărilor metil apar la  $\delta 1,07$  și  $1,17$ . Aceste caracteristici se mențin în toată seria de compusi. Trebuie menționat totuși că atribuirea protonilor grupărilor metilen din pozițiile 3 și 5 nu sunt absolut sigure, decarece conform integralelor, una din aceste grupe poate apărea cu un quartet la  $1,84$  ppm, cealaltă fiind acoperită de semnalul grupărilor metil. În acest caz are loc o primă scindare datorită cuplajului cu protonul din poziția 4 ( $J = 12,0$  Hz) și apoi o a doua datorită neechivalenței celor doi protoni geminali (cuplaj geminal  $J = 4,8$  Hz). În derivatii 105, 110, situația este similară (fig.7).

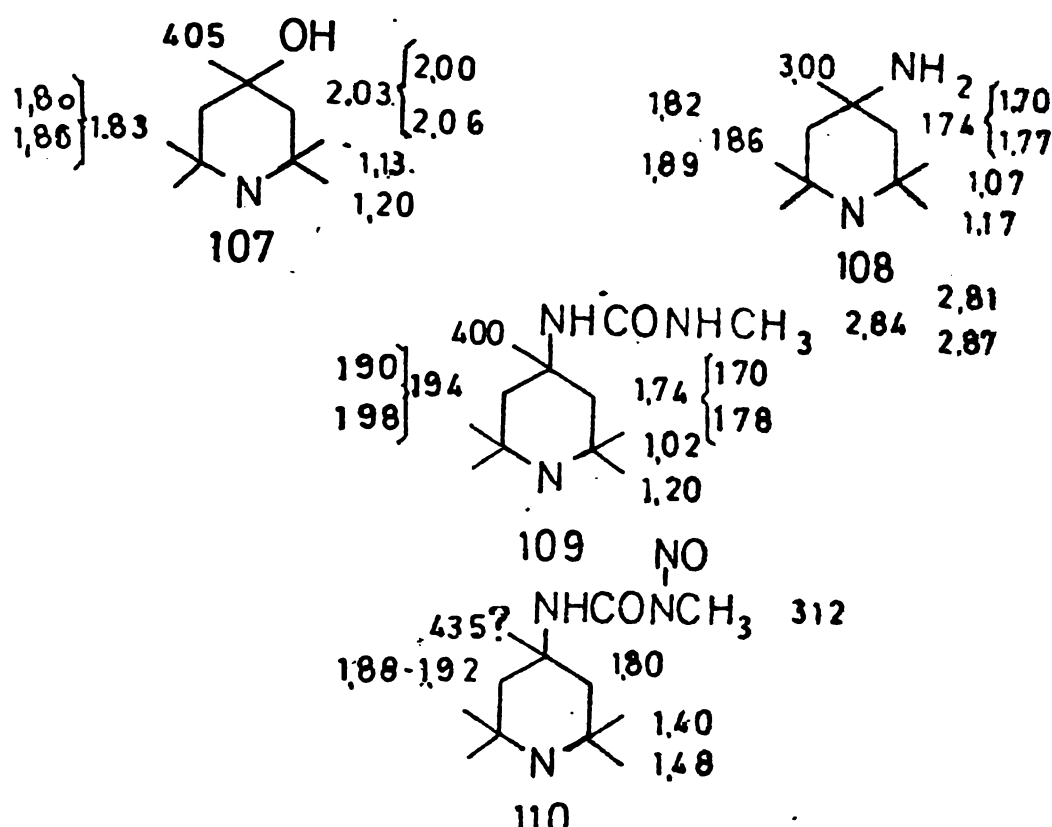


Fig 7 Deplasări chimice ( $\delta$ , ppm) în 2,2,6,6-tetrametilpiperidin-4-ol și derivați.

#### XIV.3. Elemente caracteristice ale spectrelor de masă ale nitrozoureelor.

In literatura de specialitate studiul 1-(2-cloretil)-1-nitrozo-ureelor cu ajutorul spectrometriei de masă, este abordat mai ales pentru determinarea naturii produsilor lor de metabolizare in vitro sau in vivo. Deși studii exhaustive, care să evidențieze modul și mecanismele de ruptare, în vederea unor atribuirile structurale, nu s-au întreprins, datele de literatură de care dispunem evidențiază următoarele : /57-60, 65, 76/

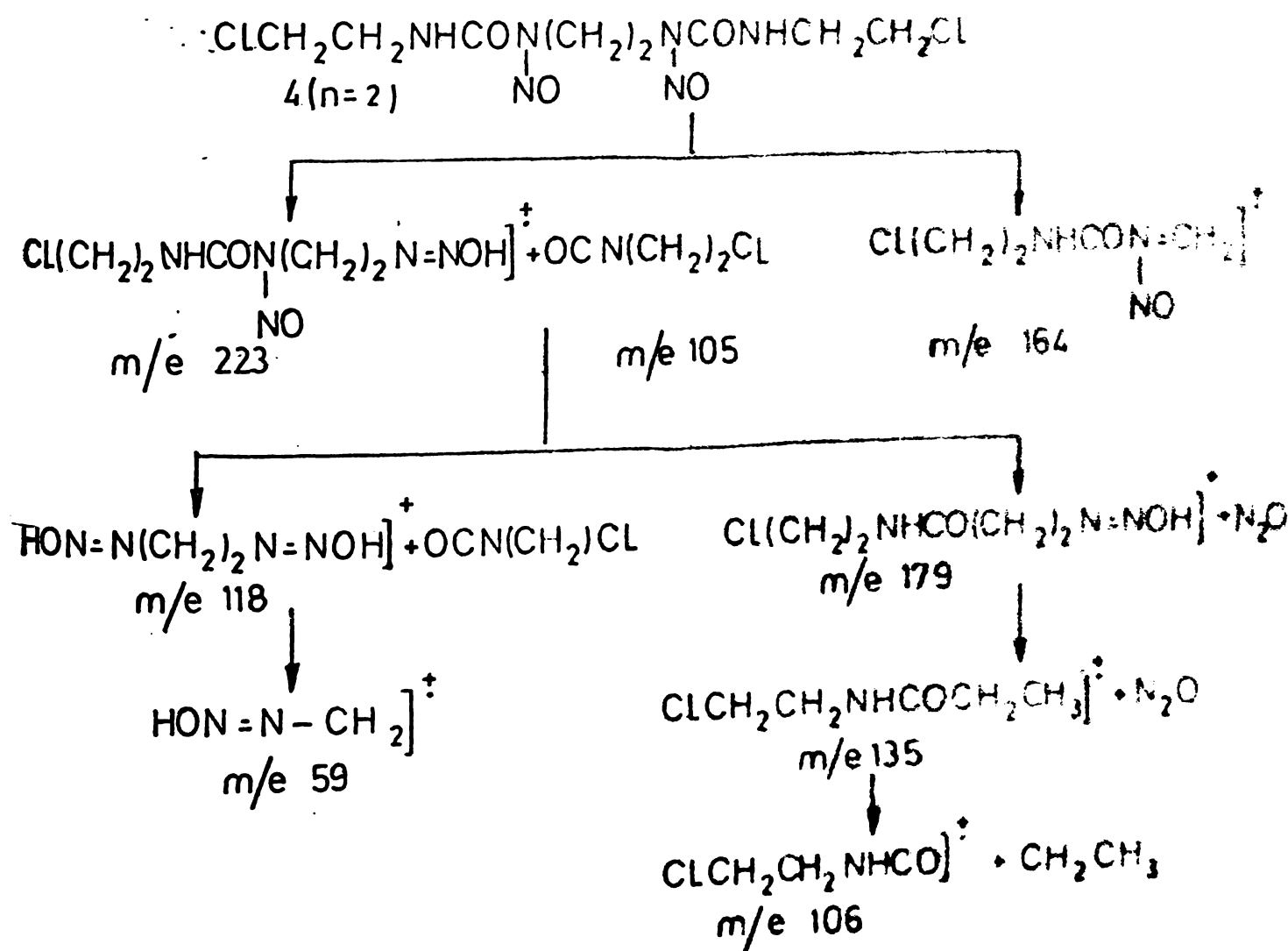
- picurile de masă sunt relativ slabe și de mică utilitate în cazul acestor compuși;

- izomerii 1-(2-cloretil)-1-nitrozo sunt caracterizați prin picul  $M^+ - ClCH_2CH_2N = NOH$ ;
- izomerii 1-(2-cloretil)-3-nitrozo sunt caracterizați prin pi-

curile  $M-\text{ClCH}_2\text{CH}_2^+$ ,  $M-\text{ClCH}_2\text{CH}_2\text{NHCO+H}^+$  și  $M-\text{ClCH}_2\text{CH}_2\text{NHCO+H-Cl}^+$ .

In cadrul lucrării de față s-au efectuat și analize spectrale de masă, pentru unii dintre compusii studiați în vederea aducerii unei probe suplimentare în favoarea atribuirilor structurale fizice. Datele obținute confirmă structurile propuse, evidențiindu-se următoarele:

a) deoarece în cazul derivatilor alifatici de bis 1-(2-cloretii)-3-nitrozouree, 4, obținerea izomerilor 3-nitrozo prin nitrozare directă a ureelor precursoare este mai mult sau mai puțin surprinzătoare, să se consideră necesară efectuarea spectrelor de masă, cel puțin pentru că nu reprezentanți, ca o dovedă suplimentară care să susțină atribuirile structurale. Rezultatele obținute în cazul compusilor 4 ( $n=2-4$ ) sunt consistente cu structura propusă. Nu se obțin ioni moleculari și nici un fragment care să conțină ambii ioni de clor. Principalele fragmente se obțin prin transpoziție McLafferty ( $m/e$  223, 118), scindare cu elix sau



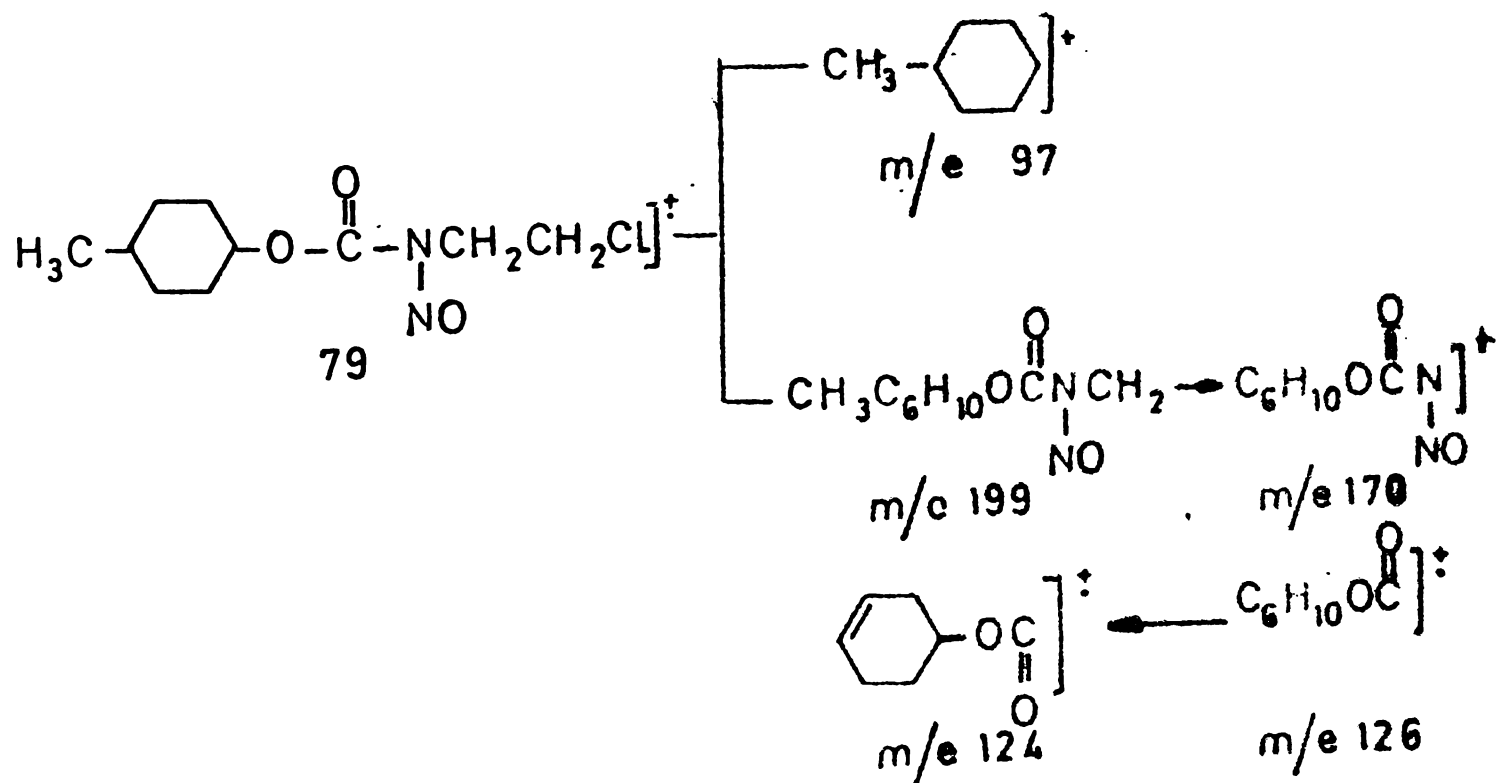
Schema 7

de 44 unități ( $N_2O$ ) și alipirea extremelor ( $m/e$  179, 135) sau fragmentare simplă ( $m/e$  164, 106, 59). Pentru ambi compusi se identifică picurile caracteristice structurii 3-nitrozo N-ClCH<sub>2</sub>CH<sub>2</sub>NHCO $\cdot$ H<sup>+</sup> ( $m/e$  223 respectiv 237) (schema 7);

b) 1-(2-hidroxietil)-1-nitrozo-3-ciclohexilureea, 12, analogul CCNU hidroxilat în catena laterală, are un spectru de masă asemănător cu cel obținut de noi pentru CCNU. Si în acest caz, principalele fragmente provin prin rearanjări de tip McLafferty (fig.8).

- fig.8 -

c) N-(2-cloretil)-N-nitroso-0-4-metil-ciclohexil-uretanul, 79, are un spectru de masă în care preponderente sunt picurile provenind din fragmentarea simplă a moleculei, consecutive eliminării fragmentului CH<sub>2</sub>Cl (schema 8).



Schema 8

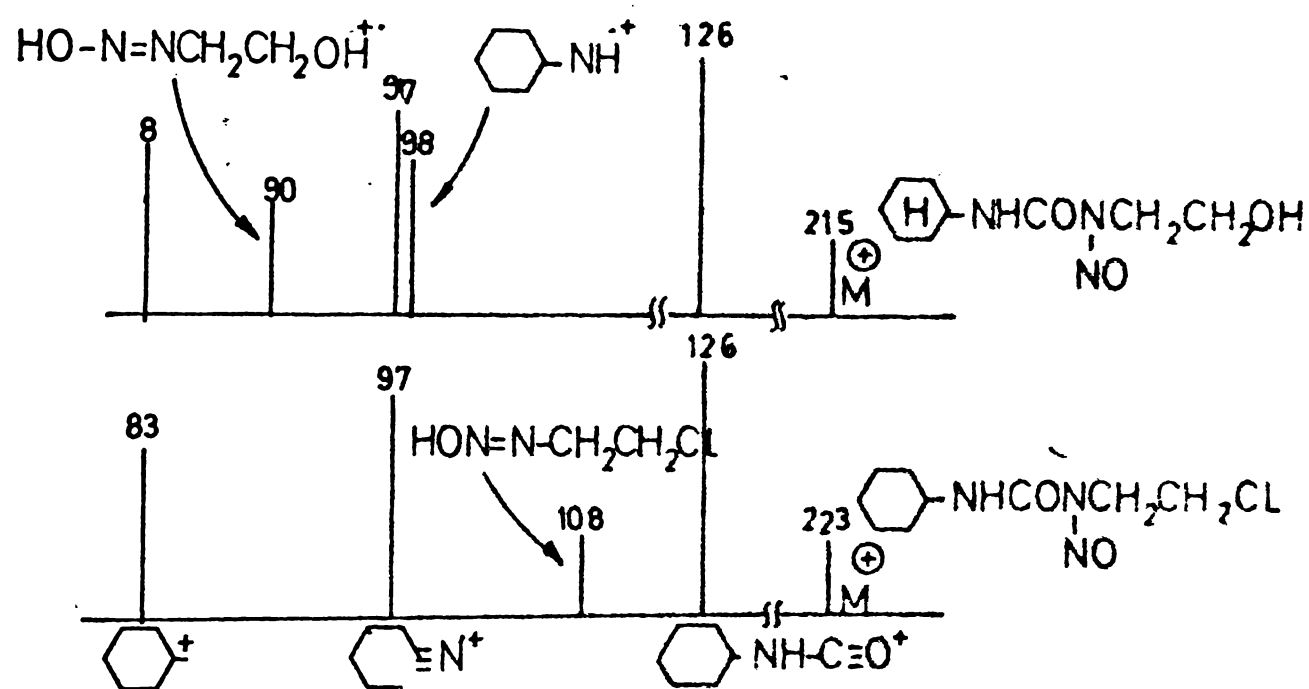


Fig 8 Spectrul de masă de joasă rezoluție a CCNU și HO-CCNU

XIV.4. Caracterizarea RES a derivărilor de uree și nitrozouree nitroxidici.

Derivații de uree și nitrozouree 4-piperidinil-1-oxi, fac parte din clasa radicalilor liberi stabili, al căror moment magnetic de spin este datorat electronului nepereche din orbitalul  $\pi$  localizat la legătura nitroxidică ( $N \neq 0$ ).

Sinteză și studiul acestor derivați, primii de acest tip din literatura de specialitate, a fost realizat în vederea posibilității elucidării prin tehnica RES a unor aspecte privind descompunerea, metabolizarea și farmacocinetica derivaților de N-nitrozouree.

Intr-o primă etapă s-a urmărit efectuarea și caracterizarea spectrelor RES ale năilor compuși în raport cu cel al N-oxizilor piperidinici "clasici" (ex. 2,2,6,6-tetrametil-4-piperidinon-1-oxi, TEMPO, 2,2,6,6-tetrametil-4-hidroxipiperidinil-1-oxi, TEMPOL) urmărind modul în care structura fină și hiperfină a spectrului este influențată de natura substituentului din poziția 4 (fig.9).

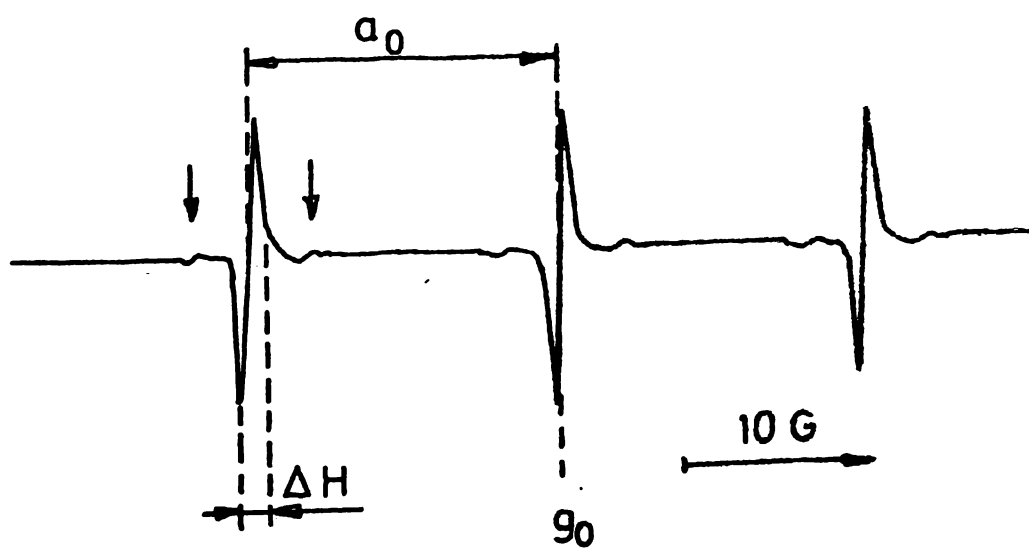


Fig 9 Spectru RES TEMPO

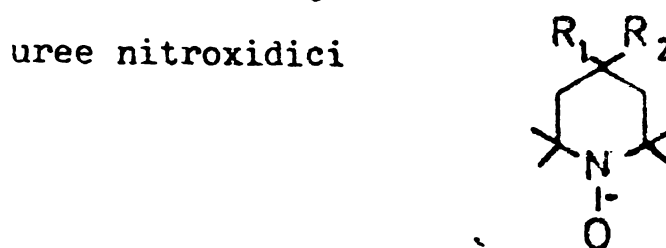
Analiza spectrelor RES ale năilor compuși sintetizați (tabel 2c) evidențiază că /229/ :

- lărgimea de linie pentru toți compusii este mai mare decât în cazul TEMPO sau TEMPOL, ceea ce îngreunășă evidențierea cuplării hyperfine cu C<sup>13</sup>;

- este o slabă dependență a parametrilor RES de natura substituentului din poziția 4, ceea ce îi recomandă ca markeri de spini.

Tabel 2o

Caracterizarea RES a derivatilor de uree și nitrozo-uree nitroxidici



Nr. compusului	R <sub>1</sub>	R <sub>2</sub>	g <sup>(1)</sup>	H <sup>(2)(G)</sup>	A <sub>N</sub> <sup>(3)(G)</sup>	A <sub>C<sub>1</sub></sub> <sup>(4)(G)</sup>	Solvent
TEMPO	H	H	2,0057	0,46	15,87	6,05	H <sub>2</sub> O
TEMPOL		C=O	2,0058	0,60	16,05	6,05	H <sub>2</sub> O
4la	H	NHCONHCH <sub>3</sub>	2,0059	1,57	16,83	-	MeOH
32a	H	NHCON(NO)CH <sub>3</sub>	2,0059	1,61	16,93	-	MeOH
4lb	H	NHCONHCH <sub>2</sub> CH <sub>2</sub> Cl	2,0057	1,81	16,70	-	MeOH
32b	H	NHCON(NO)CH <sub>2</sub> CH <sub>2</sub> Cl	2,0057	1,81	16,90	-	MeOH
4lc	H	NHCONHC <sub>6</sub> H <sub>11</sub>	2,0057	1,81	17,04	-	MeOH
4ld	H		2,0057	1,71	16,90	-	MeOH

1) g-factor de despicare spectroscopică. (În cazul compusilor studiați banda de rezonanță a electronului impar este despicată de cimpul magnetic al N<sup>14</sup> (I=1) în trei componente egal distanțate. Spectrometrele RES înregistrează de fapt deriveate I<sup>2</sup> a acestor curbe); 2) H - semilărgimea liniei de rezonanță; 3) A<sub>N</sub><sup>(G)</sup> - constantă de cuplare cu N<sup>14</sup>; 4) A<sub>C<sub>1</sub></sub><sup>(G)</sup> - constantă de cuplare cu C<sup>13</sup>.

XV. Proprietăți fizico-chimice ale derivatilor de nitrozouree.

Dintre proprietățile fizico-chimice considerate responsabile pentru activitatea biologică a noilor derivați de N-nitrozouree au fost investigate următoarele :

- liposalubilitatea ( $\log P$ )
- viteza de descompunere ( $T_{0,5}$ )
- activitatea alchilantă (A)

Acestea pe lîngă indicațiile generale ce le furnizează asupra comportării in vivo a acestor substanțe, vor servi și la calcularea relațiilor cantitative structură-activitate.

XV.1. Liposolubilitatea ( $\log P$ ) este un parametru cu proprietăți aditive definite de Hansch, /31/, și care reflectă distribuția între octanol: apă a substanței investigate conform relației :

$$\log \frac{1}{c} = - k_1 \pi^2 + k_2 \pi + k_3 \quad (\text{ec.13})$$

In cazul derivațiilor de N-nitrozouree valorile lui  $\log P$  ( $\pi^2$ ) au fost atât determinate spectrofotometric folosind metoda lui Hansch /31/ cît și calculate folosind proprietățile aditive ale parametrului pe baza datelor din literatură /31,46,108/ (vezi și cap..VII).

Constantele de lipofylie ( $\log P$ ) astfel obținute sunt prezentate în tabelul 21.

- tabel 21 -

Studiul variației acestora în funcție de structura componenților evidențiază următoarele /230/ :

- în seria bis-[1-(2-cloretil)-3-nitrozo-ureelor] serie a,4 (a-g), există o bună concordanță între valorile teoretice și cele experimentale ale  $\log P$  pentru derivațiile în care  $n < 4$ . Odată cu creșterea numărului de grupări metilenice din moleculă concordanța dintre cele două seturi de valori scade, probabil datorită plierii moleculei. În această serie se constată o variație lineară a valorilor experimentale ale  $\log P$  în raport

Tabel 21

Valori experimentale ale parametrilor fizico-chimici obinute pentru noii derivați de N-nitrozouree (a)

Nº comp.	Formula	Log P	log $P_{rel}$ (CCNU=1)	$k'_{60^\circ\text{NBP}}$ min <sup>-1</sup>	$\kappa_{rel}$ (CCNU=1)	$T_{0,5}$ min	$T_{0,5}^{'rel}$ (CCNU=1)
a	$\text{ClCH}_2\text{CH}_2\text{NHCOR}'(\text{NC})_2(\text{CH}_2)_2$	$1,36 \pm 0,04$	0,48	24,4	7,77	1,4	1,56
b	- $(\text{CH}_2)_3$ -	$1,74 \pm 0,03$	0,61	15,1	4,81	148	1,60
c	- $(\text{CH}_2)_4$ -	$2,12 \pm 0,01$	0,75	28,6	9,10	154	1,66
d	- $(\text{CH}_2)_5$ -	$2,47 \pm 0,01$	0,87	13,5	4,30	167	1,80
e	- $(\text{CH}_2)_6$ -	$2,61 \pm 0,05$	0,92	10,0	3,18	172	1,86
f	- $(\text{CH}_2)_7$ -	$2,79 \pm 0,01$	0,99	19,4	6,18	151	1,63
g	- $(\text{CH}_2)_8$ -	$2,97 \pm 0,01$	1,05	2,0	0,64	251	2,71
h	$\text{C}_6\text{H}_{11}\text{NHCON}(\text{NO})_2(\text{CH}_2)_2$	$2,05 \pm 0,05$	0,72	2,3	0,73	152	1,64
i	- $(\text{CH}_2)_3$ -	$2,66 \pm 0,01$	0,94	-	-	190	2,05
j	- $(\text{CH}_2)_4$ -	$3,00 \pm 0,04$	1,06	2,5	0,80	206	2,22
k	- $(\text{CH}_2)_5$ -	$3,21 \pm 0,09$	1,13	1,5	0,48	216	2,33
l	- $(\text{CH}_2)_6$ -	$3,11 \pm 0,08$	1,10	4,3	1,37	278	3,00
m	- $(\text{CH}_2)_7$ -	$3,02 \pm 0,06$	1,07	5,2	1,66	214	2,31
n	- $(\text{CH}_2)_8$ -	$3,26 \pm 0,02$	1,15	1,0	0,32	407	4,40

continuare tabel 21

1.	2.	3.	4.	5.	6.	7.	8.
R <sub>1</sub>	R <sub>2</sub>						
23b 8-NHC(=O)CH <sub>2</sub> CH <sub>2</sub> Cl	H						
c 8-NHC(=O)CH <sub>2</sub> CH <sub>2</sub> Cl	6-CH <sub>3</sub>	2,60±0,02	0,92	4,83	1,54	132,0	1,42



25b	H	0,90±0,04	0,32	1,94	0,62	58,5	0,63
c	6-CH <sub>3</sub>	1,52±0,02	0,54	3,12	0,99	58,5	0,63



29a	CH <sub>3</sub>	X	0,2±0,05	0,07	-	-	223,5	2,41
b	-CH <sub>2</sub> CH <sub>2</sub> Cl	H	3,20±0,03	1,13	2,36	0,75	126	1,36
29	CH <sub>3</sub>	NO	1,86±0,02	0,66	-	-	230	2,48
29a	CH <sub>3</sub>	O	1,30±0,01	0,46	-	-	243	2,62
b	-CH <sub>2</sub> CH <sub>2</sub> Cl	O	1,92±0,01	0,68	5,97	1,90	77,7	0,84

continuare tabel 21

Nr. comp.	Formula	log P	log P <sub>rel</sub> (CCNU=1)	k' <sub>600</sub> <sub>1</sub> min	T <sub>0,5</sub> min.	T <sub>0,5</sub> <sub>rel</sub> (CCNU=1)
<u>6a</u>	C1ClH <sub>2</sub> N(NO)CONH <sub>2</sub> (CH <sub>2</sub> ) <sub>7</sub>	2,54±0,04	0,90	6,80	2,16	173,6
<u>b</u>	- (CH <sub>2</sub> ) <sub>R</sub> -	2,76±0,04	0,96	7,13	2,27	151
<u>18a</u>	R <sub>2</sub> R <sub>1</sub>					
<u>a</u>	3-COOCH <sub>3</sub>	6-CH <sub>3</sub>	2,03	0,72	5,45	1,74
<u>b</u>	2-COOCH <sub>3</sub>	6-CH <sub>3</sub>	2,07	0,73	1,23	0,39
<u>c</u>	2-COOCH <sub>3</sub>	4-CH <sub>3</sub>	2,05	0,72	3,35	1,07
<u>d</u>	3-NHCOON(NO)CH <sub>2</sub> CH <sub>2</sub> Cl	4-CH <sub>3</sub>		4,44	1,41	-
<u>e</u>		2,80	0,99	14,20	4,52	-
	Cl					
<u>23a</u>	R <sub>1</sub> R <sub>2</sub>					
	6-NHCOP(NO)CH <sub>2</sub> CH <sub>2</sub> Cl	H	2,41±0,03	0,85	2,04	0,65
						86,5
						0,93

continuare tabel 21

	1.	2.	3.	4.	5.	6.	7.	8.
48			2,89±0,03	1,02	-	-	-	-
66			2,29±0,02	0,81	9,68	3,08	-	-
12	$C_6H_{11}NCON(CH_2CH_2OH)_2$		1,46±0,02	0,52	2,53	0,81	-	-
14	$HCOCH_2CH_2NHC(=O)(NO_2)_2CH_2$	6	0,77±0,01	0,27	0,99	0,32	-	-

a) Valori experimentale ale parametrilor fizico-chimici, obtinute in cazul CCNU:  $\log P = 2,33 \pm 0,04$ ;  $k^*_{600} = 3,14 \text{ min}^{-1}$ ;  $T_{0,5} = 92,7 \text{ min}$ .

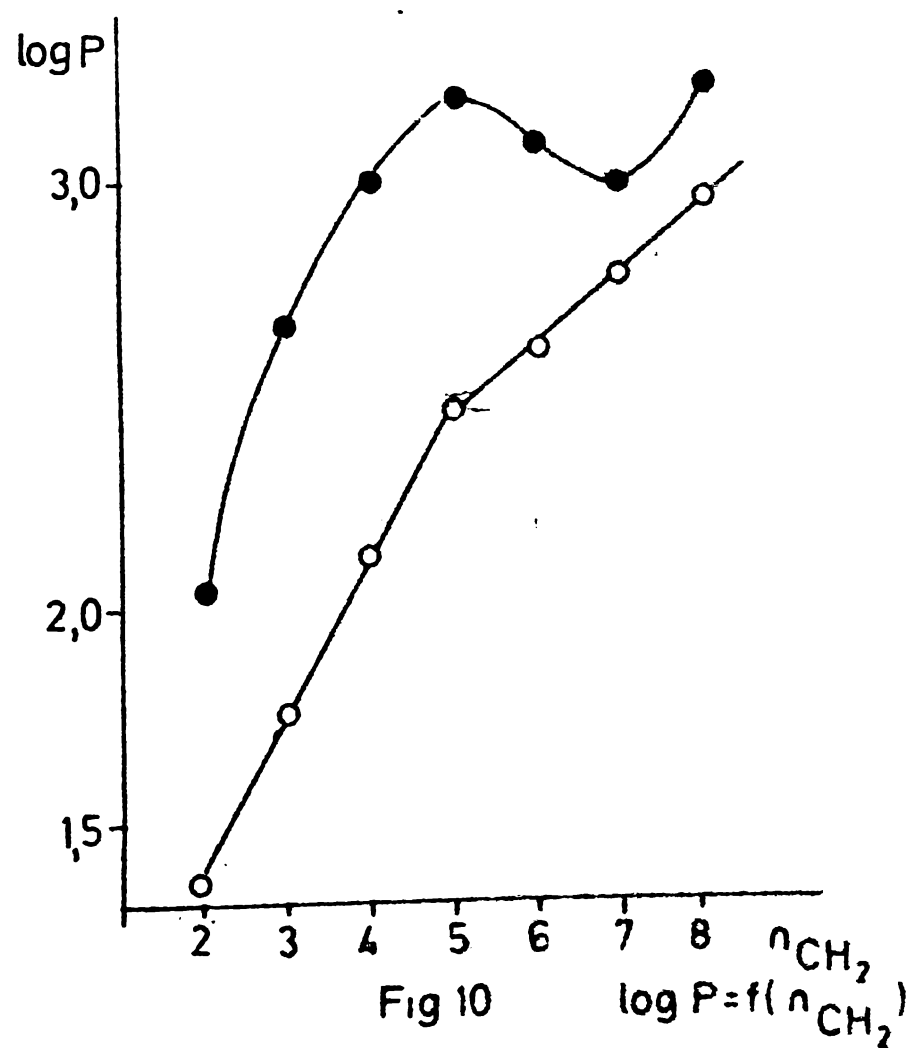
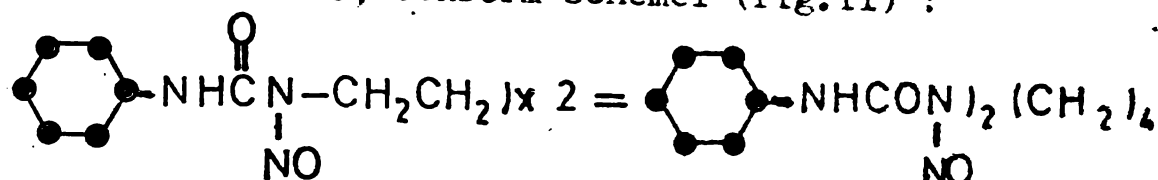


Fig 10

$$\log P = f(n_{\text{CH}_2})$$

cu numărul grupărilor metilen (fig.10).

- În seria bis-(1-ciclonexil-3-nitrozo)ureelor seria b, 5(a-g), diferențele între valorile teoretice și cele experimentale ale log P sînt mult mai mari și nu se poate stabili nici o corelație între valorile experimentale ale acestui parametru și numărul grupărilor metilen (fig.10). Valorile teoretice ale log P au fost calculate pornind de la structura CCNU, conform schemei (fig.11) :



$$(2,83 - 0,39) \times 2 = 4,88 \quad \text{Fig 11}$$

Este interesant de observat că valoarea  $\log P = 2,79$  găsită pentru compusul 4e ( $n=6$ ), care este cel mai activ față de  $L_{1210}$ , este foarte apropiată de cea obținută pentru CCNU ( $\log P_{CCNU} = 2,83$ ).

XV.2. Viteza de descompunere ( $T_{0,5}$ ) determinată în condiții fiziologice, exprimă fracția din substanță inițială care s-a degradat. În anumite limite acest parametru poate fi corelat cu vitezele de formare ale intermediilor reactivi.

Valorile  $T_{0,5}$  obținute pentru noii compusi sintetizați sunt summarizate în tabelul 21. Pentru a minimaliza erorile experimentale, aceste valori sunt exprimate în raport cu valoarea  $T_{0,5}$  obținută de noi pentru CCNU. Deoarece datele de literatură evidențiază o dependență a valorii  $T_{0,5}$  a CCNU atât de valorile pH-ului (în domeniul 7,0-8,0) cât și de tăria ionică și natura mediilor folosite, am considerat necesară determinarea acestui parametru în condițiile noastre de lucru (tabel 22).

- tabel 22 -

Analiza valorilor  $T_{0,5}$  pentru cele două serii de N-nitrozouree omoloage seria a, 4(a-g) și seria b, 5(a-g), conduce la următoarele observații /23a/ :

- În seria a, 4(a-g), există o dependență aproape lineară a valorilor  $T_{0,5}$  de numărul grupărilor metilen, spre deosebire de situa-

Tabel 22

Variatia reactivitatii chimice ( $T_{0,5}$ ) a CCNU  
in functie de pH, taria ionică si natura mediului  
de incubare la  $37^{\circ}$

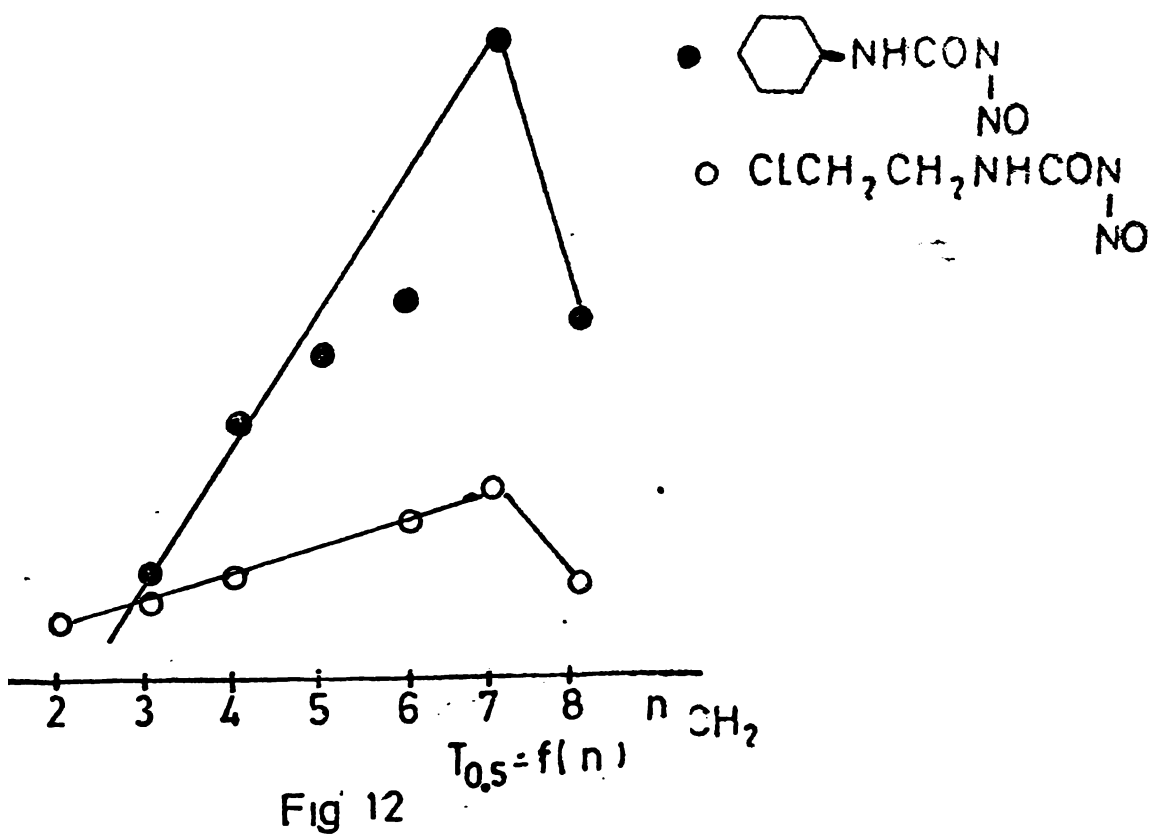
Nr. crt.	Mediu	pH	$T_{0,5}$ (min)	Lit.
1	Tampon Tris	7,2	64	12
2	Tampon fosfat	7,2	208	12
3	Etanol/Tampon fosfat	7,4	53	5
4	Tampon fosfat 10mM + NaCl 145 mM	7,4	117	105
5	Tampon fosfat	7,4	53	81
6	Tampon fosfat	7,4	48	68
7	Tampon fosfat ( $\mu = 0,06$ )	7,4	92,7	-

ția existentă în seria b, 5(a-g) (fig.12);

- în ambele serii de compusi, valoarea  $T_{0,5}$  maximă se obține pentru derivatii cu  $n=7$  (4f și 5f). Deși compusul 4f a prezentat și activitate alchilantă maximă, nu se poate stabili nici o corelație între  $T_{0,5}$  și A (fig.12).

- fig.12 -

XV.3. Activitatea alchilantă (A) a derivatilor de N-nitrozouree a fost studiată în această lucrare folosind metoda Epstein /231/ (vezi cap.XVIII). Valorile obținute (tabel 21) reprezintă în principiu conținută de intermediar alchilant pus în libertate de N-KU în condițiile de efectuare ale testului. În general însă, situația reală (in vivo) este mult mai complexă, atât datorită condițiilor diferite în care se produce descompunerea (ser, plasmă,  $37^{\circ}$ , pH 7,00 etc.), cât și posibilității



intervenției unor sisteme enzimaticice /76/. Din acest motiv, utilitatea valorii absolute a acestui parametru este destul de discutabilă. Totuși, el permite o comparație din acest punct de vedere între diversele N-NU sintetizate (vezi și cap.XVI).

Din analiza datelor obținute privind compusii 4(a-g) și 5(a-g), (tabel 24), rezultă o capacitate netă de alchilare (per funcție nitrozo-uree) a derivatilor de bis-[1-(2-cloretil)-3-nitrozouree], seria a, 4(a-g), mai mare cu 150-450% decât cea a CCNU. Trebuie menționat însă că numai unii din acești compusi prezintă activitate față de leucemia L<sub>1210</sub>, deși ele rămân eficace la limită față de carcinosarcomul W<sub>256</sub>.

#### XVI. Proprietățile farmacologice ale noilor derivați de N-nitrozouree.

Proprietățile farmacologice ale noilor substanțe reprezintă parametrii de o deosebită valoare pentru cercetările noastre deoarece, ei permit atât aprecierea cantitativă a rezultatelor obținute cît și stabilirea, prin relații structură - activitate, a unor direcții de investigație în domeniul N-nitrozourelor (cap.XVI ).

Parametrii utilizati pentru estimarea proprietăților farmacologice ale noilor substanțe au fost:

- toxicitatea acută, exprimată ca doză letală 50% (DL<sub>50</sub>). Aceasta reprezintă doza la care 50% din animalele tratate mor în răstimp de 14 zile de la administrare (cap.XVIII);

- activitatea antitumorală.

a) față de leucemia L<sub>1210</sub>, exprimată sub forma craierii timpului de supraviețuire (CTS%). Aceasta se calculează conform relației (ec.14)

$$CTS\% = \left( \frac{T}{C} - 1 \right) 100 \quad (\text{ec.14})$$

în care: T = timpul de supraviețuire, în zile, al animalelor purtătoare de L<sub>1210</sub> și tratate;

C = timpul de supraviețuire, în zile, al lotului de control purtător de L<sub>1210</sub>.

b) față de tumoră solidă S<sub>256</sub>, exprimată sub forma inhibiției cresterii tumorale (ICT%), care se calculează conform relației (ec.15)

$$ICT\% = \left(1 - \frac{T}{C}\right) 100 \quad (\text{ec.15})$$

unde : T = greutatea, în grame, a tumorilor lotului tratat;

C = greutatea, în grame, a tumorilor lotului mărtor.

- activitatea mutagenă. Acest parametru ne dă o imagine neșpră eventualului risc cancerigen pe care-l prezintă administrarea, la om, a unor astfel de derivați, deoarece se consideră că, în linii mari, activitatea mutagenă a unei substanțe este paralelă cu cea cancerigenă. Valoarea activității mutagene s-a determinat, conform testului Ames, pe bacterii (*Salmonella typhimurum* nis-1 TA 100) și se exprimă sub forma numărului de revertanți produsi per nanomol de substanță (cap. XVIII).

În tabelul 23 sunt sumarizate valorile parametrilor biologici ai noilor derivați de N-nitrozouree.

- tabel 23 -

Sistematizarea datelor obținute în legătură cu toxicitatea (DL<sub>50</sub>), activitatea antitumorala (CTS%, ICT%) și potențialul mutagen în cazul derivaților polimetilenici de bis-nitrozouree (4a-g, 5a-g, 6a,b), ne permite să evidențiem următoarele (tabel 23) :

- derivații de 1-(2-cloretil)-3-nitrozouree 4 a-g, prezintă activitate față de leucemia L<sub>1210</sub>. Este interesant de subliniat că derivatul 4e (n=6) are eficacitate comparabilă cu cea a CCNU, cu atât mai mult că acesta este izomer 3-nitrozo. Este pentru prima dată cind în această clasă de compuși se evidențiază potențialul antileucemic al izomerilor 3-nitrozo, ceea ce dovedește că cel puțin în cazul anumitor străviri, afirmația din literatură conform căreia acești izomeri nu prezintă interes biologic, nu este valabilă. Izomerii 1-nitrozo, sintetizați de Eisenbrand /47/ sunt și ei activi și puternic mutageni;

Tabel 23

Valori experimentale ale parametrilor biologici obtinute in cazul unor noi N-nitrozoderivati (a)

Nr. comp.	Formula	Toxicitate DL <sub>50</sub> mg/kg	Activitate antitumorală IC <sub>50</sub> nmol/kg	Activitate mutagenă CT <sub>50</sub> nr.revertan's/microl	Activitate mutagenă nr.revertan's/microl
4a	C <sub>12</sub> H <sub>11</sub> N <sub>2</sub> Cl <sub>2</sub> NO <sub>2</sub>	409,5	1,28	37	0,21
b	- (CH <sub>2</sub> ) <sub>3</sub> -	125	0,37	16	7,04
c	- (CH <sub>2</sub> ) <sub>4</sub> -	1000	2,88	30	0,31
d	- (CH <sub>2</sub> ) <sub>5</sub> -	500	1,38	-	2,08
e	- (CH <sub>2</sub> ) <sub>6</sub> -	416,6	1,11	37	0,13
f	- (CH <sub>2</sub> ) <sub>7</sub> -	800	2,05	-	8,08
g	- (CH <sub>2</sub> ) <sub>8</sub> -	1300	3,21	-	1,28
5a	C <sub>6</sub> H <sub>11</sub> NHCON(NO) <sub>2</sub> (CH <sub>2</sub> ) <sub>2</sub>	500	1,39	16	0
b	- (CH <sub>2</sub> ) <sub>3</sub> -	750	2,00	0	0,09
c	- (CH <sub>2</sub> ) <sub>4</sub> -	500	1,29	0	0,05
d	- (CH <sub>2</sub> ) <sub>5</sub> -	1000	2,49	50	0,04
e	- (CH <sub>2</sub> ) <sub>6</sub> -	384	0,92	57	0,24
f	- (CH <sub>2</sub> ) <sub>7</sub> -	660	1,53	-	0,18
g	- (CH <sub>2</sub> ) <sub>8</sub> -	1000	2,25	-	1,10

continuare tabel 22

1.	2.	3.	4.	5.	6.	7.
6a	$\text{ClCH}_2\text{CH}_2\text{N}(\text{NO})\text{CONH}_2(\text{CH}_2)_7$	69,9	0,16	44	166	-
b	$-(\text{CH}_2)_8-$	93,5	0,21	-	200	-



	$R_1$	$R_2$				
18a	3-COOCH <sub>3</sub>	6-CH <sub>3</sub>	34,3	0,12	-	-
b	2-COOCH <sub>3</sub>	6-CH <sub>3</sub>	12,5	0,04	-	0
c	2-COOCH <sub>3</sub>	4-CH <sub>3</sub>	40	0,14	-	0
d	3-NICON( NO)CH <sub>2</sub> CH <sub>2</sub> Cl	4-CH <sub>3</sub>	346,6	1,06	-	26
e	Cl	Cl	34,0	0,09	0	29
			R <sub>1</sub>			

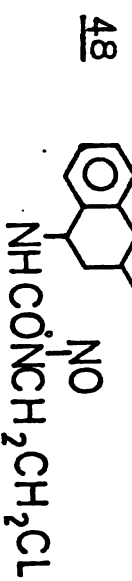
continued table 22

- 128 -

	1.	2.	3.	4.	5.	6.	7.
	R <sub>1</sub>	R <sub>2</sub>					
<u>22a</u>	6-NIC(=O)(NO)CH <sub>2</sub> CH <sub>2</sub> Cl	H					
b	8-NIC(=O)(NO)CH <sub>2</sub> CH <sub>2</sub> Cl	H	100	0,30	0	-	-
c	8-NIC(=O)(NO)CH <sub>2</sub> CH <sub>2</sub> Cl	6-CH <sub>3</sub>	83	0,24	0	-	-



	<u>22a</u>	X					
b	CH <sub>3</sub>	H	200	0,68	0	-	-
<u>20</u>	CH <sub>3</sub>	NO	307	1,12	0	0	-
<u>22a</u>	CH <sub>3</sub>	O	197	0,76	21	0	-
b	CH <sub>2</sub> CH <sub>2</sub> Cl	O	99	0,32	-	19	-



1500

4,91

750

2,33

-

-

0,35

continuare tabel 23

1.	2.	3.	4.	5.	6.	7.
13	NO C <sub>6</sub> H <sub>5</sub> -NHCONCH <sub>2</sub> CH <sub>2</sub> OH	514	2,40	43	0	2,58
14	(CH <sub>2</sub> ) <sub>6</sub> (N CONHCH <sub>2</sub> CH <sub>2</sub> OH) <sub>2</sub> NO	302	0,89	33	0	-
15	O C <sub>6</sub> H <sub>5</sub> -OCN <sub>1</sub> CH <sub>2</sub> CH <sub>2</sub> CL NO	85	0,36	45	-	-
16	H <sub>3</sub> C-C <sub>6</sub> H <sub>4</sub> -OCN <sub>1</sub> CH <sub>2</sub> CH <sub>2</sub> CL NO	50	0,20	19	0	-

a) Valorile experimentale ale parametrilor biologici, obtinute in cazul CCNU.  
 $D_{L50}$  mg/kg 75 mmol/kg 0,32; ICT = 46%; CTS = 113%; nr.rev./nmol / 6,42.

- activitate biologică deosebit de interesantă prezintă derivații de 1-(2-cloretil)-1-nitrozouree 6a,b, mai ales 6a ( $n=8$ ) care a și fost propus pentru testare clinică;

- derivații de 1-ciclohexil-3-nitrozouree, 5a-g, sunt lipsiți de activitate față de leucemia  $L_{1210}$ , dar unii prezintă o inhibiție moderată la creșterii carcinosarcomului  $W_{256}$ .

Inlocuirea funcțiunii 2-cloretilnitrozouree cu 2-cloretil nitro ~~uretan~~ determină o creștere considerabilă a toxicității și o pierdere parțială a activității biologice (de ex. compusii 72,74).

Așa cum era de așteptat înlocuirea atomului de halogen cu o funcțiune hidroxi (13,14), conduce la compusi lipsiți de activitate față de leucemia  $L_{1210}$ , dar surprinzător, activi, la limită, față de carcinosarcomul  $W_{256}$  și mutageni.

Toate nitrozourele testate conform testului Ames s-au dovedit să fi mutagene.

#### XVII. Relații cantitative structură chimică - activitate biologică determinate pentru o serie de noi N-nitrozoure.

Atât parametrii fizico-chimici ( $\log P, A, T_{0,5}$ ) cît și cei farmacologici ( $DL_{50}$ , CTS, etc.) obținuți anterior au servit la calculul unor relații cantitative structură-activitate folosind ecuația lui Hansch (ec.16),

$$\log \frac{1}{C} = f (\log P, A, T_{0,5}, \text{etc.}) \quad (\text{ec.16})$$

în care inversul logaritmului concentrației C ce produce un efect biologic standard poate fi exprimat printr-o funcție lineară sau nelineară în raport cu o serie de parametrii fizico-chimici.

In cazul nostru, în locul concentrației C din ec.16, s-a utilizat valorile parametrilor biologici standard determinați anterior (cap.XVI), aceștia fiind în toate cazurile direct proporționali cu C.

Relațiile lineare sau multilineare s-au calculat folosind un calculator Felix 512.

- S-au calculat relații cantitative structuri-activitate (QSAH) pentru următoarele trei serii de N-nitrozouree sintetizate în cadrul prezentei lucrări :

- seria a: derivați de polimetilen bis- 1-(2-cloretil)-3-nitrozouree 4(a-g), tabel 24

- tabel 24 -

- seria b: derivați de polimetilen bis-(1-ciclonexil-3-nitrozoure) 5(a-g), tabel 25

- tabel 25 -

- seria c: compusii aparținând seriilor a și b plus compusii 13,14,48,66,72 și 74 (tabel 26)

- tabel 26 -

Ecuatiile liniare și multiliniare astfel obținute au fost sumarizate în tabelele 24-26.

Corelații bune au rezultat în cazul compusilor aparținând seriei a,4a-g. Toxicitatea ( $\log 1/DL_{50}$ ) prezintă o dependență semnificativă de activitatea alchilană, liposolubilitate și  $T_{0,5}$  ( $F = 7,158$ ; varianță explicată 83%, ec.11, tabel 24). Corelarea toxicității numai cu activitatea alchilană și liposolubilitate poate explica numai 66% din varianță (ec.6, tabel 24). Rezultatele cele mai semnificative, în același serie, sunt cele care se referă la corelarea activității antileucemice cu liposolubilitatea și activitatea alchilană ( $F = 41,43$ ; varianță explicată 97%, ec.21, tabel 24).

Aceste rezultate concordă cu presupunerile că alchilană ADN-ului este cauza activității antitumorale a acestor agenți. Totuși, ele trebuie interpretate cu precauție, dat fiind numărul mic de compusi utilizati în dezvoltarea ecuațiilor de regresie.

'Corelarea activității antileucemice cu activitatea mutagenă (L)

este slabă. Corelații nesemnificative se obțin și în cazul seriei c (care include toți compușii care au făcut obiectul acestor studii QSAR), ceea ce este explicabil dacă admitem că diversele tipuri de N-nitrozouree sintetizate de noi se descompun, in vitro și în special in vivo, conform unor mecanisme diferite.

"Să cum am arătat (Cap.XII) proiectarea și sinteza acestor noi tipuri de N-nitrozouree a urmărit obținerea unor date suplimentare privitoare la mecanismul lor de acțiune. Dacă schema general admisă de descompunere a nitrozoderivaților de uree (vezi cap.V.2.2. schema 2) este valabilă, atunci produșii primari de descompunere vor fi:  $\text{ClCH}_2\text{CH}_2\text{NCO}$  și  $(\text{CH}_2)_n^{2+}$  pentru compușii 4(a-g);  $\text{C}_6\text{H}_{11}\text{NCO}$  și  $(\text{CH}_2)_n^{2+}$  pentru compușii 5(a-g); și  $\text{ClCH}_2\text{CH}_2^+$  și  $(\text{CH}_2)_n(\text{NCO})_2$  în cazul compusilor 6(a,b).

Dacă activitatea antileucemică deosebită a compusilor 6(a,b) este explicabilă prin mecanismul propus de Kohn /90-95/ - ce constă într-o alchilare în două trepte a ADN, cap.VII, schema 4 - activitatea biologică prezentată de compușii 4(a-b), izomeri 3-NC, și mai ales de compusul 4e(n=6), este surprinzătoare și nu concordă cu acest punct de vedere.

Pe de altă parte trebuie ținut cont că desi atât compușii 4(a-g) cât și analogii lor ciclohexilici 5(a-g), conduc la aceleasi funcțiuni alchilante, dicarbocationi polimetilenici, activitatea lor antitumorală este net diferită, ceea ce ridică unele semne de întrebare asupra rolului biologic al acestor carbocationi (dacă ei se formenă?).

In schimb agenții carbomoileni eliberați de aceste tipuri de N-nitrozouree (4a-g și 5a-g) în cursul descompunerii lor diferite (clor-tilizocianat și respectiv ciclohexil izocianat) și acest fapt ar putea fi coroborat cu proprietățile antileucemice, manifestate exclusiv în seria compusilor 4(a-g). Este deci plauzibil să admitem că în acest caz activitatea biologică se datorează 2-cloretul izocianetului. În această ipoteză, leziunea biochimică letală ar putea fi cauzată de inducerea

unor crosslinking-uri ADN-proteine după următorul mecanism: 2-cloretul izocianatul, care reacționează ușor cu grupările  $\text{NH}_2$ , poate carbamoila grupările  $\text{NH}_2$  din histonele celulare  $\text{H}_1$ , bogate în lisină, compusul astfel format ar putea apoi, într-o a doua etapă, să alchileze ADN-ul, printr-o reacție  $\text{S}_{\text{N}}2$  (de exemplu prin reacția cu o grupare OH din ADN, cum ar fi  $\text{O}^6$ -guanină).

Mecanismul propus de noi nu contravine celui expus de Kohn /90-95/. El reprezintă o alternativă valabilă în cazul unor N-nitrozouree capabile să elibereze *in vivo*, în cursul descompunerii lor 2-cloretul izocianat.

Această ipoteză, ce necesită desigur verificări ulterioare, ar putea constitui o explicație pentru activitatea antileucemică surprinzătoare a unor N-nitrozouree sintetizate de noi (de ex. compușii 4(a-g) care sunt izomeri 3-NO).

De asemenea, nu este imposibil ca 2-cloretul izocianatul (eliberat de derivații de tip 4) să carbamoile enzimele implicate în mecanismele celulare de reparare (ADN polimeraza I), contribuind astfel la amplificarea efectului antitumoral inducă de alchilarea ADN-ului.

In final, trebuie menționat că toți derivații testați conform testului Ames /233,234/, chiar și aceia lipsiți de activitate biologică sau conțin grupări 2-hidroxietil în loc de 2-cloretul, sunt mutageni. Aceste rezultate sugerează că activitatea mutagenă, deși localizată tot la nivelul ADN, este mai nespecifică și ea se datoră eventual, numai unor reacții de monoalchilare la acest nivel.

Aceste fapte lasă să se întrevadă posibilitatea separării efectelor mutagene (cancerogene) de cele antitumorale în această clasă, dându-ne speranță posibilității de realizare a unor N-nitrozouree mai active și mai puțin toxice.

Tabel 24

Ecuări QSAR dezvoltate pentru derivatii de 1-(2-cloretyl)-3-nitrozourea, 4(a-g)

No.	Parametru biologic	Intercept	A	$T_{0,5}$	log P	$(\log P)^2$	n	r	s	P explicativ
1		0,17( $\pm 0,45$ )	-0,06( $\pm 0,07$ )			6 0,355	0,36	0,58	0,13	
2		0,90( $\pm 2,39$ )		-0,01( $\pm 0,02$ )		6 0,217	0,38	0,20	-0,19	
3		0,53( $\pm 0,53$ )			-0,30( $\pm 0,23$ )	6 0,551	0,32	1,74	-0,09	
4		-0,59( $\pm 2,75$ )			0,80( $\pm 2,67$ )	6 0,584	0,36	0,78	-0,10	
5	$\log 1/LD_{50}$	4,66( $\pm 3,05$ )	-0,67( $\pm 0,09$ )	-0,03( $\pm 0,02$ )		6 0,705	0,52	1,48	0,16	
6		1,73( $\pm 0,56$ )	-0,51( $\pm 0,16$ )		-0,12( $\pm 0,05$ )	6 0,891	0,20	5,79	0,66	
7		0,49( $\pm 1,71$ )	0,72( $\pm 1,61$ )		-0,28( $\pm 0,37$ )	6 0,917	0,22	3,53	0,60	
8		-1,09( $\pm 3,82$ )		0,01( $\pm 0,03$ )	0,31( $\pm 3,71$ )	6 0,16( $\pm 0,82$ )	6 0,602	0,44	0,38	-0,59
9		3,12( $\pm 2,32$ )	-0,14( $\pm 0,06$ )	-0,01( $\pm 0,01$ )	-0,43( $\pm 0,22$ )	6 0,910	0,23	3,20	0,57	
10		-0,68( $\pm 2,64$ )		0,01( $\pm 0,02$ )	-0,41( $\pm 0,35$ )	6 0,592	0,36	0,81	-0,09	
11		2,41( $\pm 1,49$ )	-0,17( $\pm 0,04$ )	-0,02( $\pm 0,01$ )	0,16( $\pm 1,29$ )	-0,57( $\pm 0,28$ )	6 0,983	0,14	7,15	0,83
12		-3,15( $\pm 0,51$ )	0,34( $\pm 0,08$ )			6 0,901	0,41	17,16	0,76	
13		6,98( $\pm 4,36$ )		-0,05( $\pm 0,03$ )		6 0,683	0,69	3,49	0,33	
14		1,23( $\pm 0,97$ )		-1,04( $\pm 0,41$ )		6 0,783	0,59	6,35	0,52	

continuare tabel 24

1.	2.	3.	4.	5.	6.	7.	8.	9.	10.	11.	12.		
15	log	$\frac{1}{\text{ILS}}$	opt	0,16( $\pm 5,09$ )	0,01( $\pm 4,95$ )	-0,24( $\pm 1,13$ )	6	0,787	0,67	2,44	0,57		
16				-1,18( $\pm 4,41$ )	0,30( $\pm 0,12$ )	-0,01( $\pm 0,02$ )	6	0,907	0,46	6,97	0,70		
17				-1,27( $\pm 0,49$ )	0,26( $\pm 0,04$ )	-0,48( $\pm 0,14$ )	6	0,987	0,18	55,79	0,96		
18				3,94( $\pm 4,70$ )	-0,02( $\pm 0,04$ )	-0,79( $\pm 0,62$ )	-6	0,809	0,64	2,84	0,42		
19				-2,07( $\pm 1,58$ )	0,26( $\pm 0,05$ )	0,18( $\pm 1,49$ )	-0,18( $\pm 0,34$ )	6	0,988	0,20	28,45	0,94	
20				2,30( $\pm 6,53$ )	-0,03( $\pm 0,05$ )	2,11( $\pm 6,35$ )	-0,64( $\pm 1,39$ )	6	0,829	0,75	1,46	0,22	
21				-3,79( $\pm 1,54$ )	0,30( $\pm 0,04$ )	0,02( $\pm 0,01$ )	-1,11( $\pm 1,32$ )	0,08( $\pm 0,29$ )	6	0,997	0,14	41,43	0,97
22				1,11( $\pm 0,90$ )	-0,19( $\pm 0,14$ )	0,01( $\pm 0,03$ )	0,24( $\pm 0,60$ )	6	0,560	0,72	1,83	0,14	
23				-1,73( $\pm 5,42$ )	-0,58( $\pm 1,31$ )	-0,07( $\pm 7,23$ )	0,07( $\pm 1,65$ )	6	0,156	0,86	0,10-0,22		
24				-0,26( $\pm 7,44$ )	5,97( $\pm 7,46$ )	-0,29( $\pm 0,21$ )	-0,03( $\pm 0,04$ )	6	0,199	0,85	0,16-0,20		
25				1,45( $\pm 2,28$ )	-0,21( $\pm 0,19$ )	-0,11( $\pm 0,66$ )	-0,03( $\pm 0,05$ )	6	0,200	0,98	0,06-0,60		
26				-0,92( $\pm 7,20$ )	0,03( $\pm 0,05$ )	0,21( $\pm 0,95$ )	-0,21( $\pm 7,45$ )	6	0,632	0,78	1,00	0,00	
27	log	w		1,55( $\pm 7,93$ )	-0,21( $\pm 0,23$ )	0,02( $\pm 1,71$ )	6	0,565	0,83	0,70-0,13			
28				-0,58( $\pm 10,51$ )	0,04( $\pm 0,07$ )	-0,38( $\pm 10,22$ )	0,13( $\pm 2,25$ )	6	0,204	1,20	0,03-1,39		
29				5,83( $\pm 13,60$ )	-0,22( $\pm 0,37$ )	-0,05( $\pm 0,10$ )	3,00( $\pm 11,71$ )	-0,65( $\pm 2,58$ )	6	0,666	1,30	0,19-1,78	

Tabel 25

Ecuații QSAR dezvoltate pentru derivații de 1-ciclohexil-3-nitrozourea, 2(a-g)

No.	Parametru biologic	Intercept	A	$T_{0,5}$	$\log P$	$(\log P)^2$	n	r	a	R	Varianta experimentală
32		0,04 ( $\pm 0,49$ )		-0,09 ( $\pm 0,16$ )		6 0,251	0,17	0,27	-0,17		
33		-0,44 ( $\pm 0,34$ )	-0,23 ( $\pm 0,15$ )	0,002 ( $\pm 0,002$ )		6 0,107	0,15	1,50	0,17		
34		-0,02 ( $\pm 0,52$ )	-0,16 ( $\pm 0,20$ )		-0,01 ( $\pm 0,20$ )	6 0,489	0,18	0,47	-0,20		
35	$\log \frac{1}{M_D}$		-0,77 ( $\pm 4,28$ )		0,54 ( $\pm 3,31$ )	-0,12 ( $\pm 0,62$ )	6 0,272	0,20	0,12	-0,54	
36		-0,58 ( $\pm 0,74$ )	-0,25 ( $\pm 0,21$ )	0,002 ( $\pm 0,002$ )	0,05 ( $\pm 0,20$ )	6 0,716	0,18	0,70	-0,22		
37		-0,02 ( $\pm 0,06$ )	-0,24 ( $\pm 0,29$ )	0,002 ( $\pm 0,003$ )	0,01 ( $\pm 0,04$ )	-0,24 ( $\pm 0,82$ )	6 0,743	0,24	0,30	-0,12	
38		-0,93 ( $\pm 0,66$ )	0,31 ( $\pm 0,63$ )			6 0,236	0,66	0,24	-0,18		
39		-0,02 ( $\pm 0,01$ )		0,004 ( $\pm 0,007$ )		6 0,311	0,64	0,43	-0,12		
40		0,35 ( $\pm 0,02$ )			-0,52 ( $\pm 0,60$ )	6 0,395	0,62	0,74	-0,05		
41		0,01 ( $\pm 0,02$ )	0,68 ( $\pm 0,67$ )		-0,82 ( $\pm 0,67$ )	6 0,608	0,62	0,88	-0,05		
42	$\log M$	-0,10 ( $\pm 0,02$ )	0,21 ( $\pm 0,74$ )	0,004 ( $\pm 0,008$ )		6 0,346	0,73	0,20	-0,47		
43		0,002 ( $\pm 0,001$ )			-0,001 ( $\pm 0,09$ )	0,02 ( $\pm 0,02$ )	6 0,709	0,55	1,52	0,17	
44		0,002 ( $\pm 0,001$ )	0,50 ( $\pm 0,66$ )		-0,001 ( $\pm 0,10$ )	0,02 ( $\pm 0,02$ )	6 0,784	0,59	1,07	0,04	
45		0,002 ( $\pm 0,002$ )		0,001 ( $\pm 0,01$ )	-0,001 ( $\pm 0,001$ )	0,02 ( $\pm 0,02$ )	6 0,710	0,67	0,68	-0,23	
46		0,002 ( $\pm 0,002$ )	0,54 ( $\pm 0,98$ )	-0,001 ( $\pm 0,01$ )	-0,001 ( $\pm 0,001$ )	0,02 ( $\pm 0,03$ )	6 0,788	0,83	0,41	-0,89	

Tabel 26

Ecuații QSAR dezvoltate pentru toți derivatii de uree disponibili (seria c)

Nr.	Parametru biologic	Intercept	A	$T_{0,5}$	Log P	$(\log P)^2$	n	r	s	F	Variant explicită
47		-0,07( $\pm_0,11$ )	-0,02( $\pm_0,03$ )				14	0,207	0,29	0,54	-0,04
48		0,23( $\pm_0,26$ )			-0,15( $\pm_0,10$ )		14	0,385	0,28	2,09	0,07
49		-0,44( $\pm_0,24$ )		0,12( $\pm_0,09$ )			20	0,324	0,35	2,11	0,06
50		0,05( $\pm_0,63$ )		0,05( $\pm_0,64$ )	-0,05( $\pm_0,15$ )		14	0,395	0,28	1,02	0,00
51		0,63( $\pm_0,39$ )		-0,75( $\pm_0,29$ )	0,16( $\pm_0,05$ )		20	0,659	0,29	6,54	c,57
52 log 1/LD <sub>50</sub>		0,09( $\pm_0,31$ )	-0,03( $\pm_0,03$ )	-0,001( $\pm_0,001$ )			14	0,265	0,30	4,12	-c,10
53		0,41( $\pm_0,29$ )	-0,03( $\pm_0,03$ )		-0,18( $\pm_0,10$ )		14	0,502	0,27	1,85	0,12
54		0,01( $\pm_0,49$ )	-0,08( $\pm_0,03$ )	-0,003( $\pm_0,001$ )	-0,32( $\pm_0,10$ )		14	0,724	0,22	3,68	0,36
55		-0,15( $\pm_0,60$ )	-0,05( $\pm_0,03$ )	0,51( $\pm_0,66$ )	-0,17( $\pm_0,16$ )		14	0,571	0,27	1,61	0,12
56		0,74( $\pm_1,20$ )		-0,001( $\pm_0,002$ )	-0,41( $\pm_0,94$ )	0,05( $\pm_0,21$ )	14	0,441	0,29	0,80	-0,05
57		0,02( $\pm_1,02$ )	-0,08( $\pm_0,03$ )	-0,003( $\pm_0,001$ )	-0,44( $\pm_0,76$ )	0,03( $\pm_0,17$ )	14	0,725	0,24	2,50	0,32
58		-0,02( $\pm_0,58$ )	0,11( $\pm_0,11$ )				8	0,385	0,53	1,05	0,01
59		-0,02( $\pm_0,67$ )		0,004( $\pm_0,003$ )			8	0,483	0,84	1,82	0,10
60		0,58( $\pm_0,55$ )			-0,93( $\pm_0,25$ )		6	0,840	0,52	14,42	0,66
61		0,37( $\pm_0,41$ )	0,12( $\pm_0,04$ )		-0,95( $\pm_0,16$ )		8	0,946	0,34	21,12	0,85
62 log ILS <sub>opt</sub>		-0,03( $\pm_0,74$ )	0,21( $\pm_0,08$ )	0,007( $\pm_0,003$ )			8	0,830	0,58	5,52	0,56
63		0,01( $\pm_0,01$ )		-0,042( $\pm_0,003$ )	-0,01( $\pm_0,36$ )		8	0,851	0,29	6,55	0,61
64		-0,19( $\pm_0,01$ )		0,38( $\pm_0,01$ )	-0,34( $\pm_0,43$ )		8	0,860	0,53	7,11	0,64
65		0,01( $\pm_0,01$ )	0,16( $\pm_0,05$ )		-0,02( $\pm_0,01$ )	0,37( $\pm_0,37$ )	8	0,957	0,34	14,51	0,85

continuare tabel 26

1.	2.	3.	4.	5.	6.	7.	8.	9.	10.	11.	12.
66	-0,44( $\pm 0,04$ )	-0,003( $\pm 0,005$ )	0,57( $\pm 0,03$ )	-0,38( $\pm 0,76$ )	8	0,860	0,60	3,80	0,55		
67	0,57( $\pm 0,03$ )	0,16( $\pm 0,06$ )	0,001( $\pm 0,003$ )	-0,02( $\pm 0,02$ )	0,25( $\pm 0,55$ )	8	0,959	0,38	8,50	0,81	
68	-0,02( $\pm 0,10$ )	-0,01( $\pm 0,02$ )				8	( $\pm 0,135$ )	0,19	0,11	-0,15	
69	-0,02( $\pm 0,19$ )	-0,001( $\pm 0,001$ )				8	0,254	0,19	0,41	-0,10	
70	-0,02( $\pm 0,17$ )			0,11( $\pm 0,07$ )		8	0,499	0,17	1,98	0,12	
71	-0,02( $\pm 0,36$ )			0,06( $\pm 0,07$ )		11	( $\pm 0,262$ )	0,17	0,66	-0,03	
72	-0,01( $\pm 0,31$ )	-0,02( $\pm 0,03$ )	-0,001( $\pm 0,001$ )			8	0,472	0,19	0,72	-0,09	
73	log $\frac{1}{100-1GT}$	-0,02( $\pm 0,22$ )	-0,002( $\pm 0,02$ )		0,10( $\pm 0,08$ )	8	0,500	0,18	0,83	-0,05	
74	-0,02( $\pm 0,42$ )				-0,16( $\pm 0,45$ )	0,07( $\pm 0,11$ )	8	0,546	0,18	1,06	0,02
75	-0,02( $\pm 0,42$ )	0,01( $\pm 0,03$ )			-0,03( $\pm 0,43$ )	0,02( $\pm 0,10$ )	11	0,270	0,18	0,32	-0,15
76	-0,02( $\pm 0,50$ )	0,01( $\pm 0,03$ )			-0,28( $\pm 0,62$ )	0,10( $\pm 0,16$ )	8	0,564	0,20	0,62	-0,19
77	-0,01( $\pm 0,99$ )		-0,001( $\pm 0,001$ )		-0,45( $\pm 0,74$ )	0,13( $\pm 0,17$ )	8	0,586	0,19	0,69	-0,15
78	-0,01( $\pm 0,02$ )	-0,01( $\pm 0,06$ )	-0,001( $\pm 0,003$ )	-0,001( $\pm 0,003$ )	-0,49( $\pm 0,88$ )	0,13( $\pm 0,19$ )	8	0,591	0,22	0,40	-0,52
79	0,66( $\pm 0,34$ )				-0,34( $\pm 0,32$ )		17	( $\pm 0,262$ )	0,77	1,10	0,31
80	-0,02( $\pm 0,02$ )				0,02( $\pm 0,03$ )	-0,53( $\pm 0,64$ )	17	0,335	0,78	0,88	-0,15
81	log $m$	0,80( $\pm 0,80$ )			-0,006( $\pm 0,004$ )		13	0,382	0,77	1,88	0,07
82	0,92( $\pm 1,14$ )				-0,006( $\pm 0,005$ )	0,06( $\pm 0,40$ )	13	0,385	0,78	0,87	-0,06
83	1,02( $\pm 1,07$ )	-0,03( $\pm 0,08$ )		-0,007( $\pm 0,005$ )			13	0,393	0,78	0,92	-0,02
84	-1,04( $\pm 4,24$ )			-0,005( $\pm 0,005$ )	1,67( $\pm 3,61$ )	-0,36( $\pm 0,76$ )	13	0,412	0,81	0,61	-0,10
85	0,29( $\pm 4,82$ )	-0,04( $\pm 0,11$ )	-0,006( $\pm 0,006$ )		1,40( $\pm 3,86$ )	-0,33( $\pm 0,81$ )	13	0,431	0,85	0,46	-0,22

### XVIII. PARTEA EXPERIMENTALA

Punctele de topire s-au efectuat la un aparat Franz Kustner-Dresden și sunt necorectate.

Spectrele în infraroșu s-au determinat în pastile (KBr) sau soluție ( $\text{CHCl}_3$ ,  $\text{CCl}_4$ ,  $\text{C}_6\text{H}_6$ ) folosind un aparat de tip URlo (Carl Zeiss, Yena) sau Specord IR 75 (Carl Zeiss, Yena).

Spectrele de rezonanță magnetică nucleară s-au efectuat la un spectrofotometru de tip Varian A-60 EM360L, în  $\text{CDCl}_3$ ,  $\text{CCl}_4$ ,  $(\text{CD}_3)_2\text{SO}$ ,  $(\text{CD}_3)_2\text{O}$  folosind ca standard intern tetrametil silanul (TMS).

Spectrele de rezonanță electronică de spin s-au efectuat la un spectrometru de tip JEOL (Institutul de fizică atomică București).

Spectrele de masă s-au determinat pe un spectrometru Varian MAT (la Institutul de Fizică, Cluj-Napoca).

Cromatografia în strat subțire, plăci sau folii Werck (silice gel F<sub>254</sub>, celuloză, oxid de aluminiu). S-au utilizat următoarele sisteme de solventi: benzen/etanol: cloroform/9:1:1; benzen:etanol/5:1; benzen: metanol; butanol:acid acetic:apă/4:1:1.

Coeficientul de liposolubilitate ( $\log P$ ) s-a determinat spectrofotometric în uv, în sistemul octanol:apă /31/. Valorile teoretice pentru au fost luate din literatură /31,46,108/. Acolo unde a fost posibil, valorile experimentale au fost comparate cu cele teoretice.

Activitatea alchilană (A) s-a determinat după metoda Epstein modificată /231/, astfel: se incubează la 80°, pentru durată preestabilită (5,10...60 min.), un amestec format din 1 ml soluție metanolică de nitrozouree ( $8 \cdot 10^{-3} \text{ M}$ ), 2 ml tampon acetat (pH 6,0) și 1 ml soluție 5% 4-(p-nitrobenzil)-piridină în acetonă. La sfârșitul perioadei de incubare amestecul se răcește pe baie de gheă și se alcălinizează cu 1,5 ml soluție NaOH 0,1 N. Se obține o soluție de culoare albastră a cărei absorbție se măsoară la 600 nm. Din panta curbei absorbției/timp de incubare,

se obțin valorile  $k'$ <sub>600</sub>. Activitatea alchilantă se exprimă atât ca  $k'$ <sub>600</sub> cît și prin raportul acesteia față de valoarea  $k'$ <sub>600</sub> pentru CCNU, determinată în aceleasi condiții.

Timpul de înjunătărire ( $T_{0,5}$ ) a fost măsurat folosind variația absorbanței de la 235 nm a soluțiilor de nitrozouree în sistem tampon, incubate la 37°, pentru perioade de timp prestabilite. Soluțiile de nitrozouree se obțin prin dizolvarea compusilor corespunzători în metanol absolut și adăugare de tampon fosfat (pH 7,2: = 0,06) pînă la obținerea unei concentrații finale de cca  $10^{-4}$  M (nitrozouree).

Toxicitatea ( $DL_{50}$ , mmoli/kg corp) a fost determinată pe soareci, conform metodei Cornfield și Mantel /232/.

Activitatea antitumorală s-a apreciat folosind două sisteme tumorale: leucemia L<sub>1210</sub> și carcinosarcomul W<sub>256</sub>. Pentru primul sistem tumoral  $10^{-6}$  celule de L<sub>1210</sub> au fost inoculate intraperitoneal la soareci BDF<sub>1</sub>. Tratamentul a inceput la 24 ore de la inoculare și a continuat după o schemă zilnică timp de 7-10 zile. Datele au fost exprimate prin creșterea timpului de supraviețuire  $CTS\% = (\frac{T}{C} - 1)100$  (T - timpul de supraviețuire la animalele tratate, C - idem la mărtori). Pentru al doilea sistem tumoral, tratamentul începe la 7 zile de la datea transplantării tumorii și constă în inocularea zilnică a unei doze de 0,1-0,2  $DL_{50}$  timp de 14 zile. Rezultatele se apreciază sub forma inhibiției creșterii tumorale ICT, ce se calculează după formula  $ICT\% = (1 - \frac{T}{C}) \cdot 100$ .

Activitatea mutagenă a fost estimată folosind testul Ames /233,234/ pe *Salmonella typhimurium* His-1, TA<sub>100</sub> și se exprimă prin numărul maxim de revertanți/nmol compus.

In continuare se dau exemple tipice de sintezi pentru compusii noi sintetizați (nitrosouree și precursorsi). Prezentarea s-a făcut înințind cont de ordinea în care s-a discutat sinteza acestora (cap.XIII).

### XVIII.1. Derivați de 1-(2-cloretil)uree și nitrozouree aromaticice

Schema generală de sinteză a acestor compuși a fost descrisă în capitolul XIII.1. Datele analitice sunt prezentate în tabelele 1 și 2, cele spectrale în ir și în tabelul 27 iar cele în raman în tabelul 18. În continuare se dau câteva exemple tipice de sinteză din care au rezultat compuși nedescrisi în literatură de specialitate.

#### 1.1. 1-(2-cloretil)-3-1'-(3'-carboximetil-4'-metil)-fenil-uree, 17a, (metoda A).

La o soluție conținând 0,012 moli (3,0g) ester metilic al acidului 4-amino-2-metil benzoic, 50 ml benzen și 7 ml DMF, răcită la 0-5°, se adaugă încet cu agitare și răcire 0,012 moli (1,2g) cloretil izocianat. După terminarea adăugării se continuă agitarea timp de 1 oră la 0-5°, 2 ore la 5-10° și 3 ore la temperatura camerei. Amestecul de reacție se concentrează la sec, sub vacuum, iar reziduul obținut se titrurează cu eter de petrol, sol. HCl 10%, apă. Precipitatul alb amorf rezultat se separă prin filtrare, se usucă ( $P_2O_5$ ), cind se obțin 4 g ( $\eta = 97\%$ ) uree 17a.

#### 1.2. 1,3 bis 3- 1-(2-cloretil) -ureido -4-metilbenzen, 17b, (metoda B).

La o soluție răcită (0-5°) de 0,07 moli (11,5 g) tolil-2,4-dilizocianat în 25 ml benzen anhidrizat, se adaugă încet cu agitare o soluție benzenică, conținând 0,14 moli (11,13g) 2-cloretilamină. După terminarea adăugării agitarea se continuă 1 oră la 5-10° și 24 ore la temperatura camerei. Precipitatul format se separă prin filtrare, se spălă pe pâlnie cu sol. HCl 10%, apă și eter de petrol. Se usucă la vid/ $P_2O_5$  obținându-se în final 14,14 g, ( $\eta = 62\%$ ) uree 17b.

#### 1.3. 1,3 bis 3- 1-(2-cloretil) -1-nitrozoureido -4-metilbenzen, 18d (metoda A).

La o soluție preparată din 0,01 moli (3,33 g) uree 17b în 50 ml HCOOH 98-100% rece (0-5°), se adaugă în porțiuni mici și sub agitare (astfel încât temperatura mediului de reacție să nu depășească 0-5°)

0,04 moli (2,76g)  $\text{NaNO}_2$  uscat. Se continuă agitarea la aceeași temperatură încă 1 oră. Se adaugă foarte încet 100 ml apă rece ( $0-5^\circ$ ), continuându-se agitarea încă 1 oră la rece. Amestecul de reacție se aduce apoi la temperatura camerei menținându-se sub agitare încă 2 ore în aceste condiții. Precipitatul format în decursul acestor operații se filtrează, se spală bine cu apă și se usucă la vid/ $\text{P}_2\text{O}_5$  cind rezultă (3,03g,  $\eta = 77\%$ , 18d).

1.4. 1-(2-cloretيل)-3-[3'-carboximetil-4'-metil]-fenil-1-nitrozouree, 18a (metoda B).

La o soluție preparată din 0,02 moli (6,13 g) uree 17a în 50 ml soluție  $\text{H}_2\text{SO}_4:\text{H}_2\text{O}/1:1$  și adusă la  $0-5^\circ$ , se adaugă încet, cu agitare și răcire 0,04 moli (2,76g)  $\text{NaNO}_2$ . După terminarea adăugării, amestecul de reacție se mai agită încă 2 ore la rece, apoi se diluează cu 100 ml apă. Precipitatul format se filtrează, se spală bine cu apă și se usucă la vid/ $\text{P}_2\text{O}_5$ . Se obțin 3,61g,  $\eta = 50\%$ , 18a.

- tabel 27 -

1.5. 1-(2-cloretيل)-3-[2-(3,3'-diclor)-azobenzen]-uree, 17e

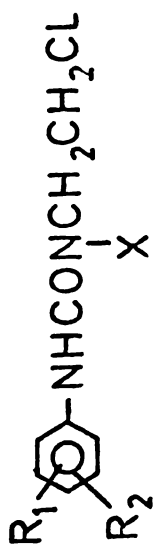
La o soluție preparată din 0,05 moli (13,3g) 1-amino-2-(3,3'-diclor)-azobenzen, se adaugă încet sub agitare, 0,052 moli (5,5g) 2-cloretilezocianat, menținându-se temperatura între  $10-15^\circ$ . După terminarea adăugării agitarea se continuă încă o oră la temperatura camerei și apoi 2 ore la  $70-75^\circ$ . Precipitatul format prin răcirea amestecului de reacție se filtrează și se spală pe frită cu eter de petrol. Se recristalizează din benzen. Se obțin 11,65 g ( $\eta = 63\%$ ) uree 17e.

1.6. 1-(2-cloretيل)-3-[2-(3,3'-diclor)-azobenzen]-1-nitrozo-uree, 18e .

Se dizolvă 0,008 moli (3,4g) uree 17e în 75 ml  $\text{HCOOH}$  98-100%. Soluția se răcește (la  $0-5^\circ$ ) și se adaugă în porțiuni 0,028 moli (1,8g)  $\text{NaNO}_2$  solid (în circa 1,5 ore), menținându-se mediul de reacție la  $0-5^\circ$ . După terminarea adăugării se continuă agitarea, la  $0-5^\circ$ , încă o oră și

Tabel 27

Characteristic spectra in ir of 2-cloretiureelor si  
nitrozouriileor aromatice (KBr,  $\text{cm}^{-1}$ )



Nr. comp.	R <sub>1</sub>	R <sub>2</sub>	$\gamma_{\text{C=O}}$ amida I	ester	$\delta_{\text{CN}}$	amida II	$\gamma_{\text{N-NO}}$	$\gamma_{\text{NH}}$
17a	3-COOCH <sub>3</sub>	H	1643	1720	1578	-	3300, 3320	
18a	3-COOCH <sub>3</sub>	NO	1735	1715	1580	1500	3400	
17b	2-COOCH <sub>3</sub>	H	1660	1710	1560	-	3300, 3320	
18b	2-COOCH <sub>3</sub>	NO	1735	1715	1550	1505	3410	
17c	2-COOCH <sub>3</sub>	H	1645	1725	1580	-	3320-3340	
18c	2-COOCH <sub>3</sub>	NO	1738	1725	1580	1505	3410	
17d	3-NHCONICH <sub>2</sub> CH <sub>2</sub> Cl	H	1640	-	1585	-	3300, 3320	
18d	3-NHCON(HO)CH <sub>2</sub> CH <sub>2</sub> Cl	NO	1740	-	1550	1495	3385	
17e		H	1630	-	1565	-	3300	
18e		NC	1710	-	1560	1505	3410	

apoi se diluează amestecul de reacție, încet, cu 50 ml apă rece. Se continuă agitarea încă 1,5 ore. Precipitatul, galben pal, format, se filtrează, se spală cu apă rece ( $0-5^{\circ}$ ) și se usucă la vid/ $P_2O_5$ . Se obțin 3,11 g ( $\eta$  85%), nitrozouree 18e.

XVIII.2. Derivați homo și hetero-cicloalifatici de 1-(2-clor-  
etil)-1-nitrozouree.

XVIII.2.1. Analogi de CCNU și MeCCNU substituiți la inelul  
ciclohexanic.

In cap.XIII.2. se discută schema de sinteză a derivatilor aparținând acestei subclase precum și a precursorilor lor, nedescrisi în literatura de specialitate. Caracteristicile analitice ale noilor compuși sănt prezentate în tabelele 4,5 și 6, iar cele spectrale în tabelele 28-30 (ir), 17 și 18 (rmn). Se dău mai jos exemple tipice de sinteză privind obținerea acizilor 1,5-ditiaspiro[5,5]-undecan carboxili, 20(a-c), derivatilor 1-(2-cloretil)-3-(1,5-ditiaspiro-[5,5]-8 (1o)-undecanil)-uree, 22(a-c), a nitrozoureelor corespunzătoare, 23 (a-c) și a 1-(2-cloretil)-3 2(4)-ciclonexan -1-nitrozoureelor, 25(a-c).

2.1.1. Acidul 1,5-ditiaspiro[5,5]-undecan-6-carboxilic, 20a.

Se agită 1 ora, la temperatura camerei, amestecul conținând : 15 g (0,10 moli) ester etilic al acidului 2-ciclohexanon carboxilic, 19, 320 ml  $CHCl_3$  anhidru și 0,1 moli (10ml) 1,3-propan ditiol. Se răcește apoi amestecul la  $0^{\circ}$  și se adaugă încet cu agitare și răcire 4ml soluție eterică de trifluorură de bor, după care agitarea se mai continuă încă 1,5 ore la aceeași temperatură. Amestecul de reacție se lasă apoi peste noapte la temperatura camerei. Soluția cloroformică se spală de două ori cu cîte 50 ml sol.KOH 7% și de două ori cu cîte 50 ml apă, se usucă pe  $MgSO_4$  și solventul se îndepărtează la vid. Rezidiul obținut se distilă fractionat sub vacuum, culegîndu-se fracțiunea pf  $175-177^{\circ}/4-5 \text{ mmHg}$ . Rezultă 16,13 g ( $\eta$  73,5%) ester etilic al acidului 1,5-ditiaspiro[5,5]undecan-6-carboxilic, test negativ la

sol. alcoolică de  $\text{FeCl}_3$ , 0,23 moli (60g) din acest easter se refluxeză cu 480 g sol. KOH 20%, pînă la dizolvare completă (circa 16 ore). După răcirea amestecului de reacție acesta se diluează cu un volum egal de apă, se spală cu benzen (3x100 ml) și apoi se neutralizează stînt (cu răcire exterioară) cu HCl conc. pînă la pH = 1. Acidul liber precipită și se separă prin filtrare. Soluția apoasă saturată cu NaCl sau  $\text{NH}_4\text{Cl}$  și extrasă cu acetat de etil mai furnizează o cantitate suplimentară de acid. Produsul brut se recristalizează din etanol rezultând finalmente 30,26g ( $\eta = 80,4\%$ ) 2oa.

2.1.2. 1-(2-cloretil)-3-(1,5-ditiespiro 5,5 -6-undecenil)-uree, 22a.

La o soluție preparată prin agitarea timp de 1 oră la  $0^\circ$  a 0,05 moli (11,6g) 2oa, 8,1 ml  $\text{Et}_3\text{N}$ , 140 ml acetonă, se adaugă în circa 20 min. și menținind temperatura între  $0-5^\circ$  o soluție de 0,068 moli (6,6 ml) cloroformiat de etil în 30 ml acetonă. După terminarea adăugării se continuă agitarea la rece încă 1,5 ore. Dînd acest interval se picură stînt o soluție 0,084 moli (5,5g)  $\text{NaN}_3$  în 20 ml apă și se continuă agitarea la  $0^\circ$  încă 2 ore, după care amestecul de reacție se toarnă peste 700 ml apă și 200 g gheăță. Precipitatul de azidă separat se filtrenă, se spală cu apă rece, se esorează bine, apoi se dizolvă în 150 ml  $\text{CHCl}_3$ , și se iusucă (pe  $\text{MgSO}_4$ ) circa 2 ore.

După uscare, soluția se încălzește treptat, urmărindu-se degajarea de  $\text{N}_2$ . Cînd aceasta diminuează ca intensitate se aduce la reflux timp de o oră. Sfîrșitul reacției se determină spectrofotometric (în IR, prin urmărirea dispariției benzii  $\gamma_{\text{CON}_3} = 2150 \text{ cm}^{-1}$ ). Soluția cloroformică de izocianat astfel obținută se concentrează la 1/2 din volum și se adaugă sub agitare și la temperatura camerei peste o soluție conținând 4,37 g (0,055 moli) 2-cloretil amină în 100 ml  $\text{CHCl}_3$ . Sfîrșitul reacției se determină spectrofotometric (în IR, prin dispariția vibrării  $\gamma_{\text{NCO}} = 2250 \text{ cm}^{-1}$ ), după care soluția cloroformică se spală succesiv cu HCl 0,1 N (250 ml) și apă (250 ml). După uscarea soluției ( $\text{MgSO}_4$ ) solventul se î-

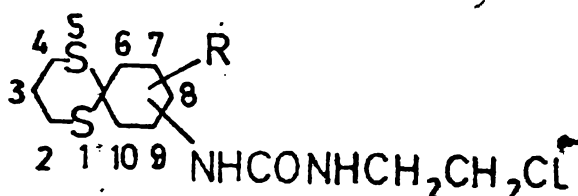
depărtează la vid. Se obține un ulei, care se dizolvă într-o cantitate minimă de cloroform, se cromatografiază pe coloană de Kisselgel, colonă se spală cu  $\text{CHCl}_3$ , iar apoi cu metanol. Prin concentrarea soluției metanolice se obține produsul dorit, 22a, 5,37g,  $\eta \approx 35\%$ .

- tabel 28 -

Tabel 28

Analiza spectrelor IR ale 1-(2-cloretil)-3-(1,5-ditiaspiro-

5,5'-undecanil)-uree,  $\text{CHCl}_3$ ,  $\text{cm}^{-1}$



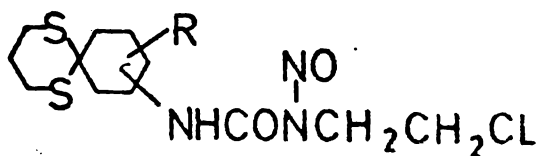
Nr. comp.	R	$\delta_{\text{CN}}$ amida II	$\gamma_{\text{CO}}$ amida I <sup>-</sup>	$\gamma_{\text{NH}}$
<u>22a</u> , 10-NHCONHCH <sub>2</sub> CH <sub>2</sub> Cl	H	1525	1630	3350, 3410
<u>22b</u> , 8-NHCONHCH <sub>2</sub> CH <sub>2</sub> Cl	H	1530	1660	3360, 3410
<u>22c</u> , 8-NHCONHCH <sub>2</sub> CH <sub>2</sub> Cl	10-CH <sub>3</sub>	1530	1630	3350, 3410

2.1.3. 1-(2-cloretil)-3-(1,5-ditiaspiro[5,5]-8-undecanil)-1-nitrozouree, 23b

La o soluție conținând 0,006 moli (1,80g) uree, 22b, dizolvată în 20 ml acid acetic glacial și răcită la  $10^{\circ}\text{C}$ , se adaugă treptat, cu agitare și răcire ( $8-10^{\circ}\text{C}$ ) 0,0185 moli (1,26g)  $\text{NaNO}_2$  solid. După terminarea adăugării se continuă agitarea la rece, pentru încă o oră, după care amestecul de reacție se diluează cu 20 ml apă, și se mai agită încă 30 min. Se extrage soluția apoiă cu eter etilic (4x25 ml), extractele eterice se reunesc, se spală cu apă (2x20 ml), se usucă ( $\text{Na}_2\text{SO}_4$ ) și solventul se îndepărtează la vid. Uleiul rămas se purifică prin cromatografie pe Kisselgur, folosind drept eluent cloroform. Se obțin 1,78 ( $\eta \approx 90\%$ ) 23b.

Tabel 24

Analiza spectrelor ir ale 1-(2-cloretil)-3-(1,5-ditiaspiro[5,5]-undecanil)-1-nitrozoureelor,  $\text{CHCl}_3$ ,  $\text{cm}^{-1}$ .



Nr. comp.	R	$\nu_{\text{NO}}$	$\delta_{\text{CN}}$	$\nu_{\text{CO}}$	$\nu_{\text{NH}}$
<u>23a</u> , 6-NHCONCH <sub>2</sub> CH <sub>2</sub> Cl	H	1490	1510	1710	3380
	NO				
<u>23b</u> , 8-NHCONCH <sub>2</sub> CH <sub>2</sub> Cl	H	1490	1515	1710	3380
	NO				
<u>23c</u> , 8-NHCONCH <sub>2</sub> CH <sub>2</sub> Cl	6-CH <sub>3</sub>	1490	1515	1705	3380

#### 2.1.4. 1-(2-cloretil)-3-(1-ciclohexil-4-on)-1-nitrozouree, 25b

Se dizolvă 0,003 moli (0,88 g) uree 22b în 10 ml HCOOH 98-100%.

Se răcește soluția astfel obținută la 0-5° și se adaugă în porțiuni 0,014 moli (0,99g)  $\text{NaNO}_2$ . După terminarea adăugării se continuă agitație încă 2 ore la 0-5°. Precipitatul format se îndepărtează prin filtrare, filtratul se extrage cu 3x10 ml  $\text{CHCl}_3$ . Extractele cloroformice reunite se spală cu 2x10 ml  $\text{H}_2\text{O}$ , se usucă ( $\text{Na}_2\text{SO}_4$ ) și solventul se evapori sub vacuum. Uleiul obținut se titrurează cu eter de petrol, se obțin 0,5 g ( $\eta$  70%) 25b. (tabel 30)

Tabel 30

Analiza spectrelor ir ale 1-(2-cloretil)-3-(ciclohexan-2(4)-on)-1-nitrozoureelor.



Nr. comp.	R	$\nu_{\text{NO}}$	$\delta_{\text{CN}}$	$\nu_{\text{CO}}$	$\nu_{\text{NH}}$
	NO				
<u>25a</u> , 2-NHCONCH <sub>2</sub> CH <sub>2</sub> Cl	H	1485	1530	1705	3410
	NO				
<u>25b</u> , 4-NHCONCH <sub>2</sub> CH <sub>2</sub> Cl	H	1490	1530	1710	3400
	NO				
<u>25c</u> , 4-NHCONCH <sub>2</sub> CH <sub>2</sub> Cl	2-CH <sub>3</sub>	1490	1510	1705	3400

XVIII.2.2. Derivați de 4-(2,2,6,6-tetrametil-piperidinil)-uree și nitrozouree.

Sinteză și caracterizarea lor analitică este prezentată în cap. III.2.2., tabelele 7-9. Spectrele de R.M.N. ale acestor compuși sunt discutate în cap.XV.2. iar absorbțiile caracteristice în IR sunt prezentate în tabelele 31-33. Au fost de asemenea efectuate și analizele spectrale RES ale nitroxizilor din această clasă (cap.XV.4, tabel 20).

2.2.1. 4-Amino-2,2,6,6-tetrametil-piperidinil, 36.

La o suspensie preparată din 0,035 moli (6g) oxim 35 în 100ml alcool n-propilic și adusă la reflux, se adaugă 0,52 atomi gram (12g) Na, în aşa fel încât să se mențină un reflux slab fără încălzire din afară. După terminarea adăugării se continuă refluxul încă circa o oră, înă ce tot sodiu reacționează complet. Se răcește apoi soluția și se adaugă cu atenție 250 ml eter și 100ml apă. Se agită amestecul de reacție încă o,5 ore și apoi se separă stratul eteric, care se spală cu 5x30 ml apă, și se usucă pe  $\text{Na}_2\text{SO}_4$ . Se concentrează și se distilă amina pînă la 52°/760mmHg. Se obțin astfel 3,5 g,  $\eta = 64.0\%$  amina 36.

2.2.2. 1-(2-Cloretil)-3-(2,2,6,6-tetrametil-4-piperidinil)-uree, 37b. 0,032 moli (4,9g) amină 36 se dizolvă în 20 ml benzen și 250 ml eter de petrol. Solutia obținută se răcește (5-10<sup>0</sup>) și restul să se adauge înacet cu agitare și răcire, 0,032 moli (3,37g) 2-cloretil izocianat în 10 ml benzen anhidru. Se continuă agitarea la 5-10<sup>0</sup> încă c,5 ore și apoi încă 2 ore la temperatura camerei. Precipitatul alb format se separă prin filtrare. Se obțin astfel 7,2g,  $\eta = 87\%$  uree 37b.

2.2.3. 1-Metil-3-(2,2,6,6-tetrametil-4-piperidinil)-uree, 41a.

Se agită 48 ore la temperatura camerei un amestec conținând : 0,09 moli (2,0g) uree 37a, 0,0006 moli (0,2g) wolframat de sodiu, 0,0006 moli (0,2g) EDTA, 25 ml apă și 3 ml  $\text{H}_2\text{O}_2$  30%. Soluția roșu-portocaliu obținută în final se acidulează (HCl), apoi se concentrează la 1/2 din

volum și se extrage cu eter (4x30ml). Extractele eterice reunite se usucă și se purifică prin decolorare cu cărbune și cromatografie pe  $\text{Al}_2\text{O}_3$  neutru folosind drept eluent eterul. Din fracțiunea ce conține produsul dorit se îndepărtează eterul la vid și precipitatul cristalin roșu rezultat se titrurează cu eter de petrol. Se obțin 2,5 g,  $\eta = 70\%$  produs 4la.

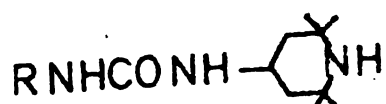
2.2.4. 1-[1,5-ditiaspiro[5,5]-s,s,s',s'-tetroxid-6-undecil]-3-(2,2,6,6-tetrametil-4-piperidinil-1-oxi)-uree, 4ld.

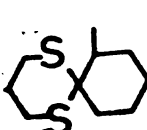
Se agită 48 ore la temperatura camerei un amestec conținând 0,0022 moli (0,8g) uree 37d, 0,0015 moli (0,5g) wolframat de sodiu, 0,0015 moli (0,5g) EDTA, 25 ml alcool etilic, 3ml apă și 3 ml  $\text{H}_2\text{O}_2$ . După acest interval pH-ul se aduce la 3-4 folosind HCl conc., soluția se filtrează de urmele de precipitat formate iar filtratul se concentrează la sec. Precipitatul obținut se titrurează cu eter etilic, cloroform și se filtrează cînd rezultă 0,25 g ( $\eta = 30\%$ ) uree 4ld.

- tabel 31, 32 -

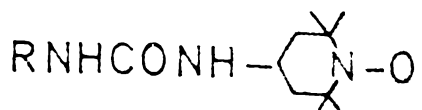
Tabel 31

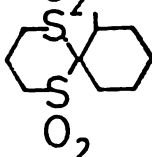
Analiza spectrelor IR ale derivaților 3-(2,2,6,6-tetrametil-4-piperidinil)uree,  $\text{CHCl}_3$ ,  $\text{cm}^{-1}$



Nr. comp.	R	$\nu_{\text{CO}}$ amidă I	$\delta_{\text{CN}}$ amidă II	$\nu_{\text{NH}}$
<u>37a</u>	$\text{CH}_3$	1620	1530	3300-3400
<u>37b</u>	$\text{CH}_2\text{CH}_2\text{Cl}$	1620	1530	3300-3400
<u>37c</u>	$\text{C}_6\text{H}_{11}$	1660	1530	3390
<u>37d</u>		1630	1520	3390

Analiza spectrelor IR ale derivaților de la 1-(2,2,6,6-tetra-  
metil-4-piperidinil-1-oxi)-ureeelor, 38a, 38b,



nr. comp.	R	$\gamma_{\text{CO}}$ amida I	$\delta_{\text{NH}}$ amide II	$\gamma_{\text{NH}}$
38a	$\text{CH}_3$	1640	1530	3,341 <sup>a</sup>
38b	$\text{CH}_2\text{CH}_2\text{Cl}$	1650	1520	3,31, 3,341 <sup>a</sup>
38c	$\text{C}_6\text{H}_{11}$	1630	1520	3,32 <sup>a</sup>
38d		1650	1540	3,30, 3,32 <sup>a</sup>

<sup>a)</sup> KBr.

### 2.2.5. 1-Metil-3-(2,2,6,6-tetraetil-4-piperidinil-1-oxi)-uree,

nitrozourea, 42a.

La o soluție conținând 0,005 moli (1,01 grame 38a, 1,01 grame în 40 ml acid acetic 50% și răcită la 0-5° se adaugă 0,005 moli și răcire 0,03 moli (2,1g)  $\text{NaNO}_2$  solid. După 10 minute se continuă agitarea, la 0-5°, încă o oră, apoi se separă stratul cloroformic și se mai agită încă 30 min. Stratul cloroformic se separă și se diluă succesiv în apă (2x25 ml), sol.  $\text{NaHCO}_3$  lös. (2x25 ml), apă și sușă ( $\text{Na}_2\text{SO}_4$ ), se decolorează cu cărbune și se obține un ulei care la titrare cu eter se poate calcula rezultând 1,2g ( $\eta = 89\%$ ) nitrozouree 42a.

### 2.2.6. 1-(2-Cloretil)-3-(2,2,6,6-tetraetil-4-piperidinil-1-oxi)-uree,

nitrozouree, 38b.

Se dizolvă 0,009 moli (2,35g) uree 38a în 70 ml apă și după răcirea soluției la 0-5°, se adaugă în partea de sus

cire, 0,02 moli (1,33g)  $\text{NaNO}_2$ . După această operație agitarea se continuă la rece încă o oră, se adaugă 30 ml eter etilic și după 10 min. se lasă să se separe straturile. Stratul apos se concentrează la sec sub vacuum (astfel încât temperatura băii să nu depășească  $45^\circ$ ) iar precipitatul rezultat se extrage cu cloroform, soluția cloroformică se concentrează, operația se mai repetă de încă două ori. În final precipitatul se dizolvă în MeOH și se agită 2 ore, la rece, cu schimbători de ioni (Amberlite IR 45). Schimbătorii de ioni se îndepărtescă prin filtrare iar soluția după purificare cu cărbune, se concentrează sub vacuum. Se obține astfel 1g ( $\eta = 75\%$ ) precipitat galben pălărit de 38b.

2.2.7. 1-Metil-3-(2,2,6,6-tetrametil-4-piperidil-1-nitrozo)-1-nitrozouree, 40a.

La 0,016 moli (3,45 g) uree 37a dizolvată în 50 ml  $\text{CH}_3\text{COOH}$  50% și răcită la  $0-5^\circ$  se adaugă treptat, cu agitare și menținând răcirea, 0,16 moli (11g)  $\text{NaNO}_2$ . După terminarea adăugării agitarea se continuă ( $0-5^\circ$ ) încă o oră și apoi se extrage soluția cu 4x50 ml eter etilic. Extractele eterice reunite se spală succesiv cu apă, sol. $\text{NaHCO}_3$  10% apă ( $0-5^\circ$ ), se usucă ( $\text{Na}_2\text{SO}_4$ ), se purifică prin tratare cu Florisil și se concentrează sub vacuum. Uleiul rezultat se dizolvă în 20 ml MeOH și se precipită prin turnare peste 250 ml apă. Se obțin în final 2,5g ( $\eta = 56\%$ ) precipitat galben pălărit de compus 40a.

- tabel 33 -

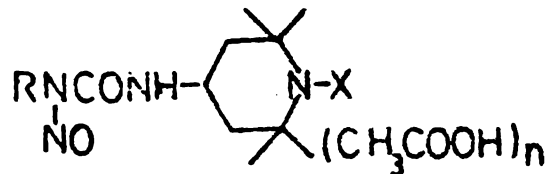
XVIII.2.3. Derivați de 1-(2-cloretil)-1-nitrozouree policiclice.

2.3.1. 1-(2-Cloretil)-3-[8-(5',6'-benzo)-hexahidroindanil-uree, 47.

La o soluție conținând 0,007 moli (1,4g) amînă 46, 1 ml  $\text{Et}_3\text{N}$  și 30 ml  $\text{CHCl}_3$ , răcită la  $15^\circ$  se adaugă încet, sub agitare 0,007 moli (0,8g) 2-cloretil izocianat. După terminarea adăugării agitarea se continuă încă 5 ore la temperatura camerei. Apoi amestecul de reacție se spală succesiv cu 2x15 ml  $\text{H}_2\text{O}$ , 15ml HCl 1%, 15 ml  $\text{H}_2\text{O}$ . Stratul organic, uscat ( $\text{Na}_2\text{SO}_4$ ) și concentrat la 1/2 din volum se adaugă cu agitare la 100 ml eter de

Tabel 33

Analiza spectrelor ir ale derivaților de 3-(2,2,6,6-tetrametil-4-piperidinil)-nitrozouree,  $\text{cm}^{-1}$ ,  $\text{CHCl}_3$ ,



Nr. comp.	R	X	n	$\gamma_{\text{N-NO}}$	$\delta_{\text{C-N}}$	$\gamma_{\text{C=O}}$	$\gamma_{\text{NH}}$
29a	$\text{CH}_3$	H	2	1490	1530	1710	3380
29b	$\text{ClCH}_2\text{CH}_2$	H	1	1495	1520	1710	3400
30	$\text{CH}_3$	NO	0	1520	1550	1680	3390
32a	$\text{CH}_3$	O	0	1480	1530	1710	3390
32b	$\text{ClCH}_2\text{CH}_2$	O	0	1490	1530	1705	3450

petrol ( $30-60^\circ$ ), cînd ureea 47 precipită. Se obțin 1,1g ( $\eta = 60\%$ ) produs 47, pt  $142^\circ$  desc. ( $\text{C}_{16}\text{H}_{21}\text{N}_2\text{OCl}$  calc.% : C = 65,64; H = 7,17; N = 9,57 ; Cl = 12,13; găsit %: C = 65,54%; H = 7,08; N = 9,49; Cl = 12,53).

### 2.3.2. 1-(2-Cloretil)-3-[8-(5',6'-benzo)-hexanidroindanil]-1-nitrozouree, 48.

0,003 moli (1,0g) uree 47 se dizolvă într-un amestec format din 5 ml HCl 36% și 5 ml HCOOH 98-100% și răcit la  $0-5^\circ$ . Se adaugă apoi încet cu agitare și răcire ( $0-5^\circ$ ), 0,036 moli (2,5g)  $\text{NaNO}_2$ , după care agitarea se continuă încă 1 oră ( $0-5^\circ$ ). Se diluează amestecul lent cu 20 ml  $\text{H}_2\text{O}$  ( $0-5^\circ$ ) și după încă 0,5 ore de agitare, precipitatul format se filtrează, se spală cu apă rece și se usucă la vid/ $\text{O}_2\text{O}_5$ . Se obțin 1,0lg ( $\eta = 92\%$ ) 48, pt 116-118 ( $\text{C}_{16}\text{H}_{20}\text{N}_3\text{O}_2\text{Cl}$ ; calc.% : C = 59,72; H = 6,22; N = 13,06; Cl = 11,04; găsit %: C = 60,00; H = 6,69; N = 13,30; Cl = 11,51).

XVIII.3. Derivați alifatici de bis [1-(2-cloretil)-1(3)-nitrozouree]  
si bis [1-ciclohexil-3-nitrozouree].

Problemele ridicate de sinteza și structura nitrozoderivaților de acest tip precum și a precursorilor lor sunt discutate în cap.XIII.3. Atribuirile structurale s-au făcut pe baza analizelor elementare tabel 11 (55a-g și 56a-g), 12 (4a-g și 5a-g), 13 (6a,b), spectrelor ir (cap.XIV.1, tabel 34-37), rmn (cap.XIV.2. tabel 18-19) și spectrelor de masă (cap.XIV.7). Se dă în continuare exemple tipice de sinteză pentru compusii noi prezentați precum și sinteze particulare, pentru compusii neinclusi în tabele. Prezentarea exemplelor se face în ordinea în care au fost discutați compusii în cap.XIII.3.

XVIII.3.1. Derivați alifatici de bis 1-(2-cloretil) sau ciclohexil -3-uree și 3-nitrozouree.

3.1.1. 1,4-Tetrametilbis [1-(2-cloretil)-uree], 55d.

La o soluție conținând 10,9 moli (2g) cloruri acide 52d în 40 ml benzen anhidru, se adaugă treptat 68,6 mmoli (4,45g) NaN<sub>3</sub> activat. Amestecul se refluxează pînă cînd degajarea de N<sub>2</sub> incetează (afîrșitul reacției se determină spectrofotometric în ir prin dispariția absorbției caracteristice clorurii acide și azidei de la 1805 și respectiv 2140 cm<sup>-1</sup>). Solutia de izocianat astfel obținut se folosește ca stare fără izolare acestuia.

Se dizolvă 33,6 mmoli (3,9g) 2-cloretil amind clorhidrat în 10 ml apă rece, se aduce la pH 7,5-8 cu o soluție NaOH 50%, se agită 10 min. și se extrage cu benzen (3x20 ml). Extractele benzenice reunite și uscate (Na<sub>2</sub>SO<sub>4</sub>) la care se adaugă 5,9 ml Et<sub>3</sub>N se rîcesc (0-5°) și se amestecă cu soluția de izocianat preparat anterior. Amestecul de reacție se agită 0,5 ore la rece și apoi 7 ore la temperatură camerei. Derivații de uree format precipită și se colecteză prin filtrare. Se spală urmări cu eter de petrol, apă, sol.HCl 10% apă și eter de petrol. După uscare (vid/P<sub>2</sub>O<sub>5</sub>) se obțin 5,2g (98%) 55d.

3.1.2. 1,4-Tetrametilenbis [1-(2-cloretil)-3-nitrozouree], 4 d.

Se dizolvă 0,013 moli (2,46g) uree 55d în 30 ml HCOOH 98-100%, rece (0-5°), și la soluția astfel obținută se adaugă în porțiuni, cu agitare și răcire, 0,13 moli (8,97g) NaNO<sub>2</sub>. După încă o oră de reacție soluția se diluează foarte încet amestecindu-se cu 120 ml apă (0-5°), cînd nitrozourea 4d precipită. Se continuă agitarea încă c,5 ore pentru perfectarea reacției, precipitatul se filtrează și se spală cu apă rece. Se usucă la vid/P<sub>2</sub>O<sub>5</sub>. Se obțin 3,0g (~95%) produs brut. În vederea purificării sale izomerice acesta se dizolvă în 90 ml HCOOH 98-100%, se agită 2 ore la 0-5° și se precipita cu 120 ml apă rece. După c,5 ore se filtrează și se spală bine cu apă (0-5°). Precipitatul uscat constă din 2,3 g η 75%, produs 4d.

3.1.3. 1,2-Etilen bis[1-(2-cloretil)-uree] 55a .

61 mmoli (6,33g) 2-Cloretil izocianat se adaugă în picături și sub agitare la o soluție conținând 30 mmoli (1,8g) 1,2-etilen diamină, 30 mmoli (4,35 ml) Et<sub>3</sub>N în 10 ml eter etilic anhidru, racită (0-5°). Amestecul se lasă să ajungă treptat la temperatura camerei și după 7 ore se colectează prin filtrare solidul alb format. Aceasta se spală cu apă și eter de petrol și se usucă (P<sub>2</sub>O<sub>5</sub>) cînd se obțin 5,2g, η 62%, uree 55a.

3.1.4. 1,7-Heptametilen bis[1-(2-cloretil)-3-nitrozouree] 4f.

La o soluție conținând 1,55 mmoli (0,538g) uree 55f în 5 ml HCl conc., racită la 0-5°, se adaugă încet, cu agitare și răcire 6,08 mmoli (0,42g) NaNO<sub>2</sub>. După terminarea adăugării reacția se continuă încă o oră, după care nitrozourea formată se precipită cu 10 ml apă rece. Purificarea precipitatului separat prin filtrare se face prin reprecipitare din HCOOH 98-100% (vezi 3.1.2.). Se obțin astfel 0,52g, η 84,4% precipitat galben 4f.

Tabel 34

Caracteristici spectrale în ir ale derivatelor alifatici  
de bis[1-(2-cloretil)-uree], KBr,  $\text{cm}^{-1}$



Nr. comp.	n	$\gamma_{\text{CO}}$ amida I	$\delta_{\text{CN}}$ amida II	$\gamma_{\text{NH}}$
<u>55a</u>	2	1630	1595	3340
<u>55b</u>	3	1640	1600	3350
<u>55c</u>	4	1640	1600	3325, 3345
<u>55d</u>	5	1635	1595	3330, 3355
<u>55e</u>	6	1635	1595	3325, 3335
<u>55f</u>	7	1640	1600	3320, 3350
<u>55g</u>	8	1640	1595	3325, 3350

Tabel 35

Caracteristici spectrale în ir ale derivatelor alifatici  
de bis[1-(2-cloretil)-3-nitrozouree], KBr,  $\text{cm}^{-1}$



Nr. comp.	n	$\gamma_{\text{CO}}$ amida I	$\delta_{\text{CN}}$ amida II	$\gamma_{\text{NHO}}$
<u>4a</u>	2	1715 1735 <sup>(1)</sup>	1550 1550 <sup>(1)</sup>	1505 1500 <sup>(1)</sup>
<u>4b</u>	3	1710	1540	1485
<u>4c</u>	4	1715 1725 <sup>(1)</sup>	1535 1530 <sup>(1)</sup>	1450 1490 <sup>(1)</sup>
<u>4d</u>	5	1730 1730 <sup>(1)</sup>	1538 1535 <sup>(1)</sup>	1455 1498 <sup>(1)</sup>

continuare tabel 35

1.	2.	3.	4.	5.
<u>4e</u>	6	1710 1730 <sup>(1)</sup>	1590 1535 <sup>(1)</sup>	1490 1495 <sup>(1)</sup>
<u>4f</u>	7	1720 1730 <sup>(1)</sup>	1550 1540 <sup>(1)</sup>	1495 1500 <sup>(1)</sup>
<u>4g</u>	8	1730	1550	1500

<sup>1)</sup> CHCl<sub>3</sub>

3.1.5. 1,4-Tetrametilen bis (1-ciclohexil-3-uree), 56d.

La o soluție preparată din 40 mmoli (4g) ciclohexil amină 41 mmoli (5,8ml) Et<sub>3</sub>N și 30 ml benzen, se adaugă cu agitare și răcire (0-5°) o soluție benzenică conținând ~ 40-45 mmoli 1,4-n-butene-diizocianat (preparat conform 55d). După agitare 0,5 ore la 0-5° și 7 ore la temperatura camerei, precipitatul format se izolează prin filtrare, se spală cu eter de petrol sel.HCl 10%, eter de petrol și apoi se usucă (vid/P<sub>2</sub>O<sub>5</sub>). Se obțin astfel 6g η = 87% 56d.

3.1.6. 1,6-Hexametilen bis (1-ciclohexil-3-nitrozouree), 5e.

32,5 mmoli (2,24g) NaNO<sub>2</sub> uscat se adaugă în porțiuni mici, cu agitare, la o soluție răcită la 0-5° conținând 2,7 mmoli (1g) uree 56e în 10 ml HCOOH 98-100%. În continuare amestecul de reacție se agită o oră la 0-5°, după care se diluează lent cu 30 ml apă rece cînd nitrozourea precipită și agitarea se continuă încă 0,5 ore pentru perfecțarea reacției. Solidul format se filtrează, se spală cu apă și se usucă (exicator/P<sub>2</sub>O<sub>5</sub>). Produsul brut astfel obținut și uscat se purifică prin reprecipitare din 20ml HCOOH 98-100% cu 20ml apă (vezi 3.1.2.). Se obțin în final 0,9g η = 76% nitrozouree 5e.

3.1.7. 1,7-Heptametilen bis (1-ciclohexil-3-nitrozouree), 5f.

1,35 mmoli (0,5 g) uree 56f se dizolvă la temperatura camerei în 5ml HCl conc. și 5 ml HCOOH 98-100%. La soluția obținută și răcitată

la  $0-5^{\circ}$  se adaugă treptat 7,24 mmoli (0,5 g)  $\text{NaNO}_2$ , după care amestecul se mai agită o oră la această temperatură și se diluează cu 25 ml apă. Uleiul format se extrage cu  $\text{CHCl}_3$  (2x10ml). Extractele cloroformice reunite se spală cu apă (3x15ml), se usucă ( $\text{Na}_2\text{SO}_4$ ) și se concentrează sub vacum cînd se obține un ulei care prin ședere la vid cristalizează (24-30 ore). Produsul brut astfel obținut se purifică prin reprecipitare din 10 ml  $\text{HCOOH}$  98-100% cu 10 ml apă (conform 3.12). Uleiul rezultat cristalizează în timp. Se titrurează cu eter de petrol, se obțin în final 0,5 g  $\eta = 86,7\%$ , 5f.

- tabel 36,37 -

XVIII.3.2. Derivați alifatici mono și bis [1-(2-cloretil)-1-nitrozouree]

3.2.1. 2-Cloretil-carbamoil azide, 68.

La o soluție 5%  $\text{HN}_3$  în  $\text{CHCl}_3$  (circa 1 mol) se adaugă 25 ml DMSO și apoi 0,08 moli (8,7g) 2-cloretil izocianat, astfel încît temperatura amestecului să se mențină în limitele  $45-55^{\circ}$ . După terminarea reacției agitarea se continuă încă o oră la aceeași temperatură (sfîrșitul reacției se determină spectrofotometric în ir prin urmărirea dispariției benzii de izocianat  $\nu_{\text{NCO}} = 2270 \text{ cm}^{-1}$ ). Soluția rezultată se concentrează sub vacum la 1/3 din volum, se toarnă peste 50 ml apă și se extrage cu încă 2x20 ml  $\text{C}_6\text{H}_6$ . Stratul organic și extractele benzenice reunite se usucă ( $\text{Na}_2\text{SO}_4$ ), se toarnă peste 300 ml eter de petrol și se lasă peste noapte la frigider. Se filtrează precipitatul rezultat cînd se obțin 6 g,  $\eta = 50\%$ , 68.

3.2.2. 1,7-Heptametilen bis [1-(2-cloretil)-1-nitrozouree], 5a.

Prepararea 2-cloretil-N-nitrozocarbamoil azide, 5l. Se ridică la  $0^{\circ}$  un amestec format din 5 g acétat de sodiu (proaspăt topit), 0,5 g  $\text{P}_2\text{O}_5$ , 15 ml anhidridă acetică și 35 ml acid acetic. La acesta se adaugă 0,025 moli (3,71 g) 2-cloretil carbamoil azidă (preparată conform 3.2.1.).

Tabel 26

Caracteristici spectrale în ir ale derivaților alifatici de  
bis (1-ciclohexil-uree), KBr,  $\text{cm}^{-1}$



Nr. comp.	n	$\gamma_{\text{CO}}$ amidă I	$\delta_{\text{CN}}$ amidă II	$\gamma_{\text{NH}}$
56a	2	1640	1595	3325, 3345
56b	3	1630	1578	3350, 3370
56c	4	1630	1585	3320, 3350
56d	5	1625	1575	3320, 3350
56e	6	1635	1580	3325, 3360
56f	7	1640	1580	3320, 3350
56g	8	1635	1575	3325, 3350

Tabel 27

Caracteristici spectrale în ir ale derivaților alifatici de  
bis(1-ciclohexil-3-nitrozouree), KBr,  $\text{cm}^{-1}$



Nr. comp.	n	$\gamma_{\text{CO}}$ amidă I	$\delta_{\text{CN}}$ amidă II	$\gamma_{\text{NNO}}$
5a	2	1715	1540	1495
5b	3	1715	1545	1498
5c	4	1710 1730 <sup>(1)</sup> 1765 <sup>(2)</sup>	1545 1535 <sup>(1)</sup> 1525 <sup>(2)</sup>	1490 <sup>(1)</sup> 1490 <sup>(2)</sup>
5d	5	1710 1730 <sup>(2)</sup>	1538 1525 <sup>(2)</sup>	1488 1450 <sup>(2)</sup>
5e	6	1714 1725 <sup>(1)</sup>	1540 1530 <sup>(1)</sup>	1495 1485 <sup>(1)</sup>
5f	7	1715 1730 <sup>(1)</sup>	1535 1540 <sup>(1)</sup>	1490 1490 <sup>(1)</sup>
5g	8	1715 1725 <sup>(1)</sup>	1535 1540 <sup>(1)</sup>	1485 1490 <sup>(1)</sup>

1)  $\text{CHCl}_3$  2)  $\text{CCl}_4$

și apoi încet menținind temperatura la  $0^{\circ}$  15 ml NOCl (soluție 15% în anhidridă acetică). După terminarea adăugării se continuă agitarea circa 90 de minute la aceeași temperatură (sfîrșitul reacției se apreciază spectrofotometric prin dispariția benzii de azidă de la  $\nu_{CN_3} = 2110 \text{ cm}^{-1}$  în ir, prin dispariția  $\nu_{NH}$  sau rmn, prin apariția tripletului caracteristic grupării  $\text{Cl}(\text{CH}_2)_2\text{N}(\text{NO})_2$ ). Amestecul de reacție se diluează cu 120 ml apă ( $0-5^{\circ}$ ) și se extrage cu 3x25 ml  $\text{CCl}_4$ . Extractele organice reunite se spală cu 2x15 ml apă, 2x15 ml sol.  $\text{Na}_2\text{CO}_3$ , se agită o oră cu 50 ml apă și 5 g schimbători de ioni. Se filtrează schimbătorul iar stratul organic se usucă pe  $\text{MgSO}_4$ , utilizându-se ca atare.

Prepararea 1,7-heptameten-bis 1-(2-cloretil)-1-nitrozourе, 6a.

La soluția cloroformică de 2-cloretil nitrozocarbamoil azidă preparată anterior, se adaugă cu agitare și răcire ( $0-5^{\circ}$ ) o soluție conținând 0,01 moli (1,3g) 1,7-heptan diamină 54a în 50 ml HMTP. După terminarea adăugării, se continuă agitarea încă 2 ore, îndepărând răcirea. Amestecul de reacție se filtrează iar filtratul se spală succesiv cu 3x35 ml apă, 3x25 ml sol. HCl 10%, 2x35 ml apă, se usucă ( $\text{MgSO}_4$ ) și se concentrează sub vacum. Rezultă un ulei care la titrare cu eter de petrol se solidifică. Se purifică prin cromatografie pe coloane de Fluorisil folosind ca eluent  $\text{C}_6\text{H}_6$ . Se obțin 2,58 g ( $\eta = 60\%$ ) 6a.

3.2.3. 1-(2-Cloretil)-3-(2',3'-dimetroxifenil)-uree, 65.

La o soluție conținând 0,012 moli (2,0g) amină 64, 3 ml  $\text{Et}_3\text{N}$  și 20 ml benzen anhidrizat, se adaugă sub agitare și menținind temperatura între  $15-20^{\circ}$ , 0,012 moli (11,28g) 2-cloretil izocianat. După terminarea adăugării, amestecul de reacție se lasă sub agitare, la temperatură camerei, peste noapte. Se evaporă apoi solventul sub vid, iar rezidiul rămas se titrurează cu apă acidulată (HCl), și se extrage cu benzen (2x20 ml). Extractele benzenice se usucă ( $\text{Na}_2\text{SO}_4$ ) și se toarnă, cu agitare, peste 200 ml eter de petrol. Precipitatul format se separă prin filtrare, cind se obțin 1,81 g ( $\eta 55,52\%$ ) uree 65, pt 118 ( $\text{C}_{12}\text{H}_{17}\text{N}_2\text{O}_3\text{Cl}$ ).

calc.% : C = 52,84; H = 6,24; N = 10,28; Cl = 13,03; găsit % : C = 53,54; H = 7,01; N = 10,18; Cl = 12,79;  $\gamma_{C=O}$  1630,  $\text{CHCl}_3$ .

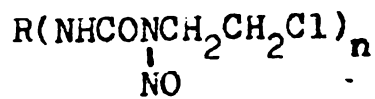
3.2.4.1-(2-Cloretil)-3-(2',3'-dimetoxifenil)-1-nitrozouree, 66.

La 0,007 moli (1,81 g) uree 65, dizolvate în 17 ml HCOOH 98-100% rece ( $0-5^\circ$ ) se adaugă în porțiuni, cu agitare și răcire 0,014 moli (1,00g)  $\text{NaNO}_2$ . După o oră de la terminarea adăugării amestecul de reacție, menținut la  $0-5^\circ$ , se diluează încet cu 50 ml  $\text{H}_2\text{O}$  rece. Se formează un ulei care se extrage cu eter etilic (3x30 ml). Extractele eterice se spală cu apă (3x20 ml), se usucă ( $\text{Na}_2\text{SO}_4$ ) și se evaporă la vid. Rezultă un ulei, galben pal, care se reprecipită din 15 ml HCOOH 98-100% (conf. 3.1.2.). Se obțin astfel 1,9 g ( $\eta$  95%) 66, solid galben pal, pt 36-38° ( $\text{C}_{12}\text{H}_{16}\text{N}_3\text{O}_4\text{Cl}$ ; calc.% : C = 47,76; H = 5,31; N = 13,93; Cl = 11,77; găsit % : C = 48,20; H = 5,65; N = 14,00; Cl = 12,14;  $\gamma_{C=O}$  = 1710  $\text{cm}^{-1}$ ,  $\text{CHCl}_3$ ;  $\delta_{(\text{ppm})}$  :  $\text{ClCH}_2\text{CH}_2\text{N}(\text{NO})$  3,50, 2H;  $\text{ClCH}_2\text{CH}_2\text{N}(\text{NO})$  3,42, 2H, J = 6,00 Hz).

- tabel 38 -

Tabel 38

Caracteristici spectrale în ir ale unor derivați de  
1-(2-cloretil)-1-nitrozouree



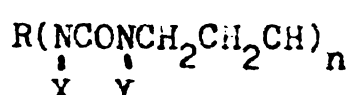
Nr. comp.	R	n	$\gamma_{CO}$	$\delta_{CN}$	$\gamma_{NNO}$	solv.
<u>48</u>		1	1712	1510	1495	KBr
<u>66</u>		1	1720	1580	1485	$\text{CHCl}_3$
<u>6a</u>	$(\text{CH}_2)_7$	2	1720	1530	1490	$\text{CHCl}_3$
<u>6b</u>	$(\text{CH}_2)_8$	2	1720	1520	1490	$\text{CHCl}_3$

XVIII.4. Derivați de 1-(2-hidroxietil)-1(3)-nitrozouree.

Sinteza compușilor a fost descrisă în cap.XIII.4. Atribuirile structurale s-au făcut pe baza analizelor elementare (tabel 14,15), spectrelor IR (cap.XIV.1, tabel 39), spectrelor RMN (cap.XIV.2.) și spectrelor de masă (cap.XIV.3).

Tabel 32

Caracteristici spectrale în IR ale 2-hidroxietil ureelor și nitrozoureelor



Nr. comp.	R	X	Y	n	$\nu_{CO}$	$\delta_{CN}$	$\nu_{NNO}$	Solv.
65	C <sub>6</sub> H <sub>11</sub>	H	H	1	1610	1580	-	KBr
13	C <sub>6</sub> H <sub>11</sub>	H	NO	1	1705	1545	1495	CHCl <sub>3</sub>
64	(CH <sub>2</sub> ) <sub>6</sub>	H	H	2	1625	1590	-	KBr
14	(CH <sub>2</sub> ) <sub>6</sub>	NO	H	2	1710	1520	1485	CHCl <sub>3</sub>

Se dă următoarele exemple de sinteză :

4.1. 1,6-Hexametilen bis[1-(2-hidroxietil)-uree]. 64 (n=6)

La o soluție conținând 0,2 moli (12,2g) monoetanol amindă în 100 ml eter de petrol se adaugă treptat, cu agitare, menținindu-se temperatură în limitele 10-15°, 0,1 moli (20,0 g) 1,6-hexametilen diizocianat, 53d. După terminarea adăugării se mai agită o oră la temperatură camerei. Precipitatul format se separă prin filtrare. Se obțin astfel 30,55 g  $\gamma = 95\%$  64.

4.2. 1,6-Hexametilen bis[1-(2-hidroxietil)-3-nitrozouee],

14e (n=6).

0,01 moli (2,9 g) uree 64 se dizolvă în 20 ml HCl conc., la 0-5°. Soluția obținută se diluează cu 30 ml apă și apoi se adaugă treptat cub

agitare și răcire 0,043 moli (2,97 g)  $\text{NaNO}_2$ . Se continuă agitarea, la rece, încă o oră, după care se diluează cu 60 ml apă. Se obține un precipitat cleios galben care se separă și după uscare, se dizolvă în 35 ml MeOH și se încălzește 0,5 ore la 40-50°. Produsul obținut prin filtreazăre la vid, a metanolului, se purifică prin reprecipitare din 40 ml HCOOH 98-100% cu 45 ml apă (vezi XIII.4.). Se obțin în final 2,78 g 14e ( $n=6$ ).

#### XVIII.5. N-(2-cloretil)uretani și nitrozouretani

Sinteza a fost discutată anterior (cap.XIII.5). Se dau în continuare exemple de obținere a uretanilor prin ambele metode expuse în schema 6 precum și în ceea ce privește nitrozarea acestora. Analizele elementare (tabel 16), spectrele IR (tabel 41) și cele de masă confirmă structura propusă.

- tabel 40 -

##### 5.1. N-(2-cloretil)-O-ciclohexil-uretan, 76.

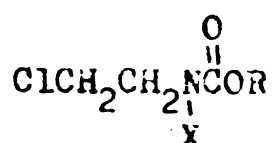
Se adaugă încet, cu agitare, 0,2 moli (20,2 g)  $\text{Et}_3\text{N}$  la o soluție conținând 0,1 moli (16,25 g) ciclohexil cloroformiat și 0,1 moli (11,6 g) 2-cloretil amină clorhidrat în 100 ml benzen. Se agită amestecul timp de 24 ore la temperatura camerei. După acest răstimp soluția se filtrează de eventualele impurități și filtratul se spălă succesiv cu 2x35 ml apă, 2x35 ml HCl 10%, 3x35 ml apă, se usucă ( $\text{Na}_2\text{SO}_4$ ) iar apoi solventul se îndepărtează la vid. Rezultă un ulei care cristalizează în timp. Se obțin 20,18 g ( $\eta = 99,2\%$ ), 76.

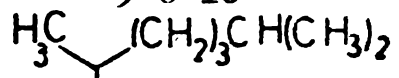
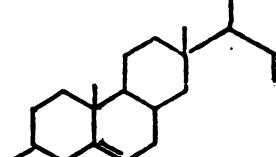
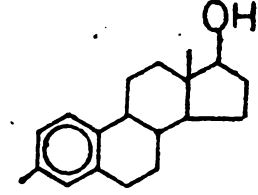
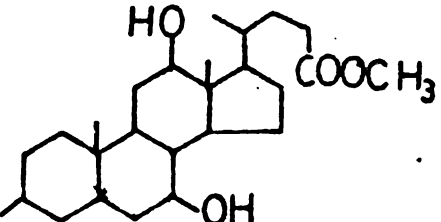
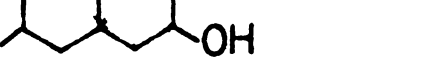
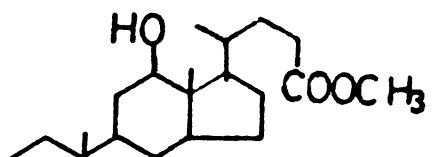
##### 5.2. N-(2-cloretil)-N-nitroso-O-ciclohexil-uretan, 77.

0,034 moli (6,98 g) uretan 76 se dizolvă în 50 ml HCOOH 98-100% rece (0-5°) și la soluția obținută se adaugă în porțiuni 0,102 moli (7,04 g)  $\text{NaNO}_2$  având grija ca temperatura să se mențină între 0-5°. După terminarea adăugării se continuă agitarea încă 1 oră, apoi amestecul de reacție se diluează cu 70 ml apă iar uleiul format se extrage cu 3x45 ml benzen. Extractele benzeneice reunite se spălă cu 3x25 ml apă, 3x45 ml benzen. Extractele benzeneice reunite se spălă cu 3x25 ml apă,

Tabel 4o

Caracteristici spectrale în ir ale 2-cloretil uretanilor  
și nitrozouretanilor



Nr. comp.	R	X	$\gamma_{\text{CO}}$	$\gamma_{\text{NNC}}$	Solv.
<u>76</u>	$\text{C}_6\text{H}_{11}$	H	1710	-	$\text{C}_6\text{H}_6$
<u>77</u>	$\text{C}_6\text{H}_{11}$	NO	1720	1495	$\text{C}_6\text{H}_6$
<u>78</u>	$4-\text{CH}_3\text{C}_6\text{H}_{10}$	H	1710	-	$\text{C}_6\text{H}_6$
<u>79</u>	$4-\text{CH}_3\text{C}_6\text{H}_{10}$ 	NO	1730	-	$\text{C}_6\text{H}_6$
<u>80</u>		H	1680	-	KBr
<u>81</u>		H	1690	-	KBr
<u>82</u>		H	1690-1715	-	KBr
<u>83</u>		NO	1725	1505	$\text{CHCl}_3$
<u>84</u>		H	1680-1710	-	KBr
<u>85</u>		NO	1720, 1710	1505	$\text{C}_6\text{H}_6$

se usucă ( $\text{Na}_2\text{SO}_4$ ) și apoi solventul se îndepărtează la vid. Se obține un ulei care se purifică prin cromatografie pe Kissellgur, eluent benzen. Prin concentrarea soluțiilor benzenice se obține un ulei galben-măsliniu, 4,97g ( $\eta = 62,3\%$ ) de 77.

5.3. 3-N-(2-cloretil)-carbamoil estradiol, 81.

Se agită 5 zile la temperatura camerei un amestec format din 1,84 mmoli (0,50g) estradiol, 1,84 mmoli (0,19 g) 2-cloretil izocianat și 1,84 mmoli (0,18 g)  $\text{Et}_3\text{N}$  în 10 ml dioxan anhidru. După acest interval amestecul se toarnă peste 100 ml eter de petrol, iar precipitatul cleios format se separă prin decantarea supernatantului. Prin titrarea succesiivă a acestui clei cu apă, HCl 10% apă și eter de petrol se obține finalmente un solid ce se purifică prin dizolvarea în 15 ml EtOH și adăugarea lentă a unei soluții HCl 1% (75 ml). După ușcarea precipitatul se recristalizează din benzen : eter de petrol/1:7. Se obțin 0,1 g ( $\eta = 14,00\%$ ), 81.

5.4. 3 - N-(2-cloretil)-carbamoil -metil colat, 82.

Se adaugă în picături 5 ml  $\text{Et}_3\text{N}$  la un amestec de 0,01 moli (4,86g) colat de metil, 0,02 moli (2,32 g), 2-cloretil amină HCl în 50 ml benzen anhidru, se lasă cu agitare 48 ore. Filtrare. Soluția se spălă cu 3x15 ml apă, 3x15 ml HCl 10% și 3x15 ml apă, se usucă, se concentrează la 1/3 din volum și se precipită prin turnare peste 250 ml eter de petrol. Recristalizare din benzen: eter de petrol/1:7. Se obțin 3 g ( $\eta = 60,20\%$ ), 82.

5.5. 3 - N-(2-cloretil)-nitrozo-carbamoil -metil colat, 83.

Se dizolvă 0,001 moli (0,53 g) uretan 77 în 10 ml HCOOH 98-100%, rece. Se adaugă treptat cu agitare și răcire ( $0-5^\circ$ ) 0,02 moli (1,38 g)  $\text{NaNO}_2$ , se continuă agitarea încă o oră și se precipită cu 20 ml apă. Precipitatul după filtrare, spălare cu apă și ușcare, se dizolvă în 10 ml MeOH și soluția se aduce la  $45-50^\circ$  timp de 30 min. Se îndepărtează solventul la vid și solidul rămas se recristalizează din benzen: eter de petrol/

1:7. Se obțin 0,3 g ( $\eta = 53,60\%$ ), 83.

XVIII.6. Procedeu de obținere a 2-cloretil izocianatului.

6.1. N-(2-hidroxietil)-uretan(87).

Se refluxează timp de 12 ore un amestec de 1 mol (61 g) monoetanolamină și 1,1 moli (129,8 g) dietil carbonat și apoi acesta este supus distilării sub vacuum. Se colectează fracția cu pf 169-172°/12 mmHg și se redistilă. Se obțin 130 g 87 ( $\eta 98\%$ , pf 177-180°/12 mmHg).

6.2. 2-Cloretil izocianat (8)

La o soluție de 0,39 moli (50 g) clorură acidă a acidului 3-cloro-propionic (84) în 50 ml tetralină se adaugă încet cu agitare și încălzire ușoară (30-40°) și intermitentă, 0,78 moli (50 g)  $\text{NaN}_3$  activată /217/. După terminarea adăugării se încălzește lent la 80-85° și se menține această temperatură pînă cînd degajarea de azot încetează (efîrsitul reacției se determină spectrofotometric în ir prin dispariția absorbțiilor caracteristice clorurii acide și azidei de la 1800 și respectiv 2150  $\text{cm}^{-1}$ ). Se distilă izocianatul 28-30/10 mmHg, se obțin 32g,  $\eta 77\%$  (pf lit. 41/12 mmHg /135/).

XVIII.7. Procedeu tehnologic de prenărare a 1-(2-cloretil)-3-ciclonexil-1-nitrozoureii.

7.1. 1-(2-Cloretil)-3-ciclonexil-ureea (86).

Se agită o oră, la temperatura camerei un amestec de 3 moli (348g) 2-cloretil amină HCl, 258 ml  $\text{Et}_3\text{N}$  în 1000 ml benzen anhidru. Se răcește la 0-5° și se adaugă 2 moli (250 ml) ciclohexil izocianat în trei porțiuni a către 100 ml, 100 ml și respectiv 50 ml, astfel: adăugarea izocianatului se face în asa fel încît temperatura mediului să nu depășească 10°, se lasă amestecul să ajungă lent la temperatura camerei și cu agitare peste noapte. Se verifică spectrofotometric dacă a reacționat tot izocianatul și numai apoi se adaugă porțiunea următoare. Precipitatul se filtrează și se spălă cu 4x250 ml apă, 4x250 ml HCl 10%, 4x250 ml apă. Se usucă la vid/ $\text{P}_2\text{O}_5$ . Se obțin 408 g ( $\eta 100\%$ ).

### CONCLUZII

Cercetările efectuate în cadrul lucrării de doctorat su urmărit:

- sinteza și studiul unor noi deriveți de 2-cloretil nitrozo-uree, potențial antileucemici ;
- determinarea unor corelații calitative și cantitative struc-  
tură chimică-activitate biologică în această clasă de compuși, în vede-  
rea obținerii unor informații suplimentare privind condițiile structu-  
rale necesare unei activități biologice optime;
- aplicarea experienței cîștigate în acest domeniu prin asimi-  
larea și introducerea în rețeașa medicală a unor citostatice din aceas-  
tă clasă, de mare utilitate clinică (CCNU și MeCCNU).

Rezultatele experimentale prezentate și interpretarea lor per-  
mit conturarea următoarelor concluzii generale :

1. În dezvoltarea temei am încercat o abordare rațională a dome-  
niului N-NU, atât pe baza unor considerente teoretice cît și prin core-  
lații cantitative (QSAR), care să ne conducă la confirmarea, infirmarea  
sau evidențierea unor noi condiții structurale necesare unei activități  
antileucemice superioare.

În acest scop proiectarea de noi compuși în această clasă a ur-  
mărit :

- grefarea grupării 2-cloretil nitrozouree pe structuri chimice  
cu proprietăți certe de transportor pentru alte funcțiuni citotoxice  
(ca de ex. acidul 2-amino-4-metil-benzoic), sau pe structuri cu proprie-  
tăți farmacologice cunoscute, în vederea găsirii unor noi capătări de serie  
exploatabili;
- verificarea diferenței de activitate biologică între izomerii  
1-(2-cloretil)-1-nitrozo (1-NO) și 1-(2-cloretil)-3-nitrozouree (3-NO)  
în cazul unor serii omologe de bis nitrozouree alifatice și cicloalifa-  
tice;

- obținerea unor compusi capabili de activare metabolică;
- modificări ale structurii 2-cloretil-nitrozouree prin sinteza unor analogi 2-hidroxietil-nitrozouree sau 2-cloretil-nitrozoacetati;
- obținerea unor noi N-nitrozouree markate (cu markeri de spin) în vederea studierii comportării lor în vitro sau in vivo (res).

S-a acordat o atenție deosebită cercetărilor privind similaritățile în țară a unor citostatice cu valoare clinică din această clasă și anume CCNU (Nipalkin) și MeCCNU.

2. S-au sintetizat 83 compusi nedescrisi în literatura de specialitate aparținând următoarele clase :

- derivați aromatici de 2-cloretiluree și nitrozouree (10 compusi);
- derivați homo și heteroalifatici de 2-cloretiluree și nitrozouree: a) analogi de CCNU și MeCCNU (12 compusi, dintre care 3 sunt scizi 1,5-ditiaspiro 5,5 -undecanil carboxilici); b) derivați 4-(2,2,6,6-tetrametilpiperidinil)uree și nitrozouree (13 compusi); c) derivați policielici de 2-cloretiluree și nitrozouree (2 compusi);
- derivați polimetilenici bis [-(2-cloretiluree și 1(3)-nitrozouree] și bis [1-ciclohexil-uree și 3-nitrozouree] (32 compusi);
- derivați de 1-(2-hidroxietil)-uree și 1(3)-nitrozouree (4 compusi);
- N-(2-cloretil)-uretani și nitrozouretani (10 compusi).

3. În vederea obținerii derivațiilor de N-nitrozouree cu structurile menționate anterior, s-au utilizat următoarele căi de sinteză, selecționate atât pe baza unui studiu extens al literaturii aferente cât și în urma cercetărilor preliminare întreprinse în vederea evoluției lor:

- derivații de uree s-au obținut prin cuplarea isocianogilor cu aminele, în cadrul unor scheme care să ne permită, pe cît posibil, utilizarea unor intermediari comuni și obținerea unor serii de derivați omologi;
- nitrozoderivații de uree s-au obținut fie prin nitrozarea

directă a ureelor precursoare, în mediu acid cu azotit de sodiu, cît și direct din amine prin cuplare cu 2-cloretil-nitrozocarbamoil azide, un reactiv recent descris în literatură ce permite obținerea neechivocă a izomerilor 1-NO.

Dintre contribuțiile originale mai importante privind și sinteza derivatilor de uree și nitrozouree (menționate la pct. 2) subliniem :

a)- elaborarea unui proces tehnologic de preparare a CONU (Malkin), aplicat în stația pilot a Institutului Oncologic București, și care a constituit obiectul brevetului Rom. 34127/1977.

b)- îmbunătățirea procedeului de obținere a 2-cloretil nitrozocarbamoil azidei ;

c)- contribuții la studiul nitrozării unor derivați de uree greu solubili sau instabili în condițiile clasice de nitrozare;

d)- contribuții la îmbunătățirea sintezei 4-amino-2,2,6,6-tetrametil piperidinei;

e)- obținerea unor derivați de nitrozouree cu markeri de spin prin nitrozarea directă a nitroxilureelor corespunzătoare;

f)- realizarea simultană a deprotojării grupării cetonice și nitrozării funcțiunii ureidice în cazul 1,5-ditispiro-derivațiilor ;

g)- o nouă cale de sinteză a 2-cloretil izocianatului.

În afara acestor contribuții originale în lucrare sunt incluse și alte aspecte ce vizează îmbunătățirea unor procedee de sinteză, având ca efect direct creșterea randamentului, scăderea timpului de reacție, utilizarea unor reactanți mai accesibili, etc.

4. Noii compuși obținuți au fost caracterizați folosind rezultatele analizei elementare de C, H, N, Cl, S, spectrele în ir, raman, res, spectre de masă, temperatura de topire; toate determinările fiind efectuate pe produși cromatografic puri.

5. Pe baza analizei spectrelor ir, înregistrate pentru toți compușii sintetizați, se evidențiază deplasarea, la nitrozare, a benzii amidă I ( $\gamma_{C=O}$  uree  $1610-1650 \text{ cm}^{-1}$ ,  $\gamma_{C=O}$  nitrozouree  $1705-1730 \text{ cm}^{-1}$ ). Această deplasare, cunoscută din literatură, a fost utilizată de noi în aprecierea cantitativă a randamentelor nitrozării.

De asemenea, spectrele ir s-au utilizat la monitorizarea reacțiilor de sinteză a derivaților de uree, a izocianatilor, etc.

6. Spectrele rmn au fost utilizate în vederea atribuirilor structurale privind natura și puritatea izomerică a nitrozoderivaților de uree, obținuți prin nitrozare random. În ceea ce privește deplasările chimice ale protonilor aparținând celor două grupări metilenice ale funcțiunii  $N(NO)CH_2CH_2Cl$  datele de literatură sunt contradictorii. S-au adus dovezi experimentale în vederea atribuirii tripletului situat la cîmpuri mai joase ( $\delta = 4,05-4,27 \text{ ppm}$ ) protonilor adiacenți grupării  $N(NO)$ . Una dintre ele constă în posibilitatea localizării neechivoce a grupării metilenice adiacente OH (în prezență și absență  $D_2O$ ) în 1-(2-nidroxietil)-1-nitrozo-3-ciclohexiluree ( $\delta = 3,60 \text{ ppm}$ ) sintetizată de noi.

Folosind spectroscopia rmn se pot face distincții clare între izomerii 1-NO și 3-NO, în majoritatea compușilor sintetizați de noi. În cazul derivaților de 4-(2,2,6,6-tetrametilpiperidinil)-uree apar posibilități suplimentare de nitrozare care complică atribuirea benzilor în rmn. Totuși, pe baza datelor obținute, lucrind pe serii de compuși omologi, s-a făcut o tentativă în acest sens, care a dus la rezultate coerente.

7. Spectrele de masă s-au efectuat pentru unii dintre compușii studiați, în vederea aducerii unor argumente suplimentare privind atribuirile structurale făcute.

8. Analiza spectrelor res a derivaților de uree și nitrozoures nitroxidici, evidențiază o slabă dependență a parametrilor res de natura funcțiunii uree sau nitrozouree ceea ce îi recomandă ca markeri de spin.

9. În vederea calculării unor relații cantitative structură-proprietăți fizico-chimice - activitate biologică s-au determinat, pentru majoritatea nitrozoderivatilor sintetizați: a) parametrii fizico-chimici; lipofilicitatea ( $\log P$ ), viteza de alchilare ( $A$ ) și timpul de înjumătățire ( $T_{0,5}$ ) în condiții fiziologice (pH 7,4, 37°); b) parametrii biologici: toxicitatea acută ( $DL_{50}$ ) și activitatea antitumorală pe două tipuri de tumorî.

10. Investigarea parametrilor fizico-chimici evidențiază în serie polimetilen bis 1-(2-cloretil)-3-nitrozoureelor o dependență aproape liniară a acestora de numărul grupărilor metilen din moleculă, fără a se putea stabili însă corelații cantitative între ei.

11. Determinările farmacologice privind toxicitatea acută ( $DL_{50}$ ) și activitatea anticanceroasă (pe carcinosarcomul  $W_{256}$  și leucemia  $L_{1210}$ ) efectuate pentru majoritatea compusilor sintetizați au semnalat proprietățile surprinzătoare ale compusului 1,7-heptametilen bis 1-(2-cloretil)-3-nitrozouree. Este pentru prima dată cînd în această clasă de compuși se evidențiază activitatea antileucemică a izomerilor  $\beta$ -NO, ceea ce dovedește că, cel puțin în cazul unor structuri, afirmația din literatură, conform căreia acești izomeri nu prezintă interes biologic, nu este valabilă.

Dintre compusii sintetizați au prezentat activitate biologică interesantă, fiind propuși pentru testare clinică: 1,7-heptametilen bis[1-(2-cloretil)-1-nitrozourea] și 1,8-octametilen bis[1-(2-cloretil)-1-nitrozourea].

12. Parametrii fizico-chimici au fost corelați cu cei biologici utilizînd relații de tip Hansch. În acest scop s-a folosit analiza de regresie multilineară efectuată cu ajutorul unui calculator Felix CB12. Din relațiile obținute corelații bune au rezultat în serie polimetilen bis 1-(2-cloretil)-3-nitrozoureelor, cele mai semnificative fiind cele care se referă la corelarea activității antileucemice cu liposolubilitatea.

tatea și activitatea alchilantă.

13. Analizând datele obținute anterior și în special rezultatele corelațiilor cantitative structură chimică - activitate biologică (QSAR), este plauzibil de admis că în cazul 1-(2-cloretil)-3-nitrozoureelor, activitatea biologică se datorează, cel puțin parțial, 2-cloretil izocianatului, produs *in vivo* consecutiv descompunerii acestor compuși. Activitatea biologică a compușilor 3-NO s-ar putea explica prin inducerea formării unor legături încrucișate (crosslinking-uri) între ADN și proteine, după un mecanism în două trepte: a) carbamoilarea grupărilor NH<sub>2</sub> din histonele celulare H<sub>1</sub> (bogate în lisină) de către 2-cloretil izocianat cu formarea unor derivați de 2-cloretiluree ai unor aminoacizi; b) alchilarea de către aceștia a ADN-ului (de ex. printr-o reacție cu o grupă OH, cum ar fi O<sup>6</sup>- din guanină). De asemenea se sugerează posibilitatea ca 2-cloretil izocianatul să carbamoileze enzimele implicate în mecanismele de reparare (ADN-polimerază I) contribuind astfel la amplificarea efectului antitumoral induș de alchilarea ADN-ului.

14. Toți compușii, care au fost testați conform testului de mutagenică Ames (pe bacterii S.thyphimurium his<sup>-1</sup>, TA38 și TA100) chiar și cei lipsiți de activitate biologică, sunt mutageni, ceea ce sugerează că activitatea mutagenă, deși localizată tot la nivelul ADN, este mai nespecifică.

Anexa I

Listă abrevieri

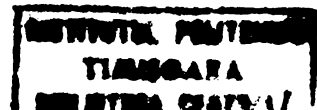
Simbol	Denumire
N-NU	N-nitrozouree
BCNU	1,3-bis-[1-(2-cloretil)-1-nitrozouree]
CCNU	1-(2-cloretil)-3-ciclohexil-1-nitrozouree
MeCCNU	1-(2-cloretil)-3-(4-metil-ciclohexil)-1-nitrozouree
Streptozotocina	2-(3-metil-3-nitrozouree)-2-deoxi-D-glucopiranoză
Clorozotocina	2-[3-(2-cloretil)-3-nitrozouree]-2-deoxi-D-glucopiranoză
MNU	1-metil-1-nitrozouree
HFCNU	1-(2-cloretil)-3-[1'-(5'-p-nitrobenzoil-2',3'-izopropiliden)- $\alpha$ , $\beta$ -D-ribofuranozil]-1-nitrozouree
PCNU	1-(2-cloretil)-3-(2,6-dioxo-3-piperidil)-1-nitrozouree
ACNU	1-(4-amino-2-metil-5-pirimidinil)-metil-3-(2-cloretil)-1-nitrozouree
HOOC-CCNU	1-(2-cloretil)-3-(4-carboxiciclohexil)-1-nitrozouree
BFNU	1,3-bis-[1-(2-fluoretil)-1-nitrozouree]
FCNU	1-(2-fluoretil)-3-ciclonexil-1-nitrozouree
FMNU	1-metil-3-(2-fluoretil)-1-nitrozouree
GANU	1-(2-cloretil)-3-( $\beta$ -D-glucopiranozil)-1-nitrozouree
i.c.	intracerebral
i.p.	intraperitoneal
DL <sub>50%</sub>	dозă letală 50%

DL <sub>10%</sub>	doză letală 10% (la o singură administrare i.p.)
ED <sub>99</sub>	doză unică care omoră 99% din celulele leucemice implantate i.p.
ED <sub>50</sub>	doză unică la care se obțin supraviețuirile de 50% la soareci cu $10^5$ celule leucemice implantate i.p.
CTS%	creșterea timpului de supraviețuire
ICT%	inhibiția cresterii tumorale
QSAR	relații cantitative structură-activitate (quantitative structure-activity relationships)
poli U	acid poliuridilic
poli A	acid poliedenilic
poli G	acid poliguaniilic
poli C	acid policitidilic
NBP	4-nitrobenzil piridină
EDTA	acid etilendiaminotetraacetic

Anexa II

Lista compusilor noi sintetizati

Nr. crt.	Denumire	Nr. compus
<b>A. Derivati de 1-(2-cloretil)-uree si nitrozouree aromatice</b>		
1.	1-(2-cloretil)-3-[1'-(3'-carboximetil-4'-metil)-fenil]-uree	17a
2.	1-(2-cloretil)-3-[1'-(2'-carboximetil-6'-metil)-fenil]-uree	17b
3.	1-(2-cloretil)-3-[1'-(2'-carboximetil-4'-metil)-fenil]-uree	17c
4.	1,3-bis-{3-[1-(2-cloretil)]-ureido}-4-metil-benzen	17d
5.	1-(2-cloretil)-3-[2-(3,3'-diclor)-azobenzen]-uree	17e
6.	1-(2-cloretil)-3-[1'-(3'-carboximetil-4'-metil)-fenil]-l-nitrozouree	18a
7.	1-(2-cloretil)-3-[1'-(2'-carboximetil-6'-metil)-fenil]-l-nitrozouree	18b
8.	1-(2-cloretil)-3-[1'-(2'-carboximetil-4'-metil)-fenil]-l-nitrozouree	18c
9.	1,3-bis-{3-[1-(2-cloretil)]-l-nitrozouree}-4-metil-benzen	18d
10.	1-(2-cloretil)-3-[2-(3,3'-diclor)-azobenzen]-l-nitro-zouree	18e
<b>B. Derivati homo si heterosalifatici de 1-(2-cloretil)-uree si nitrozouree.</b>		
a) Analogi de CCNU si MeCCNU		
11.	Acid 1,5-ditiaspiro[5,5]undecan-6-carboxilic	20a
12.	Acid 1,5-ditiaspiro[5,5]undecan-8-carboxilic	20b
13.	Acid 1,5-ditiaspiro[5,5]undecan-6-metil-8-carboxilic	20c
14.	1-(2-cloretil)-3-[1,5-ditiaspiro[5,5]-6-undecanil]-uree	22a



15. 1-(2-cloretil)-3-[1,5-ditiaspiro[5,5]-8-undecanil]-uree 22b  
16. 1-(2-cloretil)-3-[1,5-ditiaspiro[5,5]-6-metil-3-undecanil]-uree 22c  
17. 1-(2-cloretil)-3-[1,5-ditiaspiro[5,5]-6-undecanil]-1-nitrozouree 23a  
18. 1-(2-cloretil)-3-[1,5-ditiaspiro[5,5]-8-undecanil]-1-nitrozouree 23b  
19. 1-(2-cloretil)-3-[1,5-ditiaspiro[5,5]-6-metil-8-undecanil]-1-nitrozouree 23c  
20. 1-(2-cloretil)-3-(1-ciclohexil-2-one)-1-nitrozouree 25a  
21. 1-(2-cloretil)-3-(1-ciclohexil-4-onă)-1-nitrozouree 25b  
22. 1-(2-cloretil)-3-[1-(3-metil)-ciclohexil-4-onă]-1-nitrozouree 25c
- 

b) Derivati de 4-(2,2,6,6-tetrametil-piperidinil)-uree si nitrozouree

23. 1-metil-3-(2,2,6,6-tetrametil-4-piperidinil)-uree 37a  
24. 1-(2-cloretil)-3-(2,2,6,6-tetrametil-4-piperidinil)-uree 37b  
25. 1-ciclohexil-3-(2,2,6,6-tetrametil-4-piperidinil)-uree 37c  
26. 1-(1,5-ditiaspiro[5,5]-6-undecanil)-3-(2,2,6,6-tetrametil-piperidinil)-uree 37d  
27. 1-metil-3-(2,2,6,6-tetrametil-4-piperidinil)-1-nitrozouree 38a  
28. 1-(2-cloretil)-3-(2,2,6,6-tetrametil-4-piperidinil)-1-nitrozouree 38b  
29. 1-(metil-3-(2,2,6,6-tetrametil-4-piperidinil-1-nitroze)-l-nitrozouree 40  
30. 1-metil-3-(2,2,6,6-tetrametil-4-piperidin-1-oxi)-uree 41a  
31. 1-(2-cloretil)-3-(2,2,6,6-tetrametil-4-piperidin-1-oxi)-uree 41b  
32. 1-ciclohexil-3-(2,2,6,6-tetrametil-4-piperidin-1-oxi)-uree 41c

33.	1-[1,5-ditiaspiro[5,5]-s,s,s',s'-tetroxid-6-undecil]-3-(2,2,6,6-tetrametil-4-piperidin-1-oxi)-uree	41d
34.	1-metil-3-(2,2,6,6-tetrametil-4-piperidin-1-oxi)-1-nitrozouree	32a
35.	1-(2-cloretil)-3-(2,2,6,6-tetrametil-4-piperidin-1-oxi)-1-nitrozouree	32b

c) Derivați de 2-cloretil uree și nitrozouree policiclice

36.	1-(2-cloretil)-3-[8-(5',6'-benzo)-hexahidroindanil]-uree	47
37.	1-(2-cloretil)-3-[8-(5',6'-benzo)-hexahidroindenil]-1-nitrozouree	48

C. Derivați alifatici de bis 1-(2-cloretil)-uree și 1(3)-nitrozouree și bis(1-ciclohexil-uree și 3-nitrozouree)

a) Derivați alifatici de bis 1-(2-cloretil) sau ciclohexil uree și 3-nitrozouree

38.	1,2-etilen bis[1-(2-cloretil)-uree]	55a
39.	1,3-trimetilen bis[1-(2-cloretil)-uree]	55b
40.	1,4-tetrametilen bis[1-(2-cloretil-uree)]	55c
41.	1,5-pentametilen bis[1-(2-cloretil-uree)]	55d
42.	1,6-hexametilen bis[1-(2-cloretil)-uree]	55e
43.	1,7-heptametilen bis[1-(2-cloretil)-uree]	55f
44.	1,8-octametilen bis[1-(2-cloretil)-uree]	55g
45.	1,2-etilen bis(1-ciclohexil-uree)	56a
46.	1,3-trimetilen bis(1-ciclohexil-uree)	56b
47.	1,4-tetrametilen bis(1-ciclonexil-uree)	56c
48.	1,5-pentametilen bis(1-ciclohexil-uree)	56d
49.	1,6-hexametilen bis(1-ciclohexil-uree)	56e
50.	1,7-heptametilen bis(1-ciclonexil-uree)	56f
51.	1,8-octametilen bis(1-ciclohexil-uree)	56g
52.	1,2-etilen bis[1-(2-cloretil)-3-nitrozouree]	4a

---

53.	1,3-trimetilen bis [l-(2-cloretil)-3-nitrozouree]	4b
54.	1,4-tetrametilen bis[l-(2-cloretil)-3-nitrozouree]	4c
55.	1,5-pentametilen bis[l-(2-cloretil)-3-nitrozouree]	4d
56.	1,6-hexametilen bis [l-(2-cloretil)-3-nitrozouree]	4e
57.	1,7-heptametilen bis[l-(2-cloretil)-3-nitrozouree]	4f
58.	1,8-octametilen bis[l-(2-cloretil)-3-nitrozouree]	4g
59.	1,2-etilen bis(l-ciclohexil-3-nitrozouree)	5a
60.	1,3-trimetilen bis(l-ciclonexil-3-nitrozouree)	5b
61.	1,4-tetrametilen bis(l-ciclohexil-3-nitrozouree)	5c
62.	1,5-pentametilen bis(l-ciclohexil-3-nitrozouree)	5d
63.	1,6-hexametilen bis(l-ciclohexil-3-nitrozouree)	5e
64.	1,7-heptametilen bis(l-ciclohexil-3-nitrozouree)	5f
65.	1,8-octametilen bis(l-ciclohexil-3-nitroxouree)	5g

---

b) Derivați alifatici de mono si bis l-(2-cloretil)-uree  
si l-nitrozouree

66.	1,7-heptametilen bis[l-(2-cloretil)-l-nitrozouree]	6a
67.	1,8-octametilen bis[l-(2-cloretil)-l-nitrozouree]	6b
68.	l-(2-cloretil)-3-(2',3'-dimetoxifenil)-uree	65
69.	l-(2-cloretil)-3-(2',3'-dimetoxifenil)-l-nitrozouree	66

---

D. Derivați de l-(2-hidroxietil)-uree si l(3)-nitrozouree

70.	l-(2-nidroxietil)-3-ciclohexil-uree	65
71.	1,6-hexametilen bis[l-(2-nidroxietil)-uree]	64
72.	l-(2-hidroxietil)-3-ciclohexil-l-nitrozouree	13
73.	1,6-hexametilen bis[l-(2-nidroxietil)-l-nitrozouree]	14

---

E. N-(2-cloretil)-uretani si nitrozouretari

74.	N-(2-cloretil)-carbamoiil ciclonexan	76
-----	--------------------------------------	----

75.	N-(2-cloretil)-N-nitrozo-carbamoil ciclonexan	77
76.	N-(2-cloretil)-carbamoil-(4-metil)-ciclonexan	78
77.	N-(2-cloretil)-N-nitrozo-carbamoil-(4-metil)-ciclohexan	79
78.	3- N-(2-cloretil)-carbamoil -colesterol	80
79.	3- N-(2-cloretil)-carbamoil -estradiol	81
80.	3 - N-(2-cloretil)-carbamoil -metilcolat	82
81.	3 - N-(2-cloretil)-N-nitrozo-carbamoil -metilcolat	83
82.	3 - N-(2-cloretil)-carbamoil -metildeoxicolat	84
83.	3 - N-(2-cloretil)-N-nitrozo-carbamoil -metildeoxicolat	85

---

BIBLIOGRAFIE

- 1/ Methods in Cancer Research, Academic Press, 1979.
- 2/ C.G.Zubrod, Cancer Res. 38, 4377 (1978).
- 3/ J.A.Montgomery, T.P.Johnston și Y.F.Shealy, Burger's Medicinal Chemistry, 595 (1979).
- 4/ G.P.Wheeler și S.Chumley, J.Med.Chem. 10, 259 (1967).
- 5/ G.P.Wheeler, B.J.Bowdon și J.A.Grimsley, Cancer Res. 34, 194 (1974).
- 6/ G.P.Wheeler și B.J.Bowdon, Cancer Res. 25, 177c (1965).
- 7/ G.Gale, Biochem.Pharmacol. 14, 1207 (1965).
- 8/ R.F.Pittilo, A.Y.Narkates și J.Burns, Cancer Res. 24, 1222 (1964).
- 9/ D.P.Groth, J.H.D'Angelo, R.W.Vogler, E.S.Mingoli și B.Retz, Cancer Res. 31, 332 (1971).
- 10/ S.Green, Cancer Res. 26, 2481 (1966).
- 11/ G.P.Wheeler și B.J.Bowdon, Cancer Res. 28, 52 (1968).
- 12/ J.A.Montgomery, R.James, G.S.McCaleb și T.P.Johnston, J.Med.Chem. 10, 668 (1967).
- 13/ S.K.Carter și J.W.Newman, Cancer Chemother.Rept. part 3, 115 (1969).
- 14/ S.C.Barranco și R.M.Humphrey, Cancer Res. 31, 191 (1971).
- 15/ R.A.Tobey și H.A.Criessman, Cancer Res. 35, 400 (1975).
- 16/ R.A.Tobey, Nature (London), 254, 245 (1975).
- 17/ R.A.Bender și R.L.Dedrick, Cancer Chemother.Rept. 5C, 805 (1975).
- 18/ H.E.Skipper, F.M.Schabel, M.W.Trader și J.R.Thomson, Cancer Res. - 21, 1154 (1961).
- 19/ F.M.Schabel, T.P.Johnston și G.S.McCaleb, Cancer Res. 23, 725 (1963).
- 20/ M.O.Green și J.Greenberg, Cancer Res. 20, 116 (1960).
- 21/ S.K.Carter și T.H.Wasserman, Cancer Treat.Rept. 60, 807 (1976).
- 22/ A.F.Mckay și G.F.Wright, J.Amer.Chem.Soc., 69, 3027 (1947).
- 23/ K-A.Hyde, B.Winton, W.A.Skinner, L.Goodman, J.Greenberg și S.A.Baker, J.Med.Pharm.Chem. 5, 1 (1962).

- 24/ G.von Bruning, Berichte, 21, 1809 (1888).
- 25/ T.P.Johnston, G.S.McCaleb și J.A.Montgomery, J.Med.Chem. 6, 669 (1963).
- 26/ T.P.Johnston, G.S.McCaleb, P.S.Opliger și J.A.Montgomery, J.Med. Chem. 9, 892 (1966).
- 27/ T.P.Johnston, G.S.McCaleb, P.S.Opliger, W.R.Lester și J.A. Montgomery, J.Med.Chem. 14, 600 (1971).
- 28/ J.A.Montgomery, G.S.McCaleb, T.P.Johnston, J.G.Mayo și W.R. Lester, J.Med.Chem. 20, 291 (1977).
- 29/ P.F.Wiley, R.R.Herr, H.K.Jahnke, C.G.Chidester, S.R.Mizsak, L.Bayard și A.D.Argoudelis, J.Org.Chem. 44, 9 (1979).
- 30/ R.R.Herr, H.K.Jahnke și A.D.Argoudelis, J.Amer.Chem.Soc. 89, 4808 (1967).
- 31/ C.Hansch, N.Smith, R.Engle, Cancer Chemother.Rept. 56, 443 (1972).
- 32/ N.Rakieten, M.L.Rakieten și M.V.Nadkarni, Cancer Chemother.Rept. 29, 91 (1963).
- 33/ A.N.Fujiwara, E.M.Acton și D.W.Henry, J.Med. Chem. 17, 392 (1974).
- 34/ M.Iwasaki, M.Ueno, K.Ninomya, J.Sekine, Y.Nagamatsu și G.Kimura, J.Med.Chem. 19, 918 (1976).
- 35/ T.P.Johnston, G.S.McCaleb și J.A.Montgomery, J.Med.Chem. 18, 104, (1975).
- 36/ J.L.Montero, A.Moruzzi, J.Oiry și J.L.Imbach, Eur.J.Med.Chem. 12, 397 (1977).
- 37/ G.Mathé, B.Verrou, M.Hayat, F.de Vassal, J.L.Misset, L.S.Schwarz-zenberg, D.Machover, P.Tibaud, D.Delpompe, C.Jasmin, M.Musset, J.L.Montero și J.L.Imbach, Biomedicine, 27, 294 (1977).
- 38/ C.G.Moertel, A.J.Schutt și R.G.Hann, J.Natl.Cancer Inst. 54, 69 (1975).
- 39/ J.S.Kovach, C.G.Moertel și A.J.Senut, Cancer, 33, 563 (1974).

- 40/ V.I.Borisov, National Cancer Institute Monograph, 45, 243 (1977).
- 41/ P.S.Schein, L.Panasci, P.W.Wooley și T.Anderson, Cancer Treat.Rept. 60, 801 (1976).
- 42/ T.H.Wasserman, Cancer Treat.Rept. 60, 709 (1976).
- 43/ R.Gunnarsson, C.Verne și J.Hellerstrom, Biochem.J. 140, 487 (1976).
- 44/ P.S.Schein, D.A.Cooney, M.G.Mc Menamin și T.Anderson, Biochem.Pharmacol. 22, 2625 (1973).
- 45/ R.Althouse, J.Huff, L.Tomates și J.Wilbowrn, Cancer Res. 40, 1 (1980).
- 46/ J.A.Montgomery, J.G.Mayo și C.Hansch, J.Med.Chem. 17, 477 (1974).
- 47/ G.Eisenbrand, H.H.Fiebig și W.J.Zeller, Z.Krebsforsch. 86, 279 (1976).
- 48/ J.Hilton și M.V.Walter, Biochem.Pharmacol. 24, 2153 (1975).
- 49/ P.B.Farmer, A.B.Foster, M.Jarman, M.R.Oddy și D.J.Reed, J.Med.Chem. 21, 514 (1978).
- 50/ D.J.Steward, R.S.Benjamin, M.Leavens, M.Valdivieso, M.A.Burgess și G.P.Bodey, Cancer Res. 40, 3756 (1980).
- 51/ J.W.Lown, A.V.Joshua și L.W.Mc Laughlin, J.Med.Chem. 23, 798 (1980).
- 52/ T.Machinami, S.Nishiyama, K.Kikuchi și T.Suemi, Bull.Chem.Soc.Jpn. 48, 3763 (1975).
- 53/ T.Hisamatsu și S.Uchida, Gann, 68, 819 (1977).
- 54/ T.Suemi, T.Machinami și T.Hisamatsu, J.Med.Chem. 22, 247 (1979).
- 55/ T.Suemi, K.Tadano și W.Bradner, J.Med.Chem. 22, 314 (1979).
- 56/ T.Lin, P.H.Fischer, G.T.Shiu și W.R.Prusoff, J.Med.Chem. 21, 130 (1978).
- 57/ H.Lam, A.Begheiter și G.J.Goldenberg, J.Med.Chem. 22, 250 (1979).
- 58/ A.M.Crider, C.K.L.Lu, H.G.Floss, J.M.Cassedy și J.A.Clemens, J.Med. Chem. 22, 32 (1979).
- 59/ J.A.Montgomery, Cancer Treat.Rept. 60, 651 (1976).
- 60/ T.P.Johnston, J.S.Mc Caleb și J.A.Montgomery, J.Med.Chem. 18, 634 (1975).
- 61/ J.A.Montgomery, A.James, G.S.Mc Caleb, M.C.Kirk și T.P.Johnston, J.Med.Chem. 18, 568 (1975).

- 62/ T.H.Wasserman, M.Slavik și S.K.Carter, Eur.J.Cancer, 12, 41 (1976).
- 63/ E.A.Garrett, S.Goto și J.F.Stubbins, J.Pharm.Sciences, 54, 119 (1965).
- 64/ J.L.Boivin și P.A.Boivin, Can.J.Chem. 29, 473 (1951).
- 65/ J.K.Snyder și L.M.Stock, J.Org.Chem. 45, 886 (1980).
- 66/ R.Huisgen și H.Weimlinger, Ann. 599, 183 (1956).
- 67/ N.Colvin, J.W.Cowens, R.B.Brundrett, B.S.Kramer și D.B.Ludlum, Biochem.Biophys.Res.Commun. 60, 515 (1974).
- 68/ D.J.Reed, H.E.May, R.B.Boose, K.M.Gregory și N.A.Deilstein, Cancer Res. 35, 568 (1975).
- 69/ R.J.Weinkam și H.S.Lin, J.Med.Chem. 22, 1193 (1979).
- 70/ R.B.Brundrett, J.W.Cowens, N.Colvin și J.Jardine, J.Med.Chem. 19, 958 (1976).
- 71/ A.B.Foster, M.Jarman, P.L.Coe, J.Sleight și J.C.Fatlow, Comunicare ICREW,
- 72/ V.T.Oliverio, Cancer Treat.Rept. 60, 703 (1976).
- 73/ V.T.DeVita, P.P.Carbone și A.H.Owens, Cancer Res. 25, 1876 (1965).
- 74/ H.H.Hansen, O.S.Selvawry și F.W.Muggia, Cancer Res. 31, 223 (1971).
- 75/ R.C.Young, M.D.Walker și G.P.Canellos, Cancer, 31, 1164 (1973).
- 76/ V.T.Oliverio, W.M.Vietzke și E.K.Williams, Cancer Res. 30, 1330 (1970).
- 77/ F.P.Castronovo Jr., M.P.Potsaid și S.Kopiwoda, Cancer Res. 40, 3473 (1980).
- 78/ R.W.Sponzo, V.T.DeVita și V.T.Oliverio, Cancer, 31, 1154 (1973).
- 79/ H.E.May, R.Boose și D.J.Reed, Biochem.Biophys.Res.Commun. 57, 426 (1974).
- 80/ M.D.Walker și J.Hilton, Cancer Treat.Rept. 60, 725 (1976).
- 81/ G.P.Wheeler, T.P.Johnston, S.J.Bowden, G.W.McCalib, D.L.Hill și J.A.Montgomery, Biochem.Pharmacol. 26, 2331 (1977).
- 82/ J.M.Heel, P.A.Fox, D.Doukas și Ph.S.Schein, Cancer Res. 38, 1070 (1978).

- 83/ D.L.Hill, M.C.Kirk și R.F.Struck, Cancer Res. 35, 295 (1975).
- 84/ Ch.J.Cheng, Sh.Fujimura, D.Grunberger și I.B.Weinstein, Cancer Res. 32, 22 (1972).
- 85/ V.H.Bono Jr., Cancer Treat.Rept. 60, 699 (1976).
- 86/ B.S.Kramer, C.C.Fenselau și D.B.Ludlum, Biochem.Biophys.Res. Commun. 56, 783 (1974).
- 87/ D.B.Ludlum, B.S.Kramer și J.Wang, Biochemistry, 14, 5480 (1975).
- 88/ W.R.Tong și D.B.Ludlum, Biochem.Pharmacol. 27, 77 (1978).
- 89/ D.B.Ludlum și W.R.Tong, Biochem.Pharmacol. 27, 2391 (1978).
- 90/ K.W.Kohn, Cancer Res. 37, 1450 (1977).
- 91/ R.A.G.Ewig și K.W.Kohn, Cancer Res. 37, 2114 (1977).
- 92/ C.B.Thomas, R.Osieka și K.W.Kohn, Cancer Res. 38, 2448 (1978).
- 93/ L.C.Erickson, R.Osieka și K.W.Kohn, Cancer Res. 38, 802 (1978).
- 94/ L.C.Erickson, M.O.Bradley și K.W.Kohn, Cancer Res. 38, 672 (1978).
- 95/ P.W.Wolley, R.L.Dion, K.W.Kohn și V.H.Bono Jr., Cancer Res. 36, 1470 (1976).
- 96/ J.W.Lown; W.Larry și Y.N.Chang, Bioorg.Chem. 7, 97 (1978); CA 89 : 208909.
- 97/ G.P.Wheeler, Comunicare pers. International Cancer Res. Workshops Buc. mai 1979.
- 98/ H.E.Kann Jr., Cancer Res. 38, 2363 (1978).
- 99/ B.D.Baril, E.F.Baril, J.Laszlo și G.P.Wheeler, Cancer Res. 35, 1(1975).
- 100/ G.R.Gale, Biochem.Pharmacol., 14, 1707 (1965).
- 101/ H.E.Abelson, D.Karlan și S.A.Penman, Biochem.Biophys.Acta, 349, 389 (1974).
- 102/ H.E.Kann Jr., K.W.Kohn, L.Widerlite și D.Gullian, Cancer Res. 34, 1982 (1974).
- 103/ G.P.Wheeler, B.J.Bowdon și R.F.Struck, Cancer Res. 35, 2974 (1975).
- 104/ T.Anderson, M.G.McMenamin și Ph.S.Schein, Cancer Res. 35, 761 (1975).
- 105/ L.C.Panasci, D.Green, R.Nagourney, P.Fox și Ph.S.Schein, Cancer Res. 37, 2615 (1977).

- 106/ U.Hansch și J.M.Clayton, J.Pharm.Sci., 62, 1 (1973).
- 107/ B.J.Bowdon și G.P.Wheeler, Proc.Am.Assoc.Cancer Res., 12, 67 (1971).
- 108/ V.A.Levin și P.Kabra, Cancer Chemother.Rept. 58, 787 (1974).
- 109/ F.Helmer, K.Kiebs și U.Hansch, Biochemistry, 7, 2853 (1968).
- 110/ P.S.Schein, Cancer Res. 29, 1226 (1969).
- 111/ T.P.Johnston, G.S.Mc Caleb, S.D.Clayton, J.L.Trye, C.A.Krauth și J.A.Montgomery, J.Med.Chem. 20, 279 (1979).
- 112/ J.L.Montero, A.Moruzzi, J.Oiry și J.L.Imbach, Eur.J.Med.Chem.-Chimica Therapeutica, 11, 183 (1976).
- 113/ T.P.Johnston, G.S.Mc Caleb, T.Anderson și D.S.Murison, J.Med.Chem. 22, 597 (1979).
- 114/ J.L.Montero și J.L.Imbach, C.R.Acad.Sc.Paris, serie c, 279, 809 (1974).
- 115/ T.Suami, US 4, 148, 921; CA 91: 57418.
- 116/ T.Horvath, E.Csanyi, S.Eckhardt și E.Kiraly, Belg. 868, 988; CA 91: 175668.
- 117/ K.Tsujihara, M.Ozeki și Y.Arai, Jpn.Kokai Tokkyo Koho 79, 103, 826; CA 92 : 76889.
- 118/ N.Takamura, M.Kamido, Y.Arai și T.Mizoguchi, Jpn.Kokai Tokkyo Koho 79, 66,668; CA 92 : 181574.
- 119/ T.Suami, Ger.Offen 2, 915, 397; CA 92 : 181574.
- 120/ S.Arzawa, K.Sasaki, H.Akutsu, T.Satomi, K.Komoki, T.Ueda, S.Kawabata și Y.Inoue, Jpn.Kokai Tokkyo Koho 79, 144, 359; CA 92 : 147 144.
- 121/ K.Tsujihara, M.Ozeki și Y.Arai, Jpn.Kokai Tokkyo Koho 79, 151, 919; CA 92 : 198709.
- 122/ S.Arzawa, K.Sasaki, H.Akutsu, T.Satomi, K.Komoki, T.Ueda, S.Kawabata și Y.Inoue, Jpn.Kokai Tokkyo Koho 80 04,324; CA 92 : 198710.
- 123/ M.Murakami, Ger.Offen. 2, 230,003; CA 78 : 97512.

- 124/ Cilag Ltd.Brit. 824,218; CA 54: 4395.
- 125/ N.Sato, Japan.Kokai .74 69,676; CA 81 : 152 012.
- 126/ T.Hirata, A.Sato și R.Imai, Japan.Kokai .78 05,196; CA 82 : 24727.
- 127/ J.L.Montero, M.Rodriquez și J.L.Imbach, Eur.J.Med.Chem. - Chimica Therapeutica, 12, 408 (1977).
- 128/ R.Blyum, Z.Stumbrevicinte, J.Valeviciene, V.Simkeviciene și V.Lucenko, Liet.TSR Mokshe Akad.Darb.Ser.C. 1975, 113; CA 92:75-04.
- 129/ A.G.Nelson, F.J.Shelton și W.H.Wetzel, J.Med.Chem.10, 735 (1967).
- 130/ W.A.Pettit și R.H.Mortara, J.Med.Chem.18, 1029 (1975).
- 131/ W.Siefken, Ann. 562, 6 (1949).
- 132/ I.G.Farbenind, A-G Fr. 809233; CA 31: 6676.
- 133/ F.Lengfeld și J.Stieglitz, J.Amer.Chem.Soc.16, 71 (1894).
- 134/ H.Wenker, J.Amer.Chem.Soc. 58, 2603 (1936).
- 135/ C.K.Johnson, J.Org.Chem. 32, 1509 (1967).
- 136/ H.Najer, P.Chabrier și R.Guidicelli, Bull.Soc.Chim.Fr., 956 (1960).
- 137/A.Krantz, Tetrahedron Lett. 1975, 695.
- 138/ E.H.White, J.Amer.Chem.Soc. 77, 6008 (1955).
- 139/ Y.L.Chow și A.C.H.Lee, Can.J.Chem. 45, 311 (1967).
- 140/ K.Heyns și O.F.Woysch, Ber. 86, 75 (1953).
- 141/ K.Heyns și W.Bebenburg, Ber. 82, 1303 (1956).
- 142/ A.T.Bломquist, J.R.Johnson și H.Y.Sykes, J.Amer.Chem.Soc. 55, 2446 (1943).
- 143/ D.H.Hey, J.Stuart-Webb și G.H.Williams, J.Chem.Soc., 1952, 4657.
- 144/ Y.Ahmad și D.H.Hey, J.Chem.Soc. 1954, 4516.
- 145/ Y.Ahmad și D.H.Hey, J.Chem.Soc. 1955, 3819.
- 146/ J.Casado, A.Castro, M.A.L.Quintela și J.I.Cashaza, Monatsch. Chem. 110, 1331 (1979).
- 147/ A.Meier, F.Stoos, D.Martin, G.Büyük și S.Hardergerger, Helv.Chim. Acta, 57, 2622 (1974).

- 148/ E.Harderger, A.Meier și S.Stoos, *Helv.Chim.Acta*, 52, 2555 (1969).
- 149/ J.A.Settepani și G.R.Pettit, *J.Org.Chem.* 35, 843 (1970).
- 150/ J.A.Montgomery și H.J.Thomas, *J.Med.Chem.* 22, 1109 (1979).
- 151/ S.Matsumura, *Jpn.Kokai Tokkyo Koho* 72,148,932; *CA* 92: 152555.
- 152/ M.Takamura, T.Kanno, M.Ozeki, Y.Kawazoe, Y.Arai și T.Mizoguchi, *Jpn.Kokai Tokkyo Koho* 79 39,074; *CA* 91 : 123 749.
- 153/ K.Tsujihara, M.Ozeki și Y.Arai, *Jpn.Kokai Tokkyo Koho* 79,100,324; *CA* 92: 22 776.
- 154/ K.Tsujihara, M.Ozeki și Y.Arai, *Jpn.Kokai Tokkyo Koho* 79,88,273; *CA* 91 : 41974.
- 155/ N.Nakanishi, K.Sacki și K.Ikeda, *Japan.Kokai* 75 58,040; *CA* 83 : 131 223.
- 156/ V.Kutsenko, V.Blyum și R.A.Taliene, *Zh.Org.Khim.* 2, 1201 (1973).
- 157/ T.Suami, T.Machinami și T.Hisamatsu, *Japan.Kokai* 75,101,326; *CA* 84 : 31365.
- 158/ P.Truitt și J.T.Witkowski, *J.Med.Chem.* 13, 574 (1970).
- 159/ W.H.Yanko, *US Pat.Appl.* 523,334; *CA* 83 : 96470.
- 160/ K.Tsujihara, M.Ozeki și Y.Arai, *Jpn.Kokai Tokkyo Koho* 79,154,714; *CA* 92: 181 581.
- 161/ K.Tsujihara, M.Ozeki și Y.Arai, *Jpn. Kokai Tokkyo Kono* 79, 157, 527; *CA* 92 : 215 731.
- 162/ K.Tsujihara, M.Ozeki și Y.Arai, *Ger.offen.* 292, 844; *CA* 93: 26734.
- 163/ A.Moruzzi, J.L.Montero, J.Oiry și J.L.Imbach, *Eur.J.Med.Chem. - Chimica Therapeutica*, 13, 421 (1978).
- 164/ K.Goro, *Jpn.Kokai Tokkyo Koho* 78 95,015; *CA* 90 : 23608.
- 165/ K.Goro, *Ger.Offen.2*, 805, 185; *CA* 90 : 6664.
- 166/ T.Hori, K.Momonoi, Y.Kiba, C.Yoshida, H.Sabai, K.Takeno, T.Ohashi, S.Kishimoto și I.Saikawa, *Yakugaku Zasshi* 99, 730 (1979).
- 167/ K.Goro, *Jpn.Kokai Tokkyo Koho* 78 96,331; *CA* 90 : 39195.
- 168/ G.Eisenbrand, *Ger.Offen. 2*, 659,862; *CA* 88: 120126.

- 169/ W.E.Keller, J.Chem.Phys. 16, 1003 (1948).
- 170/ D.R.Waldron și R.M.Badger, J.Chem.Phys. 18, 566 (1950).
- 171/ J.H.Bryden, Acta Cryst. 10, 714 (1957).
- 172/ J.E.Stewart, J.Chem.Phys. 26, 248 (1957).
- 173/ P.Vaughan și J.Donohue, Acta Kryst. 5, 530 (1952).
- 174/ A.R.Daniewski, V.Dabrowska, Z.Prasek și T.Urbanski, J.Chem.Soc. 1962, 2340.
- 175/ P.Grammaticakis, Bull.Soc.Chim.France, 14, 664 (1947).
- 176/ P.Grammaticakis, Bull.Soc.Chim.France, 16, 761 (1949).
- 177/ E.Stuckeyrr, J.Chem.Soc. 1949, 207.
- 178/ A.F.Schroeder, P.E.Wilcox, K.N.Trueblood și A.O.Dekker, Anal. Chem. 23, 1740 (1951).
- 179/ J.P.Picard și A.F.McFay, Can.J.Chem. 31, 896 (1953).
- 180/ P.Grammaticakis, Bull.Soc.Chim.France, 1959, 1559.
- 181/ P.Grammaticakis, Bull.Soc.Chim.France, 1962, 487.
- 182/ P.Grammaticakis, Bull.Soc.Chim.France, 1968, 1057.
- 183/ D.J.Pasto și C.O.Johnson, Organic Structure Determination, Prentice-Hall, Inc.1969.
- 184/ H.G.Leemann, K.Stich, J.Gründer și A.Lindemann, Helv.Chim. Acta, 46, 1148 (1963).
- 185/ Y.Mido, Spectrochim.Acta, 29A, 1(1973).
- 186/ C.I.Jose, Spectrochim.Acta, 25A, 111 (1969).
- 187/ C.N.R.Rao, G.C.Chaturvedi și R.K.Gosari, J.Mol.Spectr.28, 526 (1968).
- 188/ Y.Mido, Spectrochim.Acta, 29A, 431 (1973).
- 189/ Y.Mido, Spectrochim.Acta, 28A, 1503 (1972).
- 190/ L.Doub și J.M.Wandenbelt, J.Amer.Chem.Soc. 62, 2714 (1947).
- 191/ R.H.Barker, G.J.Boudreux și S.L.Vail, Applied Spectry, 20, 414 (1966).
- 192/ M.A.Arsenault, C.D.Freeman și D.L.Hooper, Applied Spectry, 28, 197 (1974).

- 193/ A.J.Bloodworth și A.G.Bavies, J.Chem.Soc. 1966, 125.
- 194/ H.W.Smith, A.Camermann și N.Camermann, J.Med.Chem.21, 168 (1978).
- 195/ J.K.Snyder și L.M.Stock, J.Org.Chem. 45, 886 (1980).
- 196/ O.Costăchel, M.Vitan, I.Niculescu-Duvăz, M.Ionescu, I.Mogos și V.Dobre, Rom. 51132/1968.
- 197/ I.Niculescu-Duvăz, M.Ionescu, M.Cambanis, M.Vitan și L.V.Feyns, J.Med.Chem. 11, 500 (1968).
- 198/ H.A.Bruson și T.W.Riener, J.Amer.Chem.Soc. 65, 23 (1943).
- 199/ P.Sengupta, J.Org.Chem. 18, 249 (1953).
- 200/ D.Siebach, Synthesis, 17 (1969).
- 201/ J.Weinstock, J.Org.Chem. 26, 3511 (1961).
- 202/ G.Gosnovsky și M.Komeczny, Synthesis 11, 735 (1976).
- 203/ C.Harries, Ber. 29, 523 (1896).
- 204/ C.Harries, Ann. 417, 118 (1918).
- 205/ E.G.Razantsev și Yu.V.Kohanov, Izv.Akad.Nauk, SSSR, Ser.Khim. 8, 1477 (1966).
- 206/ G.M.Rosen, J.Med.Chem. 17, 358 (1974).
- 207/ V.A.Golubiev și E.G.Rozantsev, Izv.Akad.Nauk, SSSR, Ser.Khim. 7, 716 (1965).
- 208/ E.G.Rozantsev, Izv.Akad.Nauk, SSSR, Ser.Khim. 6, 2218 (1964).
- 209/ R.Brière, H.Lemaire și A.Rassat, Bull.Soc.Chim.Fr.1965, 3273.
- 210/ K.V.Auwers și M.Schmidt, Ber. 46, 457 (1913).
- 211/ P.Ruggli, Ann. 399, 174 (1913).
- 212/ H.J.Backer și J.D.H.Homan, Rec.Trav.chim. 58, 1050 (1939).
- 213/ D.Holde Ber. 45, 3701 (1912).
- 214/ H.Erlenmeyer și W.Büchler, Helv.Chim.Acta, 29, 1924 (1946).
- 215/ L.Ruzicka și H.Brekenoogen, Helv.Chim.Acta, 14, 1319 (1931).
- 216/ V.Anger, Ann.Chim.Physique, 22, 289 (1891).
- 217/ P.A.S.Smith, Organic Reactions, vol.III, 373, John Wiley & Sons, Inc., New York, 1959.

- 218/ I.Baracu, E.Tărnăuceanu și I.Niculescu-Duvăz, Rev.Roum.  
885 (1977).
- 219/ I.Baracu, I.Niculescu-Duvăz, V.Dobre, Brevet Rom. 73675.
- 220/ I.Baracu, I.Niculescu-Duvăz, R.Deneș și V.Dobre, cerere brevet  
feb.1980.
- 221/ J.von Braun, Ann. 490, 100 (1931).
- 222/ E.Grant și I.Niculescu-Duvăz, Can.J.Chem. 43, 1927 (1967).
- 223/ I.Niculescu-Duvăz, A.Cambanis și E.Tărnăuceanu, J.Med.Chim. 12,  
172 (1967).
- 224/ I.Baracu, I.Niculescu-Duvăz și V.Dobre, Rom. 84.127/1977.
- 225/ I.Baracu, I.Niculescu-Duvăz și S.Teodorescu, Rom. 96.366/1978.
- 226/ I.Niculescu-Duvăz, I.Elian, M.Ionescu, E.Tărnăuceanu, J.Prakt.  
Chemie, 321, 522 (1979).
- 227/ R.Brière, M.R.Dupeyre, H.Lemaire, C.Morat, A.Rassat și C.Will,  
Bull.Soc.Chim., 3290, 1966.
- 228/ R.Chiarelli și A.Rassat, Tetrahedron, 29, 3639 (1973).
- 229/ T.G.Crăescu, I.Baracu, L.Bucşa, N.Grecu, Rev.Roum.Biochim. (in  
press).
- 230/ I.Baracu, G.Botez, R.Deneș, V.Dobre, B.Ureche, T.Crăescu,  
N.Voiculeț și I.Niculescu-Duvăz, Rev.Roum.Biochimie, 1971.
- 231/ T.J.Bardos, N.Datta-Gupta, P.Hepborn și D.J.Triggle, J.Med.  
Chem. 8, 167 (1965).
- 232/ E.Cornfield și N.Mantel, J.Amer.Stat.Assoc. 45, 181 (1950).
- 233/ N.B.Ames, D.F.Lee și W.E.Durston, Proc.Nat.Acad.Sci. (Wash.),  
70, 782 (1973); idem 70, 2281 (1973).
- 234/ N.Voiculeț, M.Sbenghe și C.Barbu, Oncologia (Buc.), 16, 15  
(1977).